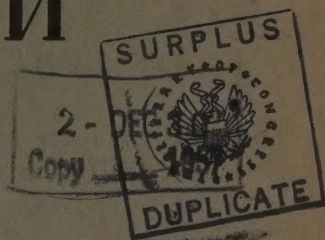


1790
АКАДЕМИЯ НАУК СОЮЗА ССР

Slav

ЖУРНАЛ ФИЗИЧЕСКОЙ ХИМИИ

ТОМ
XXXI



8

ВЫПУСК

АВГУСТ
1957

208
211

ИЗДАТЕЛЬСТВО АКАДЕМИИ НАУК СССР
МОСКВА

ЖУРНАЛ ФИЗИЧЕСКОЙ ХИМИИ

Редакционная коллегия:

В. Я. АНОСОВ, К. В. АСТАХОВ, А. И. БРОДСКИЙ, Г. К. БОРЕСКОВ,
Я. И. ГЕРАСИМОВ, С. В. ГОРБАЧЕВ, Г. С. ЖДАНОВ,
Л. А. НИКОЛАЕВ, Н. Н. СЕМЕНОВ, А. Н. ТЕРЕНИН, А. Н. ФРУМКИН,
К. В. ЧМУТОВ

Главный редактор Я. И. ГЕРАСИМОВ

Заместители главного редактора С. В. ГОРБАЧЕВ, К. В. ЧМУТОВ

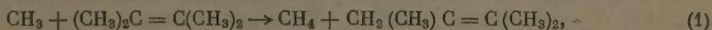
Отв. секретарь Л. А. НИКОЛАЕВ

ТЕОРИЯ ТОРМОЖЕНИЯ И УСКОРЕНИЯ КРЕКИНГА ПАРАФИНОВЫХ УГЛЕВОДОРОДОВ ДОБАВКАМИ ТЕТРАМЕТИЛЭТИЛЕНА

А. Д. Степухович и Е. Е. Никитин

Дадим теоретический анализ отношений между иницирующей и в то же время тормозящей добавкой и углеводородом в условиях крекинга их смесей на примере двойной системы алкан — тетраметилэтилен.

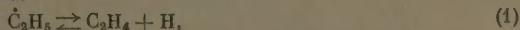
Для объяснения полученных нами экспериментальных результатов [1] будем опираться на теории торможения и иницирования добавками, развиваемые в прежних работах [2, 3]. Согласно [3] влияние иницирующей добавки на распад парафинов может быть двояким. Наряду с поставлением активных центров, нераспавшиеся молекулы добавки могут перехватывать эти же активные центры с образованием малоактивных радикалов [2]. Это заведомо будет происходить, если распад добавки идет цепным или радикальным путем через те же активные радикалы. Так, в случае тетраметилэтилена возможна реакция



в результате которой CH_3 заменяется громоздким и менее активным радикалом. Кроме того, действуя подобно некоторым продуктам крекинга (C_3H_6 , *изо*- C_4H_8 , аллен и др.), молекулы добавки могут, очевидно, уничтожать как Н-, так и CH_3 -радикалы, а взамен поставлять только CH_3 -радикалы.

Так как тормозящее действие добавки распространяется на Н- и CH_3 -центры, то необходим учет двух центров. Однако если механизм гибели этих центров одинаков, то, как было показано [2], задачу можно свести к одноцентровой. При этом упрощении остаются неизменными все константы скорости, кроме стеночной константы, и надо учесть также, что скорость поставления CH_3 -радикалов добавкой должна быть уменьшена в μ раз, где μ — доля участия CH_3 -радикалов в развитии цепи. В дальнейшем распад алкана с учетом двойной роли добавки охватывается единой одноцентровой цепной схемой.

Как показали прежние работы [4, 5], в процессе зарождения цепей пропана и изобутана важны две реакции: поставление CH_3 -радикалов и распад C_2H_5 и $\text{CH}_3\dot{\text{C}}\text{HCH}_3$ радикалов с отдачей атома водорода



В условиях крекинга равновесие при реакциях (2) и (3) сильно сминуто влево [6] и радикалы являются устойчивыми. В случае реакции (3) возможно поставление CH_3 -радикалов путем изомеризации [3] $\dot{\text{C}}\text{H}_3\dot{\text{C}}\text{HCH}_3$ в $\text{CH}_3\text{CH}_2\dot{\text{C}}\text{H}_2$. Энергия активации подобной изомеризации приблизительно на 20—25 ккал/моль меньше энергии активации для реакции отщепления водорода и должна быть более выгодной в условиях крекинга [7]. Скорость поставления Н-радикалов, благодаря сравнительной устойчивости $\dot{\text{C}}_2\text{H}_5$ и $\text{CH}_3\dot{\text{C}}\text{HCH}_3$ -радикалов может оказаться значительно меньше скорости поставления и CH_3 -радикалов. Именно в таких условиях изомеризация может иметь большое значение, ускоряя первоначальное поставление активных центров, а также облегчая развитие цепи и тем самым сильно ускоряет скорость цепного распада.

С другой стороны, при развитии цепи могут представиться два случая: активный радикал Х атакует либо первичные С—Н-связи, либо вторичные или третичные атомы водорода.

В результате первой возможности регенерируются CH_3 -радикалы. В результате второй — вероятность которой возрастает с понижением температуры благодаря меньшей прочности вторичной и третичной C—H -связей, вновь появляются H - или CH_3 -радикалы. Появление последних связано, как указывалось, с изомеризацией промежуточного радикала, которая играет важную роль при низких температурах. В этом может заключаться причина того, что при понижении температуры относительное количество CH_3 -радикалов в развитии цепи повышается.

Предположим следующую схему распада углеводорода в присутствии добавки

	Реакция	Константа скорости	Скорость
1.	$\text{T} \rightarrow \text{Y} + \text{Y}_1$	k_1	w_1
2.	$\text{M} \rightarrow \text{Y} + \text{Y}_2$	k_2	w_2
3.	$\text{Y} + \text{M} \rightarrow \text{YH} + \text{Y}_3$	k_3	$k_3 (\text{Y}) (\text{M})$
4.	$\text{Y}_3 \rightarrow \text{Y}'_3$	k_4	$k_4 (\text{Y}_3)$
5.	$\text{Y}'_3 \rightarrow \text{M}_2 + \text{Y}$	k_5	$k_5 (\text{Y}'_3)$
6.	$\text{Y} + \text{T} \rightarrow \text{YH} + \text{Y}_4$	k_6	$k_6 (\text{Y}) (\text{T})$
7.	$\text{Y} + \text{M}_1 \rightarrow \text{Y}_5$	k_7	$k_7 (\text{Y}) (\text{M}_1)$
8.	$\text{Y} + \text{стенка} \rightarrow \frac{1}{2} (\text{Y}_2)$	k_8	$k_8 (\text{Y})$
9.	$\text{Y} + \text{Y} \rightarrow \text{Y}_2$	k_9	$2k_9 (\text{Y})^2$

В этой схеме M — молекула углеводорода, T — молекула тетраметилэтилена, Y — активный радикал, Y_k — неактивный радикал, M_1 — молекула продукта крекинга с «тормозящими» свойствами [8] и круглые скобки — концентрация, а реакция (4) — реакция изомеризации радикала.

Обработка этой схемы методом квазистационарных концентраций приводит для концентрации активных радикалов (Y) к следующему выражению:

$$(\text{Y}) = \frac{W_1 + W_2}{k_7 (\text{M}) + k_6 (\text{T}) + k_8}. \quad (1)$$

Так как концентрация тормозящего продукта (M_1) пропорциональна глубине распада x [8], а скорость зарождения радикалов в случае распада чистого углеводорода w_2 , как было показано [9], не зависит от x , то для процента цепного распада углеводорода, пренебрегая остаточной скоростью, получаем уравнение

$$\frac{dx}{dt} = k_3 (\text{Y}) (\text{M}) = \frac{k_3 (w_1 + w_2) (1 - x)}{k_7 p_0 \alpha x + k_6 (\text{T}) + k_8}. \quad (2)$$

или

$$\frac{dx}{dt} = \frac{k_3 (w_1 + w_2)}{k_7 p_0 \alpha + k_6 (\text{T}) + k_8} \cdot \frac{1 - x}{1 - \frac{k_7 p_0 \alpha}{k_7 p_0 \alpha + k_6 (\text{T}) + k_8} (1 - x)}. \quad (3)$$

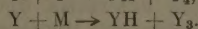
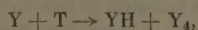
Уравнение (3) является дальнейшим обобщением уравнения Дингеса — Фроста [10], которое описывает распад алканов. Однако постоянные K и β в данном случае уже зависят от концентрации добавки и, следовательно, от времени.

$$K = \frac{k_3 (w_1 + w_2)}{k_7 p_0 \alpha + k_6 (\text{T}) + k_8} \quad \text{и} \quad \beta = \frac{k_7 p_0 \alpha}{k_7 p_0 \alpha + k_6 (\text{T}) + k_8}. \quad (4)$$

Если изменение величины $k_6 (\text{T})$ мало по сравнению с $k_7 p_0 \alpha + k_8$, то величину β можно трактовать как постоянную, в полном соответствии с прежним результатом [9]. Коэффициент K в этом случае также является

приблизительно постоянным, так как w_1 — скорость гетерогенного поставления CH_3 -радикалов тетраметилэтиленом слабо зависит от (Т) (парабола с показателем меньше единицы, см. ниже).

Скорость распада добавки, а значит и величина (Т), зависит от того, как будут распределяться радикалы между реакциями (6) и (3)



Если энергия активации реакции CH_3 -радикалов с данным углеводородом будет меньше энергии активации реакции этого радикала с тетраметилэтиленом, то радикалы будут предпочтительно идти на развитие цепного распада углеводорода. Энергия активации реакции $\text{CH}_3 + (\text{CH}_3)_2\text{C} = \text{C}(\text{CH}_3)_2$ равна 7,8 ккал/моль [11]. Зная, что энергия активации реакции CH_3 с изобутаном равна 7,7 ккал/моль и с пропаном 8,7 ккал/моль [12], можно утверждать, что в смеси с изобутаном тетраметилэтилен будет распадаться медленнее.

Таким образом, если возможен случай, когда в формуле (3) можно считать изменение k_6 (Т) малым по сравнению с $k_7 p_0 \alpha + k_8$, то этот случай должен быть резче выражен при распаде изобутана. Поэтому было проверено, удовлетворяют ли кривые распада изобутана с добавками тетраметилэтилена уравнению

$$\frac{1}{t} \ln \frac{1}{1-x} = K + \beta \frac{x}{t}, \quad (5)$$

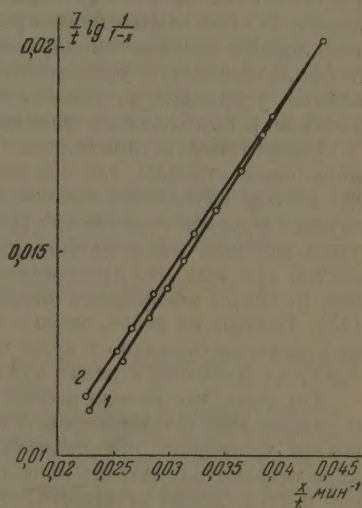
которое является результатом интегрирования уравнения Динцеса — Фроста с постоянными K и β . Оказалось, что точки кривой распада изобутана с добавками тетраметилэтилена удовлетворительно ложатся на прямую в координатах x/t и $\frac{1}{t} \ln \frac{1}{1-x}$. Результаты

этой проверки показаны на рисунке. Было найдено, что для распада чистого изобутана ($\eta = 0$), $\beta = 0,987$, а $K = 2,8 \cdot 10^{-3} \text{ мин}^{-1}$, при $p_0 = 20 \text{ мм}$ и 573° . Для распада изобутана с тетраметилэтиленом с концентрацией добавки 5% ($\eta = 5$), $\beta = 0,954$ и $K = 4,2 \cdot 10^{-3} \text{ мин}^{-1}$ при 573° .

Уменьшение β свидетельствует о тормозящем действии добавки, так как β трактуется как доля замедляющего действия продуктов реакции по сравнению с суммарным торможением цепей на стенках и в объеме [9], то естественно, что эта доля уменьшается вместе с увеличением добавочного тормоза. Увеличение K можно объяснить приростом скорости поставления активных радикалов в объем за счет добавочного распада тетраметилэтилена.

Зависимость β и K от концентрации тетраметилэтилена, определяемая уравнениями (4), дает возможность качественно объяснить изменение кинетических кривых распада изобутана с изменением процента добавки. Уменьшение β с увеличением процента добавки η подчиняется уравнению

$$\frac{1}{\beta} = \frac{1}{\beta_0} + \frac{k_8}{k_7 \alpha} \eta, \quad (6)$$



Зависимость коэффициента торможения β распада изобутана от процента тетраметилэтилена: 1 — $P_0 = 20 \text{ мм рт. ст.}$, $t = 573^\circ$, без добавки ($\eta = 0$), 2 — $P_0 = 20 \text{ мм рт. ст.}$, $t = 573^\circ\text{C}$ 5% добавки

из которого следует, что зависимость β от η тем сильнее, чем больше отношение константы скорости реакции активных центров с добавкой и константы скорости реакции этих же центров с углеводородами.

Выражение для концентрации активных радикалов (1) правильно в квазистационарном приближении, т. е. в условиях, когда скорость установления равновесной концентрации радикалов во много раз больше скорости изменения концентрации исходных продуктов.

Если же концентрация одного из промежуточных продуктов изменяется медленно, то можно пользоваться методом полуквазистационарных концентраций Н. Н. Семенова, оставляя только одно дифференциальное уравнение — именно для этого промежуточного продукта — и сводя остальные к алгебраическим.

Однако возможен и такой случай: промежуточные активные центры поставляются из двух источников — из одного быстро и из другого медленно. В этом случае можно рассматривать эти акты независимо, описывая первый квазистационарным методом, а второй — точным решением дифференциального уравнения. Это вытекает из линейности дифференциальных уравнений и, следовательно, верно при условии пренебрежения двойной рекомбинацией радикалов.

Однако квазистационарное приближение априори не применимо к начальным стадиям, где большую роль может играть ускорение [8, 13]. Во всяком случае без точной предварительной оценки констант элементарных реакций применение (1) является рискованным. В случае распада углеводородов квазистационарное решение дает точные результаты [9] по той причине, что принципиально существующие при крекинге парафинов явления ускорения заканчиваются в чрезвычайно короткий срок [13]. Исходя из этого, можно считать, что начальное количество активных центров отлично от нуля и равно квазистационарному значению для быстрого процесса и равно нулю для медленного.

Тот факт, что распад изобутана с добавками можно описать, оставаясь в рамках квазистационарного приближения, доказывает лишь, что добавочное ускорение, обусловленное поставлением СН_3 -радикалов при распаде тетраметилэтилена, мало по сравнению с общим замедлением добавкой и продуктами реакции. С этой точки зрения можно было ожидать, что при уменьшении скорости распада изобутана явление ускорения выражалось бы резче. Сравнение распада изобутана с добавками при 548 и 573° подтверждает это, хотя изменения выражены не резко. При понижении температуры скорость распада тетраметилэтилена уменьшается быстрее, чем для изобутана, или почти так же и поэтому его инициирующее влияние тоже падает.

Для выявления начальных стадий с ускорением нужен не только медленный распад самого тетраметилэтилена, но и малый распад углеводорода, для того чтобы меньше появлялось «тормозящих» продуктов; такие условия осуществляются в опытах с пропаном [1].

При высоких температурах в опытах по распаду пропана с добавками тетраметилэтилена наблюдалось сильное ускорение, часть которого следует отнести к распаду самого тетраметилэтилена. В таких условиях замедление, если оно и имело место, обнаружить не удавалось.

При низких температурах скорость поставления СН_3 -радикалов тетраметилэтиленом понижается и становится настолько малой, что имеется начальный период, где распад совершается только за счет радикалов, образующихся при распаде пропана. Но здесь также не обнаруживается замедления реакции. Это объясняется, по-видимому тем, что при низких температурах развитие цепей в объеме затруднено и большую роль играет остаточная стеночная скорость w_0 , на которую гомогеннодействующая тормозящая добавка не влияет [9].

Но это означает, что в таком случае нельзя обрабатывать схему распада методом Боденштейна и отбрасывать остаточную скорость w_0 , малую

по сравнению со скоростью цепного распада при высоких температурах.

При наличии остаточной скорости и цепного распада для процента распада справедливо не (2), но уравнение

$$\frac{dx'}{dt} = w_0 + k_3(M)(Y'), \quad (7)$$

в котором x' и Y' имеют значения, отличающиеся от x и Y уравнения (2).

В квазистационарном приближении концентрация радикалов (Y') зависит только от глубины распада в данный момент. При составлении дифференциального уравнения для радикалов необходимо учесть влияние добавки. Пусть Y' — концентрация радикалов при крекинге чистого углеводорода, а Y — при крекинге с добавкой. В присутствии добавки, кроме всех способов рождения и гибели радикалов при крекинге чистого углеводорода, будет иметь место еще добавочное продуцирование радикалов вследствие распада тетраметилэтилена, скорость которого w_1 , и добавочная гибель их на молекулах добавки, скорость которой равна $k_6(T)(Y')$. При распаде добавки концентрация радикалов увеличится на величину $Y - Y'$. Эти новые радикалы гибнут со скоростью $k_6(T)(Y - Y')$ на молекулах добавки и со скоростью $k_{10}(Y - Y')$ — на стенке и некоторых продуктах реакции.

Собственно цепной цикл не влияет на концентрацию радикалов, так как скорость «обращения» активного центра по нему велика. Таким образом, получается уравнение для скорости изменения радикалов:

$$\frac{dY}{dt} = \frac{dY'}{dt} - k_6(T)(Y') + w_1 - [k_6(T) + k_{10}](Y - Y'). \quad (8)$$

Уравнения (7) и (8) описывают кинетику реакции в присутствии добавок, выполняющих роль ингибитора и инициатора.

Если мы ограничимся малыми глубинами распада, то можно считать, что $(M) = (M_0) = \text{const}$ и $k_{10} = k_8$, т. е. гибелью добавочных радикалов на продуктах реакции можно пренебречь по сравнению с гибелью их на молекулах добавки и стенках. Прирост скорости при распаде с добавкой по отношению к распаду без добавки равен

$$\delta w = \frac{dx'}{dt} - \frac{dx}{dt} = k_3(M)(Y - Y'). \quad (9)$$

Дифференцирование по времени (9) и подстановка полученного результата в (8) дают

$$\frac{d}{dt} \left[\frac{\delta w}{k_3(M_0)} \right] = w_1 - \frac{\delta w}{k_3(M_0)} [k_6(T) + k_8] - k_6(T)(Y'). \quad (10)$$

При малых глубинах распада торможение продуктами реакции не будет сильно изменять Y' и потому эту величину в произведении $k_6(T)(Y')$ можно считать постоянной и равной Y'_0 . Теперь дифференциальное уравнение для прироста скорости (10) принимает следующий вид:

$$\frac{d(\delta(w))}{dt} + \delta w [k_6(T) + k_8] = k_3(M_0) [w_1 - k_6(T)(Y'_0)]. \quad (11)$$

Решение (11) при условии, что в начальный момент существовало некоторое ускорение $\delta_0 w$, имеет вид:

$$\delta w = \frac{k_3(M_0) [w_1 - k_6(T)(Y'_0)]}{k_6(T) + k_8} \{1 - e^{-[k_6(T) + k_8]t}\} + \delta_0 w e^{-[k_6(T) + k_8]t} \quad (12)$$

Для вычисления начального ускорения $\delta_0 w$ надо использовать уравнение (7) в начальный момент времени. Концентрация радикалов, возникающих при распаде тетраметилэтилена, в начальный момент равна нулю. Концентрация же радикалов, поставляемых распадом углеводорода, в начальный момент в квазистационарном приближении равна

$$(Y') = \frac{w_2}{k_6(T) + k_8}. \quad (13)$$

Для величины $\delta_0 w$ на основании (9) путем вычитания уравнений

$$\begin{aligned} \frac{dx'}{dt} &= w_0 + k_3(M_0) \frac{w_2}{k_8}, \\ \frac{dx}{dt} &= w_0 + k_3(M_0) \frac{w_2}{k_6(T) + k_8} \end{aligned} \quad (14)$$

получаем выражение

$$\delta_0 w = - \frac{k_6(T) k_3(M_0) w_2}{k_8 [k_6(T) + k_8]}. \quad (15)$$

Начальное ускорение получилось отрицательным, как и должно быть, так как в начальной стадии при малых скоростях распада может быть только замедление.

Величину $\delta_0 w$ можно найти также и из уравнения А. Д. Степуховича [2] для скорости цепного распада углеводородов в присутствии замедлителей. Зависимость скорости от концентрации тормозящей добавки (Т) определяется уравнением

$$\frac{1}{w - w_0} = A + B(T), \quad (16)$$

в котором А и В — постоянные, включающие концентрацию углеводородов. Из уравнения (16) следует, что при $(T) = 0$

$$\frac{1}{w' - w_0} = A. \quad (17)$$

Вычитая (16) из (17), получаем

$$\delta_0 w = \frac{B(T)}{A [A + B(T)]}. \quad (18)$$

Так как А и В обратно пропорциональны константе скорости реакции активного радикала с молекулой углеводорода [2], то $\delta_0 w$ оказывается прямо пропорциональной этой константе. Из этого следует, что если реакция развития цепи в объеме затруднена и $k_3 \rightarrow 0$, то тогда и $\delta_0 w \rightarrow 0$. На первый план выступает остаточная скорость w_0 .

Будучи скоростью гетерогенного процесса, w_0 , естественно, никак не может изменяться добавками, тормозящими в объеме.

Как следует из общего решения (12) для δw , первоначальное замедление распада $\delta_0 w$ пропорционально скорости поставления активных радикалов при распаде углеводородов. Абсолютное $\delta_0 w$ и относительное замедление $\delta_0 w/w_1 + w_2$ уменьшается с понижением температуры. В соответствии с опытными данными и изложенными положениями при математической обработке опытов с пропаном при 522 и 545° [1] можно отбросить величину $\delta_0 w \exp [-k_6(T) - k_8] t$ в уравнении (12) как малую и быстро исчезающую со временем.

Тогда для прироста скорости распада с добавкой получаем выражение

$$\delta w = \frac{k_3(M_0) [w_1 - k_6(T)(Y'_0)]}{k_8(T) + k_8} \{1 - e^{-[k_6(T) + k_8] t}\}. \quad (19)$$

Через некоторое время τ , тем меньшее, чем больше концентрация тетраметилэтилена и чем сильнее его тормозящее действие, устанавливается практически постоянный прирост скорости

$$\delta_{\infty} w = \frac{k_3 (M_0) [w_1 - k_6 (T) (Y'_0)]}{k_6 (T) + k_8} \quad (20)$$

Скорость распада тетраметилэтилена w_1 приблизительно пропорциональна $(T)^{1/2}$. Учитывая это, (20) показывает, что ускоряющее действие добавки уменьшается по мере возрастания ее концентрации. Веерообразное расхождение кинетических кривых в опытах с пропаном и их сходимости при увеличении добавки [1] находятся в хорошем согласии с этим выводом.

Если рассматривать начальные моменты реакции, то можно разложить $\exp [-k_6 (T) - k_8] t$ в ряд и ограничиться линейным членом, тогда (19) примет вид

$$\delta w = k_3 (M_0) [w_1 - k_6 (T) (Y'_0)] t, \quad (21)$$

из которого ясно, что δw растет со временем, и имеет место ускорение. Это, очевидно, ведет к тому, что кривая разности процентов распада инициированной и чистой реакции δx «стелется» по оси времени и вначале близка к параболе, получающейся в результате интегрирования (21)

$$\delta x = k_3 (M_0) [w_1 - k_6 (T) (Y'_0)] \frac{t^2}{2}. \quad (22)$$

Время θ , в течение которого процент распада δx достигает определенной величины, будет обратно пропорционально квадратному корню из коэффициента при $t^2/2$, т. е.

$$\theta \approx \frac{1}{\sqrt{k_3 (M_0) [w_1 - k_6 (T) (Y'_0)]}}. \quad (23)$$

Можно предположить, что $w_1 \gg k_6 (T) (Y'_0)$ и тогда

$$\theta \approx \frac{1}{\sqrt{k_3 (M_0) w_1}} \approx e^{\epsilon/RT} \frac{1}{(T)^{3/4}}. \quad (24)$$

Из (24) видно, что θ , характеризующая период индукции, резко уменьшается с увеличением температуры и концентраций добавки, что как раз и соответствует общему характеру опытных данных по распаду пропана [1].

Если скорость распада чистого углеводорода достаточно велика, как, например, в опытах с изобутаном, а скорость распада тетраметилэтилена остается небольшой, то появляется начальное замедление распада. Этот факт тоже следует из выражения для δw . Действительно, первый член выражения (12) увеличивается со временем, однако скорость его возрастания обратно пропорциональна $(T)^{1/2}$. При малых добавках изменения w_1 гораздо значительнее, чем $k_6 (T) (Y'_0)$. Поэтому начальный период, в течение которого не замечается ускоряющего действия тетраметилэтилена, очень сильно возрастает с уменьшением добавки, оставаясь пропорциональным $(T)^{-\frac{1}{6}}$.

Таким образом, замедлению, наблюдаемому в начальный период при значительной скорости распада чистого изобутана, соответствует второе слагаемое (12), которое с учетом (15) можно записать в виде

$$\delta w = - \frac{k_6 (T) k_3 (M_0) w_2}{k_8 [k_6 (T) + k_8]} e^{-[k_6 (T) + k_8] t}. \quad (25)$$

Рассматривая δw как функцию времени, можно видеть, что с течением времени замедление исчезает, а кинетические кривые замедленного и чи-

стого распада идут параллельно. Распад изобутана с малыми добавками тетраметилэтилена (0—1%) подтверждает это.

Фиксируя время t и рассматривая зависимость замедления от концентрации добавки согласно (25), мы видим, что существует некоторое максимальное замедление, при котором δw становится минимальным. Соответствующая этому минимуму концентрация добавки может быть найдена из условия минимума (25), т. е. при решении уравнения $\partial(\delta w)/\partial(T) = 0$, в котором t рассматривается как параметр.

Однако это справедливо лишь для не слишком больших времен, так как для достаточно большого времени установится большим и первый член. Если бы оказалось, что при данных условиях добавка не распадается, т. е. $w_1 = 0$, то решение после подстановки (15) и $(Y_0') = w_2/k_8$ принимает вид:

$$\delta w = - \frac{k_6(T) w_2 k_8 (M_0)}{k_8 [k_6(T) + k_8]}. \quad (26)$$

Уравнение (26) снова приводит к кинетике заторможенного добавкой распада, идентичного (16). Но это показывает, что два слагаемых общего решения нельзя отождествлять с величинами, описывающими порознь ускорение и замедление. В частности, только при учете обоих слагаемых, при $w_1 = 0$, может получиться чистое замедление.

Более того, это показывает, что в том случае, когда можно пренебречь величиной $\delta_0 w_0 e^{-\lambda t}$ по сравнению с первым слагаемым, то можно отбросить и $k_6(T) (Y_0')$ по сравнению с w_1 , что является оправданием к сделанному ранее приближению.

Лишь с учетом первого и второго слагаемых получается, что начальное замедление переходит в ускорение, возрастающее с увеличением добавки.

Следовательно, полученное решение при соответствующих константах описывает распад алкана (пропана и изобутана) недалеко от начала реакции (до 3—4 мин.).

С другой стороны, распад изобутана с добавкой, начиная с 2—3 мин., подчиняется уравнению Динцеса — Фроста с коэффициентами k и β , зависящими от процента добавки. Что один и тот же процесс описывается двумя различными решениями, выведенными при разных предпосылках и согласующихся друг с другом в некоторой области переменной t , указывает на то, что оба они являются достаточно хорошим приближением.

Легко показать, что в то время, когда одно решение в связи со сделанными предположениями теряет силу, начинает выполняться другое.

Полученное решение для δw справедливо для начальных моментов времени, таких, когда ускорение уже заканчивается, а тормозящих продуктов еще немного. К этому времени показательными функциями можно пренебречь, и на основании (12) получаем

$$\delta w = \frac{k_8 (M_0) [w_1 - k_0(T) (Y_0')]}{k_0(T) + k_8}. \quad (27)$$

В квазистационарном приближении для скорости распада было получено уравнение (2). Рассматривая моменты времени, когда тормозящих продуктов еще мало, на основании (2) для δw получаем выражение

$$\delta w = \frac{k_8 (M)}{k_8 (T) + k_8} \left\{ w_1 - w_2 \frac{k_8}{k_8} (T) \right\}. \quad (28)$$

Замечая, $(Y_0') = w_2/k_8$, видим, что (27) и (28) совпадают.

Таким образом, двух решений — точного для начальных стадий без учета торможения продуктами и решения в квазистационарном приближении для последующих моментов времени — оказывается достаточно

для описания кинетики распада алканов в присутствии добавок тетраметилэтилена в любые моменты времени.

Общий анализ вопроса об особенностях кинетики крекинга углеводородов в присутствии добавок с двойной ролью, проведенный выше, имеет, по нашему мнению, более широкое значение для химической кинетики, чем в только что разобранных примерах. Он отличается от попыток учета двойного действия добавок, имевшихся в прошлом относительно действия NO [14, 15].

ВЫВОДЫ

1. Дано теоретическое объяснение полученным опытными кривым распада алканов в присутствии добавок тетраметилэтилена на основании механизма, учитывающего двойную роль тетраметилэтилена и гетерогенность реакции первичного его распада.

2. Различие в поведении при крекинге алканов в присутствии добавок тетраметилэтилена объяснено на основе различных цепных эффектов в объеме при этих реакциях и различной роли некоторых радикальных реакций, вследствие которых в различной степени проявляет себя гетерогенная реакция инициирования.

3. На основании более общей схемы крекинга углеводородов, в которой учитывается ускорение добавками некоторого вещества, оказывающего одновременно и тормозящее действие, выведено общее уравнение для изменения скорости, переходящее на пределе ускорения в уравнение Динцеса — Фроста.

4. Выведено уравнение, являющееся дальнейшим обобщением уравнения Динцеса — Фроста, в котором коэффициенты зависят не только от температуры и давления, но также и от концентрации добавки.

5. Показано, что торможение и ускорение процесса крекинга углеводородов добавкой органически связаны, а торможение можно объяснить лишь при учете ускорения реакции.

Это принципиально изменяет прежний подход к толкованию явлений торможения и ускорения порознь, чему обычно соответствовало два отдельных члена в получаемых из схем выражениях [13, 14].

Саратовский государственный университет
им. Н. Г. Чернышевского

Поступила
8.VIII.1955

ЛИТЕРАТУРА

1. А. Д. Степухович, Е. Г. Каплан и Е. Е. Никитин, Журн. физ. химии, 31, 1437, 1957.
2. А. Д. Степухович, ДАН, 89, 5, 1953; 96, 1, 1954.
3. А. Д. Степухович, Журн. физ. химии, 30, 556, 1956.
4. А. Д. Степухович, Э. С. Швер, Журн. физ. химии, 27, 1013, 1953.
5. А. Д. Степухович, и Г. П. Воробьева, Журн. физ. химии, 28, 1361, 1954.
6. А. Д. Степухович, Журн. физ. химии, 28, 2088, 1954; 30, 611, 1956.
7. Н. Н. Семенов, О некоторых проблемах химической кинетики, Изд-во АН СССР, М., 1954.
8. А. Д. Степухович, ДАН, 92, 373, 1953.
9. А. Д. Степухович, Журн. физ. химии, 28, 1882, 1954.
10. А. И. Динцес и А. В. Фрост, ДАН, 3, 510, 1934.
11. A. F. Trotman — Dickenson, S. W. R. Steacie, Journ. chem. phys, 19, 169, 1951.
12. В. В. Воеводский, Киевск. совещ. 2—5. VI. 1952, 58, 1954.
13. И. Ф. Бахарева, Диссертация, Саратовский гос. университет, 1954.
14. F. O. Rice, O. Polly, Journ. Chem. phys, 6, 273, 1938.
15. В. И. Гольдманский. Усп. химии, 15, 63, 1946.

THE RETARDATION AND ACCELERATION BY TETRAMETHYLETHYLENE ADDITIONS OF THE CRACKING OF PARAFFIN HYDROCARBONS

A. D. Stepukhovich and E. E. Nikitin (Saratov)

Summary

A study has been made on the effect of the addition of tetramethylethylene (0.5—7%) on the cracking of propane and isobutane at various temperatures (522—575°C).

At low temperatures and small additions of tetramethylethylene the latter exerts a retardation effect; at elevated temperatures and higher concentrations the effect becomes accelerating.

The low pressure decomposition of tetramethylethylene has been studied at 548 and 573°C. The rate of decomposition has been shown to decrease with increasing pressure.

A theoretical interpretation has been given of the experimental curves for propane and isobutane decomposition in the presence of tetramethylethylene, the proposed mechanism taking account of the dual role of tetramethylethylene and of the heterogeneous character of its primary decomposition reaction.

The difference in the behavior towards cracking of propane and isobutane in the presence of tetramethylethylene additions has been explained on the basis of different chain effects in space occurring in these reactions and the different parts played by certain radical reactions, owing to which the heterogeneous initiating reaction manifests itself in varying degrees.

Based on a more general hydrocarbon cracking mechanism that accounts for the acceleration by additions of a substance which simultaneously exerts a retarding effect, a general equation has been derived for the change in rate of such processes, reducing in the limiting acceleration to the Dintses-Frost equation.

A further generalization of the Dintses-Frost equation has been made in which the coefficients depend not only upon the temperature and pressure but also upon the concentration of the addition agent.

The retardation and acceleration of hydrocarbon cracking by an addition agent have been shown to be intimately connected, the retardation being explainable only on accounting for the acceleration of the reaction. This changes in principle the previous separate approach to acceleration and retardation effects to which usually there corresponded to separate terms in the expressions (16, 17) obtained from the reaction schemes.

ИССЛЕДОВАНИЕ МЕХАНИЗМА ВКЛЮЧЕНИЯ ФОСФОРА В НИКЕЛЕВЫЕ ПОКРЫТИЯ С ПОМОЩЬЮ РАДИОАКТИВНОГО ИЗОТОПА P^{32}

К. М. Горбунова и А. А. Никифорова

В отличие от никеля, осаждаемого электрохимическим способом, осадки, получаемые при восстановлении никелевых солей с помощью гипофосфита, всегда содержат фосфор. С присутствием фосфора связаны некоторые свойства никелевого покрытия — повышенные по сравнению с электролитически осажденным металлом, твердость, износостойкость и коррозионная устойчивость. Твердость осадков в результате термообработки при 400—500° значительно увеличивается и приближается к твердости хромовых покрытий.

Согласно данным проведенного ранее исследования [1], количество фосфора в никелевом покрытии изменяется в зависимости от условий протекания процесса восстановления. Так, осадки никеля, полученные при оптимальных условиях в кислом растворе, содержат фосфор в количестве 6—8%, в щелочном растворе 3—4%. Вопрос о происхождении фосфора оставался нерешенным. Источником его могли являться как гипофосфит, вводимый в раствор в качестве восстановителя, так и продукты его окисления — фосфит и частично фосфат.

Для выяснения этого вопроса был использован метод радиоактивных индикаторов. Результаты исследования [2], проведенного с помощью радиоактивного фосфора в системе, состоящей из гипофосфористой и фосфористой кислот или их солей, было показано полное отсутствие обмена фосфором между указанными соединениями как при комнатной температуре, так и при нагревании до 70°, а также в присутствии кислот или щелочей.

Обмен изотопов фосфора между гипофосфитом и фосфитом авторы [2] не обнаружили даже при проведении частичного окисления гипофосфита йодом, а также частичного восстановления фосфита йодистым калием.

Согласно работам [3, 4] по исследованию изотопного обмена в системах, состоящих из фосфорной и фосфористой кислот или их солей, а также в системе, состоящей из фосфата и гипофосфита, обмен фосфором отсутствует даже в области температур 100—300°.

Отсутствие обмена фосфора между вышеуказанными соединениями дало основание для применения метода радиоактивных индикаторов при выявлении источника фосфора в никелевом покрытии.

ЭКСПЕРИМЕНТАЛЬНАЯ ЧАСТЬ

Методика. При изготовлении раствора для никелирования в него вводилось исследуемое соединение, меченное радиоактивным фосфором P^{32} .

Исследованию подвергались активные гипофосфит натрия, фосфат натрия и фосфит натрия. Исходный раствор имел следующий состав: хлористого никеля 30 г/л, гипофосфита натрия 10 г/л, гликолевое кислоты натрия 10 г/л, рН раствора было равно 4—4,5. Для опыта использовалось 100 мл раствора. Осаждение производилось на железной пластинке с площадью 10 см² при 90—92°. Скорость осаждения в этих условиях соответствовала 8—10 мк/час.

Осадок никеля, возникающий в результате использования раствора с тем или иным радиоактивным препаратом, подвергался радиометрическому анализу. В том случае, если фосфор в исследуемом меченом соединении восстанавливается до элементарного состояния и включается в никелевое покрытие, последнее должно было обнаружить ту или иную степень активности.

Измерение активности образцов производилось на установке Б с помощью торцового счетчика со слюдяным окном.

Опыты с меченым гипофосфитом. Исходным препаратом для изготовления радиоактивного гипофосфита натрия служил красный фосфор P^{32} .

Радиоактивный красный фосфор смешивался со стабильным изотопом и переводился при нагревании в замкнутой аппаратуре в атмосфере двуокиси углерода в бе-

лую модификацию фосфора. Полученный белый фосфор после его размельчения кипятился с насыщенным раствором гидрата окиси кальция в течение 5 час. В результате реакции, проходившей по уравнению $8P + 3Ca(OH)_2 + 6H_2O \rightarrow 3Ca(H_2PO_2)_2 + 2PH_3$, получался гипофосфит кальция, который при дальнейшей операции с помощью двууглекислой соды переводился в гипофосфит натрия.

В приготовленный указанным способом раствор, после установления в нем концентрации гипофосфита, вводились остальные компоненты в количествах, соответствующих указанному выше составу. Кислотность раствора соответствовала значению pH около 4.

Активность полученного раствора, пересчитанная на 1 мл, составляла около 8000 *имп/мин*. Никелевый осадок, выделенный в этом растворе за 1 час, обнаружил активность, которая составляла около 3000 *имп/мин*. Радиоактивность никелевого осадка объясняется включением в него фосфора P^{32} , который мог образоваться в результате восстановления гипофосфита, или образующегося из него фосфита до элементарного фосфора.

Опыты с меченым фосфатом. Исходным препаратом радиоактивного фосфора служила фосфорная кислота с P^{32} . В никелевый раствор указанного выше состава, наряду с активной фосфорной кислотой, вводилась однозамещенная ее натриевая соль в количестве 10 г/л.

Восстановление никеля проводилось в растворах с различной активностью. В одном из них порядок активности соответствовал раствору с активным гипофосфитом в вышеописанных опытах, в другом — активность была в несколько раз выше и составляла около 67 000 *имп/мин*, после пересчета на 1 мл раствора. Активность полученных никелевых осадков в обоих случаях мало отличалась от фона; в последнем растворе она составляла 25 *имп/мин*, тогда как фон был равным 18 *имп/мин*.

По результатам опытов, проведенных с растворами, содержащими радиоактивную фосфорную кислоту, можно сказать, что фосфат натрия не является источником фосфора, включающегося в никелевое покрытие. Кроме того, эти опыты подтверждают отсутствие обмена фосфора между фосфатом и гипофосфитом, а также указывают на отсутствие обмена между фосфором, содержащимся в покрытии и в фосфорной кислоте, находящейся в растворе.

Опыты с меченым фосфитом. Исходным препаратом для получения активного фосфита служил треххлористый фосфор. Активный препарат смешивался со стабильным треххлористым фосфором и переводился путем гидролиза при $t=0^\circ C$ в фосфористую кислоту. Раствор нейтрализовался едким натром и вводился в соответствующем количестве в никелевый раствор указанного выше состава.

Опыты восстановления с никелевым раствором, содержащим активный препарат фосфита, а также с раствором, в который дополнительно вводился стабильный фосфит в количестве 10 г/л, привели к получению никелевых осадков, обнаруживших активность. Результаты этих опытов приведены в табл. 1.

Таблица 1

№ опыта	Количество стабильного фосфита в растворе, г/л	Вес осадочного Ni, г	Толщина покрытия μ	Активность осадка, <i>имп/мин</i>	Активность осадка, пересчитанная на 100 мг Ni
1	10	0,0480	5,45	1302	2719
2	—	0,0528	6,00	1948	3689

Для сравнения активности никелевых образцов, учитывая имеющиеся колебания в их толщине, в последнем столбце приведены данные, пересчитанные на 100 мг осадка.

Более высокая активность никелевого покрытия, полученного в опыте № 2, объясняется, очевидно, тем, что количественное отношение актив-

ого фосфита к стабильному в этом растворе было выше вследствие того, что стабильный фосфит в раствор не вводился, последний возникал лишь в результате реакции восстановления.

В работе [1] было показано, что количество фосфора в покрытии меняется в зависимости от условий протекания процесса химического восстановления. В частности, было отмечено, что содержание фосфора в осадке повышается с увеличением кислотности раствора. В связи с этим были поставлены опыты для выяснения изменения активности образцов, полученных в длительно работающем растворе, в котором происходит повышение кислотности, также в растворах с различной начальной кислотностью.

В табл. 2 приведены данные, характеризующие изменение скорости процесса восстановления (толщина покрытия за единицу времени) и активности осадков в зависимости от длительности работы никелевого раствора.

За время опыта было покрыто последовательно пять образцов при длительности их пребывания в растворе по 30 мин. Вследствие происходящих изменений в составе раствора скорость восстановления никеля в течение опыта обычно снижается. Для более наглядного представления об изменении количества включающегося в осадок фосфора активность образцов пересчитывалась на единицу никелевого осадка (100 мг). Рассчитанные данные приведены в последнем столбце таблицы.

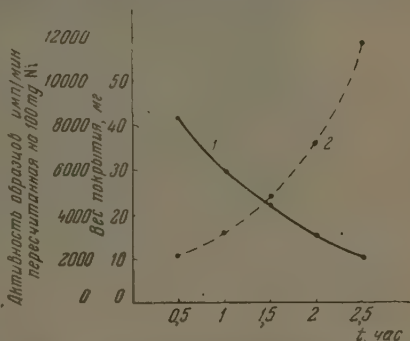


Рис. 1. Изменение скорости восстановления и активности никелевого покрытия во время работы ванны. 1 — скорость восстановления никеля, 2 — активность никелевого покрытия, пересчитанная на 100 мг осадка

Таблица 2

№ образцов	Количество осажденного Ni, г	Толщина покрытия, м	Активность осадка, имп/мин	Активность осадка, пересчитанная на 100 мг
1	0,0444	4,66	920	2222
2	0,0298	3,39	931	3124
3	0,0223	2,53	1061	4758
4	0,0150	1,70	1078	7187
5	0,0100	1,14	1166	11660

Примечание. Активность раствора 31 000 имп/мин.

Результаты этих опытов представлены на рис. 1. Из рисунка видно, что наряду с понижением скорости покрытия происходит увеличение активности осадков; последнее указывает на то, что по мере прохождения процесса восстановления содержание фосфора в осадках возрастает.

При исследовании активности никелевых осадков в зависимости от кислотности раствора получены данные, представленные в табл. 3.

Из данных табл. 3 видно, что осадки никеля, полученные из раствора большей кислотностью, имеют значительно большую активность, а следовательно, содержат большее количество фосфора; это соответствует результатам химических анализов, проведенных в прежнем исследовании [1].

Таблица 3

№ опыта	рН раствора	Количество осаждаемого Ni, г	Толщина покрытия, μ	Активность раствора, мкп/мин см^2	Активность осадка, мкп/мин	Активность осадка, пересчитанная на 100 мг
1	4,0	0,0452	5,14	14680	1224	2701
2	4,77	0,0692	7,86	14660	795	1149

ОБСУЖДЕНИЕ РЕЗУЛЬТАТОВ

Проведенное исследование показало, что активные осадки никеля возникали как в случае, когда раствор содержал радиоактивный гипофосфит натрия, так и в том случае, если раствор содержал радиоактивный фосфит натрия. Напротив, осадки никеля, полученные из раствора, содержащего радиоактивную фосфорную кислоту, активности не обнаружили. Таким образом, в результате исследования оказалось, что фосфит является непосредственным источником фосфора в покрытие.

Относительно того, включается ли фосфор в покрытие непосредственно из гипофосфита без дополнительных исследований, однозначного заключения сделать нельзя, так как в процессе восстановления никеля происходит окисление гипосфита в фосфит, вследствие чего наряду с меченым гипофосфитом в растворе оказывается и меченый фосфит.

Для выяснения вопроса о том, является ли фосфит единственным источником фосфора в покрытие, были поставлены две серии опытов. В одной из них фосфит, образующийся во время процесса химического никелирования, по возможности удалялся из раствора; в другой, наоборот, фосфит с самого начала вводился в исходный раствор.

Метод для полного удаления фосфита из никелевого раствора пока еще не разработан, однако, согласно нашим наблюдениям, в растворе, содержащем в качестве буферной добавки уксуснокислый натрий, в повышенной (по сравнению с обычным содержанием) концентрации, и высоком рН, происходит выпадение фосфитов.

Это находится в соответствии с имеющимися в литературе указаниями [5], согласно которым при удалении фосфита в виде бариевой соли для более полного его осаждения в раствор вводят уксуснокислый натрий.

При проведении этой серии опытов нами применялся никелевый раствор, содержащий 15 г/л уксуснокислого натрия при рН=5. В этих условиях возникающий в процессе химического никелирования фосфит никеля в виде нерастворимого осадка оказывается взмученным в растворе. Однако по мере прохождения процесса, вследствие повышения кислотности, фосфит, выпавший в начале опыта, частично переходил обратно в раствор. Во время опыта, длившегося в течение 4 час., был получен ряд образцов. Один образец, покрывавшийся в течение всех 4 час., был использован для приготовления шлифа поперечного среза, остальные были подвергнуты химическому анализу на содержание фосфора.

Параллельно с этим был проведен аналогичный опыт с раствором, содержащим в отличие от предыдущего, 8 г/л уксуснокислого натрия с начальным значением рН=5. При этой концентрации уксуснокислого натрия выпадения фосфита не обнаруживалось и на протяжении всего опыта раствор оставался прозрачным.

В табл. 4 приведены результаты анализов осадков, полученных в этих опытах. На рис. 2 и 3 приведены микрофотографии шлифов поперечного среза никелевых осадков, полученных соответственно из растворов с 15 и 8 г/л уксуснокислого натрия.

Согласно приведенным данным, можно предполагать, что низкое содержание фосфора в никелевом осадке, полученном в первую стадию про-

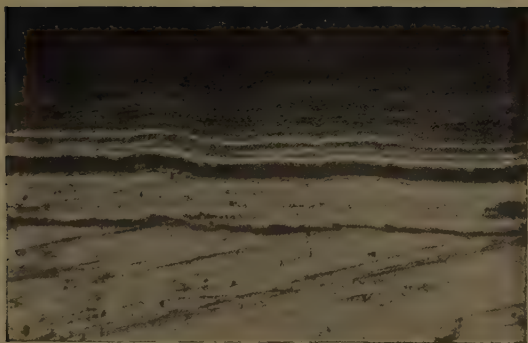


Рис. 2. Микрофотография (X415), шлифа поперечного среза никелевого покрытия, полученного из раствора, содержащего 30 г/л $\text{NiCl}_2 \cdot 6\text{H}_2\text{O}$; 10 г/л $\text{NaH}_2\text{PO}_2 \cdot \text{H}_2\text{O}$ и 15 г/л $\text{CH}_3\text{CO}_2 \cdot 3\text{H}_2\text{O}$; $\text{pH} \cong 5$



Рис. 3. Микрофотография (X415) шлифа поперечного среза никелевого покрытия, полученного из раствора 30 г/л $\text{NiCl}_2 \cdot 6\text{H}_2\text{O}$; 10 г/л $\text{NaH}_2\text{PO}_2 \cdot \text{H}_2\text{O}$ и 8 г/л $\text{CH}_3\text{CO}_2\text{Na} \cdot 3\text{H}_2\text{O}$; $\text{pH} \cong 5$

Таблица 4

Концентрация уксуснокислого натрия, г/л	рН раствора		Содержание Р % в осадках никеля	
	до опыта	после опыта	в первую половину опыта	во вторую половину опыта
15	4,96	4,28	4,5	7,2
8	5,13	3,99	9,3	10,4

цесса в растворе с 15 г/л уксуснокислого натрия, объясняется выведением из раствора фосфита, который является источником фосфора в покрытие. По мере подкисления раствора и перехода фосфита в растворимое состояние содержание фосфора в никелевом осадке увеличивается. В противоположность этому осадки никеля, полученные из раствора, содержащего всего 8 г/л уксуснокислого натрия (тоже при $\text{pH}=5$), т.е. в условиях, когда весь возникающий в процессе фосфит находится в растворенном виде, включают с самого начала опыта значительно большее количество фосфора.

Различие в содержании фосфора в никелевых осадках, возникающих при разных условиях, заметно сказывается и на структуре осадков. Как видно из рис. 2, никелевый осадок состоит из двух слоев. Первый слой соответствует осадку, полученному в растворе, в котором фосфит находился во взмученном состоянии и содержал 4,5% фосфора. Второй слой соответствовал покрытию, образовавшемуся в растворе, в котором фосфит, ввиду повышенной кислотности, находился в растворенном состоянии. Содержание фосфора в этой части покрытия, согласно данным анализа параллельно покрываемых образцов, составляло 7,2%. При таком содержании фосфора в покрытии при электролитическом травлении на аноде в растворе 10% $\text{CrO}_3 + 3\% \text{H}_2\text{SO}_4$ удалось обнаружить слоистое строение. Микрофотография шлифа поперечного среза осадка, полученного из раствора, содержащего 8 г/л уксуснокислого натрия (рис. 3), обнаруживает слоистое строение с начала опыта.

Для доказательства того, что источником фосфора в никелевых покрытиях является только фосфит, было проведено исследование влияния концентрации фосфита на содержание фосфора в никелевом покрытии.

В данном исследовании проводились опыты с растворами, в которых дополнительно к образующемуся в процессе реакции вводился фосфит натрия в концентрации 5 и 10 г/л. Для сравнения проводился опыт с раствором без дополнительного введения фосфита.

Для никелирования в этом случае использовался раствор, содержащий в качестве буферной добавки уксуснокислый натрий с концентрацией 8 г/л при $\text{pH}=4$. Низкое содержание уксуснокислого натрия и пониженное значение pH способствовали удержанию в растворе фосфитов.

В результате химического анализа осадков, полученных в указанных условиях, оказалось, что никелевое покрытие, осажденное в растворе без дополнительного введения фосфита натрия, содержало 12,3% фосфора; в растворе, в который дополнительно был введен фосфит натрия с концентрацией 5 г/л количество фосфора составляло 14,6 %. Однако при введении в раствор фосфита натрия в количестве 10 г/л дальнейшего увеличения фосфора в никелевом покрытии не отмечалось. Эти опыты также указывают, что при увеличении содержания в растворе фосфита количество фосфора в покрытии становится больше.

Таким образом, полученные результаты дают основание считать, что фосфор в никелевое покрытие попадает за счет его восстановления из фосфита.

При анализе вопроса о том, почему восстановление фосфита до фосфора протекает легче, чем гидрофосфита, по-видимому, следует учесть

различие в строении фосфористой и гипофосфористой кислот. В последней как в активной симметричной форме $\text{H}-\text{P}\begin{matrix} \text{OH} \\ \text{OH} \end{matrix}$, так и в «неактивной»

несимметричной $\text{O}=\text{P}\begin{matrix} \text{H} \\ \text{OH} \end{matrix}$ фосфор связан с разноименными атомами, в то время как в фосфористой кислоте фосфор окружен одноименными группами ОН. Можно предполагать, что при воздействии атомарного водорода на одно из этих соединений, как указано в работе [6], фосфит подвергается восстановлению более легко, чем гипофосфит.

ВЫВОДЫ

1. С помощью радиоактивного фосфора P^{32} показано, что никелевые осадки, образующиеся в процессе химического восстановления, обнаруживают активность как в случае введения в раствор радиоактивного фосфора в виде гипофосфита, так и в виде фосфита. Присутствие в растворе радиоактивного фосфора в виде фосфорной кислоты не вызывает появления активности в осадке.

2. На основе результатов дополнительных исследований высказывается предположение о том, что в никелевый осадок фосфор включается из фосфита, который образуется в растворе в результате окисления гипофосфита в фосфит.

Академия наук СССР
Институт физической химии
Москва

Поступила
26.IV.1956

ЛИТЕРАТУРА

1. К. М. Горбунова и А. А. Никифорова, Журн. физ. химии, 28, 883, 1954.
2. А. И. Бродский, Д. Н. Стражеско и Л. Л. Червяцова, ДАН, 75, 823, 1950.
3. J. N. Wilson, Journ. Amer. Chem. Soc., 60, 2697, 1938.
4. В. Д. Ионин, А. Ф. Луковников, М. Б. Нейман и А. Н. Несмеянов, ДАН, 67, 463, 1949.
5. L. Wolf u. W. Jung, Zs. f. anorg. u. all. Chem., 201, 337, 1931.
6. К. М. Горбунова и А. А. Никифорова, Журн. физ. химии, 28, 897, 1954.

A STUDY ON THE MECHANISM OF PHOSPHORUS INCLUSION IN NICKEL COATINGS WITH THE AID OF THE RADIOACTIVE ISOTOPE P^{32}

K. M. Gorbunova and A. A. Nikiforova (Moscow)

Summary

In this work an investigation was made into the inclusion of phosphorus in nickel coating from P^{32} labelled hypophosphite and phosphite. Based on the results obtained it was suggested that phosphorus is included in the coating directly from phosphite formed on the oxidation of hypophosphite.

МОЛЕКУЛЯРНЫЕ ПОСТОЯННЫЕ И МАКРОФИЗИЧЕСКИЕ СВОЙСТВА СМЕСЕЙ

1. ВЯЗКОСТЬ ЖИДКИХ БИНАРНЫХ СМЕСЕЙ

А. Е. Луцкий и Е. М. Обухова

Макрофизические свойства смесей при тех же термодинамических условиях (P и T) в конечном счете являются функцией свойств образующих эти смеси микрочастиц — их размера v_m , формы ϕ , массы m , поляризуемости α , дипольного момента μ и др.

Для вязкости η индивидуальных нормальных жидкостей установлена следующая зависимость от свойств молекул (молекулярных постоянных) [1]:

$$(\eta)_{P,T} = m^{1/2} \alpha^{1/2} [A + B\mu], \quad (1)$$

где A и B при тех же P и T являются функцией формы молекул. Соответственно для вязкости бинарных смесей

$$\begin{aligned} (\eta_{1,2})_{P,T} &= m_{1,2}^{1/2} \alpha_{1,2}^{1/2} [A_{1,2} + B_{1,2} \mu_{1,2}] = \\ &= [N_1 m_1 + (1 - N_1) m_2]^{1/2} [N_1 \alpha_1 + (1 - N_1) \alpha_2]^{1/2} [N_1 (A'_1 + B'_1 \mu_1) + \\ &\quad + (1 - N_1) (A'_2 + B'_2 \mu_2)], \end{aligned} \quad (2)$$

где A'_1 , B'_1 , A'_2 , и B'_2 являются функциями лишь формы молекул компонентов ϕ_1 и ϕ_2 ; N_1 — мольная доля компонента 1.

Из (2) могут быть получены частные зависимости как для отдельных смесей из компонентов, молекулы которых различаются лишь некоторыми из молекулярных постоянных, так и для ряда смесей, отличающихся свойствами молекул только одного из компонентов. Из (2) следует, что для отдельных смесей

$$(\eta_{1,2})_{P,T,\phi_1=\phi_2,\mu_1=\mu_2,\alpha_1=\alpha_2} = \text{const} [N_1 m_1 + (1 - N_1) m_2]^{1/2}; \quad (3)$$

$$(\eta_{1,2})_{P,T,\phi_1=\phi_2,m_1=m_2,\alpha_1=\alpha_2} = \text{const} + \text{"const"} [N_1 \mu_1 + (1 - N_1) \mu_2]; \quad (4)$$

$$\begin{aligned} (\eta_{1,2})_{P,T,\phi_1=\phi_2,\mu_1=\mu_2} &= \\ &= \text{const} [N_1 m_1 + (1 - N_1) m_2]^{1/2} [N_1 \alpha_1 + (1 - N_1) \alpha_2]^{1/2}; \end{aligned} \quad (5)$$

$$(\eta_{1,2})_{P,T,\phi_1=\phi_2,\mu_1=\mu_2,\alpha_1=\alpha_2,m_1=m_2} = \text{const}. \quad (6)$$

Для ряда бинарных смесей с теми же компонентами 1 и N_1 из (2) получим

$$(\eta_{1,2})_{P,T,1,N_1,\phi_2,\mu_2} = \text{const} M_{1,2}^{1/2} \cdot R_{D,1,2}^{\mu_2} \quad (7)$$

($\alpha_{1,2}$ заменено на молярную рефракцию $R_{D,1,2}$, а $m_{1,2}$ на молекулярный вес $M_{1,2}$),

$$(\eta_{1,2})_{P,T,1,N_1,\phi_2,\alpha_2,m_2} = \text{const}' + \text{const}'' \mu_2 \quad (8)$$

$$(\eta_{1,2})_{P,T,1,N_1,\phi_2} = M_{1,2}^{1/2} R_{D,1,2}^{\mu_2} [\text{const}' + \text{const}'' \mu_2] \quad (9)$$

Для проверки указанных зависимостей были измерены значения η некоторых отдельных бинарных смесей и смесей из бензола, ацетона или хлороформа в качестве компонента 1 и членов того же ряда изологов, гомологов, изопериодических соединений и замещенных (табл. 1—4).

Таблица 1

 $(\eta_{1,2})_{P, T}$ бинарных смесей изологов

Компонент 1	N_2	$t, ^\circ\text{C}$	$(\eta_{1,2})_{P, T} \cdot 10^5$ смесей с компонентом				
			$n\text{-C}_6\text{H}_5\text{Cl}$	$n\text{-C}_6\text{H}_5\text{Br}$	$\text{C}_6\text{H}_5\text{Cl}$	$\text{C}_6\text{H}_5\text{Br}$	$\text{C}_6\text{H}_5\text{I}$
C_6H_6	0,2	25	533	579	629	684	740
	0,2	50	402	437	462	504	542
	0,5	25	480	573	674	814	982
	0,5	50	373	453	503	603	716
$(\text{CH}_3)_2\text{CO}$	0,2	25	—	—	419	456	506
CHCl_3	0,2	25	—	—	645	693	742
	1,0	25	448	636	755	1058	1488
	1,0	50	353	505	569	783	1063

Коэффициент вязкости определялся при помощи капиллярного вискозиметра Оствальда. Очистка веществ, методика измерения подробно описаны в работе [2].

Как следует из рис. 1, смеси изологов ($\text{C}_6\text{H}_5\text{Cl}$ и $\text{C}_6\text{H}_5\text{Br}$) [3], молекулы которых обладают равными ϕ и μ , подчиняются соотношению (5),

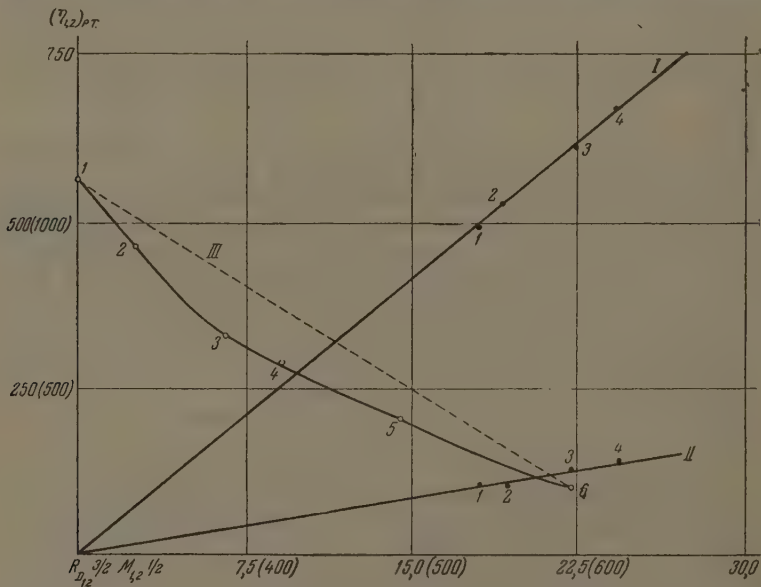


Рис. 1. Вязкость отдельных бинарных смесей I. $\text{C}_6\text{H}_5\text{Cl} - \text{C}_6\text{H}_5\text{Br} \cdot 10^5$ при 64°C .
 II. $\text{C}_6\text{H}_5\text{Cl} - \text{C}_6\text{H}_5\text{Br} \cdot 10^4$ при 12°C ; $N_{\text{C}_6\text{H}_5\text{Cl}} = 1-100$; 2—79,8; 3—32,6; 4—0,0%.
 III. $\text{C}_2\text{H}_5\text{OH} - \text{C}_2\text{H}_5\text{SH} \cdot 10^5$ при 25°C ; $N_{\text{C}_2\text{H}_5\text{SH}} = 1-0,00$; 2—12,30;
 3—32,54; 4—44,76; 5—68,05; 6—100,00%

а смеси членов того же изопериодического ряда ($\text{C}_6\text{H}_5\text{COCH}_3$ и $\text{C}_6\text{H}_5\text{NO}_2$) [2], молекулы которых отличаются главным образом μ , приблизительно (поскольку их молекулы несколько различаются и другими своими свойствами) соотношению (4) (рис. 2). В случае же смесей изологов, из которых

дин компонент ассоциирован в смеси, а другой нет (C_2H_5OH и C_2H_5SH) [4], наблюдается резкое отклонение от зависимости (5), а именно: падение, а не рост $\gamma_{1,2}$ с ростом $M_{1,2}^{\frac{1}{2}}$, $R_{D1,2}^2$ и значительный прогиб (рис. 1). К смесям, удовлетворяющим (6), должны приближаться смеси метамерных эфиров, поскольку их молекулы обладают почти равными всеми свойствами. Действительно, измеренные значения $\gamma_{1,2}$ такого рода смеси: $CH_3COOC_2H_5$

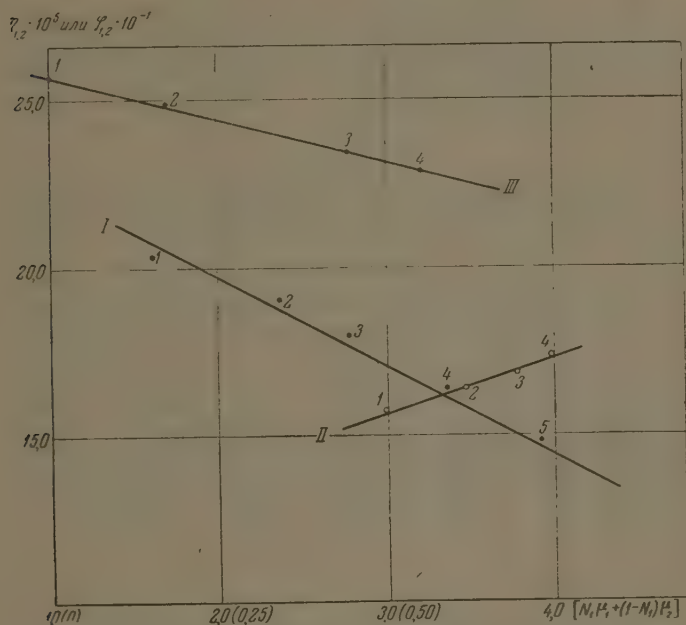


Рис. 2. Вязкость или текучесть бинарных смесей членов того же изопериодического ряда. I. $C_6H_5NO_2 - C_6H_5N(CH_3)_2$ ($\varphi_{77,5^\circ C}$), $N_{C_6H_5N(CH_3)_2} = 1 - 0,00; 2 - 0,25; 3 - 0,50; 4 - 0,67; 5 - 1,00$. II. $C_6H_5NO_2 - C_6H_5COCH_3$ ($\eta_{25^\circ C}$), $N_{C_6H_5COCH_3} = 1 - 0,00; 2 - 0,20; 3 - 0,50; 4 - 1,00$. III. $\alpha-C_6H_4(CH_3)_2 - n-C_6H_4(CH_3)_2$ ($\varphi_{63^\circ C}$), $N_{n-C_6H_4(CH_3)_2} = 1 - 0,00; 2 - 0,185; 3 - 0,68; 4 - 1,00$

$C_2H_5COOCH_3$ [2] почти неизменны. $\gamma_{1,2}/R_{D1,2}^2$ бинарных смесей бензола членов того же ряда изомеров изменяется (рис. 3) в согласии с (7), линейно с $M_{1,2}^{\frac{1}{2}}$. Этой же зависимости подчиняются (кроме C_2H_5OH) и смеси членами того же гомологического ряда спиртов (рис. 4). В случае смесей высшими членами ряда нормальных углеводородов (рис. 5), судя по литературным данным [5], $\gamma_{1,2}/M_{1,2}^{\frac{1}{2}}$ растет, по-видимому, пропорционально $R_{D1,2}^2$. В случае бинарных смесей с членами того же ряда изопериодических соединений ($\gamma_{1,2}$)_{P,T}, в согласии с (8), почти линейно растет с μ_2 (рис. 6 и 7). При этом const', как и следовало ожидать, равно значению $(\gamma_{1,2})_{P,T}$ смеси с членом ряда, для которого $\mu_2 = 0$ (*n*-кислота) [6]. Заметно отклоняются от линейной связи лишь смеси с OH- и COOH-содержащими членами данного ряда. $\gamma_{1,2}/M_{1,2}^{\frac{1}{2}}/R_{D1,2}^2$ бинарных смесей членов того же ряда замещенных, в согласии с (9), почти линейно изменяется с μ_2 (рис. 8 и 9). При этом снова заметно отклоняются от прямой лишь смеси с OH- и NH₂-содержащими членами ряда.

Таблица 2

 $10^5 (\eta_{1,2})_{P,T}$ бинарных смесей C_6H_6 (1) и $n-C_nH_{2n+2}OH$ (2)

N_2	$t, ^\circ C$	n					
		2	3	4	7	8	9
0,2	25	597	622	655	791	863	937
	50	424	440	—	534	570	678
1,0	25	1204	1923	2546	5316	6883	8637
	50	710	1025	—	2375	2961	3549

Таблица 3

 $10^5 (\eta_{1,2})_{P,T}$ бинарных смесей членов изопериодического ряда

Компонент 1	N_2	$t, ^\circ C$	Компонент 2						
			$[C_2H_5]_2O$	$[C_2H_5]_2NH$	$HCOOC_2H_5$	CH_3COOCH_3	$CH_3COC_2H_5$	$n-C_4H_9OH$	C_2H_5COOH
C_6H_6	0,2	20	504	522	558	—	569	714	660
		35	—	438	465	—	471	562	542
	0,5	20	371	411	482	480	487	1054	734
		35	—	350	409	406	414	791	602
$(CH_3)_2CO$ $CHCl_3$	0,2	25	323	335	359 (!)	—	355	782	443
	0,2	25	565	604	594	—	619	684	669
	1,0	20	250	320	418	411	411	2916	1101
	1,0	25	240	303	397	389	389	2546	1016
	1,0	35	—	274	361	354	355	1974	894

Таблица 4

 $(\eta_{1,2})_{P,T} \cdot 10^5$ бинарных смесей членов изопериодического ряда соединений и замещенных

Компонент 1	N ₂	t, °C	Компонент 2 : C ₆ H ₆										
			C ₂ H ₅	-OCH ₃	-CHO	-CH ₂ OH	-OH	-OC ₂ H ₅	-NH ₂	N(CH ₃) ₂	-CH ₂ Cl	-COOC ₂ H ₅	-NO ₂
C ₆ H ₆	0,2	25	601	671	714	855	841	680	780	696	693	775	711
		50	443	485	517	578	568	490	541	502	522	547	516
	0,5	25	607	782	928	1712	1711	823	1277	867	865	1105	968
		50	453	559	665	1026	968	576	792	617	617	744	684
CH ₃ COCH ₃ CHCl ₃	0,2	25	393	—	457	532	—	445	515	—	—	508	492
	0,2	25	622	—	—	843	—	698	764	—	—	—	778
	1,0	25	625	986	1411	5276	—	1104	3520	1232	1218	1860	1737
	1,0	50	474	690	978	2591	3199	732	1722	836	836	1151	1142

Из (2) следует, что для бинарных смесей нормальных жидкостей отклонение $\eta_{1,2}$ от аддитивного

$$(\Delta\eta_{1,2})_{P,T} = m_{1,2}^{1/2} \alpha_{1,2}^{1/2} [A_{1,2} + B_{1,2} \mu_{1,2}] -$$

$$- \{N_1 [m_1^{1/2} \alpha_1^{1/2} (A_1 + B_1 \mu_1) + (1 - N_1) [m_2^{1/2} \alpha_2^{1/2} (A_2 + B_2 \mu_2)]\}. \quad (10)$$

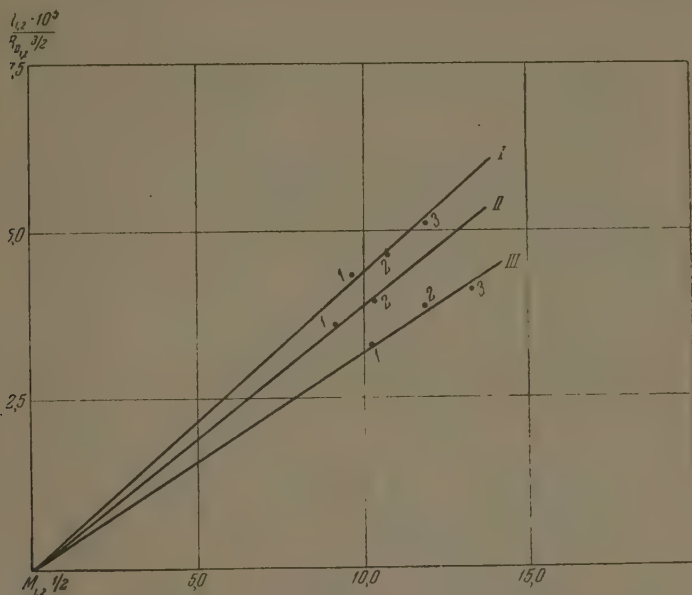


Рис. 3. $\eta_{1,2} \cdot 10^5 / R_{D,1,2}^{1/2}$ смесей бензола и членов того же ряда изолюгов. I. $C_6H_6 - C_6H_5Hal$ ($25^\circ C$, $N_2 = 0,5$). II. $C_6H_6 - n-C_4H_9Hal$ ($25^\circ C$, $N_2 = 0,5$). III. $C_6H_6 - C_6H_5Hal$ ($50^\circ C$, $N_2 = 0,8$) $Hal - I - Cl$, $2 - Br$, $3 - J$

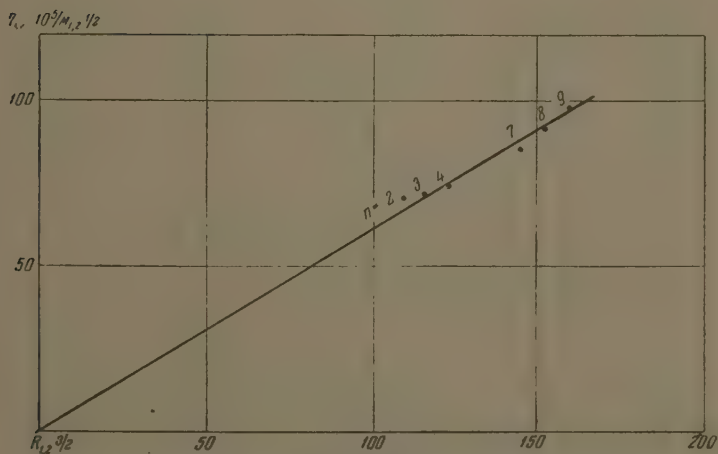


Рис. 4. $\eta_{1,2} \cdot 10^5 / M_{1,2}^{1/2}$ смесей C_6H_6 и членов гомологического ряда нормальных спиртов $C_nH_{2n+1}OH$ ($25^\circ C$, $N_2 = 0,2$)

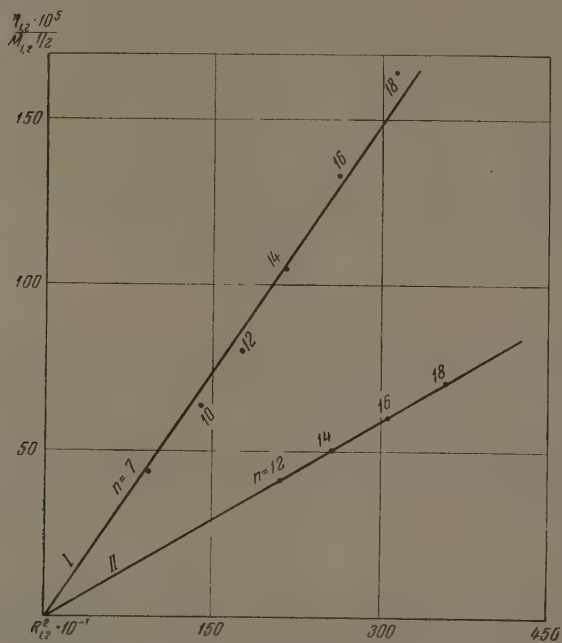


Рис. 5. $\eta_{1,2} \cdot 10^5 / M_{1,2}^{1/2}$ бинарных смесей членов гомологических рядов. I. $C_6H_6 - n-C_nH_{2n+2}$ ($25^\circ C$, $N_2 = 0,5$). II. $n-C_7H_{16} - n-C_nH_{2n+2}$ ($335,8^\circ K$, $N_2 = 0,5$)

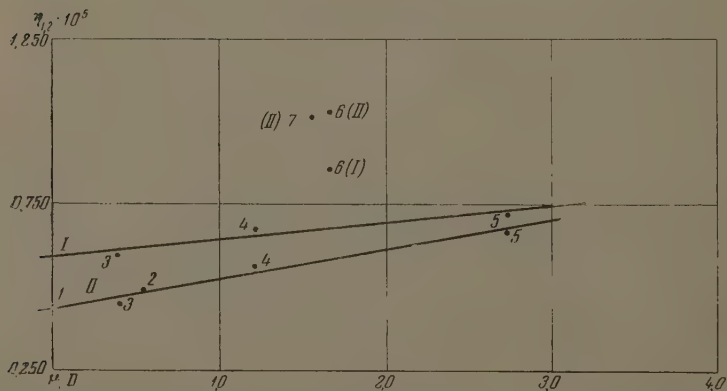


Рис. 6. Вязкость бинарных смесей бензола и членов того же изопериодического ряда. I. $25^\circ C$, $N_2 = 0,2$; II. $50^\circ C$, $N_2 = 0,5$ 1 — $n-C_6H_4(CH_3)_2$, 2 — $o-C_6H_4(CH_3)_2$, 3 — $C_6H_5C_2H_5$, 4 — $C_6H_5OCH_3$, 5 — C_6H_5CHO , 6 — $C_6H_5CH_2OH$, 7 — $C_6H_4(CH_3)OH$

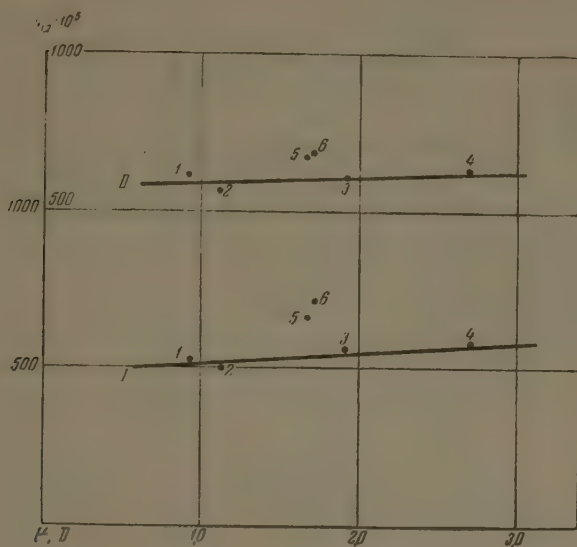


Рис. 7. Вязкость бинарных смесей с членами того же изомеродического ряда ($N_2=0,2$) I. C_6H_6-X ($20^\circ C$) II. $CHCl_3-X$ ($25^\circ C$)
 $X = 1 - (C_2H_5)_2NH$, 2 — $(C_2H_5)_2O$, 3 — $HCOOC_2H_5$,
 4 — $CH_3COC_2H_5$, 5 — $n-C_4H_9OH$, 6 — C_2H_5COOH

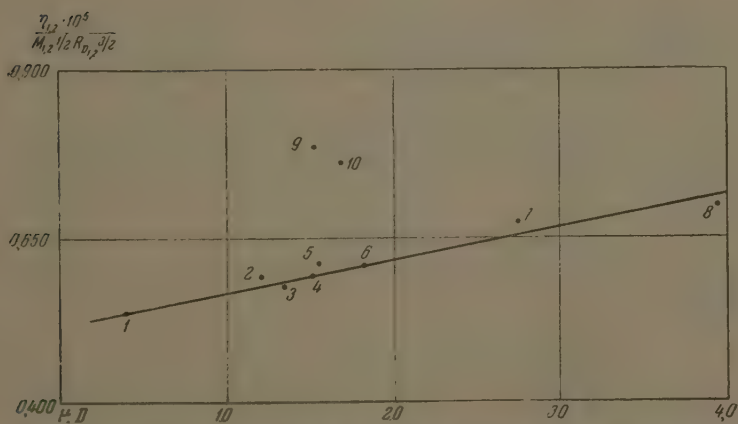


Рис. 8. $\eta_{1,2} \cdot 10^5 / M_{1,2}^{1/2} R_{D,2}^{1/2}$ смесей ацетона и членов того же ряда замещенных состава C_6H_5X ($25^\circ C$, $N_2 = 0,2$) $X = 1 - C_2H_5$; 2 — OC_2H_5 , 3 — I , 4 — Br , 5 — Cl , 6 — $COOC_2H_5$, 7 — CHO , 8 — NO_2 , 9 — NH_2 , 10 — CH_2OH

Отсюда для отдельных смесей

$$(\Delta\eta_{1,2})_{P, T, \Phi_1=\Phi_2, \mu_1=\mu_2, \alpha_1=\alpha_2} = \\ = \text{const} \{ [N_1 m_1 + (1 - N_1) m_2]^{1/2} - [N_1 m_1^{1/2} + (1 - N_1) m_2^{1/2}] \} \quad (11)$$

$$(\Delta\eta_{1,2})_{P, T, \Phi_1=\Phi_2, \mu_1=\mu_2} = \text{const} \{ \alpha_{1,2}^{1/2} m_{1,2}^{1/2} - [N_1 \alpha_1^{1/2} m_1^{1/2} + (1 - N_1) \alpha_2^{1/2} m_2^{1/2}] \} \quad (12)$$

$$(\Delta\eta_{1,2})_{P, T, \Phi_1=\Phi_2, \alpha_1=\alpha_2, m_1=m_2} = 0 \quad (13)$$

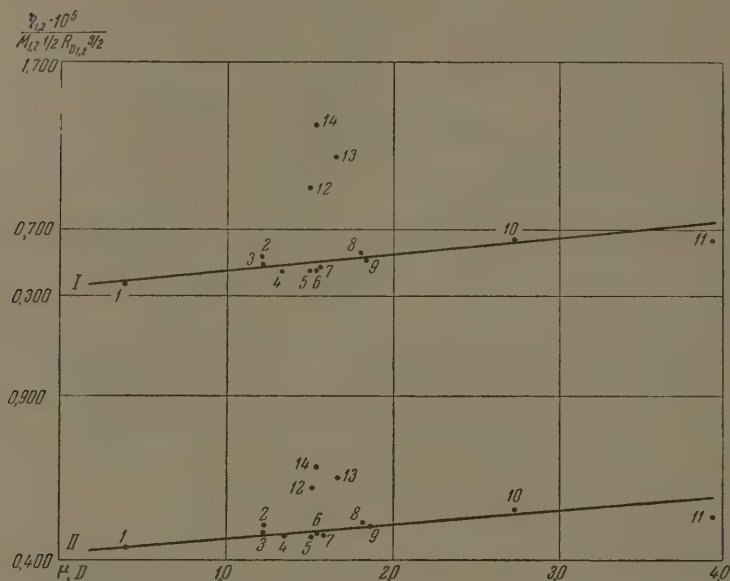


Рис. 9. $\eta_{1,2} \cdot 10^5 / M_{1,2}^{0.5} R_{D_{1,2}}^{1.5}$ смесей бензола и членов того же ряда замещенных состава C_6H_5X (25°C, I — $N_2 = 0,5$; II — $N_2 = 0,2$) X = I — C_2H_5 , 2 — OCH_3 , 3 — OC_2H_5 , 4 — J, 5 — Br, 6 — Cl, 7 — $N(CH_3)_2$, 8 — $COOC_2H_5$, 9 — CH_2Cl , 10 — CHO, 11 — NO_2 , 12 — NH_2 , 13 — CH_2OH , 14 — OH

Для ряда бинарных смесей нормальных жидкостей с теми же компонентами 1 и N_1

$$(\Delta\eta_{1,2})_{P, T, 1, N_1, \Phi_2, \alpha_2, m_2} = \text{const}' \pm \text{const}'' \mu_2 \quad (14)$$

$$(\Delta\eta_{1,2})_{P, T, 1, N_1, \Phi_2, \mu_2} = -\text{const}' + \text{const}'' [m_{1,2}^{1/2} \alpha_{1,2}^{1/2} - \text{const}''' m_2^{1/2} \alpha_2^{1/2}]. \quad (15)$$

Для смесей метамерных эфиров [2] в согласии с (13) $\Delta\eta$ почти равно нулю (отклонение от аддитивного менее 0,5%). У смесей изологов (C_6H_5Cl и C_6H_5Br) $\Delta\eta$ составляет 1—1,5% в соответствии с незначительной разницей между $R_{D_{1,2}}^{1/2} M_{1,2}^{1/2}$ и $[N_1 R_{D_1}^{1/2} M_1^{1/2} + (1 - N_1) R_{D_2}^{1/2} M_2^{1/2}]$. У смеси C_2H_5OH и C_2H_5SH $\Delta\eta$ аномально велико и не подчиняется (12) вообще.

В согласии с (14), $\Delta\eta_{1,2}$ смесей с членами того же изопериодического ряда изменяется, кроме OH-содержащих соединений, почти линейно с μ_2 (рис. 10); у изученных смесей с членами того же ряда изологов или гомологов ($\Delta\eta_{1,2}$) уменьшается с ростом $R_{D_2}^{1/2} M_2^{1/2}$ (рис. 11).

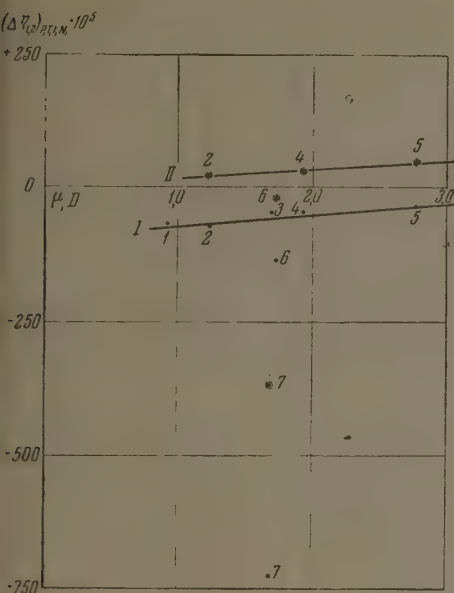


Рис. 10. $(\Delta\eta_{1,2})$ для рядов смесей с членами того же ряда изо-периодических соединений I — C_6H_6-X ($20^\circ C$, $N_2 = 0,5$). II — $CHCl_3, X$ ($25^\circ C$, $N_2 = 0,2$) $X =$ 1 — $(C_2H_5)_2NH$, 2 — $(C_2H_5)_2O$, 3 — CH_3COOCH_3 , 4 — $HCOOC_2H_5$, 5 — $CH_3COC_2H_5$, 6 — C_2H_5COOH , 7 — $n-C_4H_9OH$

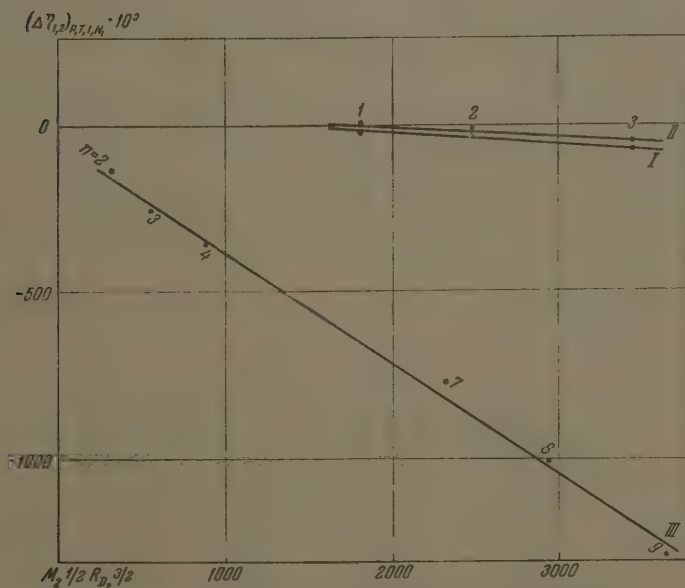


Рис. 11. $(\Delta\eta_{1,2})$ для бинарных смесей с членами того же изо-гомологического или гомологического рядов I — $C_6H_6 - C_6H_5X$ ($25^\circ C$, $N_2 = 0,5$); II — $CHCl_3 - C_6H_5X$ ($25^\circ C$, $N_2 = 0,2$); $X =$ 1 — Cl, 2 — Br, 3 — J; III — $C_6H_6 - n-C_{n+1}H_{2n+1}OH$ ($25^\circ C$, $N_2 = 0,2$)

Сравнение с $\Delta d_{1,2}$ (d — плотность) изученных смесей [2] показывает, что сжатие системы при смешении часто сопровождается отрицательным значением $\Delta\gamma_{1,2}$, что свидетельствует об ошибочности предположения о совпадении знака $\Delta\gamma$ и Δd [7]. Отрицательный знак $\Delta\gamma$ объясняют распадением при смешении ассоциированных комплексов; однако падение $\gamma_{1,2}$ сравнительно с аддитивным наблюдается только в меньшем размере и у многих смесей нормальных жидкостей; у смесей с компонентами, склонными к ассоциации, лишь абсолютное значение $\Delta\gamma_{1,2}$ сравнительно велико.

Как отмечалось выше, склонные к образованию комплексов ОН- и СООН-содержащие компоненты дают смеси, резко не подчиняющиеся установленным выше зависимостям для связи между $\gamma_{1,2}$ и $\Delta\gamma_{1,2}$, с одной стороны, и свойствами молекул, — с другой. Вызвано это, по-видимому, не иной только степенью взаимодействия их молекул [8], а наличием в смеси иных, чем учитываемые в указанных зависимостях, микрочастиц с иными свойствами. Очевидно, установленные зависимости могут служить критериями состава микрочастиц в смеси. Так, они свидетельствуют о том, что в изученных смесях жирные амины неассоциированы, а ароматические амины ассоциированы. Эти критерии позволяют устранить путаницу, вызванную попытками судить о составе микрочастиц в смеси (растворе) по характеру изменения $\gamma_{1,2}$ с N_1 или с T , приведенными к признанию ассоциации у бензола, бензалдегида и других нормальных тел [9] или, наоборот, к отрицанию роли ассоциации вообще и требованию ее замены значениями энергии связи между молекулами [10].

ВЫВОДЫ

1. Измерены значения вязкости при разных концентрациях и температурах бинарных смесей, состоящих из бензола, хлороформа или апелона в качестве компонента 1 и членов различных рядов соединений изологов, гомологов, изоупериодических соединений, замещенных, а также смесей метамеров $\text{C}_6\text{H}_5\text{COOC}_2\text{H}_5$ и $\text{C}_2\text{H}_5\text{COOCH}_3$ и изопериодических соединений $\text{C}_6\text{H}_5\text{COSCH}_3$ и $\text{C}_6\text{H}_5\text{NO}_2$.

2. Предложенные для $\gamma_{1,2}$ и $\Delta\gamma_{1,2}$ смесей нормальных жидкостей зависимости проверены на наших и некоторых литературных данных для $\gamma_{1,2}$.

3. Установленные зависимости, отражающие суммарный эффект свойств молекул на вязкость смеси, могут служить критериями состава микрочастиц в смеси.

Политехнический институт
им. В. И. Ленина
Харьков

Поступила
28.IV.1956

ЛИТЕРАТУРА

1. А. Е. Лупкий, Журн. физ. химии, 29, 983, 1162; 30, 396, 1956; 31, 377, 1957.
2. Е. М. Обухова, Молекулярные постоянные и некоторые физические свойства бинарных смесей, Диссертация, Б-ка ХПИ им. В. И. Ленина, 1956.
3. R. Kremann, N. Ehrlich, Mon., 35, 1365, 1914.
4. A. Dunstan, Journ. Chem. Soc., 85, 817, 1904.
5. D. Trevo, H. Drikamer, Journ. Chem. Phys., 17, 582, 1949.
6. А. А. Мамедов и Г. М. Панченков, Журн. физ. химии, 29, 1204, 1955.
7. D. McLeod, Trans. Farad. Soc., 19, 17, 1923.
8. J. Prigogine, V. Mathot, Journ. Chem. Phys., 20, 49, 1952; J. Barker, F. Smith, Journ. Chem. Phys., 22, 375, 1954.
9. A. Dunstan, Zs. phys. Chem., 56, 370, 1906; A. Bramley, Journ. Chem. Soc., 109, 10, 1916.
10. Г. М. Панченков, Теория вязкости жидкостей, Гостоптехиздат, 1947, стр. 133—134.

THE MOLECULAR CONSTANTS AND THE MACRO-PHYSICAL PROPERTIES OF MIXTURES

I. THE VISCOSITY OF LIQUID BINARY MIXTURES

A. E. Lutskiĭ and *E. M. Obukhova* (Kharkov)

Summary

The viscosity of binary mixtures consisting of benzene, chloroform and acetone as component I and the members of various series of compounds (isologs, homologs, isoperiodic compounds, substituted compounds), as well as the metamers $\text{CH}_3\text{COOC}_2\text{H}_5$ and $\text{C}_2\text{H}_5\text{COOCH}_3$ and the isoperiodic compounds $\text{C}_6\text{H}_5\text{COCH}_3$ and $\text{C}_6\text{H}_5\text{NO}_2$, as component II, has been measured at different concentrations and temperatures. The correlations proposed for the $\eta_{1,2}$ and $\eta_{1,2}$ of mixtures of normal liquids have been checked with our and reported data on $\eta_{1,2}$. These correlations, reflecting the total effect of the molecular properties on the viscosity may serve as criteria for the state of the molecules in the mixture.

ОПРЕДЕЛЕНИЕ СОСТАВА РАЗРЯЖАЮЩИХСЯ АММИАЧНЫХ И ОКСАЛАТНЫХ КОМПЛЕКСОВ ЦИНКА ПО РАЗНИЦЕ АНОДНОГО И КАТОДНОГО ПОТЕНЦИАЛОВ ПОЛУВОЛН НА ЦИНКОВОМ АМАЛЬГАМНОМ КАПЕЛЬНОМ ЭЛЕКТРОДЕ*

А. Г. Стромберг

До недавнего времени не существовало экспериментального метода определения состава разряжающихся комплексов. Такой метод был предложен Геришером [1]. Он показал, что состав разряжающихся комплексов может быть найден из изучения зависимости тока обмена от концентрации комплексообразователя.

Используя метод переменного тока, Геришер показал [2], что разряжающиеся на цинковой амальгаме комплексы цинка имеют состав, отличающийся от состава преобладающего в растворе комплекса, определенного термодинамическим методом.

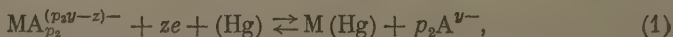
Нами показано [3, 4], что ток обмена может быть определен методом амальгамной полярографии по разнице анодного и катодного потенциалов полуволн. Используя метод амальгамной полярографии, мы показали [5], что разряжающиеся аммиачные комплексы цинка имеют состав $ZnNH_3^{2+}$ ($p_2 = 1,1$), тогда как в работе Геришера [2] методом переменного тока был найден состав разряжающегося комплекса $Zn(NH_3)_2^{2+}$ ($p_2 = 2,0$). Это расхождение мы объяснили различием в составе растворов в обеих работах.

Целью настоящей работы является определение состава разряжающихся аммиачных и оксалатных комплексов цинка методом амальгамной полярографии в растворах того же состава, что и в работе Геришера.

ВЫВОД ВЫРАЖЕНИЯ ДЛЯ ВЫЧИСЛЕНИЯ СОСТАВА РАЗРЯЖАЮЩИХСЯ КОМПЛЕКСОВ НА АМАЛЬГАМНОМ КАПЕЛЬНОМ ЭЛЕКТРОДЕ

Рассмотрим амальгамный капельный электрод, погруженный в раствор, содержащий комплексные ионы металла и избыток комплексообразователя. При этом полагаем справедливыми те же упрощающие предположения, которые делались нами при выводе основного уравнения теории замедленного разряда — ионизации на амальгамном капельном электроде [3]. Кроме того, полагаем, что состав разряжающегося комплекса может отличаться от состава преобладающего в растворе комплекса, причем равновесие между этими комплексами устанавливается быстро.

Уравнение рассматриваемой нами электродной реакции в общем виде можно записать



где M — металл; A — комплексообразователь; p_2 — состав разряжающегося комплекса; z — положительный заряд иона металла; y — отрицательный заряд комплексообразователя.

При равновесном потенциале скорости разряда и ионизации равны между собой и равны току обмена [6]. Отсюда для рассматриваемой электродной реакции

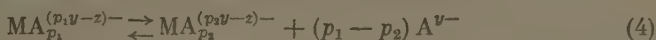
$$i_0 = k_1 c_2 e^{-\frac{\alpha}{b'} \varphi_p}, \quad (2)$$

$$i_0 = k_2 c_M c_A^{p_2} e^{\frac{\beta}{b'} \varphi_p}, \quad (3)$$

* В экспериментальной части работы принимала участие Л. В. Ершова.

где k_1 и k_2 — константы скорости процесса разряда и ионизации при потенциале $\varphi = 0$; c_2 , c_A и c_M — концентрации в молях на литр соответственно разряжающихся комплексов и комплексообразователя в растворе и атомов металла в амальгаме; φ_p — равновесный потенциал; $b' = RT/zF$; α и β — коэффициенты разряда и ионизации ($\alpha + \beta = 1$); i_0 — ток обмена.

Константа равновесия $K_{1,2}$ между разряжающимися и преобладающими в растворе комплексами в соответствии с уравнением



определился из выражения (полагаем, для простоты, что коэффициенты активности остаются постоянными при разных концентрациях комплексообразователя)

$$K_{1,2} = \frac{c_2 c_A^{p_1 - p_2}}{c_1}, \quad (5)$$

где c_1 — концентрация преобладающих в растворе комплексов; p_1 — состав преобладающих в растворе комплексов.

Исключая из уравнений (2) и (3) величину φ_p и подставляя значение c_2 из (5), получим

$$i_0 = K_{1,2}^\beta k_1^\beta k_2^\alpha c_A^\beta c_M^\alpha c_A^{p_2 - \beta p_1}. \quad (6)$$

Отсюда

$$\gamma_{i_0} = - \left(\frac{\partial \lg i_0}{\partial \lg c_A} \right)_{c_1, c_M} = \beta p_1 - p_2. \quad (7)$$

Полагаем, что условие $c_1 = \text{const}$ выполняется при постоянной аналитической концентрации исследуемого металла в растворе несмотря на изменение концентрации комплексообразователя. Это условие будет, очевидно, выполняться тем лучше, чем больше концентрация преобладающего в растворе комплекса по сравнению с комплексами другого состава, находящимися с ним в равновесии.

Состав p_1 преобладающего в растворе комплекса может быть вычислен из известного выражения для равновесного потенциала по формуле

$$\gamma_\varphi = - \left(\frac{\partial \varphi_p}{\partial \lg c_A} \right)_{c_1, c_M} = b p_1 \quad (8)$$

($b = 2,3 RT/zF$). Подставляя значение p_1 из (8) в (7), получим

$$p_2 = \frac{\beta}{b} \gamma_\varphi - \gamma_{i_0}. \quad (9)$$

Нам показано [3], что для тока обмена на амальгамном капельном электроде (при достаточной необратимости электродного процесса) имеется следующее соотношение:

$$\lg i_0 = \lg I_K I_A^\beta - \frac{\alpha \beta}{b} \Delta \varphi_{1/2 \text{ ак}}, \quad (10)$$

где $\Delta \varphi_{1/2 \text{ ак}}$ — разница анодного и катодного потенциалов полувольты I_K и I_A — высота катодной и анодной волны, т. е. катодный и анодный предельные токи. Отсюда

$$\left(\frac{\partial \Delta \varphi_{1/2 \text{ ак}}}{\partial \lg c_A} \right)_{I_K, I_A} = \gamma_{\Delta} = - \frac{b}{\alpha \beta} \left(\frac{\partial \lg i_0}{\partial \lg c_A} \right)_{I_K, I_A}. \quad (11)$$

Полагаем, что при постоянной аналитической концентрации металла в растворе высота катодной волны также остается постоянной при разных концентрациях комплексообразователя в растворе. Это условие обычно оправдывается на опыте, если только вязкость раствора не меняется очень сильно. Тогда из (7) и (11) получаем

$$\gamma_{i_0} = \frac{\alpha\beta}{b} \gamma_{\Delta}. \quad (12)$$

Подставляя (12) в (9), получим окончательное выражение для вычисления состава (p_2) разряжающихся комплексов методом амальгамной полярографии

$$p_2 = \frac{\beta}{b} \gamma_{\varphi} - \frac{\alpha\beta}{\beta} \gamma_{\Delta}. \quad (13)$$

Таким образом, для того чтобы определить методом амальгамной полярографии состав разряжающегося комплекса, нужно определить анодный и катодный потенциалы полуволн и равновесный потенциал амальгамного капельного электрода при разных концентрациях комплексообразования; построить графики в координатах

$$\Delta\varphi_{1/2 \text{ ак}} - \lg c_A \text{ и } \varphi_p - \lg c_A$$

(эти графики должны изображаться прямыми линиями в случае правильности сделанных предположений) и найти из графиков в соответствии с формулами (11) и (8) угловые коэффициенты γ_{Δ} и γ_{φ} и, наконец, по формуле (13) наш и искомый состав p_2 разряжающегося комплекса.

АППАРАТУРА И МЕТОДИКА РАБОТЫ

Электролизер с амальгамным капельным электродом для получения полярограммы с анодной и катодной волнами цинка изображен на рис. 1.

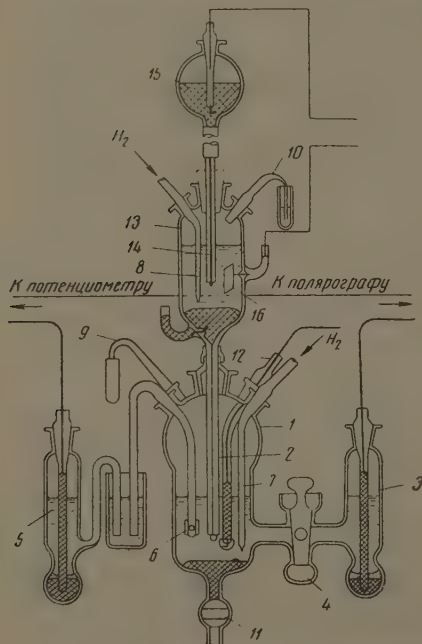


Рис. 1. Электролизер с амальгамным капельным электродом. 1 — нижний электролизер; 2 — капилляр амальгамного капельного электрода; 3 — поляризующий электрод (насыщенный каломельный электрод); 4 — кран; 5 — вспомогательный электрод (насыщенный каломельный электрод); 6 — сифон с пришлифованным цилиндром; 7 и 8 — трубки для продувания водорода через электролит; 9 и 10 — водные затворы для удаления водорода из электролизера; 11 — нижний кран для сливания амальгамы и смены электролита; 12 — ложка для измерения равновесного потенциала неподвижной амальгамы; 13 — верхний электролизер; 14 — капилляр ртутного капельного электрода; 15 — верхний резервуар со ртутью; 16 — одноканальный платиновый анод

Прибор состоит из двух частей: верхней и нижней. В верхнем электролизере 13 непрерывно готовится амальгама электролизом на ртутном капельном электроде 14 и собирается на дне верхнего электролизера.

В отличие от метода Токштейна [7] мы проводили электролитическое получение гальванического цинка заданного состава при контролируемом потенциале в области предельного тока цинка с анодом из цинка (аниодированная платина). Высота волны цинка, необходимая для получения амальгамы цинка требуемой концентрации, вычисляется на основе закона Фарадея по формуле $I = c \cdot 0,0705 \cdot m$, где m — скорость вытекания из капилляра (мл/сек). Если скорость вытекания ртути из верхнего капельного электрода 1 и амальгамы из нижнего капельного электрода 2 приблизительно одинаковы, то можно непрерывно проводить серию опытов в течение нескольких часов без заметного изменения уровня амальгамы в верхнем электролизере; при этом концентрация амальгамы сохраняет достаточно постоянное значение.

В нижнем электроде проводятся поляризационные измерения на амальгамном капельном электроде. Переменное внешнее напряжение задается с помощью визуального гальванометра. Сила тока измеряется зеркальным гальванометром $M = 21,2$; потенциал — при помощи потенциометра ПНТБ-1. Растворенный кислород воздуха удаляется из растворов продуванием водорода.

Воспроизводимость результатов по потенциалам полуволи была достаточно хорошей; как правило, с точностью $\pm 0,001V$ при повторных опытах.

Равновесные потенциалы амальгам цинка измерялись на неподвижном амальгамном электроде, так как из-за наличия тока зарядки на амальгамном электроде (с помощью потенциометра) замеряется не равновесный, а стационарный потенциал [8]. Следует отметить, что на неподвижных разбавленных амальгамах цинка результаты измерения равновесных потенциалов получаются менее точными и воспроизводимыми по сравнению с измерениями потенциалов полуволи на капельном амальгамном электроде.

Все растворы готовились на бидистиллате. Исходные реактивы перекристаллизовывались (хлористый натрий, хлористый калий, оксалат калия) или перегонялись (аммиак). Исходный раствор хлористого цинка готовился из точной навески металлического цинка.

РЕЗУЛЬТАТЫ ОПЫТОВ И ИХ ОБСУЖДЕНИЕ

Результаты опытов приведены на рис. 2—7 и в табл. 1—3.

Как видно из рисунков, анодные и катодные потенциалы полуволи цинка в обоих растворах с увеличением концентрации комплексообразователя (аммиака или оксалата калия) становятся более отрицательными. Причем разность потенциалов анодного и катодного потенциалов полуволи

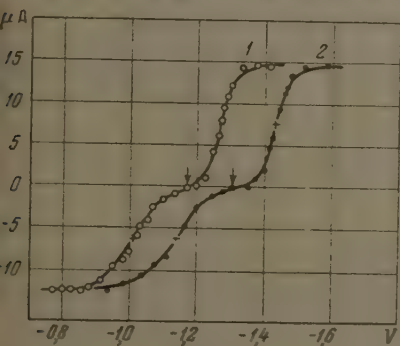


Рис. 2

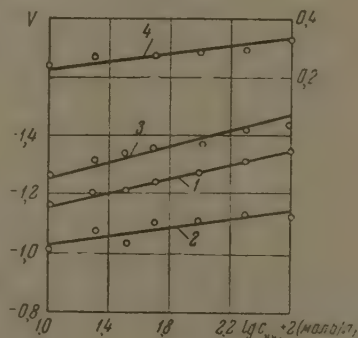


Рис. 3

Рис. 2. Поляризационные кривые цинка на цинковом (10^{-3} г-атом/л) амальгамном капельном электроде в растворе состава $10^{-3} M ZnCl_2$, $2,0 M NaCl$, $x M NH_4OH$ и $0,01\%$ метилены. 1— $0,02 M NH_4OH$; 2— $2,0 M NH_4OH$. Крестиками указаны потенциалы полуволи; стрелками — равновесные потенциалы относительно НК.)

Рис. 3. Зависимость от логарифма концентрации аммиака (моль/л) равновесного потенциала (кривая 1), анодного и катодного потенциалов полуволи и их разницы (кривые 2, 3 и 4) для цинка в аммиачном растворе на цинковом амальгамном капельном электроде. Состав раствора, см. рис. 2

увеличивается. Из рис. 3 и 6 видно, что зависимость анодного и катодного потенциалов полуволи, их разницы и равновесный потенциал линейно зависят от логарифма концентрации обоих комплексообразователей в со-

ответствии с теоретическими соображениями, развитыми выше. Угловые коэффициенты прямых на этих рисунках в соответствии с формулами (11) и (8) равны γ_{Δ} и γ_{Φ} (табл. 1). Значения коэффициентов разряда и иониза-

Таблица 1

Комплексы	γ_{Δ}	γ_{Φ}	α	β	$\frac{\beta}{\alpha} \gamma_{\Phi}$	$\frac{\alpha\beta}{b} \gamma_{\Delta}$
Аммиачные	0,032	0,11	0,60	0,40	1,47	0,24
Оксалатные *	0,22	0,093	0,31	0,69	2,14	1,54
а	0,32	0,093	0,28	0,72	2,24	2,45
б						

* а — при концентрации оксалата от 0,1 до 0,4 М, б — при концентрации оксалата от 0,02 до 0,1 М.

ции (α и β), приведенные в табл. 1 и необходимые для расчетов по формуле (13), вычислялись нами из относительного сдвига анодной и катодной волны по формуле (3)

$$\alpha = \frac{\Delta\varphi_{1/2a}}{\Delta\varphi_{1/2ak}} \quad \text{и} \quad \beta = 1 - \alpha,$$

где $\Delta\varphi_{1/2a} = \varphi_{1/2a} - \varphi_{1/2обр}$; $\varphi_{1/2обр}$ — потенциал полуволны при обратимом электродном процессе. В условиях наших опытов мы имели [3]: $\varphi_{1/2обр} = \varphi_p$.

Результаты расчетов состава преобладающих в растворе p_1 и разряжающихся комплексов p_2 по формулам (8) и (13) на основании опытных данных, полученных методом амальгамной полярографии в нашей работе, приведены в табл. 2. В этой же таблице приведены результаты расче-

Таблица 2

Комплексы	P_1 по расчетам		P_2 по расчетам	
	нашим	Геришера	нашим	Геришера
Аммиачные	3,7	3,1	1,2	1,95
Оксалатные *	3,1	3,05	0,6	1,03
а	3,1	(2)	-0,2	(0)
б				

* См. споску к табл. 1.

тов состава этих комплексов в растворах того же состава, произведенных в работе Геришера [2] на основании опытных данных, полученных методом переменного тока.

Из табл. 2 видно, что наши данные в общем согласуются с результатами работы Геришера, хотя имеются и некоторые расхождения. Для преобладающего в растворе аммиачного комплекса мы получили формулу $Zn(NH_3)_4^{2+}$ ($p_1 = 3,7$), тогда как Геришер дает для этого комплекса не согласующуюся с литературными данными и сомнительную формулу $Zn(NH_3)_3^{2+}$ ($p_1 = 3,1$). Для разряжающегося аммиачного комплекса мы получили в согласии с предыдущей нашей работой [5] формулу $ZnNH_3^{2+}$ ($p_2 = 1,2$ и $1,1$), а Геришер — $Zn(NH_3)_2^{2+}$ ($p_2 = 1,95$).

Таким образом мы подтвердили полученный нами [5] ранее результат и показали, что расхождение с данными Геришера, по-видимому*, не связано с составом раствора.

* Следует отметить, что из статьи Геришера [2] не совсем ясно видно, присутствует ли в растворе наряду с аммиаком также едкий натр или нет.

В концентрированных оксалатных растворах формула преобладающего в растворе оксалатного комплекса цинка в согласии с данными Гершера получилась $\text{Zn}(\text{C}_2\text{O}_4)_3^{4-}$ ($p_1 = 3,1$ и $3,05$), а формула разряжающегося комплекса (точнее молекулы) — ZnC_2O_4 ($p_2 = 0,6$ и $1,03$). Значение p_2 меньше единицы ($p_2 = 0,6$) в наших опытах, возможно, указывает на то, что наряду с молекулами ZnC_2O_4 разряжаются также простые гидратированные ионы цинка Zn^{2+} ($p_2 = 0$).

В разбавленных оксалатных растворах (менее $0,1 \text{ M K}_2\text{C}_2\text{O}_4$) Гершер дает для преобладающего в растворе комплекса формулу $\text{Zn}(\text{C}_2\text{O}_4)_2^{2-}$, хо-

тя рассмотрение графиков, приведенных в его статье [2] в согласии с нашими опытными данными ($p_1 = 3,1$), не дает никаких указаний, по нашему мнению, на изменение состава преобладающего комплекса с разбавлением раствора.

При этом, по данным Гершера, на электроде разряжаются простые ионы цинка ($p_2 = 0$). Наши опытные данные согласуются с этим результатом работы Гершера. Впрочем, этот вывод из нашей работы нельзя считать очень надежным, так как отклонение от прямолинейности на рис. 6 могло произойти при малых концентрациях оксалата по другим причинам, например, из-за непостоянства концентрации иона оксалата вблизи поверхности электрода при малом избытке его в растворе.

Таким образом, несмотря на некоторые небольшие расхождения, мы подтвердили общий вывод из работы Гершера, что разряжаются, как правило, комплексы более простого состава, чем преобладающие в растворе. Разряжаются, очевидно, комплексы, обладающие меньшей энергией активации процесса разряда.

В случае аммиачных комплексов цинка, по нашему мнению, комплекс ZnNH_3^{2+} (или $\text{Zn}(\text{NH}_3)_2^{2+}$) будет обладать меньшей энергией активации процесса разряда, по сравнению с комплексом $\text{Zn}(\text{NH}_3)_4^{2+}$, так как первый окружен меньшим числом аддендов и поэтому легче может подойти к поверхности электрода и получить электроны.

В случае оксалатных комплексов, кроме стерического фактора, имеет значение также отсутствие отрицательного заряда у разряжающихся молекул ZnC_2O_4 , так как процесс разряда оксалатных комплексов цинка происходит при потенциалах отрицательнее потенциала нулевого заряда тити.

В заключение отметим, что коэффициенты разряда и ионизации (α и β), вычисленные из сдвига воли по формуле (12), удовлетворительно согласуются с результатами расчетов в работе Гершера [2] (табл. 3). При этом природа комплекса оказывает существенное влияние на относительную величину этих коэффициентов, например, в аммиачном растворе цинка $\alpha = 0,60$, а в оксалатном — $\alpha = 0,31$.

Коэффициенты α и β можно вычислить на основании теории замедленного разряда — ионизации [6] также и из наклона прямых в координатах $-\lg J_i/J - i$ (рис. 4 и 7); $\eta = \pm (\varphi - \varphi_p)$ — поляризация; i — ток при поляри-

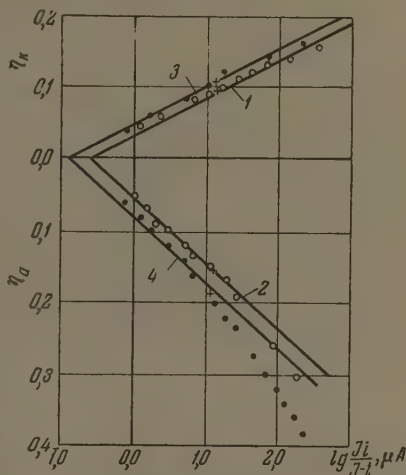


Рис. 4. Катодные и анодные поляризационные кривые цинка в аммиачном растворе на цинковом амальгамном капельном электроде в координатах $\eta - \lg \frac{J_i}{J - i}$. Кривые 1 и 2 — $0,1 \text{ M NH}_4\text{OH}$, 3 и 4 — $2,0 \text{ M NH}_4\text{OH}$. Крестиками отмечены потенциалы полуволлы

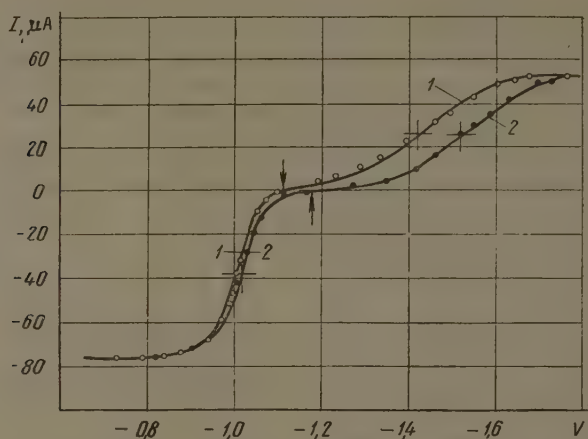


Рис. 5. Поляризационные кривые цинка на цинковом ($5,0 \cdot 10^{-3}$ г-атом/л) амальгамном капельном электроде в растворе состава $5 \cdot 10^{-3}$ М ZnCl_2 ; 2,0 М KCl , x М $\text{K}_2\text{C}_2\text{O}_4$ и 0,01% желатина. Кривая 1—0,1 М $\text{K}_2\text{C}_2\text{O}_4$; кривая 2—0,4 М $\text{K}_2\text{C}_2\text{O}_4$. Крестиками указаны потенциалы полуволи; стрелками — равновесные потенциалы

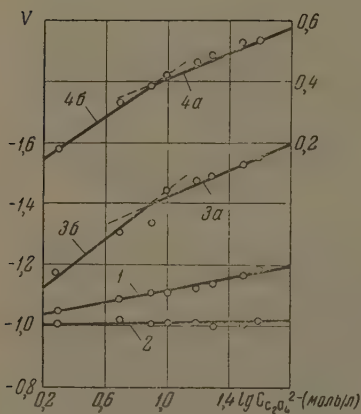


Рис. 6

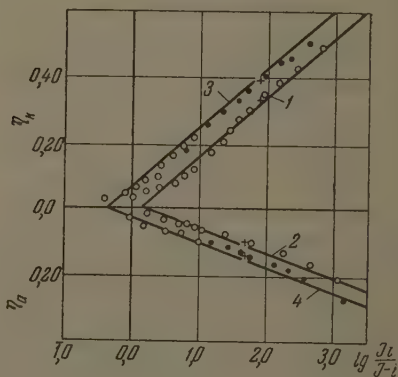


Рис. 7

Рис. 6. Зависимость от логарифма концентрации оксалата калия (моль/л) равновесного потенциала (кривая 1), анодного и катодного потенциалов полуволи и их разницы (кривые 2, 3 и 4) для цинка в оксалатном растворе на цинковом амальгамном капельном электроде. а и б — соответствуют сноске к табл. 1. Состав раствора, см. рис. 5

Рис. 7. Катодные и анодные поляризационные кривые цинка в оксалатном растворе на цинковом амальгамном капельном электроде в координатах $\eta - \lg \frac{J_i}{J-i}$. Кривые 1 и 2—0,1 М $\text{K}_2\text{C}_2\text{O}_4$; 3 и 4—0,4 М $\text{K}_2\text{C}_2\text{O}_4$. Крестиками отмечены потенциалы полуволи

Таблица 3

Комплексы	Коэффициенты	Наши данные		Из опытов Геришера с переменным током
		Из накло- на волн	Из сдвига волн	
Аммиачные	α	0,60	0,60	0,57
	β	0,35	0,40*	0,41
	$\alpha + \beta$	0,95	(1,00)	0,98
	α	0,16	0,31	0,95
Оксалатные	β	0,43	0,69*	0,75
	$\alpha + \beta$	0,59	(1,00)	1,00

* Вычислено из условия $\beta = 1 - \alpha$.

рации η ; угловые коэффициенты анодной и катодной волны в этих координатах равны соответственно β и α [3]. Как видно из табл. 3, в аммиачном растворе значения α и β , вычисленные из наклона волн (рис. 4), удовлетворительно согласуются с их значениями, найденными из сдвига волн, причем сумма их в соответствии с теорией близка к единице ($\alpha + \beta = 0,95$; табл. 3).

В случае оксалатных комплексов сумма коэффициентов α и β , найденных из наклона волн (рис. 7), оказывается меньше единицы ($\alpha + \beta = 0,59$; табл. 3). При этом интересно отметить, что отношение коэффициентов α и β , найденных из сдвига волн ($0,31/0,69 = 0,45$), приблизительно равно отношению коэффициентов, найденных из наклона волны ($0,16/0,48 = 0,37$).

Следует отметить, что условие $\alpha + \beta = 1$ должно выполняться в соответствии с требованиями термодинамики только при данном потенциале, а наклоны анодной и катодной волн мы измеряем при разных потенциалах. Поэтому, если α и β меняются с потенциалом [6], то при разных потенциалах их сумма может и не равняться единице.

ВЫВОДЫ

1. Усовершенствован метод Токштейна непрерывного приготовления амальгамы электролизом на ртутном капельном электроде.

2. На основе теории замедленного разряда — ионизации и теоретических соображений Геришера выведено выражение для вычисления состава разряжающихся комплексов по опытным данным зависимости разницы анодного и катодного потенциалов полуволи на амальгамном капельном электроде от концентрации комплексобразователя.

3. Показано, что состав разряжающихся аммиачных и оксалатных комплексов цинка, определенный методом амальгамной полярографии, отличается от состава преобладающих в растворе комплексов. Этот результат находится в согласии с опытными данными Геришера, полученными в растворах того же состава методом переменного тока.

Томский политехнический
институт

Поступила
12.V.1956

ЛИТЕРАТУРА

1. H. Gerischer, Zs. phys. Chem., 202, 292, 1953.
2. H. Gerischer, Zs. phys. Chem., 202, 304, 1953.
3. А. Г. Стромберг, Журн. физ. химии, 29, 409, 1955.
4. А. Г. Стромберг, Журн. физ. химии, 29, 2152, 1955.
5. А. Г. Стромберг и М. К. Иванцова, ДАН, 100, 303, 1955.
6. А. Н. Фрумкин, В. С. Багоцкий, З. А. Пофа и Б. Н. Кабанов, Кинетика электродных процессов, Изд-во МГУ, 1952.
7. A. Tockstein, Coll. Czech. Chem. Comm., 16, 101, 1951.
8. А. Г. Стромберг и А. З. Брайнина, ДАН, 97, 863, 1954.

DETERMINATION OF THE COMPOSITION OF DISCHARGING AMMONIUM AND
OXALATE COMPLEXES OF ZINC FROM THE ANODIC AND CATHODIC HALF
WAVE POTENTIAL DIFFERENCES AT THE DROPPING ZINC AMALGAM
ELECTRODE

A. G. Stromberg (Sverdlovsk)

Summary

A new method — amalgam polarography — has been proposed for determining the composition of discharging complexes. A formula has been derived for calculating the composition of the discharging complex from the dependence of the difference between the anodic and cathodic half-wave potentials on the logarithm of the concentrations of the complex-forming compounds. A polarographic electrolyzer with dropping amalgam electrode has been designed, permitting preparation the amalgam of required composition by electrolysis on the dropping electrode continuously during the course of the experiment.

Experimental results have been obtained on the dependence of the equilibrium potential and the anodic and cathodic half-wave potentials for the corresponding zinc complexes at the dropping zinc amalgam electrode upon the complex-forming compound (ammonia or potassium oxalate). From these data the compositions of the predominant ammonium and oxalate complexes of zinc in the solution and of the complex discharging at the dropping zinc amalgam electrode have been calculated. In ammonium solutions the predominant complex has been shown to be of the composition $\text{Zn}(\text{NH}_3)_4^{2+}$ whereas the discharging one, ZnNH_3^{2+} . In oxalate solution (above 0.1 M $\text{K}_2\text{C}_2\text{O}_4$) $\text{Zn}(\text{C}_2\text{O}_4)_3^{4-}$ is predominant and ZnC_2O_4 discharges.

These data are in general in satisfactory agreement with the results of Gerischer who determined the compositions of the discharging zinc complexes in the same solutions using the alternating current method.

ВЛИЯНИЕ ПАРАМЕТРОВ ОПЫТА НА ХРОМАТОГРАФИЧЕСКОЕ РАЗДЕЛЕНИЕ ВЕЩЕСТВ В ГАЗОВОЙ ИЛИ ПАРОВОЙ ФАЗЕ

1. ВЛИЯНИЕ ТЕМПЕРАТУРЫ НА РАЗДЕЛЕНИЕ СМЕСИ МЕТАНА, ЭТАНА И ПРОПАНА ЭЛЮЕНТНЫМ СПОСОБОМ НА СИЛИКАГЕЛЕ

*Д. А. Вяхирев и А. И. Брук**

Качество разделения веществ хроматографическим методом в целом зависит от правильного выбора параметров хроматографического опыта, из которых мы подразумеваем температуру, природу газа-носителя, скорость потока газа через слой адсорбента, природу адсорбента, величину зерна адсорбента и другие. Основоположник хроматографии М. С. Цвет уделял большое внимание изучению влияния этих параметров на разделение хлорофилловых пигментов [1]. Расширение исследований в направлении изучения влияния параметров опыта на разделение веществ хроматографическим методом в различных его вариантах представляет научный и практический интерес. Между тем этот вопрос при современном уровне развития хроматографии изучен далеко не полно, особенно в хроматографии газов и паров. Имеется лишь незначительное число статей по газовой хроматографии, в которых показано влияние тех или иных параметров.

Дамколер и Тиле [2] изучали влияние скорости потока газа-носителя (N_2 или H_2), толщины слоя адсорбента и разрежения за слоем адсорбента на разделение смесей метанол — этанол и бензол — циклогексан элюентным способом. В качестве адсорбента они применяли мелкозернистый материал, полученный путем измельчения до определенного размера пористых глиняных тарелок и пропитки этого материала глициерином.

Филипс [3] изучал влияние тех же параметров на вытеснительный анализ смеси пропана, бутана и бутилена на угле. Н. М. Туркельтауб [4] исследовал влияние на разделение метана и этана элюентным способом на увлажненном угле — состава бинарной смеси и суммарной концентрации, температуры и влажности адсорбента; в качестве газа-носителя применялся воздух. Кремер, Приор и Мюллер [5,6] исследовали влияние скорости потока газа-носителя (H_2), величины пробы исследуемого газа, температуры и зернения на время десорбции CO_2 , C_2H_2 и C_2H_4 из колонки с силикагелем элюентным способом. Янак [7] изучал влияние тех же факторов на разделение различных газов на колонке с углем и силикагелем, пользуясь в качестве газа-носителя током CO_2 .

Результаты, полученные цитированными авторами при работе с разными газами и адсорбентами, за некоторыми исключениями, хорошо согласуются между собой, что позволяет сделать некоторые предварительные обобщающие выводы о влиянии тех или иных параметров на разделение веществ в газовой фазе. Несмотря на это, ввиду крайне широкой области применения хроматографии и многочисленности ее вариантов, на наш взгляд, для более широких обобщений накопленный экспериментальный материал нуждается в существенном дополнении.

Настоящая статья посвящена вопросу о влиянии температуры на разделение метана, этана и пропана элюентным способом хроматографии в колонке с силикагелем.

Влияние температуры на процесс хроматографического разделения обусловлено влиянием температуры на адсорбцию разделяемых веществ, которое может быть выражено известным уравнением [8]

$$\Gamma = \frac{a}{c} = Ae^{Q_d/RT}, \quad (1)$$

* В выполнении экспериментальной части принимала участие Н. А. Дикарева.

где Γ — коэффициент адсорбции; a — равновесная адсорбция; c — равновесная концентрация; Q_d — дифференциальная теплота адсорбции; T — абсолютная температура; R — газовая постоянная; A — некоторая постоянная, характеризующая адсорбционный объем.

Чтобы связать эту зависимость с хроматографией, воспользуемся известным уравнением Н. А. Шилова [9]

$$w = \frac{x}{t} = \frac{a}{a/c}, \quad (2)$$

где w — скорость движения зоны данного компонента разделяемой смеси вдоль слоя адсорбента; x — длина слоя адсорбента в колонке; t — время прохождения зоны данного компонента через слой адсорбента; α — линейная скорость потока газа-носителя (в нашем случае скорость потока воздуха); $\Gamma = a/c$ — коэффициент адсорбции (угловой коэффициент изотермы адсорбции в области концентраций, близких к нулю).

Так как объемная скорость $\alpha' = \alpha S$, где S — поперечное сечение слоя адсорбента, то объем пропущенного газа-носителя через колонку до момента выхода компонента из колонки $V = \alpha S t$, а $\alpha t = V/S$. Подставив последнюю величину в выражение для $\Gamma = a/c = \alpha t/x$, найденное из уравнения (2), получим

$$\Gamma = \frac{V}{Sx} = \frac{V}{V_a}, \quad (3)$$

где V_a — объем адсорбента в колонке.

Очевидно, величина V тождественна величине так называемого удерживаемого объема, а Γ — величине удельного удерживаемого объема в фронтальном и в вытеснительном способах хроматографии [10]. В элюентном способе приходится иметь дело с адсорбированной полосой, имеющей определенную ширину. Поэтому безразлично, как измерять V : до появления максимума на выходной кривой (V_m) или до момента окончаний десорбции, т. е. до достижения нулевой концентрации (V_0). $V_m \approx V_0$ лишь при условии, что ширина полосы очень мала, т. е. при очень малой величине адсорбированного количества. Когда же это количество значительно, то $V_m < V_0$. В соответствии с этим можно написать

$$\Gamma_m = \frac{V_m}{V_a}, \quad (3a)$$

$$\Gamma_0 = \frac{V_0}{V_a}. \quad (3б)$$

Если измерять время до появления максимальной концентрации и до полной десорбции данного компонента t_m и t_0 при постоянной скорости потока α' , то

$$\Gamma_m = \alpha' \frac{t_m}{V_a}, \quad (3в)$$

$$\Gamma_0 = \alpha' \frac{t_0}{V_a}. \quad (3г)$$

Подставляя значения величин Γ_m и Γ_0 из (3а)—(3г) в уравнение (1) и произведя необходимые преобразования и логарифмирование, получим

$$\lg V_m = \frac{Q_m}{2,3 RT} + \lg B_1; \quad B_1 = A_m V_a; \quad (4)$$

$$\lg V_0 = \frac{Q_0}{2,3 RT} + \lg B_2; \quad B_2 = A_0 V_a; \quad (4a)$$

$$\lg t_m = \frac{Q_m}{2,3 RT} + \lg B_3; \quad B_3 = \frac{B_1}{\alpha'}, \quad (4б)$$

$$\lg t_0 = \frac{Q_0}{2,3 RT} + \lg B_4; \quad B_4 = \frac{B_2}{\alpha'} \quad (4в)$$

Из уравнений (4), (4а), (4б) и (4в) следует, что при увеличении температуры пики на выходной кривой, соответствующие отдельным компонентам разделяемой смеси, должны смещаться в сторону начала координат, причем количественной мерой этого смещения является уменьшение величин логарифмов V_m , V_0 , t_m и t_0 при прочих постоянных параметрах. Однако в силу того, что теплоты адсорбции у отдельных компонентов смеси, например выбранной нами смеси метана, этана и пропана, отличаются между собой, то очевидно, что это смещение пиков при изменении температуры должно возрастать с теплотой адсорбции. Это легко показать, продифференцировав уравнение (4)

$$-\frac{d \lg V_m}{dT} = \frac{Q_m}{2,3 RT^2} \quad (5)$$

Аналогичный результат получится при дифференцировании уравнений (4а)—(4в).

Уравнения (4)—(4в) применимы для графического расчета теплоты адсорбции путем нанесения на график логарифмов V_m , V_0 , t_m и t_0 относительно $1/T$.

Так путем графического построения уравнения (4б) Кремер и Приор [5] вычислили теплоты адсорбции CO_2 и C_2H_4 на силикагеле в водороде — азоте-носителе. Янак [7], основываясь на работах названных авторов, вывел и экспериментально подтвердил уравнение (4) для случаев элюирования током CO_2 из колонки с активированным углем гелия, водорода, азота, метана, этилена в интервале температур 20—85°. Однако Янак почему-то не воспользовался полученными графиками для расчета теплот адсорбции. Литтлвуд [11] показал, что уравнение (4б) хорошо выполняется на опыте в газовой распределительной хроматографии для паров спиртов, сложных эфиров и ароматических углеводородов, причем величина Q_m в данном случае представляет собой теплоту испарения.

Уравнения (4а) и (4в) экспериментально не проверялись. Между тем они, на наш взгляд, более правильно отражают реальную зависимость удерживаемого объема или удерживаемого времени от температуры и теплоты адсорбции, так как величины V_0 и t_0 соответствуют концентрациям, близким к нулю, и не должны зависеть от адсорбированного количества данного вещества в колонке. Величины V_m и t_m зависят от адсорбированного количества, поскольку с увеличением последнего изотерма адсорбции для большинства веществ становится криволинейной, и уравнение (4), на основе которого выведены уравнения (4) и (4б), становится неточным. По той же причине нам кажется более правильным вычислять коэффициент адсорбции при значительных адсорбированных количествах по формулам (3б) и (3г), чем по формулам (3а) и (3в).

Целью настоящей работы является теоретическое истолкование наблюдавшегося на опыте неравномерного смещения пиков метана, этана и пропана при измерении температуры на одну и ту же величину, а также экспериментальная проверка уравнений (4) и (4а) и вычисление теплот адсорбции по графикам этих уравнений.

ЭКСПЕРИМЕНТАЛЬНАЯ ЧАСТЬ

Методика

Опыты проводились на установке, изображенной на рис. 1, при различных температурах слоя адсорбента в хроматографической колонке. При помощи этой установки получались выходные кривые, по которым можно было судить о влиянии температуры на ход процесса разделения. Газ-носитель (воздух) из воздуходувки после предварительной очистки и осушки в угольном противогазе 2 и трубке 3 с CaCl_2 и патронной изюстью поступал, разветвляясь на два потока, в реометры 6 и 7. По выходе из реометра 7 воздух поступал через хлоркальцевую трубку в адсорбционную колонку 10 и затем в одну пару камер электрического газоанализатора по теплопроводности 11.

Другая часть воздуха из реометра 6 поступала с той же скоростью непосредственно во вторую пару сравнительных камер электрического газоанализатора. В качестве последнего применялся отечественный прибор ГЭУК-21, причем в блоке газоприемника для пропускания газа-носителя через сравнительные камеры были сделаны дополнительные каналы. Продувку системы воздухом заканчивали тогда, когда устанавливалось постоянство нулевой точки гальванометра, присоединенного к газоанализатору. Затем из газовой бюретки 8 вводили определенный объем исследуемого газа и поворотом крана бюретки через колонку вновь пропускали ток воздуха с той же скоростью. С этого момента начиналось проявление адсорбционной колонки, т. е. перемещение адсорбированных веществ вдоль слоя адсорбента и их разделение. Концентрация последних во время их десорбции фиксировалась через каждые 15—60 сек. по отклонению стрелки гальванометра (типа ϕ , чувствительностью $1 \cdot 10^{-6}$ А). По показаниям гальванометра строили выходные кривые, откладывая деления шкалы ϕ по оси ординат, а объем пропущенного воздуха V мл по оси абсцисс.

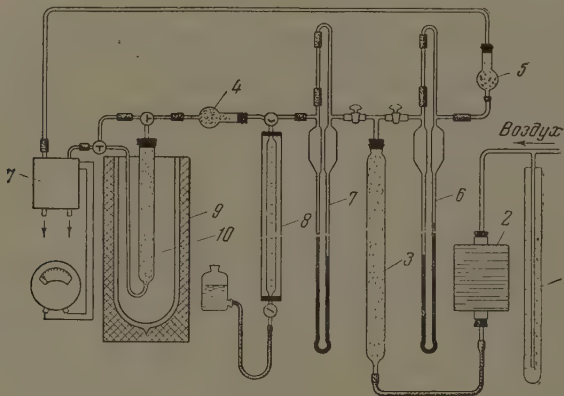


Рис. 1. Схема установки 1 — маностат; 2 — противогаз; 3 — трубка с хлористым кальцием и натровой известью; 4 и 5 — трубки с хлористым кальцием; 6 и 7 — реометры; 8 — газовая бюретка; 9 — сосуд Дьюара; 10 — адсорбционная колонка; 11 — газоанализатор по теплопроводности ГЭУК-21

Опыты проводились при -10 , -5 , 0 , $+5$, $+10$, $+15$, $+20$ и $+25^\circ\text{C}$. Для поддержания указанных температур в адсорбенте адсорбционная колонка помещалась в сосуд Дьюара емкостью 10 л, заполненный водой или льдом с солью. В сосуде создавалась нужная постоянная температура, причем терморегулятор не потребовался, так как температура в течение опыта колебалась в пределах не более $\pm 0,5^\circ$. Температура адсорбента измерялась двойной медь-константановой термопарой, введенной в адсорбент (на рис. 1 не показано).

Необходимые для исследования углеводороды: метан, этан и пропан были получены магнийорганическим синтезом и очищались от примесей химическим и хроматографическим путем. Процентное содержание углеводородов в синтезированных газах после их очистки от примесей определялось объемно-хроматографическим методом и методом сжигания [12]. Результаты анализа были следующими: метана 70,4%, воздуха 29,5%; этана 94,5%, воздуха 5,3%; пропана 93,79%, воздуха 6,2%. Смесь газов определенного состава готовилась в газометре. Опыты проводились при следующих постоянных параметрах: адсорбент — силикагель марки ШСК с размером зерен 0,2—0,4 мм, просушенный в термостате при 240° до постоянного веса; скорость потока воздуха $\alpha = 100$ мл/мин; внутреннее поперечное сечение колонки $S = 3,31$ см²; длина слоя адсорбента $x = 35$ см; проба исследуемой газовой смеси $q = 50$ мл. Состав смеси: метана 3,5%, этана 14,0%, пропана 75%, воздуха 7,5%. В тех опытах, которые проводились с индивидуальными углеводородами, в колонку вводили их в таком количестве, которое приблизительно соответствовало составу указанной смеси как по абсолютному содержанию в пробе, так и по соотношению между ними.

Результаты опытов представлены в виде выходных кривых на рис. 2 и 3. По этим кривым определялись величины V_m и V_0 при различных температурах.

Чтобы не загромождать рис. 2 и 3, на них нанесены не все восемь кривых, а только несколько, что, однако, вполне достаточно, чтобы наглядно показать явление неравномерного смещения пиков.

Как показано на рис. 2, каждая выходная кривая, полученная при определенной температуре, состоит из трех пиков: первый соответствует

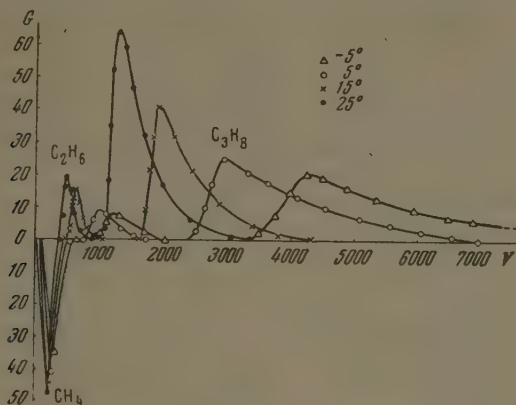


Рис. 2. Выходные элюэнтные кривые смеси метана, этана и пропана. Состав смеси: метана 3,5%, этана 14,0%, пропана 75,0%, воздуха 7,5%

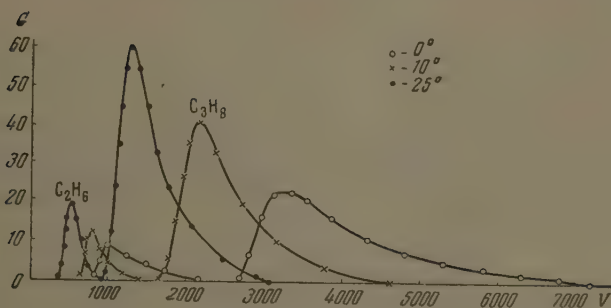


Рис. 3. Выходные элюэнтные кривые этана и пропана, порознь введенных в адсорбционную колонку в количествах: этана 7 мл, пропана 37,7 мл (считая на 100% — газы)

метану, второй — этану, и третий — пропану (считая от начала координат). При этом пик метана направлен своим острием вниз, так как метан обладает отрицательной теплопроводностью по отношению к пропану в среде воздуха или азота. На рис. 3 каждая выходная кривая состоит из двух пиков: этана и пропана.

Наличие промежутков между основаниями пиков свидетельствует о хорошем качестве разделения при более низких температурах, и, наоборот, уменьшение промежутков или их исчезновение указывают на ухудшение условий для разделения при повышении температуры. Это явление обусловлено изменением адсорбции при повышении температуры. Кроме того, рассматривая две соседние выходные кривые, полученные при двух температурах, можно заметить неравномерное смещение пиков, причем оно резко возрастает от метана к пропану. Величина этого смещения для каждого компонента легко может быть найдена из урав-

нения (5) или из аналогичного уравнения, полученного дифференцированием (4а)—(4в). Очевидно, что

$$-\frac{dV_0}{V_0} = \frac{Q}{R} \frac{dT}{T^2} \quad \text{или} \quad -\frac{\Delta V_0}{V_0} = \frac{Q}{R} \frac{\Delta T}{T^2}; \quad (8)$$

$$-\frac{dV_m}{V_m} = \frac{Q}{R} \frac{dT}{T^2} \quad \text{или} \quad -\frac{\Delta V_m}{V_m} = \frac{Q}{R} \frac{\Delta T}{T^2}. \quad (9)$$

Отсюда следует, что относительное изменение удерживаемого объема при постоянном отношении изменения температуры (ΔT) к квадрату первоначальной температуры (T) прямо пропорционально теплоте адсорбции.

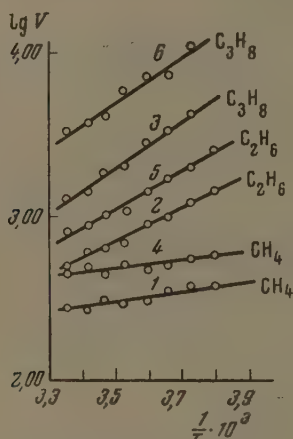


Рис. 4. График уравнений (4) и (4а) для случая элюирования смеси метана, этана и пропана 1, 2, 3 — уравнение (4); 4, 5, 6 — уравнение (4а)

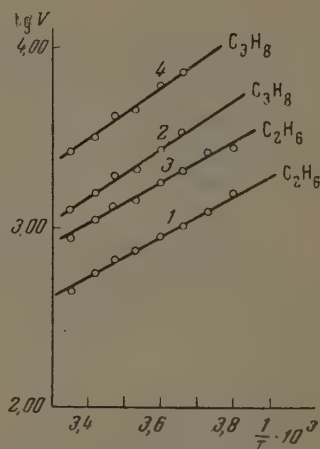


Рис. 5. График уравнений (4) и (4а) для случая элюирования этана и пропана порознь. 1 и 2 — уравнение (4); 3 и 4 — уравнение (4а)

С другой стороны, для данного вещества оно пропорционально отношению $\Delta T/T^2$ (при постоянном Q).

Таким образом, наблюдаемое на опыте явление неравномерного смещения пиков выходных кривых при изменении температуры на одну и ту же величину, вполне обосновывается теоретически и количественно может быть выражено уравнениями (5), (8) и (9). Практическим следствием из этого являются наблюдаемое на опыте сближение пиков и связанное с этим ухудшение условий для разделения при повышении температуры.

Таблица 1

Величины угловых коэффициентов γ_0 и γ_m и теплот адсорбции Q_0 и Q_m , вычисленные из графиков рис. 4 для случая элюентного анализа смеси метана, этана и пропана

Компонент смеси	γ_0	γ_m	Q_0 , кал/моль	Q_m , кал/моль
Метан	270	300	1231	1268
Этан	1020	1150	4651	5242
Пропан	1370	1400	6247	6384

Таблица 2

Величины угловых коэффициентов γ_0 и γ_m и теплот адсорбции Q_0 и Q_m , вычисленные из графиков рис. 5 для случая элюэнтного анализа отдельных компонентов

Компонент	γ_0	γ_m	Q_0 кал/моль	Q_m кал/моль
Этан	1120	1090	5107	4970
Пропан	1400	1350	6384	6156

Результаты опытной проверки уравнений (4) и (4а) представлены на рис. 4 и 5 и свидетельствуют об удовлетворительной выполнимости этих уравнений. Небольшой разброс точек, по-видимому, объясняется погрешностями эксперимента и не имеет принципиального значения.

Расчет теплот адсорбции производился на основе графических изменений угловых коэффициентов прямых γ_0 и γ_m по формулам

$$\gamma_0 = \frac{\Delta \lg V_0}{\Delta(1/T)} = \frac{Q_0}{2,3R}; \quad Q_0 = 2,3 \cdot 1,98 \gamma_0; \quad (10)$$

$$\gamma_m = \frac{\Delta \lg V_m}{\Delta(1/T)} = \frac{Q_m}{2,3R}; \quad Q_m = 2,3 \cdot 1,98 \gamma_m. \quad (11)$$

Результаты расчета представлены в табл. 1 и 2. Как показывают данные этих таблиц, результаты графического расчета теплот адсорбции по уравнению (4а) и по уравнению (4) на основе элюэнтного анализа смеси незначительно отличаются между собой, за исключением данных, относящихся к этану, что по-видимому, объясняется погрешностями эксперимента.

ВЫВОДЫ

1. Изучено влияние температуры в интервалах от -10 до $+25^\circ \text{C}$ на разделение смеси метана, этана и пропана на силикагеле элюэнтным хроматографическим способом.
2. Показано, что при повышении температуры на одну и ту же величину смещение пиков на выходной кривой к началу координат различно и убывает от пропана к метану. Дано теоретическое обоснование данному явлению.
3. Изучена зависимость удерживаемого объема от температуры для метана, этана и пропана при элюировании смеси и индивидуальных компонентов из колонки с силикагелем током воздуха. На основе полученных данных рассчитаны теплоты адсорбции этих веществ.

Государственный университет
им. Н. И. Лобачевского
Горький

Поступила
1.VI.1956

ЛИТЕРАТУРА

1. М. С. Цвет, Хроматографический адсорбционный анализ (избранные работы), Изд-во АН СССР, 1946.
2. D. Damkohler u. Thyle, Die Chemie, 56, 353, 1943.
3. C. S. G. Phillips, Discuss. Farad. Soc., № 7, 241, 1949.
4. Н. М. Туркельтауб, Журн. анал. химии, 5, 200, 1950.
5. Е. Гремер u. F. Prior, Z.f. Elektrochem., 55, 66, 1951.
6. Е. Гремер u. R. Müller, Z.f. Elektrochem., 55, 217, 1951.
7. J. Janak, Chem. Listy, 47, 817, 1953.
8. М. М. Дубинин, Физико-химические основы сорбционной техники, Гостехиздат, Москва, 1932, стр. 49.
9. Н. А. Шилов, Л. К. Лепинь и С. А. Воскресенский, ЖРФ-ХО, 51, 1107, 1929.
10. С. Классон, Адсорбционный анализ смесей, ИИЛ, Москва, 1950.
11. A. B. Littelwood, C. S. G. Phillips, A. D. T. Price, Journ. chem. Soc., 1480, 1955.
12. Д. А. Вяхирев, А. И. Брук и С. А. Гуглина, Заводск. лабор., 20, 803, 1954.

THE EFFECT OF THE EXPERIMENTAL CONDITIONS ON THE CHROMATOGRAPHIC SEPARATION OF SUBSTANCES IN THE GASEOUS OR VAPOR PHASES

D. A. Vyakhirev and A. I. Bruk (Gorky)

Summary

The effect of temperature on the separation of mixtures of methane, ethane and propane on silicagel by the elution chromatography method has been studied over the range -10 to $+25^{\circ}\text{C}$. It has been shown that for a given increase in temperature the shifts of the peaks in the elution curve to the origin of the coordinates are different, falling off from propane to methane. A theoretical interpretation of this effect has been given.

The dependence of the retention volume on the temperature has been studied in the case of methane, ethane and propane on eluting with air both the mixtures and the individual components from a silicagel column. From the results obtained the heats of absorption of these compounds have been calculated.

ИССЛЕДОВАНИЕ СВЯЗИ МЕЖДУ ЭЛЕКТРОПРОВОДНОСТЬЮ, АДСОРБЦИОННЫМИ И СЕНСИБИЛИЗИРУЮЩИМИ СВОЙСТВАМИ ОКИСИ ЦИНКА*

I. ЭЛЕКТРОННЫЕ ЯВЛЕНИЯ В ZnO ПРИ АДСОРБЦИИ КИСЛОРОДА

И. А. Мясников

Известно, что электрические адсорбционные и каталитические свойства окисных полупроводниковых веществ существенно изменяются в зависимости от концентрации примесей, присутствующих в них в виде посторонних или собственных (нерегулярных) атомов. Такое глубокое изменение в свойствах полупроводников находится в тесной связи с изменением их электронной структуры, вызванное присутствием примесей донорного или акцепторного характера.

Детальное изучение взаимосвязи электронного состояния полупроводников с их адсорбционными и каталитическими свойствами, исследование влияния излучения на эти свойства позволяют глубже проникнуть в механизм активированной адсорбции, катализа и процессов превращения полупроводниками энергии излучения в химическую энергию.

С целью установления регулярной связи адсорбционных и каталитических свойств полупроводниковых катализаторов с их электрическими свойствами нами была исследована электропроводность тонких пленок ZnO на прямом и переменном токах в вакууме, в атмосфере кислорода и в условиях реакции дегидрирования и окисления изопропилового спирта на окиси цинка.

Самоактивированная окись цинка нами была выбрана потому, что она представляет собой, с одной стороны,— типичный электронный полупроводник, электрические и фотоэлектрические свойства которого достаточно хорошо изучены; с другой стороны,— активный окисный катализатор для многих химических процессов.

СВЯЗЬ ЭЛЕКТРОПРОВОДНОСТИ С АДСОРБЦИЕЙ ** КИСЛОРОДА НА ОКИСИ ЦИНКА

Адсорбированный на окиси цинка кислород на несколько порядков уменьшает ее электропроводность. Это явление, как известно, связано с тем, что молекулы кислорода, энергия сродства которых к электрону порядка 1 eV, попадая на поверхность полупроводника, играют роль ловушек для электронов, находящихся в зоне проводимости. Уменьшение концентрации свободных носителей тока в полупроводнике приводит к уменьшению его электропроводности. При этом, однако, удельная электропроводность в различных областях кристалла согласно [1] становится не одинаковой, поскольку концентрация свободных электронов в кристалле достаточно большого размера в присутствии адсорбированного кислорода заметно изменяется от поверхности в объем кристалла. Для кристаллов малой величины, толщина которых достаточно мала, различие поверхностной и объемной проводимости теряет смысл.

Обычно в экспериментальной практике по адсорбции и катализу на

* Часть материала настоящей статьи докладывалась автором на VIII Всесоюзной конференции по полупроводникам.

** В настоящей работе, если специально не оговаривается, под адсорбцией понимается химическая адсорбция.

окисных катализаторах типа ZnO исследователь встречается с образцами поликристаллического характера, т. е. состоящих из множества микрокристалликов различной величины, спрессованных или спеченных друг с другом. Такие образцы, как показывают измерения электропроводности на постоянном и переменном токах в вакууме и в атмосфере кислорода, состоят из хорошо проводящих слоев (кристаллики), чередующихся с областями низкой проводимости (места стыков кристалликов) [2].

Места стыков кристалликов схематически, по-видимому, можно себе представить в виде тонких кристаллических мостиков, электропроводность которых в сильной степени зависит от адсорбированных на их поверхности газов или паров. Если допустить существование таких мостиков, то сопротивление постоянному току поликристаллического образца

будет определяться проводимостью этих мостиков, особенно в присутствии газов или паров донорного или акцепторного характера, способных сильно изменить проводимость тонких кристалликов и мало влияя на проводимость относительно больших кристалликов.

Толщина этих мостиков, по-видимому, в среднем столь мала, что поведение всего поликристаллического образца в отношении электропроводности можно уподобить поведению тонкого кристалла.

Если измерять проводимость поликристаллического образца на

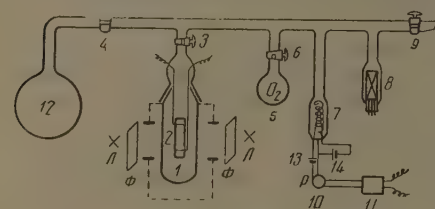


Рис. 1. Схема вакуумной установки для измерения электропроводности пленки ZnO . 1—реакционный сосуд, 2— кварцевая трубка с нанесенной пленкой ZnO , 3—4— вакуумные краны, 5— сосуд с кислородом, 6 — дозировочный кран, 7 — ионизационная лампа, 8 — термопарная лампа, 10 — реле, 11 — осциллограф, 12 — лампы ПРК-2, ϕ — фильтры

переменном токе, то, как показывают наши опыты с окисью цинка, с увеличением частоты тока уменьшается разница в проводимости такого образца в вакууме и в присутствии кислорода. Этот экспериментальный факт указывает на то, что изменение электропроводности поликристаллического образца в присутствии кислорода определяется в основном изменением электропроводности кристаллических мостиков между зернами. По мере увеличения частоты тока роль емкостной составляющей в проводимости между кристалликами увеличивается, а следовательно, уменьшается влияние кислорода на электропроводность поликристаллического образца.

На основании приведенных данных в опытах по адсорбции и катализу электропроводность пленок окиси цинка мы измеряли на постоянном токе, рассматривая наши поликристаллические образцы как тонкие кристаллы.

Метод измерения. Опыты по исследованию электропроводности окиси цинка в присутствии кислорода проводились в установке, изображенной на рис. 1.

Чистая самоактивированная окись цинка фирмы Кальбаум наносилась в виде тонкой пленки (порядка 10μ) на кварцевую трубку диаметром 5 мм и длиной 30 мм. Пленка с подложкой помещалась в кварцевый реакционный сосуд, находящийся в термостате. Платиновые контакты пленки ZnO пропаявались наружу через стеклянный плиф, соединяющий реакционный сосуд с вакуумной установкой. Впуск кислорода в реакционный сосуд осуществлялся через дозировочный кран. Давление кислорода в сосуде измерялось термопарной лампой.

Измерение электропроводности при исследовании равновесия ZnO с кислородом проводилось компенсационным методом, при исследовании кинетики электропроводности — осциллографическим методом с помощью шлейфового осциллографа.

При впуске в реакционный сосуд кислорода «съемка» осциллографа включалась автоматически одновременно с началом реакции благодаря реле, соединенному через усилитель с ионизационной лампой. В виду того что изменение электропроводности пленки ZnO в условиях наших опытов происходило в течение нескольких десятых

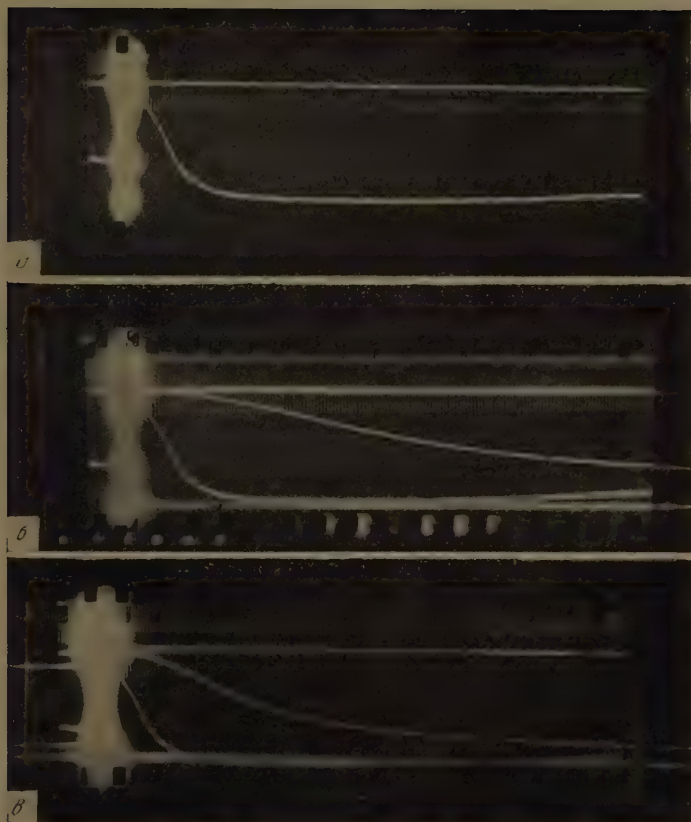


Рис. 2. *а* — спад электронного тока ионизационной лампы расположенной на месте реакционного сосуда — *Г* (рис. 1) по мере заполнения объема инертным газом при впуске его дозирочным устройством. Время спада электронного тока соответствует времени заполнения сосуда. *б* и *в* — Спад проводимости пленки ZnO при -410°C . после впуска в реакционный сосуд кислорода. Давление кислорода для *б* — $9 \cdot 10^{-3}$ мм, для *в* — $5,4 \cdot 10^{-2}$ мм рт. ст. Наверху осциллограмм *а*, *б* и *в* видны метки «отметчика времени». Расстояние между двумя штрихами соответствует $\frac{1}{500}$ сек. Внизу осциллограмм *б* и *в* приведена осциллограмма *а*.

кунды, необходимо было построить установку так, чтобы время заполнения реакционного сосуда кислородом было возможно малым. Из осциллограмм, приведенных на рис. 2, видно, что это время составляло около 10% от времени опытов. Давление кислорода в течение опыта по кинетике адсорбции практически оставалось постоянным. опыты проводились при температуре от 250 до 450°C и давлении кислорода от 10^{-3} до 10^{-1} мм рт. ст. Перед опытами пленка ZnO тренировалась в условиях высокого вакуума при 400–500°C. Проводимость пленок ZnO в вакууме при комнатной температуре после такой тренировки составляла $1-3 \cdot 10^{-2}$ кΩ⁻¹.

Результаты измерения. Полученные экспериментальные данные по исследованию зависимости проводимости окиси цинка от давления кислорода изображены на рис. 3.

Из рисунка видно, что в интервале температур от 250 до 600°C и давлении кислорода от 10^{-3} до 1 мм рт. ст. между значениями логарифмов проводимости (равновесной) $\lg \sigma$ и давления $\lg P_{O_2}$ существует

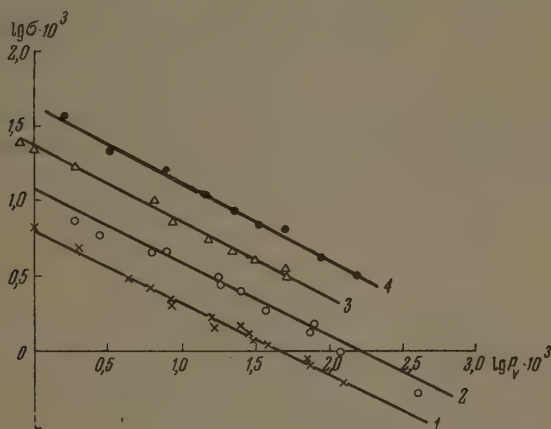


Рис. 3. Зависимость электропроводности σ от давления кислорода P в логарифмической шкале: 1 — при 250°; 2 — при 364°; 3 — при 467° и 4 — при 620°C

линейная связь. Угловые коэффициенты приведенных прямых равны $-1/2$, т. е. выполняется следующее уравнение:

$$\left(\frac{\sigma}{\sigma_0}\right)^2 = \frac{k}{P_{O_2}} \quad \text{для } P_{O_2} > 0, \quad (1)$$

где $k = \text{const.}$

Значения k при различных температурах приведены в табл. 1.

В условиях наших опытов найденная зависимость (1) выполняется достаточно строго, что позволило нам осуществить чувствительный кристаллический анализатор на кислород, использованный в опытах по влиянию ультрафиолета.

Опыт показывает, что зависимость (1) выполняется и при низких температурах, однако время достижения равновесия в этом случае велико*.

На рис. 4 изображены результаты измерения кинетики электропроводности окиси цинка при адсорбции кислорода на пленке ZnO при различных давлениях кислорода.

* При температуре ниже -80°C присутствие кислорода не оказывает заметного влияния на электропроводность. В этих условиях кислород химически практически не адсорбируется.

Из рисунков видно, что обратные значения относительной проводимости при постоянном давлении кислорода увеличиваются линейно со временем адсорбции кислорода, т. е. уравнение кинетики проводимости при адсорбции кислорода имеет следующий вид *:

Таблица 1

Значения постоянной k , вычисленные из экспериментальных данных согласно уравнению (1) (P_{O_2} измерялось в мм рт. ст.)

T	$k \cdot 10^4$	$\lg k \cdot 10^4$
528	1,30	0,114
637	4,36	0,640
740	15,88	1,201
893	54,76	1,739

$$\frac{\sigma_0}{\sigma} = k'_1 t + \text{const}, \quad (2)$$

где k'_1 — кинетическая постоянная, t — время, σ_0 — электропроводность образца ZnO до впуска кислорода, σ — электропроводность $t > 0$.

Отклонение от линейности для малых времен, по-видимому, связано со временем диффузии кислорода от дозирующего крана к пленке ZnO термостата, так как во впускном кране температура его несколько снижается. Время установления давления кислорода при впуске его дозирующим устройством составляло $3-5 \cdot 10^{-2}$ сек.

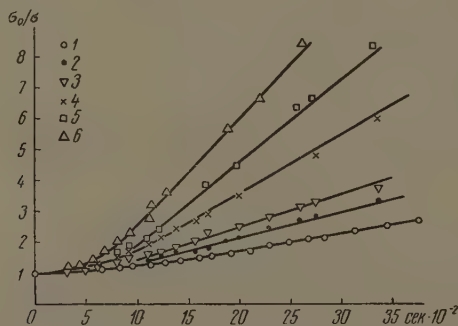


Рис. 4. Кинетика электропроводности ZnO при адсорбции кислорода при 410°C и давлениях кислорода: 1 — $7,3 \cdot 10^{-3}$ мм; 2 — $9,2 \cdot 10^{-3}$; 3 — $1,5 \cdot 10^{-2}$; 4 — $2,7 \cdot 10^{-2}$; 5 — $3,9 \cdot 10^{-2}$; 6 — $5,5 \cdot 10^{-2}$

Результаты измерения кинетики электропроводности при десорбции кислорода представлены на рис. 5.

Из рисунка следует, что при десорбции кислорода логарифмы значений относительного прироста электропроводности изменяются линейно со временем, т. е. удовлетворяется уравнение

$$\ln \left(1 - \frac{\sigma}{\sigma_0} \right) = -k_2 t + \text{const}, \quad (3)$$

где σ_0 и σ имеют те же значения, что и в уравнении (2), k_2 — кинетическая постоянная.

Отклонение от линейности в области больших времен при высоких температурах связано, вероятно, с влиянием обратной реакции.

Вычисленные значения кинетических постоянных k'_1 и k_2 для различных давлений кислорода приведены в табл. 2. На рис. 6 показано

* Уравнение (2) остается справедливым и при комнатной температуре.

Таблица 2

Значения кинетических постоянных адсорбции (k_1'), десорбции (k_2), вычисленных по данным кинетики согласно уравнениям (2) и (3) соответственно. k — постоянная равновесия, вычисленная по данным статистики [уравнение (1)]

$P \cdot 10^3$ мм.рт.ст.	$t, ^\circ\text{C}$	$k_1',$ сек $^{-1}$	$\left(\frac{k_1'}{P}\right) 10^{-3}$	$k_2 \cdot 10^3$	$\left(\frac{k_2 P}{k_1'}\right) 10^3$	$k \cdot 10^3$
7,3	412	5,7	7,8	2,4	3,1	6,0
9,2	412	8,3	8,1	—	3,0	
15,0	412	10,7	7,1	2,4	3,4	
27,0	412	19,1	7,1	2,4	3,4	
54,5	412	34,6	6,4	2,4	3,8	

Изменение логарифмов кинетических постоянных k_1' и k_2 в зависимости от обратных значений абсолютной температуры.

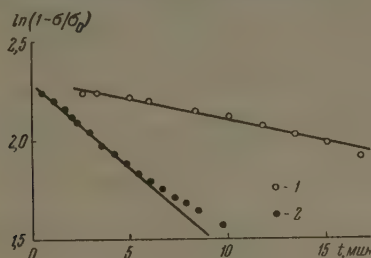


Рис. 5. Кинетика электропроводности ZnO при десорбции кислорода: 1 — при 405°C , 2 — при 460°C

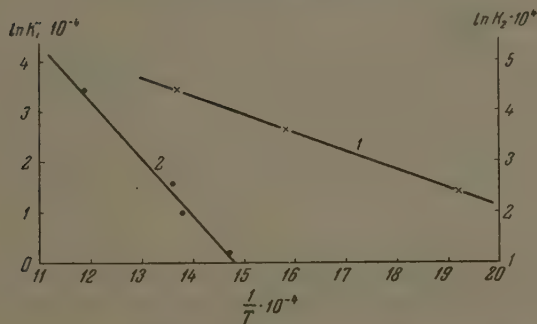


Рис. 6. 1 — прямая Аррениуса для электропроводности при адсорбции кислорода (k_1'), 2 — при десорбции кислорода (k_2)

Уравнение Аррениуса $k_T = k_0 e^{-\frac{E}{RT}}$ для найденных значений k_1' и k_2 , как видно из приведенных графиков, выполняется.

ОБСУЖДЕНИЕ РЕЗУЛЬТАТОВ

В самоактивированном электронном полупроводнике, в области при-
месной проводимости, концентрация свободных электронов однозначно
определяется температурой и концентрацией доноров.

В случае самоактивированной окиси цинка в области умеренных температур донорами электронов являются избыточные атомы цинка согласно реакции



Энергия, необходимая для удаления электрона из избыточного атома Zn, зависит от концентрации этих атомов (правило Мейера [3]). По мере роста концентрации примесных атомов энергия активации уменьшается.

В наших опытах с обезгаженной пленкой ZnO эта энергия составляла порядка 1—2 ккал, поэтому даже при низких температурах наблюдалась относительно хорошая проводимость пленки. При 200—400° С степени диссоциации избыточных атомов цинка велика, т. е. все они практически диссоциированы.

Однако небольшое, по сравнению с металлами, количество свободных электронов в полупроводнике можно уподобить газу, средняя тепловая энергия которого равна средней энергии окружающих атомов решетки, т. е. к электронному газу полупроводника применима классическая статистика [4].

На этом основании к процессу (1) применим закон действующих масс

$$\frac{[\text{Zn}^+][e]}{[\text{Zn}]} = K'_T. \quad (5)$$

где K'_T — константа равновесия, T — температура, а скобки обозначают концентрацию.

В области примесной проводимости при отсутствии посторонних включений, очевидно, справедливо выражение

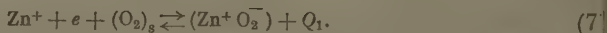
$$[\text{Zn}^+] = [e]. \quad (6)$$

В присутствии адсорбированных атомов или молекул, которые обладают сродством к электрону, свободные электроны полупроводника, находящиеся у поверхности, захватываются ими.

Изменение концентрации электронов у поверхности кристаллов согласно [1] вызовет некоторое перемещение электронов из объема к поверхности. В случае тонких кристаллов такое перемещение электронов захватывает весь объем кристаллов, а следовательно, адсорбция кислорода вызовет изменение концентрации свободных электронов во всем объеме тонкого кристалла. При этом локализованные кислородом свободные электроны свяжут в среднем равное количество ближайших противоположно заряженных партнеров Zn^+ с образованием поверхностного соединения $(\text{Zn}^+\text{O}_2^-)^*$.

В первом приближении, вероятно, можно предположить, что в реакции хемосорбции кислорода на таких кристаллах (при малом заполнении поверхности) в равной мере принимают участие в реакции как электроны, и ионы Zn^+ , находящиеся непосредственно на поверхности, так и внутри кристалла, т. е. в хемосорбции участвует вся толща такого кристалла.

Если указанное приближение справедливо, то концентрация свободных электронов в таком кристалле при адсорбции кислорода определится равновесием



Закон действующих масс для реакции (7) запишется так

$$\frac{[(\text{Zn}^+\text{O}_2^-)]}{[\text{Zn}^+][e][\text{O}_2]_s} = K'_T, \quad (8)$$

* Отрицательный и положительный индексы не означают обязательно образования ионной связи, а указывают лишь на преимущественное расположение зарядов.

де $[(\text{Zn}^+\text{O}_2^-)]$ — концентрация химического соединения $(\text{Zn}^+\text{O}_2^-)$, $[\text{O}_2]_s$ — концентрация адсорбированного кислорода, K_T — константа равновесия. Если каждая хемосорбированная молекула кислорода связывает с собой один электрон и один ион Zn^+ , то поскольку в этом случае справедливо равенство (6), концентрация $[(\text{Zn}^+\text{O}_2^-)]$ может быть определена следующим образом:

$$[(\text{Zn}^+\text{O}_2^-)] = [e]_0 - [e], \quad (9)$$

де $[e]_0$ — концентрация свободных электронов до адсорбции кислорода.

Подставив выражения (6) и (9) в (8), получим

$$\frac{[e]_0 - [e]}{[e]^2 [\text{O}_2]_s} = K'' \quad (10)$$

Если $[e]_0 \gg [e]$, т. е. первоначальная проводимость значительно больше равновесной, вместо уравнения (10) получим

$$\left(\frac{[e]}{[e]_0}\right)^2 = \left(\frac{\sigma}{\sigma_0}\right)^2 = \frac{1}{K'' [e]_0 [\text{O}_2]_s}, \quad (11)$$

де σ_0 и σ — проводимость в отсутствие и в присутствии кислорода.

Для линейной области адсорбции $[\text{O}_2]_s = \Gamma P_{\text{O}_2}$ уравнение (11) примет вид

$$\left(\frac{\sigma}{\sigma_0}\right)^2 = \frac{\text{const}}{P_{\text{O}_2}}, \quad (12)$$

де $\text{const} = \frac{1}{K'' \Gamma [e]_0}$ — постоянная величина, зависящая от температуры и концентрации примеси.

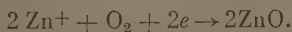
Уравнение (12), выражающее связь между электропроводностью окиси цинка и давлением кислорода, удовлетворительно согласуется с экспериментальными данными.

Вагнером с сотрудниками [5] для больших давлений кислорода и высокой температуры была получена следующая эмпирическая зависимость:

$$\sigma \sim \frac{1}{\sqrt[n]{P_{\text{O}_2}}},$$

где $n = 4,3$.

Позже было предположено, что эта зависимость связана с окислением избыточных атомов цинка по следующей реакции:



В этом случае из закона действующих масс для этой реакции следует, что

$$\sigma \sim \frac{1}{\sqrt[4]{P_{\text{O}_2}}}.$$

При очень высоких температурах, когда в реакции окисления примут участие образующиеся при этих температурах межузельные ионы Zn^{2+} согласно реакции



справедливым будет, по-видимому, выражение

$$\sigma \sim \frac{1}{\sqrt[8]{P_{\text{O}_2}}}.$$

Теплота реакции (7), определенная из зависимости $\ln k$ от $1/T$, составляет ~ 8 ккал в области температур от 250 до 360° С и около 12 ккал для температур выше 360° С (рис. 2). Различие в теплотах реакции (7) для различных интервалов температур, по-видимому, вызвано участием в реакции (7) электронов различных примесных уровней.

Исходя из тех же предпосылок, что и в выводе уравнения (12), выведем уравнения кинетики электропроводности при адсорбции и десорбции кислорода и сравним их с найденными эмпирическими выражениями (2) и (3).

Принимая, что захват молекулой кислорода свободного электрона одновременно ведет к связыванию иона Zn^+ , кинетические уравнения для прямой и обратной реакции (7) в отношении концентрации свободных электронов будут иметь следующий вид*:

$$-\frac{d[e]}{dt} = k_1 [e] [Zn^+] [O_2]_s; \quad (13)$$

$$\frac{d[e]}{dt} = k_2 [(Zn^+ O_2^-)], \quad (14)$$

где k_1 и k_2 — константы скорости прямой и обратной реакций (7).

Подставив в уравнения (13) и (14) выражения (6) и (9), получим

$$-\frac{d[e]}{dt} = k_1 [e]^2 [O_2]_s; \quad (15)$$

$$\frac{d[e]}{dt} = k_2 ([e]_0 - [e]). \quad (16)$$

Интегрирование дифференциальных уравнений (15) и (16) при условии, что для уравнения (15) $[O_2]_s = \text{const}$ и $[e] = [e]_0$ при $t = 0$, дает следующие выражения:

$$\frac{\sigma_0}{\sigma} = k_1 [e]_0 [O_2]_s t + 1; \quad (17)$$

$$\ln \left(1 - \frac{\sigma}{\sigma_0} \right) = -k_2 t + \text{const}, \quad (18)$$

где const — постоянная, зависящая от проводимости образца ZnO перед десорбцией кислорода. Для линейной области адсорбции, т. е. когда $[O_2]_s = \Gamma P_{O_2}$, уравнение (17) примет вид

$$\frac{\sigma_0}{\sigma} = k'_1 t + 1, \quad (19)$$

где $k'_1 = k_1 [e]_0 \Gamma P_{O_2}$. Уравнения (18) и (19) должны быть справедливыми только в том случае, если прямая и обратная реакции протекают вдали от равновесия.

Общее уравнение кинетики электропроводности для случая, когда будет иметь место прямая и обратная реакции, более сложно и неудобно для экспериментальной проверки

$$\frac{1}{\Delta} \lg \left| \frac{2 \frac{\sigma}{\sigma_0} k'_1 + k_2 + \Delta}{2 \frac{\sigma}{\sigma_0} k'_1 + k_2 - \Delta} \right| = -t + \text{const}, \quad (20)$$

где

$$\Delta = \sqrt{k_2^2 + 4k'_1 k_2}; \quad k'_1 = k_1 [e]_0 [O_2]_s.$$

* Предполагается, что между поверхностью и объемом тонких кристалликов определяющих проводимость образца, не возникает двойной электрический слой.

Выведенные нами уравнения кинетики (18) и (19) согласуются с экспериментальными данными, приведенными в табл. 2 и на рисунках 3, 4, 5.

В опытах по кинетике адсорбции давление кислорода оставалось постоянным в течение опыта благодаря большой емкости, связанной с реакционным сосудом. При исследовании кинетики десорбции давление практически мгновенно изменялось от равновесного до 10^{-4} — 10^{-5} мм.т.ст.

Найденные из опыта значения k'_1 (табл. 2) при постоянной температуре зависят от давления кислорода. Величины (k'_1/P_{O_2}) в области малых давлений не зависят от давления кислорода. С повышением давления наблюдается некоторое уменьшение значений этих величин, связанное, по-видимому, с отклонением адсорбции кислорода на ZnO от линейной зависимости $[O_2]_s = \Gamma P_{O_2}$ (табл. 2).

Указанные свойства величин k'_1 и k_2 , найденные из опыта, согласуются со свойствами аналогичных величин в выведенных нами уравнениях (18) и (19), в которых $k'_1 = k_1 \Gamma [e]_0 P_{O_2}$.

Величины k_1 и k_2 — константы скорости прямой и обратной реакций (7).

В табл. 2 даны отношения k_2 к k'_1/P_{O_2} для различных давлений кислорода. Как видно из таблицы, отношения этих величин в области малых давлений кислорода равны между собой и по порядку величины близки k_2 , найденному из данных по равновесию, что и следовало ожидать.

Действительно, из уравнений (12), (18) и (19) видно, что

$$k_2 / \left(\frac{k'_1}{P_{O_2}} \right) = \frac{1}{\Gamma [e]_0 k''} = k,$$

где $k'' = \frac{k_1}{k_{\parallel}}$ — константа равновесия реакции (7).

Энергии активации E_1 и E_2 , рассчитанные из опытных данных по кинетике прямой и обратной реакций (7) (рис. 6), равны соответственно, $E_1 = 8$ ккал; $E_2 = 23$ ккал.

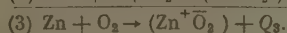
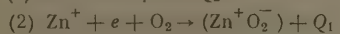
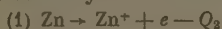
Теплота реакции (7) из кинетических данных

$$Q_1 = E_2 - E_1 = 15 \text{ ккал.}$$

Теплота реакции (7) Q_1 , рассчитанная из данных по равновесию, составляет 10—12 ккал.

В этих расчетах не принимались во внимание теплота физической адсорбции кислорода на ZnO и теплота реакции (4).

Если рассмотреть равновесие системы ZnO_2-O_2 с учетом реакции (4), то получим



Величина Q_1 может быть определена из выражения

$$Q_1 = Q_3 + Q_2 = 12-14 \text{ ккал,}$$

где Q_3 — теплота реакции (3), равная (из опытных данных) 10—12 ккал. Величина $Q_2 = 2$ ккал.

Изменение примесной проводимости с температурой поликристаллических образцов окиси цинка в атмосфере кислорода определяется, как и в случае наличия в полупроводнике двух типов локальных уровней [4], выражением

$$\sigma = A_1 e^{-\frac{\varepsilon_1}{RT}} + A_2 e^{-\frac{\varepsilon_2}{RT}},$$

где ε_1 — энергия диссоциации межузельных атомов цинка, ε_2 — энергия диссоциации поверхностного кислородного соединения.

Значения энергий ϵ_1 и ϵ_2 зависят, согласно правилу Мейера, от концентрации примесей соответственно межузельных атомов Zn и кислородного соединения (Zn^+O_2^-).

В наших опытах при относительно малом изменении давления кислорода ϵ_2 практически не изменялась с давлением.

При низких температурах проводимость σ в атмосфере кислорода определяется первым членом формулы, так как $\epsilon_1 \ll \epsilon_2$, при более высоких температурах — вторым членом формулы.

ВЫВОДЫ

1. Сопоставление выведенных нами закономерностей в отношении химической адсорбции кислорода на окиси цинка и ее электропроводности с экспериментальными данными свидетельствует об удовлетворительном согласии теории с опытом.

2. Описание химической адсорбции на поликристаллических образцах полупроводниковых веществ (наиболее широкий класс образцов в практике адсорбции и катализа) возможно с точки зрения термодинамики нейтральных частиц.

3. Ведущим актом хемосорбционного механизма является захват молекулой кислорода свободного электрона полупроводника окиси цинка с образованием нестойкого поверхностного соединения (Zn^+O_2^-).

4. Значения энергий активации и теплоты адсорбции, а также правильность найденных закономерностей (механизма) позволяют предположить, в случае хемосорбции кислорода на окиси цинка, электростатический характер адсорбционных сил.

Физико-химический институт
им. Л. Я. Карпова
Москва

Поступила
1.VI.1956

ЛИТЕРАТУРА

1. K. Hauffe, Ang. Chem., 67, № 7, 189—216, 1955; В. Б. Сандомирский, Изв. АН СССР, сер. физ., 21, 211, 1957.
2. Сборник, Полупроводниковые материалы, ИИЛ, М., 1954, стр. 209.
3. W. Meyer u. Naldel, Phys. Zs., 38, 1014, 1937.
4. А. Ф. Иоффе, Полупроводник в современной физике, Изд-во АН СССР, 1954.
5. Н. Ваумбах, С. Вагнер, Zeit. f. Phys. Chem., (B) 22, 199, 1933.

A STUDY OF THE RELATIONSHIP BETWEEN THE ELECTROCONDUCTIVITY AND THE ADSORPTION AND SENSIBILIZING PROPERTIES OF ZINC OXIDE

I. ELECTRONIC PHENOMENA IN ZnO ON ADSORPTION OF OXYGEN

I. A. Myasnikov (Moscow)*

Summary

A study has been made of the adsorption of oxygen on zinc oxide and of the conductivity of the latter at low oxygen pressures. A quantitative correlation has been established between the adsorption and the electroconductivity. Kinetic equations have been given for the electroconductivity of zinc oxide on adsorption and desorption of oxygen. The activation energies of oxygen adsorption and desorption, obtained from the electroconductivities, have been found to be 8—9 and 23 kg cal/mole respectively, the heat of adsorption from the kinetic data — 15 kg cal/mole and from equilibrium data — 12—14 kg cal/mole .

A mechanism has been proposed for the adsorption of oxygen on the zinc oxide. An unstable oxygen compound (Zn^+O_2^-) presumably forms on the surface, the chemical bond of which is evidently of ionic nature.

The kinetics of electroconductivity of zinc oxide on the photodesorption of oxygen as well as the dependence of the electroconductivity in the presence of oxygen upon the radiation intensity have been studied. The quantitative correlations obtained in the photodesorption of oxygen have been found to be analogous to those of the photoconductivity of the zinc oxide itself (in the absence of adsorbed gases). On this basis it has been assumed that the same mechanism (perhaps excitonic) of transfer of the radiation energy absorbed by the crystal as a whole to the photoactive Zn^{+} and $Zn^{+}O$ centers underlies both processes.

Based on the energy effects in the adsorption of oxygen, it has been assumed that the oxygen photodesorbed from the zinc oxide in the region of absorption by the latter is in an excited state.

The effect of ultraviolet light on the heterogeneous gaseous oxidation of alcohol has been investigated in a flow system. It has been shown that in the region of its own long wave adsorption (3600 Å) the zinc oxide sensibilizes the oxidation of alcohol vapor by oxygen. A probable mechanism has been proposed for the sensibilization of the heterogeneous oxidation reaction in which the main part is allotted to the formation on the semiconductor surface of excited oxygen molecules accelerating the oxidation process.

The catalytic activity and electroconductivity of thin zinc oxide films have been studied using the reaction of dehydrogenation of isopropyl alcohol as example. A linear relationship has been established between the electroconductivity of the zinc oxide and its catalytic activity. An interpretation has been presented of this dependence and an assumption has been made as to the physical nature of the adsorption and the catalytic centers in the electronic semiconductor-zinc oxide.

ИЗУЧЕНИЕ МЕХАНИЗМА И КИНЕТИКИ ЭЛЕКТРОХИМИЧЕСКОГО ОКИСЛЕНИЯ ВОДОРОДА МЕТОДОМ АНОДНОЙ ПОЛЯРОГРАФИИ НА Pt-ЭЛЕКТРОДЕ

К. И. Розенталь и В. И. Веселовский

В большинстве исследований [1—7], посвященных электрохимическому и каталитическому окислению водорода на платине, было замечено, что предварительная анодная поляризация Pt-электрода увеличивает скорость ионизации водорода при потенциалах, близких к нормальному водородному, а предварительная обработка платины кислородом или греющим газом повышает ее каталитическую активность по отношению к окислению водорода.

В настоящей работе приводятся данные о влиянии состояния поверхности платинового электрода на реакцию электрохимического окисления водорода в различных по составу растворах, полученные методом анодной полярографии с вращающимся Pt-электродом.

ЭКСПЕРИМЕНТАЛЬНАЯ ЧАСТЬ

Поляризационные измерения осуществлялись с помощью метода анодной полярографии, разработанного и описанного авторами ранее [8]. Объем полярографической ячейки составлял 50 см³, испытуемыми электродами служила гладкая платиновая проволока длиной 5 мм, диаметром 0,5 мм и платиновый диск диаметром 5 мм. Перед опытом испытуемый электрод очищался травлением в горячей царской водке и промывался в дважды перегнанной воде.

В качестве катода и одновременно электрода сравнения был использован палладиевый водородный электрод в том же растворе. Все опыты проводились в растворах, предварительно насыщенных электролитическим водородом. Последний перед впуском в прибор тщательно очищался от следов кислорода и проходил через ловушку с жидким воздухом.

Испытуемые растворы 1N HClO₄ и 1 N NaOH готовились из химически чистых препаратов. 1N H₂SO₄ — из трижды перегнанной химически чистой H₂SO₄. Поляризационные кривые снимались при различных скоростях наложения потенциала, т. е. быстрыми и медленными измерениями.

Как показали наши опыты, наклон $I-E$ кривых и величина тока ионизации водорода зависят от условий предварительной активации электрода. Воспроизводимые поляризационные кривые и максимальные токи ионизации водорода были получены при активации электрода следующим образом. Вначале электрод подвергался катодной поляризации при потенциалах выделения водорода в течение 30 мин. для восстановления поверхностных окислов платины. Затем электрод активировался путем быстрой (в течение 2—3 мин.), многократной (3—4 раза) поляризации его от высоких анодных потенциалов 1,5 V до нуля по нормальному водородному электроду*. Такую активацию Pt-электрода мы в нашей работе называем стандартной.

Электрохимическое окисление водорода в растворе 1 N HClO₄. На рис. 1 приведены поляризационные кривые электрохимического окисления водорода, снятые в растворе 1 N HClO₄ при скорости наложения потенциала 4 мВ/сек и различных скоростях вращения электрода.

Как видно из рисунка, кривые имеют две ярко выраженные области в интервалах потенциалов 0—0,6V и 0,9—1,2V. В первой ток ионизации водорода, достигнув максимального значения при 0,1—0,2V, начинает медленно падать с ростом потенциала в анодную сторону. Величина тока

* В статье все потенциалы отнесены к нормальному водородному электроду.

этой области потенциалов зависит не только от скорости вращения электрода, но, как это будет видно ниже, и от состояния его поверхности (предварительной катодной или анодной поляризации и скорости наложения потенциала), т. е. определяется не только диффузией водорода к электроду, но и кинетикой электродного процесса. На последнюю, помимо, в этом случае оказывает большое влияние адсорбция анионов ClO_4^- на поверхности платины.

Начиная с потенциала 0,6V, наблюдается резкий спад тока, объясняющийся торможением реакции ионизации водорода начинающейся адсорбцией кислорода на Pt при этих потенциалах.

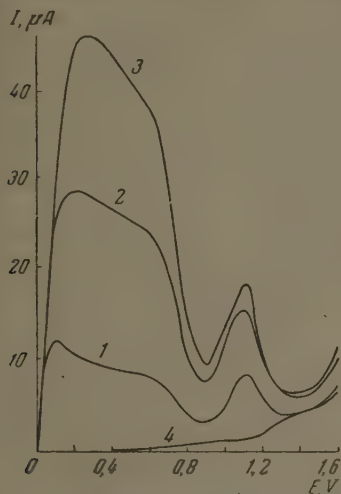


Рис. 1. Зависимость ионизации водорода в 1N HClO_4 от скорости вращения Pt-электрода при $\Delta v/\Delta t = 4 \text{ mV/sec}$: 1—неподвижный электрод; 2—200 об/мин; 3—2000 об/мин; 4—фон в атмосфере азота при 2000 об/мин.

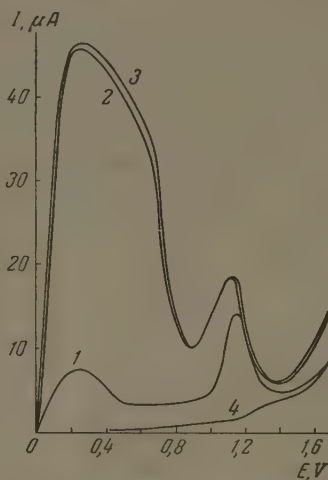


Рис. 2. Зависимость ионизации водорода в 1N HClO_4 от предварительной поляризации Pt-электрода при $\Delta v/\Delta t = 4 \text{ mV/sec}$ и 2000 об/мин: 1—катодная поляризация в течение 30 мин. при потенциалах выделения водорода; 2, 3 — «стандартная» активация; 4 — фон в атмосфере азота

Вторая область характеризуется новым подъемом тока до некоторого максимального значения при потенциале 1,1V и резким спадом его почти до значений тока «фона» в атмосфере азота при потенциалах 1,2—1,4V (кривая 1). При потенциале 1,5V наблюдается снова подъем тока, связанный с выделением молекулярного кислорода.

Второй максимум тока сравнительно мало зависит от скорости вращения электрода и определяется главным образом состоянием его поверхности (рис. 3, 4). Следовательно, в этом случае лимитирующей фазой является кинетика электродного процесса. Мы полагаем, что в этой области потенциалов возможны как процесс ионизации водорода на окисленной поверхности платины, так и процесс окисления молекулярного водорода до воды кислородом, электрохимически адсорбированном на поверхности платины при этих потенциалах. Это явление требует более подробного изучения.

С целью выяснения зависимости процесса анодного окисления водорода от состояния поверхности платины нами были получены $I-E$ кривые при различной предварительной электрохимической обработке Pt-электрода и различных скоростях наложения потенциала. На рис. 2 кривая 1 снята сразу после предварительной катодной поляризации электрода в

течение 30 мин. Кривые 2, 3 получены одна за другой после активации электрода быстрой анодной поляризацией. При этом скорость наложения потенциала была равна 4 мВ/сек , а скорость вращения электрода 2000 об/мин . Из рисунка видно, что Pt-электрод становится пассивным по отношению к процессу ионизации водорода после предварительной катодной поляризации (кривая 1). Однако, если потом электрод анодно поляризовать в течение 2—3 мин., активность его резко повышается, что выражается увеличением тока почти в 7 раз в интервале потенциалов $0-0,26 \text{ В}$ и получаются хорошо воспроизводимые результаты, так как кривые 2 и 3 практически накладываются друг на друга.

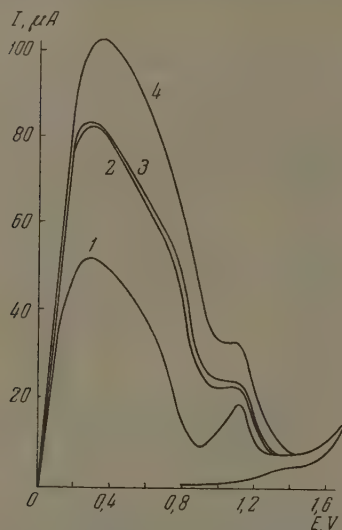


Рис. 3. Зависимость ионизации водорода в 1 N HClO_4 от предварительной анодной поляризации Pt-электрода при $\Delta v/\Delta t = 4 \text{ мВ/сек}$ и 2000 об/мин : 1 — стандартная активация; 2 — поляризация при $1,1 \text{ В}$ в течение 5 мин.; 3 — в течение 15 мин.; 4 — при $1,4 \text{ В}$ в течение 15 мин.; 5 — фон в атмосфере азота

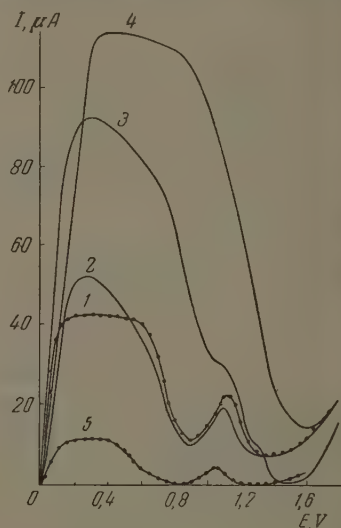


Рис. 4. Зависимость ионизации водорода в 1 N HClO_4 от скорости наложения потенциала при 2000 об/мин ; $S = 0,1 \text{ см}^2$: 1 — стационарная кривая; 2 $\Delta v/\Delta t = 4 \text{ мВ/сек}$; 3 — $\Delta v/\Delta t = 8 \text{ мВ/сек}$; 4 — $\Delta v/\Delta t = 32 \text{ мВ/сек}$; 5 — стационарная кривая, снятая на Pt-дисковом электроде

Еще большее увеличение активности Pt-электрода по отношению к изучаемому процессу наблюдается после более длительной анодной поляризации. На рис. 3 изображены поляризационные кривые, характеризующие кинетику анодного окисления водорода на электроде, который предварительно был подвергнут анодной поляризации при потенциале $1,1 \text{ В}$ в течение 5 и 15 мин. (кривые 2, 3) и при потенциале $1,4 \text{ В}$ в течение 15 мин. (кривая 4). В этом случае также происходит возрастание величины тока в 2 раза по сравнению с соответствующим током, полученным после стандартной активации электрода (кривая 1).

В интервале потенциалов $0,9-1,1 \text{ В}$ на кривых 2, 3 и 4 величина тока не зависит от потенциала и больше второго максимума тока на кривой 1.

Для изучения влияния скорости наложения потенциала на электрохимические характеристики окисления водорода были сняты поляризационные кривые при скоростях наложения потенциала 4 мВ/сек , 8 мВ/сек и 32 мВ/сек . При снятии стационарных кривых фиксировалось устойчивое значение тока при заданном потенциале.

На рис. 4 представлены $I-E$ кривые, полученные на игольчатом и дисковом Pt-электродах, вращающихся со скоростью 2000 об/мин . Как

Из рисунка, наклон поляризационных кривых и величина максимального тока ионизации водорода существенно зависят от скорости наложения потенциала. С увеличением этой скорости происходит резкое расширение области максимальных токов по оси потенциалов, а пассивация электрода по отношению к процессу ионизации водорода начинает вызываться при более анодных потенциалах. По нашим представлениям, эти результаты соответствуют также различной степени активности Pt-электрода в исследуемом процессе. Скорость ионизации водорода на Pt-электроде при данном потенциале зависит от состояния его поверхности, которая, в свою очередь, при всех прочих равных условиях, определяется временем поляризации электрода. Очевидно, что при различных скоростях наложения потенциала мы будем иметь различную степень изменения состояния поверхности платины по отношению к исходному состоянию. Действительно, опыт показывает, что с увеличением этой скорости увеличивается эффективность процесса в области потенциалов 0—0,6 В, т. е. увеличивается, таким образом, активность Pt-электрода.

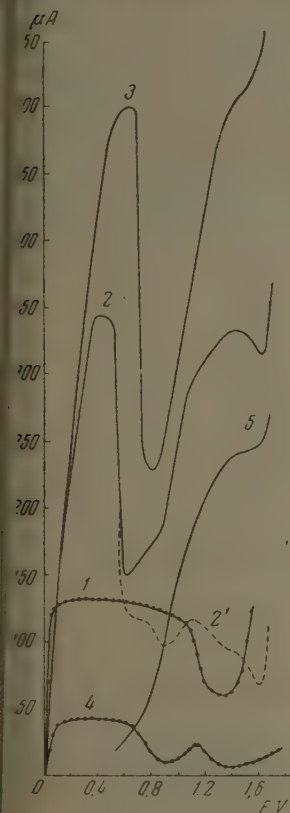


Рис. 5

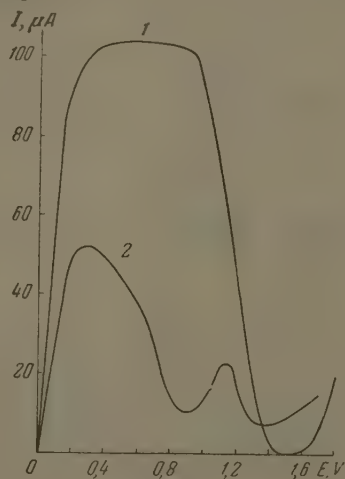


Рис. 6

Рис. 5. Ионизация водорода на платинированном Pt-электроде в 1N HClO₄ в зависимости от скорости наложения потенциала при 2000 об/мин: 1 — стационарная кривая; — $\Delta v/\Delta t = 4$ мВ/сек; 2' — $\Delta v/\Delta t = 4$ мВ/сек, введена поправка на токи фона; 3 — $v/\Delta t = 8$ мВ/сек; 4 — стационарная кривая, снятая на гладком электроде; 5 — фон в атмосфере азота при $\Delta v/\Delta t = 4$ мВ/сек

Рис. 6. Ионизация водорода в растворах: 1 — в 1N NH₂SO₄, 2 — в 1N HClO₄ при $\Delta v/\Delta t = 4$ мВ/сек и 2000 об/мин

На рис. 5 показаны аналогичные $I-E$ кривые, снятые на платинированном игольчатом Pt-электроде.

Хотя истинная поверхность электрода после платинирования увеличилась \sim в 400 раз, предельный ток при стационарных измерениях увеличился в \sim 3 раза (кривая 1). На кривых 2 и 3, полученных при скоростях наложения потенциала 4 и 8 мВ/сек, в областях потен-

циалов 0,4—0,6 и 1,3—1,5V появляются максимумы тока, первый из которых определяется ионизацией водорода, второй — окислением поверхности электрода, так как при учете токов фона при соответствующих потенциалах он почти целиком снимается (пунктирная кривая 2').

Электрохимическое окисление водорода в растворе 1N H₂SO₄. На рис. 6 даны поляризационные кривые, полученные в растворах 1N H₂SO₄ (кривая 1) и 1N HClO₄ (кривая 2) при скорости наложения потенциала 4 мВ/сек и скорости вращения электродов 2000 об/мин. Сравнение кривых 1 и 2 показывает, что при одинаковых условиях проведения опыта кинетика ионизации водорода в 1N H₂SO₄ больше, чем в 1N HClO₄. На кривой 1 имеется ясно выраженная площадка предельного тока, расположенная в более широком интервале потенциалов (0,3—0,9V), отсутствует второй максимум тока и торможение процесса ионизации водорода вследствие окисления поверхности платины кислородом начинается при более анодных потенциалах. Однако, как показали Э. А.

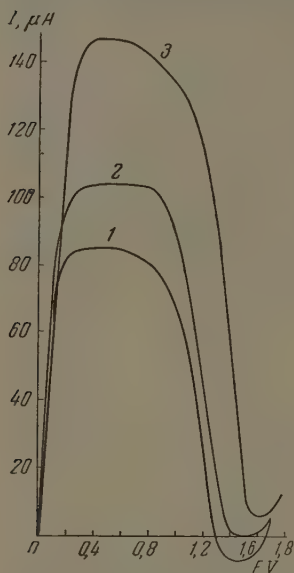


Рис. 7

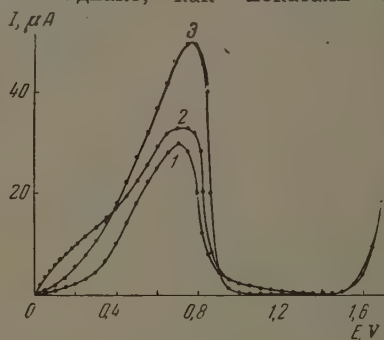


Рис. 8

Рис. 7. Зависимость ионизации водорода в 1 N H₂SO₄ от скорости наложения потенциала при 2000 об/мин: 1 — стационарная кривая; 2 — $\Delta v/\Delta t = 4$ мВ/сек; 3 — $\Delta v/\Delta t = 32$ мВ/сек

Рис. 8. Зависимость ионизации водорода в 1 N NaOH от предварительной поляризации Pt-электрода, снятая в стационарных условиях при 2000 об/мин: 1 — катодная поляризация при потенциалах выделения водорода в течение 30 мин.; 2 — анодная поляризация при 1,2 V в течение 30 мин.; 3 — стандартная активация электрода

Айкозян и А. Н. Фрумкин [9], в некоторых случаях пассивация электрода по отношению к изучаемому процессу делается заметной уже при потенциале 0,05V. По мнению авторов, такая пассивация вызвана адсорбцией анионов раствора на поверхности платины. Учитывая данные Н. А. Балашовой [10] по адсорбции анионов SO₄²⁻ на аноднополяризованной поверхности платины, это объяснение, по-видимому, является правильным.

Для выяснения возможных причин торможения процесса ионизации водорода на Pt-электроде необходимо учитывать как уменьшение количества адсорбционного водорода с ростом анодного потенциала Pt [11], так и изменение состояния поверхности платины вследствие адсорбции анионов раствора и образования поверхностных кислородных соединений платины различного состава [12].

Зависимость скорости ионизации водорода от скорости наложения потенциала изображена на рис. 7. С ростом $\Delta v/\Delta t$, так же как и в $1N HClO_4$, происходит увеличение максимального тока и расширение области потенциалов, при которых величина его остается постоянной. Однако влияние $\Delta v/\Delta t$ на кинетику исследуемого процесса больше в $1N HClO_4$, чем в H_2SO_4 .

Электрохимическое окисление водорода в растворе $1N NaOH$. На рис. 8 представлены стационарные $I-E$ кривые, снятые в растворе $1N NaOH$ при скорости вращения электрода 200 об/мин. Электродом сравнения служил платиновый водородный электрод в растворе $1N NaOH$.

Известно, что в щелочном растворе перенапряжение процесса ионизации водорода больше, чем в кислом. Этим объясняется большая величина наклона поляризационных кривых, характеризующих кинетику ионизации водорода в щелочи. Величина тока, достигнув

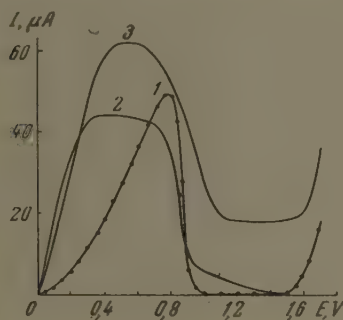


Рис. 9

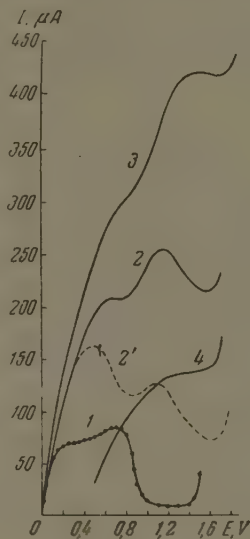


Рис. 10

рис. 9. Зависимость ионизации водорода в $1N NaOH$ от скорости наложения потенциала при 2000 об/мин: 1 — стационарная кривая; 2 — $\Delta v/\Delta t = 4 \text{ мВ/сек}$; 3 — $\Delta v/\Delta t = 32 \text{ мВ/сек}$

рис. 10. Ионизация водорода на платинированном Pt-электроде в $1N NaOH$ в зависимости от скорости наложения потенциала при 2000 об/мин: 1 — стационарная кривая; 2 — $\Delta v/\Delta t = 4 \text{ мВ/сек}$; 2' — $\Delta v/\Delta t = 4 \text{ мВ/сек}$; введена поправка на токи фона; 3 — $\Delta v/\Delta t = 8 \text{ мВ/сек}$, 4 — фон в атмосфере азота при $\Delta v/\Delta t = 4 \text{ мВ/сек}$

максимального значения при $0,7-0,8 \text{ В}$, начинает затем резко падать и в области потенциалов $1-1,5 \text{ В}$ практически становится равной нулю. При $1,5 \text{ В}$ начинается процесс молекулярного выделения кислорода.

Так же как и в кислых растворах, ионизация водорода в щелочи зависит от состояния поверхности электрода и от скорости наложения потенциала. Это видно из рис. 8, на котором даны $I-E$ кривые, снятые сразу после предварительной катодной поляризации (кривая 1), анодной поляризации при $1,2 \text{ В}$ (кривая 2) и стандартной активации электрода (кривая 3). Наибольшая активность электрода к процессу ионизации водорода оказывается в последнем случае.

Поляризационные кривые, полученные при различных скоростях наложения потенциала, изображены на рис. 9. С увеличением $\Delta v/\Delta t$ наклон кривых уменьшается, область максимальных токов расширяется в сторону более анодных потенциалов, но абсолютная величина их изменяется сравнительно мало. При $\Delta v/\Delta t = 32 \text{ мВ/сек}$ наблюдается электрохими-

ческое окисление водорода и при потенциалах 1,1—1,5V, при которых величина тока составляет ~30% от максимального тока ионизации водорода в интервале потенциалов 0—0,7V.

На рис. 10 представлены аналогичные кривые, полученные на платинированном Pt-электроде в тех же условиях. Из сравнения кривых рис. 9 и 10 вытекает, что перенапряжение процесса ионизации водорода при переходе от гладкой платины к платинированной уменьшается и эффективность его увеличивается в несколько раз. С увеличением $\Delta v/\Delta t$ пассивация платинированного Pt-электрода по отношению к исследуемому процессу в щелочном растворе наступает при более анодных потенциалах и выражена гораздо слабее. Так, на кривой 2', снятой при $\Delta v/\Delta t = 4 \text{ mV/сек}$ с поправкой на токи фона, ток при 1,6V равен половине предельного тока при 0,5V.

ВЫВОДЫ

1. Полученные в работе данные показывают, что кинетика ионизации водорода на Pt-электроде в большей степени зависит от предварительной электрохимической обработки его поверхности, скорости наложения потенциала и природы аниона раствора. Только при потенциалах, близких к обратимому водородному, процесс ионизации водорода протекает, по видимому, по неосложненному разрядному механизму.

2. Показано, что в процессе ионизации водорода существенное значение имеет пассивация электрода.

3. Установлено, что поляризационная кривая ионизации водорода, снятая в 1N HClO₄ в интервале потенциалов 0,9—1,2V, характеризуется наличием второго максимума тока. Появление этого максимума может быть связано или с процессом ионизации водорода на окисленной поверхности платины, который протекает с большим перенапряжением, или с окислением по каталитическому механизму молекулярного водорода до воды электрохимически адсорбированным на поверхности платины кислородом, как это было предложено нами для случая анодного окисления ионов SO₃²⁻ в SO₄²⁻ и NO₂⁻ в NO₃⁻.

4. Показано влияние скорости наложения потенциала на электрохимические характеристики окисления водорода, очевидно, связанное с различной степенью активности Pt-электрода в исследуемом процессе.

Физико-химический
институт
им. Л. Я. Карпова
Москва

Поступила
6.VI.1956

ЛИТЕРАТУРА

1. O. Sackur, Z. Phys. Chem., 54, 647, 1906.
2. L. Hammett, Journ. Amer. Chem. Soc., 46, 7, 1924; Trans. Farad. Soc., 29, 770, 1933.
3. F. Bowden, Proc. Roy. Soc., 125A, 446, 1929.
4. В. И. Ройтер и Е. С. Полуян, Журн. физич. химии, 7, 775, 1936.
5. M. Jonsch, N. Hackerman, Journ. Phys. Chem., 57, 674, 1953.
6. K. A. Hofmann, Lotte Zipfel, Berichte, 53, 298, 1920; 56, 1165, 1923.
7. О. В. Крылов и С. З. Рогинский, ДАН, 88, 2, 1953.
8. К. И. Розенталь и В. И. Веселовский, Журн. физ. химии, 27, 1163, 1953.
9. Э. А. Айказян и А. Н. Фрумкин, ДАН, 100, 2, 1955.
10. Н. А. Балашова, ДАН, 103, 639, 1955.
11. А. Н. Фрумкин и А. И. Шлыгин, ДАН, 2, 113, 1934.
12. Т. И. Борисова и В. И. Веселовский, Журн. физ. химии, 27, 1195, 1953.

A STUDY OF THE MECHANISM AND KINETICS OF THE ELECTROCHEMICAL OXIDATION OF HYDROGEN BY THE METHOD OF ANODIC POLAROGRAPHY ON THE PLATINUM ELECTRODE

K. I. Rosental' and V. I. Veselovskii (Moscow)

Summary

The results of this study have shown that the rate of hydrogen ionization on a Pt electrode depends to a large extent on the preliminary electrochemical treatment of its surface, on the rate of applying the potential and on the nature of the anions in the solution. Only at potentials close to the reversible hydrogen process does the hydrogen ionization takes place apparently according to a non-complicated discharge mechanism. It has been shown that the passivity of the electrode plays an important part in the ionization process.

To elucidate the possible reasons for retardation of hydrogen ionization at the platinum electrode account must be taken both of the decrease in absorbed hydrogen with increasing anodic potential of the Pt (11), as well as the change in the Pt surface owing to adsorption of the solution anions (10) and the formation of various surface compounds of oxygen with the Pt.

The polarization curve of hydrogen ionization taken in 1N HClO_4 over the potential range 0.9—1.2 V is characterized by the presence of a second maximum of current. The appearance of this maximum may be associated either with the process of hydrogen ionization at the oxidized platinum surface, which occurs at high overvoltage, or with the catalytic oxidation of molecular hydrogen to water by the electrochemically adsorbed oxygen on the platinum surface, as was postulated by us in the case of the anodic oxidation of SO_3'' and NO_2' ions to SO_4'' and NO_3' , respectively.

The effect was shown of the rate of applying the potential on the electrochemical characteristics of hydrogen oxidation, evidently connected with different states of activity of the Pt electrode in the process under question.

ИССЛЕДОВАНИЕ КОРРОЗИОННОЙ СТОЙКОСТИ ТВЕРДЫХ РАСТВОРОВ МЕТАЛЛОВ

V. СИСТЕМА Cu — Ni

Н. Н. Грацианский и И. А. Гуцев

В предыдущих статьях [1] по исследованию коррозионной стойкости твердых растворов металлов систем: Cd — Hg, In — Pb, Bi — Sb, Mg — Cu было показано, что, несмотря на оживленную диффузию атомов компонентов, в некоторых сплавах при комнатной температуре во время коррозионных испытаний могут появляться границы коррозионной стойкости. Границы коррозионной стойкости также могут проявляться в сплавах, у которых при комнатной температуре могут происходить превращения в твердом состоянии. Эти факты не подтверждают обоснования теории Таммана для проявления границ коррозионной стойкости твердых растворов металлов. У исследованных нами сплавов в различных коррозионных средах границы коррозионной стойкости обуславливаются за счет образования антикоррозионного слоя на границе сплав — коррозионная среда.

Одним из факторов, влияющих на образование поверхностного антикоррозионного слоя при определенном соотношении компонентов в сплаве, может явиться скорость протекания коррозионного процесса на границе сплав — коррозионная среда. При малой скорости коррозионного процесса в большинстве случаев границы коррозионной стойкости могут не проявляться.

Исследованные нами твердые растворы металлов в большинстве случаев были легкоплавкими; образование антикоррозионного поверхностного слоя могло произойти за счет перегруппирования атомов на границе сплав — раствор. Исследованные нами в настоящей работе твердые растворы системы Cu — Ni обладают высокой температурой плавления от 1000 до 1500°С; это — сплавы, у которых практически отсутствует диффузия атомов при комнатной температуре. Последнее подтверждается высокой температурой и продолжительностью отжига Cu — Ni сплавов (900—950°С, 48 час.) [2].

Нашей задачей было проверить, при каких условиях проявляются у Cu — Ni сплавов границы коррозионной стойкости. Проведенные многими исследователями [3] термические, микроскопические и рентгенографические исследования сплавов системы Cu — Ni показали, что медь и никель при сплавлении образуют непрерывный ряд твердых растворов.

Данные по изучению свойств этих сплавов — твердости, электропроводности и др., приведены во многих исследованиях [4]. Наиболее полное исследование коррозионной стойкости медноникелевых сплавов в различных коррозионных средах было проведено В. В. Скорчеллетти [2] и Л. Новаком [2]. Последним были установлены для Cu — Ni сплавов границы коррозионной стойкости, соответствующие $2/8$ и $4/8$ мольстойкого компонента, в растворах щелочей, сульфидов, сульфатов, нитратов и др. Помимо указанных сред, Новак изучал действие серы и других веществ в сероуглеродной среде на сплавы меди с никелем, однако границ коррозионной стойкости в них не обнаружил. На основании своих исследований Новак подтверждает наличие границ коррозионной стойкости, теоретические положения Таммана и «правило $n/8$ » для двойных твердых растворов металлов.

Однако воспользоваться этими данными для расчета скорости коррозионного процесса нельзя, так как Новак не приводит количественных величин коррозионной потери для исследованных сплавов и сред.

В. В. Скорчеллетти исследовал коррозионную стойкость ряда сплавов меди с никелем в растворе NH_4OH (уд. веса 0,95) при комнатной температуре, в течение 120 час.

известно, в растворе NH_4OH медь энергично растворяется при доступе воздуха, никель в растворе NH_4OH не действует.

Из рис. 1 (кривая 1) видно, что при 50 ат. % Ni коррозия сплава резко снижается, указывая на проявление при этом составе границы коррозионной стойкости.

Произведенный анализ раствора показал присутствие в нем ионов меди и никеля в количествах, соответствующих количеству компонентов в сплаве. Автор на основании полученных данных приходит к заключению, что при коррозии медь-никелевых сплавов в растворе NH_4OH происходит не окисление коррозионно нестойкого компонента с разрушением решетки сплава с переходом его компонентов в раствор. В результате граница коррозионной стойкости должна проявляться за счет образования защитного барьера при определенном соотношении компонентов в сплаве.

Для получения медно-никелевых сплавов в качестве исходных материалов мы использовали чистые медь и никель, имеющие, по данным анализа, незначительные примеси (тысячные доли процента). Сплавление компонентов производилось в вакууме, в высокочастотной печи. Жиг также производился в вакууме при температуре электропечи 900—950°C в течение 48 ч. Гомогенность сплавов контролировалась при изучении структуры на металломикроскопе.

В результате были получены восемь образцов медно-никелевых сплавов, содержащих: 80% Cu; 75% Cu; 65% Cu; 55% Cu; 50% Cu; 45% Cu; 35% Cu; 25% Cu (ат. %). Исследовалась также коррозионная стойкость образцов чистой меди и никеля.

Коррозионная стойкость медно-никелевых сплавов определялась в 10% растворе H_2SO_4 при комнатной температуре.

В растворе H_2SO_4 в присутствии кислорода воздуха медь растворяется быстрее, чем никель. Исследования коррозионной стойкости производились весовым методом в течение длительного времени — 1600 час.

Коррозионные потери, выраженные в $\text{г/м}^2 \cdot \text{час}$ в зависимости от состава сплава представлены на рис. 1 кривая 2.

Как видно из рисунка, получаются небольшие, малоизменяющиеся зависимости от состава Cu—Ni сплавов, величины коррозионных потерь, зависающие на отсутствие границ коррозионной стойкости в 10% растворе H_2SO_4 .

Результаты анализов растворов после коррозионных испытаний приведены в таблице.

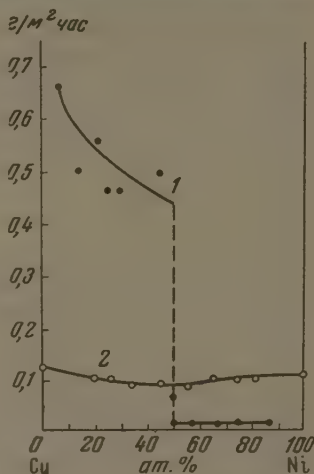


Рис. 1. Зависимость потери веса сплавов от состава: 1 — в растворе NH_4OH (уд. вес 0,95); 2 — в 10% растворе H_2SO_4

Состав медно-никелевых сплавов, ат. % Cu	Потери в весе после коррозии	Количество по расчету		Количество по анализу	
		Cu	Ni	Cu	Ni
100	0,0668	0,0668	—	0,065	—
80	0,03	0,025	0,005	0,025	0,002
75	0,027	0,020	0,007	0,018	0,006
65	0,0116	0,0079	0,0035	0,006	0,004
55	0,0147	0,0084	0,0063	0,008	0,009
50	0,0216	0,0112	0,0104	0,0035	0,017
45	0,0470	0,22	0,025	0,022	0,023
35	0,0282	0,0104	0,0178	0,008	0,020
25	0,0372	0,0099	0,0273	0,010	0,025
0	0,0358	—	0,0358	—	0,040

Из приведенных данных следует, что количество компонентов, переходящих в раствор, соответствует отношению количеств меди и никеля корродируемом сплаве.

Аналогичные данные были получены В. В. Скорчеллетти [2] при изучении коррозионной стойкости Cu—Ni сплавов в растворе NH_4OH

На основании полученных данных проведенного исследования механизма растворения медно-никелевых сплавов можно представить следующий

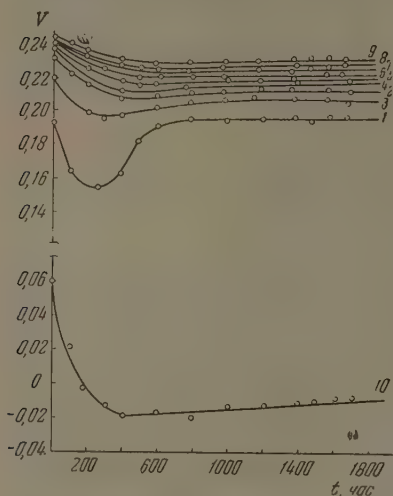


Рис. 2. Кривые потенциал — время в 10% H_2SO_4 ; 1—100% Cu; 2 — сплав 80 ат. % Cu; 3 — сплав 75 ат. % Cu; 4 — сплав 65 ат. % Cu; 5 — сплав 55 ат. % Cu; 6 — сплав 50 ат. % Cu; 7 — сплав 45 ат. % Cu; 8 — сплав 35 ат. % Cu; 9 — сплав 25 ат. % Cu; 10—100% Ni

слоя, связанного с перегруппировкой атомов в поверхностном слое, как у исследованных нами ранее легкоплавких сплавов, а за счет внутренней пассивности сплава или образования на границе сплав—раствор барьера из остающихся на поверхности атомов стойкого компонента или сплава после растворения атомов нестойкого компонента. В этом случае проявление границ коррозионной стойкости можно рассматривать с точки зрения теории Таммана [5]. Измерения потенциалов кор-

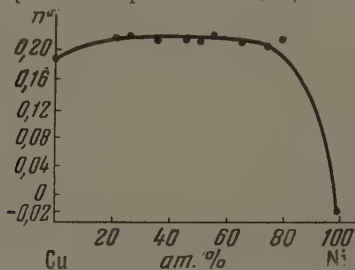


Рис. 3

Рис. 3. Зависимость установившегося потенциала от состава сплава в 10% H_2SO_4

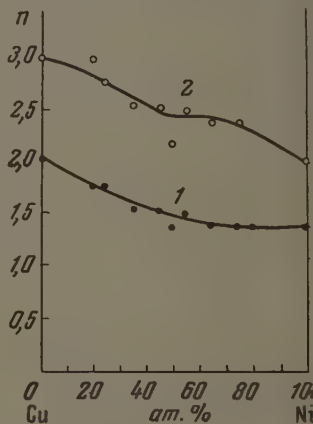


Рис. 4

Рис. 4. Зависимость толщины разрыхленного поверхностного слоя от состава сплавов

1 — до коррозии; 2 — после коррозии в 10% H_2SO_4

родирующих медно-никелевых сплавов производились в 10% H_2SO_4 одновременно с коррозионными испытаниями*.

* Методика измерений описана в предыдущих статьях.

Результаты измерений потенциалов во времени представлены на рис. 2, а в зависимости от состава сплавов на рис. 3.

Кривая потенциалов корродирующих сплавов в зависимости от состава в 10% H_2SO_4 не имеет резких перегибов, что также указывает на отсутствие границы коррозионной стойкости.

Толщину разрыхленного поверхностного слоя у медно-никелевых сплавов до и после коррозии определяли на основании измерения микротвердости поверхности сплава при различных нагрузках.

Результаты измерения толщины разрыхленного поверхностного слоя медно-никелевых сплавов до и после коррозии показаны на рис. 4. Как видно, толщина разрыхленного поверхностного слоя после коррозии в 10% H_2SO_4 увеличивается равномерно у всех составов сплавов до 2—3 μ .

ВЫВОДЫ

1. Исследована коррозионная стойкость медно-никелевых твердых растворов в 10% растворе H_2SO_4 при комнатной температуре, весовым методом. Одновременно произведены измерения потенциалов корродирующих сплавов и толщины разрыхленного поверхностного слоя до и после коррозии. В 10% растворе H_2SO_4 в присутствии кислорода воздуха получены небольшие величины коррозионных потерь, которые в зависимости от состава медно-никелевых сплавов незначительно изменяются, что указывает на отсутствие границы коррозионной стойкости. Это подтверждается также измерениями потенциалов корродирующих сплавов. Толщина разрыхленного поверхностного слоя после коррозии увеличилась до 2—3 μ .

2. Результаты анализов растворов после коррозии показывают, что количество компонентов, перешедших в раствор, соответствует отношению количеств меди и никеля в корродируемом сплаве. Растворение медно-никелевых сплавов может происходить вследствие разрушения кристаллической решетки сплава и перехода обоих компонентов в раствор.

3. Границы коррозионной стойкости таких сплавов могут проявляться при определенном соотношении компонентов в сплаве за счет внутренней неоднородности или образования на границе сплав — раствор барьера из нескольких атомных слоев стойкого компонента или сплава после растворения атомов нестойкого компонента.

Академия наук УССР
Институт общей и неорганической химии
Киев

Поступила
11.VI.1956

ЛИТЕРАТУРА

- Н. Н. Грацианский и М. Л. Каплан, Журн. физ. химии, 30, 651, 1956.
L. Nowak, Zs. anorg. u. allg. Chem., 113, 1, 1920.
В. В. Скорчеллетти и А. И. Шульгин, Химическое разрушение металлов, ОНТИ, 1934, стр. 81.
Н. С. Курнаков и С. Ф. Жемчужный, Собрание избранных работ Н. С. Курнакова, т. II, ГОИИ, 1939, стр. 45.
W. Guertler u. G. Tamman, Zs. anorg. allg. Chem., 52, 25, 1907.
V. E. Tafel, Metallurgie, 5, 348, 1908.
H. Lange, Ann. Phys., 76, 482, 1925.
A. Sacklowski, Ann. Phys., 77, 260, 1925.
Н. С. Курнаков и Я. Рапке, Собрание избранных работ Н. С. Курнакова, т. II, ГОИИ, 1939, стр. 242.
S. Wologdiné, Revue de Metallurgie, 36, 1907.
К. А. Осипов, ДАН, 53, 821, 1946.
G. Tamman, Zs. anorg. u. allg. Chem., 107, 1, 289, 1919.

STUDIES ON THE RESISTANCE OF SOLID METALLIC SOLUTIONS TO CORROSION

V. THE SYSTEM Cu—Ni.

N. N. Gratsianskiĭ and I. A. Gutsev (Kiev)

Summary

The resistance to corrosion at room temperature of solid solutions of Cu — Ni in 10% H_2SO_4 solution was studied by weight loss measurements. Concurrently determinations were made of the corroding alloy potentials and of the thickness of the loosened layer before and after corrosion. The corrosion losses in the aforementioned solution are little affected by the composition of the alloy and no boundary of corrosion stability makes its appearance. Analysis of the solutions subsequent to the corrosion tests showed that the alloy components in the solution were present in amounts corresponding to their ratio in the corroding alloy.

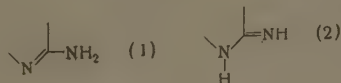
A boundary of corrosion stability of such alloys may appear at a certain ratio of the components owing to the inner passivity of the alloy or the formation at the boundary of a barrier of stable component atoms after dissolution of the atoms of the unstable component.

О ТАУТОМЕРИИ НЕКОТОРЫХ ПРОИЗВОДНЫХ ГЕТЕРОЦИКЛИЧЕСКИХ СОЕДИНЕНИЙ

IV. СПЕКТРЫ И СТРОЕНИЕ БЕНЗОЛСУЛЬФОАМИДОВ И СУЛЬФАНИЛАМИДОВ РЯДА ТИАЗОЛА И ТИАДИАЗОЛА

**О. Н. Шейнкер, И. Я. Постовский, Н. М. Воронина
и В. В. Кушкин**

В одной из предыдущих статей [1] было отмечено, что существование или γ -аминопроизводных гетероциклического ряда в аминной форме, доказанное, в частности, с помощью спектров, может быть объяснено при рассмотрении amino-иминного таутомерного равновесия, как равновесия кислотно-основного характера.



Как указывалось в [1], различные химические [2] и физико-химические [3, 4] данные показывают, что внекольцевой атом азота в иминной таутомерной форме (2) обладает значительно более резко выраженной способностью присоединять и удерживать протон (обладает большими «основными» свойствами) по сравнению с кольцевым атомом азота как в аминной, так и в иминной таутомерных форм, благодаря чему равновесие между аминной и иминной формами всегда сильно смещено в сторону аминной формы.

В соответствии с этими взглядами надо было ожидать, что изменение основных свойств внекольцевого азота в сторону их снижения приведет к такому соотношению основностей этого и кольцевого атомов азота, которое сделает в равной степени или более вероятным существование соединения в имино-, а не амино-форме.

Такое изменение основности внекольцевого атома азота можно было бы считать достигнутое замещением одного из атомов водорода аминной группы на электроотрицательные группы типа кислотных остатков.

Ранее [5] нами уже рассматривались спектры и строение ацетилированных аминов ряда тиазола, причем было показано, что 2-ацетиламинотиазолы имеют аминно-, а не имино-строение*. Очевидно, ацетильная группа обладает слишком слабым снижающим основность («ацидифицирующим») действием, чтобы существенно изменить отношение между основностями двух атомов азота в молекуле в пользу кольцевого азота. Полученный результат мог быть вполне согласован с фактом относительно небольшой силы уксусной кислоты, и следовательно, относительно слабого электроотрицательного характера ацетильной группы.

В данной работе были исследованы амиды значительно более сильной бензолсульфокислоты и ее производного — сульфаниловой кислоты. Учитывая высокую кислотность бензолсульфокислоты ($K = 2 \cdot 10^{-1}$) можно было ожидать, что в гетероциклических амидах этой кислоты, равно как и в амидах сульфаниловой кислоты, амидный атом азота будет обладать в такой степени пониженными основными свойствами, что устой-

* Сообщенный в указанной работе [5] факт присутствия нескольких процентов иминной таутомерной формы в спиртовом растворе 2-ацетиламинотиазола в дальнейшем при повторных измерениях не подтвердился.

чивым станет имидное строение, соответствующее иминной таутомерной форме, не наблюдавшейся у гетероциклических аминов и их производных, потенциально способных к таутомерии.

Подтверждение этого предположения представляет большой интерес с точки зрения проверки правильности приложения теории кислотно-основного равновесия к amino-иминному таутомерному равновесию. Вместе с тем изучение строения указанных соединений имеет большое значение и потому, что соответствующие гетероциклические амиды сульфаниловой кислоты составляют обширный класс важнейших химиотерапевтических препаратов — сульфаниламидов, имеющих широкое практическое применение.

Вопрос о строении сульфаниламидов неоднократно подвергался обсуждению в связи с изучением зависимости между химическим строением и химиотерапевтическим действием. Первоначальные данные, относящиеся к химическим свойствам 2-сульфаниламидопиридина и других сульфаниламидов, позволили ряду исследователей [6—8] сделать вывод об аминостроении [3] этих соединений



Эта точка зрения до настоящего времени является наиболее распространенной. Вместе с тем в других работах указывалось на недостаточность и неправильность такого представления. Так, Шеперд с сотрудниками [9], Скуди [10], Андыял и Варбург [11], используя ультрафиолетовые спектры, показали, что сульфаниламидотиазол находится в растворах в основном в имидоформе (4), в то время как сульфаниламидопиридин представляет собой в этих условиях смесь двух таутомерных форм. Однако Машка с сотрудниками [12, 13], изучая ультрафиолетовые спектры ряда бензолсульфонамидов и сульфаниламидов, рассматривает эти соединения как аминопроизводные.

Таким образом, хотя по некоторым данным, действительно, наличие сульфонильной группы, связанной с внекольцевым атомом азота, способствует переходу молекул соответствующих производных гетероциклических аминов в иминоформу, строение этих производных нуждается в дополнительном исследовании, ибо по этому вопросу имеются противоположные точки зрения и полученные к настоящему времени данные не всегда являются достаточно убедительными.

Следует также отметить, что эти данные относятся лишь к сульфаниламидам и не касаются строения бензолсульфонамидов, не обладающих в связи с замесной *п*-NH группой на N бактериостатической активностью. Для изучения связи между строением и биологическим действием важно знать, имеются ли принципиальные отличия в строении активных сульфаниламидов и неактивных бензолсульфонамидов.

В литературе отсутствуют работы, посвященные изучению строения рассматриваемых соединений в кристаллическом состоянии.

Все эти вопросы послужили поводом для проведения спектроскопического исследования строения бензолсульфонамидов и сульфаниламидов как в кристаллическом состоянии, так и в растворах. В настоящей статье рассмотрены производные ряда тиазола и тиadiaзола.

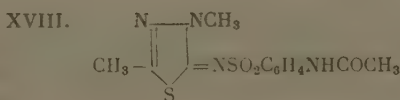
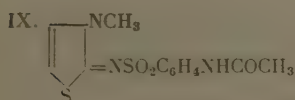
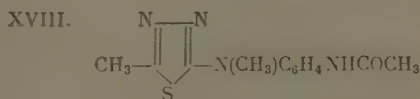
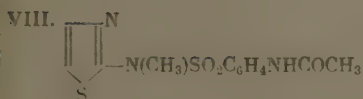
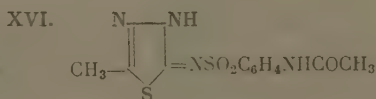
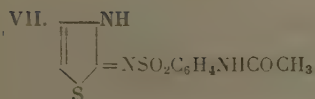
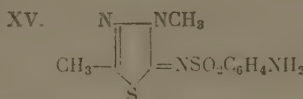
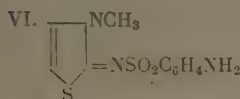
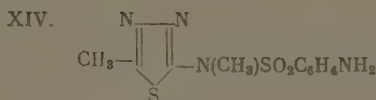
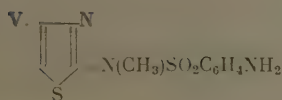
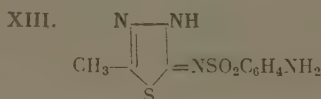
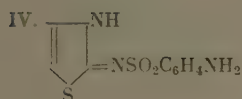
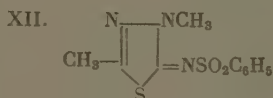
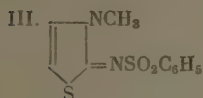
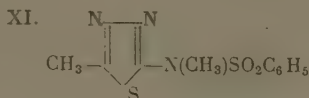
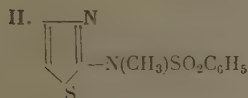
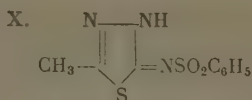
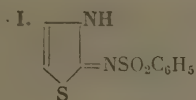
ЭКСПЕРИМЕНТАЛЬНАЯ ЧАСТЬ

Выводы о строении соединений, способных к таутомерии, были получены в работе при сопоставлении данных инфракрасных и ультрафиолетовых спектров поглощения самих исследуемых соединений и их метильных производных с закрепленным строением, отвечающим той или иной таутомерной форме.

Инфракрасные спектры поглощения были получены с помощью инфракрасного регистрирующего спектрометра ИКС-11 в области от 2,5 до 14 μ , ультрафиолетовые спектры — с помощью спектрофотометра СФ-4. Методика и условия съемки описаны нами в предыдущих статьях [1, 14].

Ниже приводятся таблица формул исследованных соединений и краткое описание методов синтеза. Некоторые соединения, в особенности ряда тиadiaзола, еще не описаны в литературе. Для этих соединений приведены анализы на азот.

2-Бензолсульфонимидотиазолин-(4) (1) получен конденсацией бензолсульфохлорида с 2-аминотиазолом в пиридине. Т. пл. 170° (лит. [15] : 170°).



2-Бензолсульфонметиламидтиазол (II) получен при метилировании продукта диазометаном в эфире. При этом образуются два вещества: в эфире растворимый продукт (II) с т. пл. $80-81^{\circ}$ (найденно $\%: N 11.18, C_{10}H_{10}O_2N_2S$, вычислено $\%: N 11.01$) в эфире нерастворимый 2-бензолсульфонимидо-3-метил-тиазолин-(4) (III), т. пл. $9-181^{\circ}$ (лит.: 182°). Последний был получен также при метилировании соединения диметилсульфатом или при конденсации бензолсульфохлорида с 2-амино-3-метил-тиазолином -(4).

Поресульфазол (IV) и его ацетильное производное (VII) имели постоянные т. пл., соответствующие т. пл., указанным для этих веществ в литературе [16] ($200-202$ и $3-237^{\circ}$).

2-Сульфанилметиламидотиазол (V) т. пл. 110° и 2-сульфанилимидо-3-метил-тиазолин-(4) (VI), т. пл. 246—247° образуются при метилировании норсульфазола (IV) диазотамом. Вещество VI было также получено при метилировании норсульфазола диметилсульфатом в щелочной среде. Продукт, тождественный с веществом (V), получен конденсацией 2-метиламино-тиазола с *n*-ацетиламинобензолсульфохлоридом в пиридине с последующим гидролизом щелочью образовавшегося ацетильного производного (VII), имеющего т. пл. 270—272°.

Ацетиламинобензолсульфонимидо-3-метилтиазолин-(4) (IX) получен конденсацией 2-имино-3-метилтиазолина (4) с *n*-ацетиламинобензолсульфохлоридом. Т. пл. 261—263° (лит.: 266—268°) [17].

2-Бензолсульфонимидо-5-метил-1,3,4-тиадиазолин-(4) (X) получен конденсацией 2-амино-5-метил-1,3,4-тиадиазола с бензолсульфохлоридом в пиридине, т. пл. 178—179°. Найдено: % N 16,01. $C_9H_8N_4O_2S_2$. Вычислено: % N 16,46.

2-Бензолсульфонметиламидо-5-метил-1,3,4-тиадиазол получен при конденсации 2-метиламино-5-метил-1,3,4-тиадиазола с бензолсульфохлоридом в пиридине, т. пл. 74—75°. Найдено: % N 15,61. $C_{10}H_{11}O_2N_3S$. Вычислено: % N 15,60.

2-Бензолсульфонимидо-3,5-диметил-1,3,4-тиадиазолин-(4) (XII) получен конденсацией 2-имино-3,5-диметил-1,3,4-тиадиазолина (4) в пиридине с бензолсульфохлоридом, т. пл. 107—108°. Найдено: % N 15,30. $C_{10}H_{11}O_2N_3S_2$. Вычислено: % N 15,60.

2-Сульфанилимидо-5-метил-1,3,4-тиадиазолин-(4) (XIII) имел т. пл. 219—220° (лит. [18]: т. пл. 208—209°) ацетильное производное—2-(*n*-ацетиламинобензолсульфамидо)-5-метил-1,3,4-тиадиазолин-(4) (XVI) плавилось при 237—238° (лит. [18]: 238°).

При конденсации с *n*-ацетиламинобензолсульфохлоридом в пиридине 2-метиламино-5-метил-1,3,4-тиадиазолин дает 2-(*n*-ацетиламинобензол-метиламидо)-5-метил-1,3,4-тиадиазол (XVII) с т. пл. 174—176°. Найдено: % N 16,62. $C_{12}H_{14}O_3N_4S_2$. Вычислено: % N 17,17. При гидролизе 5% серной кислотой получен амид (XIV), который после перекристаллизации показат. пл. 128—129°. Найдено: % N 19,60. $C_{10}H_{12}O_2N_4S$. Вычислено: % N 19,70.

2-(*n*-сульфанилимидо)-3,5-диметил-1,3,4-тиадиазолин-(4) (XV) получен метилированием диметилсульфатом в щелочной среде соединения (X). Т. пл. 161—162°. Найдено: % N 19,77. $C_{10}H_{12}O_2N_4S_2$. Вычислено: % N 19,70.

Соединение (XVIII), 2-(*n*-ацетиламинобензолсульфамидо)-3,5-диметил-1,3,4-тиадиазолин-(4), получено конденсацией *n*-ацетиламинобензолсульфохлорида с 2-имино-3,5-диметил-1,3,4-тиадиазолином-(4). Т. пл. 194—195°. Найдено: % N 17,13. $C_{12}H_{14}O_3N_4S_2$. Вычислено: % N 17,17.

ОБСУЖДЕНИЕ РЕЗУЛЬТАТОВ

Сопоставление инфракрасных спектров кристаллических метилированных производных 2-бензолсульфонамидов и 2-сульфаниламидов тиазолин- и тиadiaзола, отвечающих двум возможным таутомерным формам эти амидов, позволяет выделить полосы поглощения, характерные для амидной и имидной таутомерных форм. Наиболее полезной для этой цели спектральной областью оказалась область 9,5—12 μ , в которой различие амидо- и имидосоединений наиболее четкое и закономерное.

Для всех имидосоединений закрепленного строения (метилированные по азоту ядра производные) характерным является отсутствие существенных полос поглощения на участках от 9,5 до 10,5 μ и от 11 до 12 μ и наличие сильной полосы поглощения в интервале 10,5—11 μ (рис. 2, 3). Для всех закрепленных амидосоединений (метилированные в боковую цепь производные) характерно, наоборот, наличие интенсивных полос поглощения в областях 9,5—10 μ и 11,5—12 μ и отсутствие существенного поглощения от 10 до 11,5 μ .

Важно, что эти особенности в спектрах повторяются независимо от того введена ли amino-или ацетиламиногруппа в *n*-положение бензольного кольца или нет и имеем ли мы дело с сульфонамидом ряда тиазолин- или тиadiaзола. Очевидно, полосы поглощения в этой области связаны именно с группировками $-N=C-N-SO_2R$ (полосы 1020—1040 cm^{-1} и 860—850 cm^{-1}) и $-N-C=N-SO_2R$ (полосы при 915—940 cm^{-1}).

Из других полос на основании имеющихся литературных данных полосы в области 1160 cm^{-1} (1150—1170 cm^{-1} для различных веществ) и в области 1350 cm^{-1} (1300—1360 cm^{-1}) могут быть отнесены к симметричному и антисимметричному колебанию группы SO_2 . [19]. Полосы в области 1500—1600 cm^{-1}

ются, очевидно, к системам двойных связей в ядрах тиазола или адиазола. В спектрах сульфаниламидных производных наблюдаются,

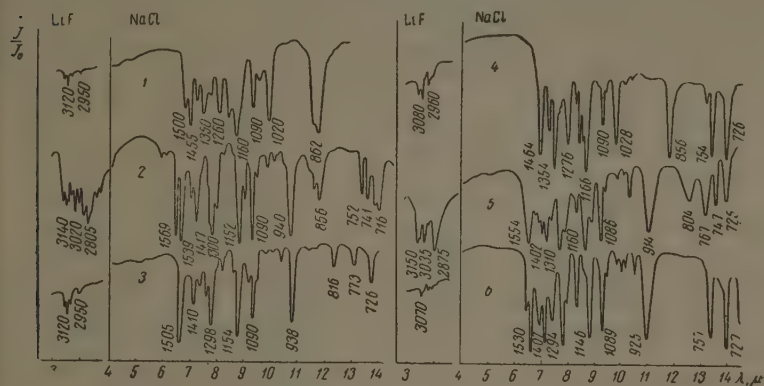


Рис. 1. Инфракрасные спектры поглощения: 1—2-бензолсульфонметиламидотиазола (II); 2—2-бензолсульфонимидотиазолина (I); 3—2-бензолсульфонимидо-3-метилтиазолина (III); 4—2-бензолсульфонметиламидо-5-метилтиадиазола (XI); 5—2-бензолсульфонимидо-5-метилтиадиазолина (X); 6—2-бензолсульфонимидо-3,5-диметилтиадиазолина (XII) (все в кристаллическом состоянии)

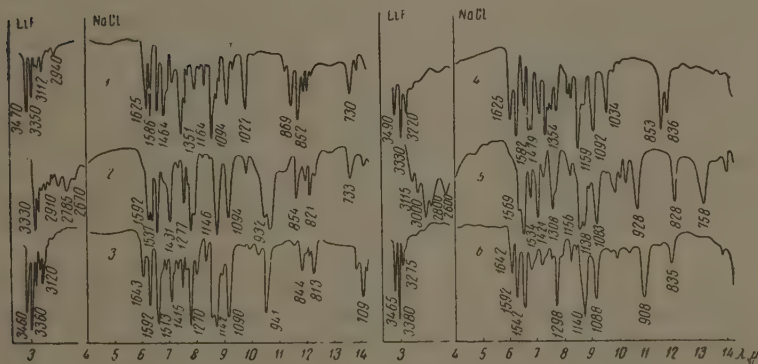


Рис. 2. Инфракрасные спектры поглощения: 1—2-сульфанилметиламидотиазола (V), 2—2-сульфанилимидотиазолина (IV); 3—2-сульфанилимидо-3-метилтиазолина (VI); 4—2-сульфанилметиламидо-5-метилтиадиазола (XIV); 5—2-сульфанилимидо-5-метилтиадиазолина (XIII); 6—2-сульфанилимидо-3,5-диметилтиадиазолина (XV) (все в кристаллическом состоянии)

естественно, характерные полосы аминогруппы (валентные полосы в области $3450\text{--}3260\text{ см}^{-1}$ и деформационные — при $1620\text{--}1640\text{ см}^{-1}$), в ацетиламинобензолсульфамидах — полосы карбонильной группы пептильного остатка при $1670\text{--}1690\text{ см}^{-1}$.

Полученные спектральные данные для метилированных производных закрепленного строения были сопоставлены нами с данными для самих

бензолсульфонамидов и сульфаниламидов тиазола и тиадиазола. При этом четко обнаруживается, что соответствующие амиды повторяют в спектрах все особенности, наблюдавшиеся для закрепленных имидопроизводных (рис. 1 и 2). В спектрах сульфамидов тиазола и тиадиазола имеется интенсивная, характерная для имидо-форм, полоса в области 10,5—11 μ ($932-950\text{ см}^{-1}$ для производных тиазола и $914-928\text{ см}^{-1}$ — для производных тиадиазола). Общий вид спектров амидов (2-бензолсульфонамидотиазол, 2-сульфаниламидотиазол, 2-бензолсульфонамидо-5-метилтиадиазол и др.) хорошо совпадает и в других спектральных областях со спектрами соответствующих закрепленных имидов и заметно отличается от спектров закрепленных амидов.

Конечно, замена атома водорода на метильную группу отражается в инфракрасных спектрах, однако это изменение затрагивает лишь отдельные участки спектра.

Изменение в спектрах при переходе от метилированных производных к неметилированным амидам проявляется наиболее заметно в сульфаниламидах в области $3000-3450\text{ см}^{-1}$ и области $1620-1640\text{ см}^{-1}$, т. е. в области валентных колебаний N—H связей и деформационных колебаний группы NH_2 . Вместо системы трех полос в области валентных колебаний N—H ($3465-3490$, $3330-3380$ и $3220-3275\text{ см}^{-1}$) в метилированных сульфаниламидах 5-метилтиадиазола в самом сульфаниламиде 5-метилтиадиазола появляются размытые полосы 2600 , 2800 , 2875 , 3000 , 3115 см^{-1} . Аналогичные размытые полосы при 2660 , 2785 , 2910 см^{-1} характерны и для сульфаниламида тиазола. По-видимому, той же причиной обусловлено и смещение полосы деформационного колебания группы NH_2 вместо нормального положения $\sigma\text{ NH}_2$ в N'-метил- и N'-метилпроизводных ($1620-1640\text{ см}^{-1}$) полосы в сульфаниламидах в этой области отсутствует, смещаясь в область $1590-1570\text{ см}^{-1}$.

Эти данные позволяют считать, что в кристаллах между молекулами сульфаниламидов имеется весьма значительное межмолекулярное взаимодействие за счет образования водородных связей, причем в образовании этих связей участвуют как атомы водорода при кольцевом азоте, так и атомы водорода аминогруппы сульфанильного остатка.

Таким образом, с помощью инфракрасных спектров удастся показать, что введение в аминогруппу гетероциклических аминов такой сильной ацидифицирующей группы, как сульфонилгруппа ($-\text{SO}_2-$), приводит к существованию образующихся сульфонамидов в кристаллическом состоянии в имидо-форме, причем такое строение наблюдается независимо от того, имеется ли в n-положении ароматического ядра amino-или ацетиламиногруппа или нет.

На основании некоторых приведенных выше литературных данных [9, 11] можно было полагать, что и в растворах сульфонамиды тиазола и тиадиазола существуют как соединения, имеющие имидостроение.

Мы сочли целесообразным повторить и дополнить соответствующие измерения в растворах. Полученные нами спектры поглощения в ультрафиолетовой области представлены на рис. 4—8.

При сопоставлении ультрафиолетовых спектров растворов (в спирте) самих сульфонамидов и их метилированных производных видно большое сходство в спектрах сульфонамидов и соответствующих метилированных по азоту ядра производных и существенное отличие от спектров производных метилированных по аминному азоту. Эта закономерность наи-

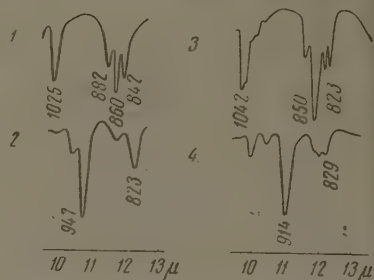


Рис. 3. Инфракрасные спектры поглощения в области $9,5-12,5\text{ мк}$: 1—2-ацетиламинобензолсульфонметиламидотиазола (VIII); 2 — 2-ацетиламинобензолсульфонимидо-3-метилтиазолина (IX), 3 — 2-ацетиламинобензолсульфонметиламидо-5-метилтиадиазола (XVII), 4—2-ацетиламинобензолсульфонимидо-3,5-ди-метилтиадиазола (XVIII) (все в кристаллическом состоянии)

нее четко проявляется для бензолсульфонамидов как тиазола, так диазозола (рис. 4) и достаточно заметно выражена в случае сульфанил-цетилсульфаниламинов тиазола (рис. 5). Для сульфаниламинов и ацетилсульфаниламинов тиадiazола ультрафиолетовые спектры метильных производных (закрепленные амидо- и имидо-формы) отличаются весьма мало (рис. 5), поэтому говорить здесь о близости спектров и строения

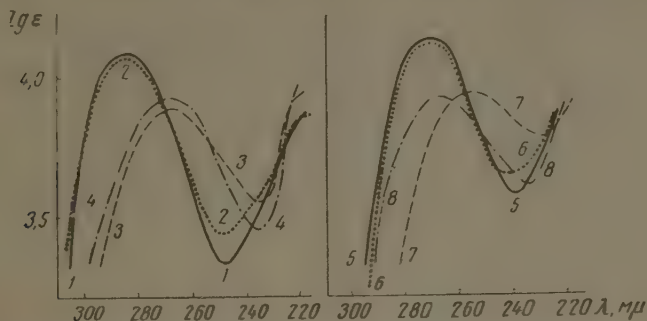


Рис. 4. Ультрафиолетовые спектры поглощения: 1—2-бензолсульфонимидотиазолина (I); 2—2-бензолсульфонимидо-3-метилтиазолина (III); 3—2-бензолсульфонметиламидотиазола (II) (все в спирте); 4—2-бензолсульфонимидотиазолина (II) (в 0,1N NaOH); 5—2-бензолсульфонимидо-5-метилтиадiazолина (X); 6—2-бензолсульфонимидо-3,5-диметилтиадiazолина (XII); 7—2-бензолсульфонметиламидо-5-метилтиадiazола (XI) (все в спирте); 8—2-бензолсульфонимидо-5-метилтиадiazолина (XI) (в 0,1N NaOH).

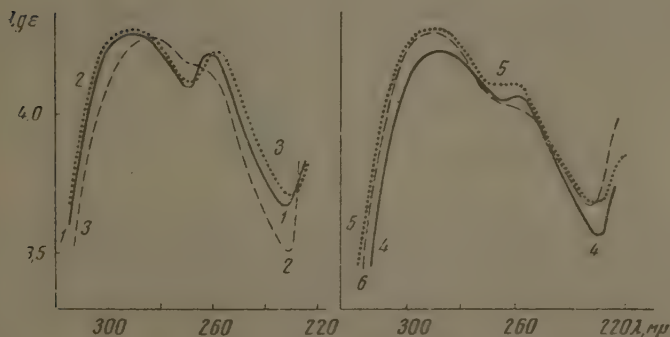


Рис. 5. Ультрафиолетовые спектры поглощения: 1—2-сульфаниламидотиазолина (IV); 2—2-сульфанилимидо-3-метилтиазолина (VI); 3—2-сульфанилметиламидотиазола (V); 4—сульфанилимидо-5-метилтиадiazолина (XIII); 5—2-сульфанилимидо-3,5-диметилтиадiazолина (XV); 6—2-сульфанилметиламидо-5-метилтиадiazола (XIV).

сульфаниламинов и их метилированных по азоту кольца производных можно лишь с известной осторожностью.

Таким образом в растворах, так же как и в твердом, кристаллическом состоянии сульфонамиды тиазола и, по-видимому, тиадiazола имеют одностроение.

Конечно, полученные спектры не позволяют исключить возможность сдержания в растворе небольших количеств другой — амидной тауто-

мерной формы, однако эта форма если и присутствует в растворе, то в таких количествах, которые не могут быть обнаружены с помощью ультрафиолетовых спектров.

Большой интерес представляет вопрос о строении сульфонамидов в кислых и основных растворах, т. е. вопрос о возможности солеобразования для этих соединений и строении образующихся солей.

Проведенные измерения показали, что в ультрафиолетовых спектрах бензолсульфонамидов тиазола и тиадиазола в щелочной среде (0,1 N NaOH) полоса поглощения уменьшается по интенсивности и смещается в сторону коротких волн. Если сравнить положение полосы с полосой метилированных в аминогруппу бензолсульфамидов, то для тиазольных производных эти полосы оказываются очень близкими, для тиадиазольных — существенно отличаются по длине волны (рис. 4).

Очевидно, в щелочной среде идет отщепление протона от азота в положении 3 с образованием соответствующего аниона. Образующийся анион в ряду тиазола близок по строению к амидной закрепленной форме, т. е. отрицательный заряд иона сосредотачивается в основном на внекольцевом атоме азота.

В ряду тиадиазола наблюдаемый результат можно попытаться интерпретировать как следствие промежуточного строения иона, в котором отрицательный заряд сосредоточен не только на внекольцевом атоме азота, но и частично — на азоте кольца (6). Это предположение находится в соответствии с положением об увеличении кислотных свойств гетероциклического ядра с возрастанием количества атомов азота в цикле [20]

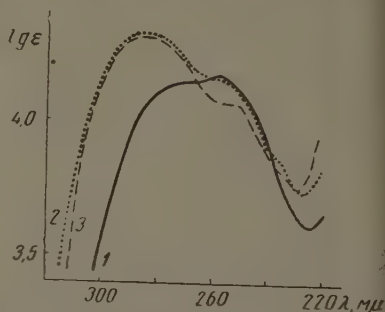
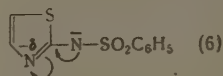
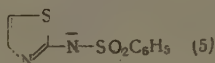


Рис. 6. Ультрафиолетовые спектры поглощения: 1 — 2-сульфанилимидо-5-метилтиадиазолина (XIII); 2 — 2-сульфанилимидо-3,5-диметилтиадиолина (XV); 3 — 2-сульфанилметиламидо-5-метилтиадиазола (XIV) (все в 0,1 N NaOH)



На основании спектральных данных нельзя сказать, где сосредотачивается отрицательный заряд аниона в случае соединений, имеющих аминогруппу в *n*-положении бензольного ядра; спектр соли заметно отличен как от закрепленной амидо-, так и имидоформы (имеющих к тому же в случае производных тиадиазола вообще очень близкие спектры (рис. 6).

Солеобразование в кислой среде, связанное с присоединением протона к молекуле и образованием катиона, не происходит (или происходит в очень малой степени) в случае бензолсульфонамидов и ацетиламинобензолсульфонамидов ряда тиадиазола (рис. 7).

Сульфонамиды ряда тиазола в этом отношении проявляют несколько отличные свойства — в кислой среде в спектрах наблюдается вполне заметное отличие — например, в ацетиламинобензолсульфамидотиазоле длинноволновая полоса возрастает по интенсивности, а коротковолновая падает по сравнению со спектрами в нейтральных растворах (сравним также с [21]). Следовательно, здесь солеобразование происходит в заметной степени. Сопоставление этих данных позволяет прийти к выводу, что имидный атом азота, который мог бы явиться акцептором протона при солеобразовании в ряду сульфамидов тиадиазола является в большей

тени потерявшим основные свойства (более «кислым»), чем аналогичный атом в молекулах сульфамидов тиазола, где солеобразование идет, видимо, по этому атому. Это находится в согласии с уже упоминавшимся выше представлением о более «кислых» свойствах тиазольного ядра по сравнению с тиазольным, благодаря накоплению атомов азота в первом.

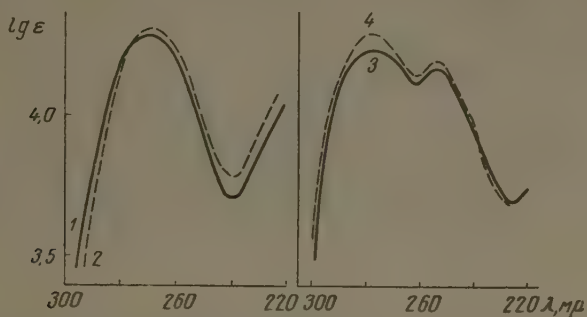


Рис. 7. Ультрафиолетовые спектры поглощения: 1—2-бензолсульфонимидо-5-метилтиадиазолина (X) (в спирте); 2—то же в 0,1 *N* соляной кислоте; 3—2-ацетиламинобензолсульфонимидо-5-метилтиадиазолина (XVI) (в спирте), 4—то же в 0,1 *N* соляной кислоте

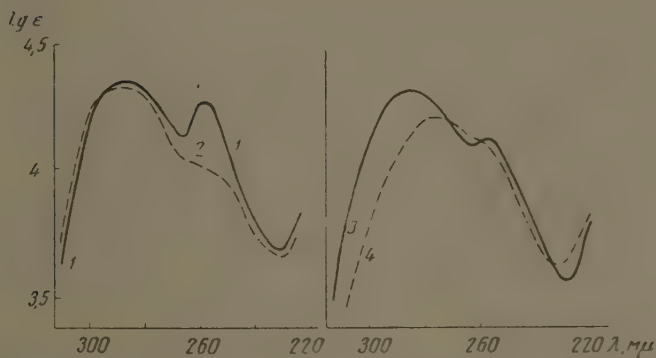


Рис. 8. Ультрафиолетовые спектры поглощения: 1—2-сульфаниламидотиазолина (в спирте) (IV); 2—то же в 0,1 *N* соляной кислоте; 3—2-сульфаниламидо-5-метилтиадиазолина (XIII) (в спирте); 4—то же в 0,1 *N* соляной кислоте

Азот ацетиламиногруппы, судя по данным спектров, не может являться соответствующих производных сульфамидов центром солеобразования (кислотом протона), будучи ацидифицирован ацетильной группой, и, видимо, в какой-то степени, сульфонилгруппой, передающей свое влияние через бензольное ядро.

В противоположность этому в сульфаниламидах как тиазола, так тиадиазола, где имеется свободная аминогруппа сульфанильного остатка, солеобразование в кислой среде идет в заметной степени — наблюдается существенное изменение в спектрах при переходе от нейтральных к кислым растворам. При этом опять-таки тиазольные и тиадиазольные про-

изводные ведут себя по-разному. В сульфаниламидотиазоле в кислой среде отмечается повышение интенсивности длинноволновой полосы (что наблюдалось в кислой среде и для ацетиламинобензолсульфамида и бензолсульфамида тиазола) и снижение интенсивности коротковолновой полосы (рис. 8).

В сульфаниламидотиадиазоле в этих же условиях, наоборот, интенсивность длинноволновой полосы падает, и она смещается в сторону коротких волн; весь спектр приближается по характеру к спектру ацетиламинобензолсульфамида (рис. 8).

Эти результаты можно рассматривать как указание на то, что присоединение протона в кислой среде к сульфаниламидотиазолу идет как по атому азота аминогруппы сульфанильного остатка, так и по имидному атому азота, в то время как присоединение к сульфаниламидотиадиазолу — только по азоту аминогруппы сульфанильного остатка. Как в одном, так и в другом случае при этом происходит выключение этой аминогруппы из взаимодействия с остальной частью молекулы (как это имеет место и в ацетилированных по аминогруппе сульфаниламидах).

ВЫВОДЫ

1. При изучении строения бензолсульфонамидов и сульфаниламидов ряда тиазола и тиadiaзола с помощью инфракрасных и ультрафиолетовых спектров поглощения выяснено, что исследованные соединения имеют в кристаллическом состоянии и в растворах имидостроение, в противоположность самим гетероциклическим аминам и некоторым другим производным этих аминов, существующим в аминотоме.

2. Полученные данные рассматриваются как подтверждение правильности перенесения закономерностей кислотно-основного равновесия на аминами-иминное таутомерное равновесие.

3. С помощью ультрафиолетовых спектров показано, что солеобразование сульфонамидов тиазола и тиadiaзола в щелочной среде связано с отщеплением протона от кольцевого атома азота с полным (тиазольные производные) или частичным (тиadiaзольные производные) перераспределением отрицательного заряда иона к внекольцевому атому азота.

4. Аналогичным образом установлено, что солеобразование в кислой среде у тиазольных производных идет с присоединением протона не только к *n*-аминогруппе (при наличии ее в молекуле), но и к имидному атому азота. В тиadiaзольных производных солеобразование в этих условиях ограничивается лишь присоединением протона к *n*-аминогруппе сульфанильного остатка.

5. Полученные данные показывают, что между сульфонамидами тиазола и тиadiaзола наблюдается отличие, обусловленное более «кислыми» свойствами тиadiaзольного цикла по сравнению с тиазольным.

Химико-фармацевтический
институт им. С. Орджоникидзе
Москва

Уральский политехнический
институт им. С. М. Кирова
Свердловск

Поступила
11.VI.1956

ЛИТЕРАТУРА

1. Ю. Н. Шейнкер, В. В. Кушкин и И. Я. Постовский, Журн. физ. химии, **31**, 214, 57.
2. Я. Л. Гольдфарб и Я. Л. Данюшевский, Изв. АН СССР, ОХН, № 1, 154, 1953.
3. Я. Л. Гольдфарб, М. А. Прянишникова и К. А. Жукова, Изв. АН СССР, ОХН, № 1, 145, 1953.
4. S. Angyal, C. Angyal, Journ. Chem. Soc., 1461, 1952.
5. С. Г. Богомолов, Ю. Н. Шейнкер и И. Я. Постовский, ДАН, **93**, 277, 1953.

- П. Н. Голдырев и И. Я. Постовский, Журн. прикл. химии, **11**, 316, 1938.
M. L. Crossley, E. H. Northey, M. E. Hultquist, Journ. Amer. Chem. Soc., **62**, 372, 1940.
A. I. Ewins, M. A. Phillips, англ. пат. 530187, Dec. 6, 1940.
R. Shepherd, A. Bratton, K. Blanchard, Journ. Amer. Chem. Soc., **64**, 2532, 1942.
Scudi, Science, **91**, 486, 1940.
S. Angyal, W. Warburton, Austral. Journ. Sci. Res. A., **4**, 93, 1951; Zbl., 1905, 19.5.
A. Maschka, M. Stein, W. Trauer, Monatsh., **84**, 1071, 1953.
A. Maschka, M. Stein, W. Trauer, Monatsh., **85**, 169, 1954.
Ю. И. Шейнкер и Ю. И. Померанцев, Журн. физ. химии, **30**, 79, 1956.
R. Dahlbom, T. Ekstrand, Ch. A. **38**, 5208, 1944.
K. J. Foshinder, L. A. Walter, Journ. Amer. Chem. Soc., **61**, 2032, 1939.
M. Hartman, J. Druey, Halv. Chim. Acta, **24**, 536, 1941.
K. A. Jensen, B. Possnig, K. Smith, Ch. A., **38**, 1483, 1944.
K. Schreiber, Anal. Chem., **21**, 1168, 1949; J. Baxter, J. Cymerman-Craig, J. Willis, Journ. Chem. Soc., 669, 1955.
A. W. Willi, W. Meier, Helv. chim. Acta, **39**, 54, 1956.
J. Wanderbelt, L. Doub, Journ. Amer. Chem. Soc., **66**, 1633, 1944.
-

ON THE TAUTOMERISM OF SOME HETEROCYCLIC DERIVATIVES.

V. THE SPECTRA AND STRUCTURE OF BENZENESULFONAMIDES AND SULFADILAMIDES OF THE THIAZOLE AND THIADIAZOLE SERIES

N. N. Sheinker, I. Ya. Postovskii, N. M. Voronina and V. V. Kushkin
(Moscow)

Summary

Considering the amino-imino tautomeric equilibrium from an acid-base equilibrium point, it follows that N-substituted heterocyclic amines should exist in the imino form if the substituent group is a sufficiently strong acid residue.

The validity of this assumption was demonstrated on benzenesulfonamides and sulfadilamides of the thiazole and thiadiazole series for which the characteristic structure according to infra red and ultra violet spectral data both in the crystalline and dissolved states proved to be that of the imide.

The nature of the salt formation in the compounds investigated has been ascertained on the aid of their spectra.

О СВЯЗИ МЕЖДУ ДИПОЛЬНЫМ МОМЕНТОМ И ПОВЕРХНОСТНЫМ НАТЯЖЕНИЕМ

О. А. Осипов и И. К. Шеломов

В развитии современной теории химии поверхностных явлений исключительно важную роль играют межмолекулярные силы, включающие как электростатические, так и дисперсионные силы взаимодействия.

По Б. В. Ильину полная теория явлений адсорбции, поверхностного натяжения, смачивания построена на базе современных представлений о природе адсорбционной энергии, состоящей из электростатической, дисперсионной и отталкивательной компонент [1].

Электрическая теория адсорбции, данная Б. В. Ильиным, основывается на представлениях о том, что, с одной стороны, поверхность адсорбента обладает поверхностным электрическим полем, а с другой — что адсорбируемые молекулы в первом приближении могут быть представлены как электрические диполи, обладающие определенными моментами [2, 3].

Ряд фундаментальных работ в этом направлении был проведен В. К. Семенченко [4—7], в которых он количественно показал влияние постоянного дипольного момента на адсорбцию.

П. А. Ребиндер [8] считает, что не только электрические свойства, но и поверхностное натяжение могут служить характеристикой полярности молекулы.

Интересные мысли в этом направлении высказаны Н. А. Трифоновым [9].

В данной работе нами сделана попытка найти количественную связь между поверхностным натяжением и дипольным моментом чистых полярных жидкостей. Рассмотрим жидкость, состоящую из молекул, обладающих собственным дипольным моментом μ . Благодаря взаимной ориентации диполей в жидкости установится некоторое внутреннее поле E . Энергия ориентации молекул в этом поле определится как [10]

$$U = \mu E. \quad (1)$$

Величина и характер этого поля определяются структурой жидкости и распределением зарядов в молекуле. Приведенное равенство (1) справедливо для диполей, расположенных достаточно далеко от поверхности жидкости, т. е. от границы раздела соприкасающихся фаз. На поверхности жидкости будут несколько иные условия. Молекула жидкости, находящаяся на поверхности, будет иметь в среднем вдвое меньше себе подобных соседей, по сравнению с молекулой, находящейся в объеме. Если считать, что величина внутреннего локального поля в первом приближении пропорциональна числу дипольных молекул, окружающих данный диполь, то, следовательно, энергия ориентации диполя U_s , находящегося на поверхности, будет вдвое меньше энергии ориентации этого же диполя, находящегося в объеме

$$U_s = \frac{U}{2}. \quad (2)$$

Очевидно, что все представления, относящиеся к внутреннему полю, должны быть распространены на поля, создаваемые на границе фаз; иначе говоря, природа поля не меняется.

Энергия ориентации молекул во внутреннем поле связана с дипольным моментом следующим соотношением [11]

$$U = \frac{2}{3} \pi N_0 \mu^2 \frac{d}{M}, \quad (3)$$

где N_0 — число Авогадро, M — молекулярный вес, d — плотность, μ — истинный дипольный момент молекулы рассматриваемой жидкости.

Пользуясь уравнением (3) для энергии ориентации молекул на поверхности; получим

$$U_s = \frac{1}{3} \pi N_0 \mu^2 \frac{d}{M}. \quad (4)$$

чина поверхностного натяжения σ будет складываться из поверхностных энергий адгезии всех молекул, находящихся на единице поверхности:

$$\sigma = U_s n, \quad (5)$$

где n — число молекул на единице поверхности.

Дипольное межмолекулярное взаимодействие будет обуславливать некоторую часть поверхностного натяжения, так как наряду с электростатическими действуют и дисперсионные силы. Следовательно, величина поверхностного натяжения σ в соотношении (5) обусловлена только электростатическими силами взаимодействия.

Если S — площадь, занимаемая одной молекулой на поверхности, то

$$n = \frac{1}{S}.$$

Величину площади можно вычислить, приписывая молекуле сферическую форму. Тогда объем, занимаемый молекулой, равен

$$V = \frac{4}{3} \pi r^3 = \frac{M}{d N_0},$$

откуда

$$r = \left(\frac{3M}{4\pi N_0 d} \right)^{1/3}$$

$$S = \pi r^2 = \pi \left(\frac{3M}{4\pi N_0 d} \right)^{2/3}. \quad (6)$$

Подставляя уравнение (5) с уравнениями (4) и (6), получим

$$\sigma = \frac{1}{\pi} \left(\frac{4\pi N_0 d}{M} \right)^{2/3} \frac{\pi}{3} \frac{N_0 d}{M} \mu^2. \quad (7)$$

После некоторых алгебраических преобразований и подстановок численных значений констант получим

$$\mu = 0,01640 \left(\frac{M}{d} \right)^{1/6} \sigma^{1/2} \cdot 10^{-18} \text{ CGSE}. \quad (8)$$

Величина δ в уравнении (8), как мы отмечали выше, обусловлена только электростатическими силами взаимодействия молекул в поверхностном слое.

Если считать, что поверхностное натяжение δ_1 данной жидкости, определяемое экспериментально, складывается из поверхностных натяжений, обусловленных электростатическими δ и дисперсионными силами. Т. е. $\delta_1 = \delta + \delta_0$, то уравнение (8) примет следующий вид

$$\mu = 0,01640 \left(\frac{M}{d} \right)^{1/6} (\sigma_1 - \sigma_0)^{1/2} \cdot 10^{-18} \text{ CGSE}. \quad (9)$$

Здесь мы можем выделить ту часть поверхностного натяжения, которая обусловлена дисперсионным эффектом. Следовательно, можно говорить лишь о суммарной величине δ_1 . Поэтому момент, вычисленный на основании измерений поверхностного натяжения δ_1 , должен быть больше истинного дипольного момента данной полярной жидкости.

Введем понятие об условном дипольном моменте, который определится из уравнения

$$\mu_y = 0,01640 \left(\frac{M}{d} \right)^{1/6} \sigma_1^{1/2}. \quad (10)$$

Здесь μ_y — условный момент, δ_1 — суммарная величина поверхностного натяжения. Таким моментом должны были бы обладать молекулы идеального соединения, если бы между ними вместо дисперсионных сил действовали силы электростатического взаимодействия. Иначе говоря, μ_y определяет полное межмолекулярное взаимодействие, включая и дисперсионный эффект в электростатических единицах.

Как известно, при удлинении углеродной цепи поляризуемость молекул увеличивается, и соответственно этому увеличивается дисперсионное взаимодействие. Следовательно, в гомологическом ряду, при одном и том же значении истинного дипольного момента для всего ряда, условный момент, вычисленный по формуле (10), должен расти с увеличением числа углеродных атомов. Стюарт [12] считает, что потенциал взаимодействия двух молекул растет линейно с ростом числа углеродных атомов в молекуле. Определение условного момента по формуле (10) для некоторых гомологических рядов подтверждает это предположение Стюарта.

Как видно из нижеприведенных данных (табл. 2), разность между условным и истинным моментами является линейной функцией числа углеродных атомов в молекуле

$$\mu_y = \mu = kn + b, \quad (11)$$

где n — число углеродных атомов в молекуле (исключая атом углерода, входящий в полярную группу), b — константа, характерная для каждого гомологического ряда. Константа k — условный момент, приходящийся на один атом углерода. Она вычислена нами по формуле (10) из условных моментов таких неполярных веществ, как бензол, пентан и другие, у которых весь момент обусловлен только лишь дисперсионными силами. Величина ее при 20° равна 0,61 и несколько уменьшается при повышении температуры. Например, вычисленная величина k из условного момента бензола при 10° равна 0,62, а при 60° — 0,59.

Необходимо также отметить, что условные моменты для всех приведенных в табл. 2 веществ хотя незначительно, но уменьшаются с повышением температуры. Например, условный момент этилового спирта при повышении температуры от 0 до 50° падает от 2,33 до 2,23.

Данные по поверхностному натяжению и плотности взяты нами при 20° [13, 14]. Как показали наши расчеты, можно пользоваться данным и при других температурах, однако уравнения (10) и (11) дают вполне удовлетворительные результаты при температурах, далеких от критической.

Константа b зависит от полярной группы, входящей в данную молекулу и имеет в основном отрицательный знак. Она, по существу, характеризует

влияние полярной группы на ближайшие атомы углерода. В табл. приведены значения b для некоторых производных жирного ряда.

Перейдем к рассмотрению некоторого экспериментального материала, подтверждающего вышеизложенное. В табл. 2 приведены значения условных моментов, вычисленные по формуле (10) для представителей следующих гомологических рядов: кетоны, карбоновые кислоты, сложные эфиры, одноатомные спирты, хлористые, бромистые алкилы, амины. Кроме того, мы приводим значения истинных дипольных моментов

Таблица 1
Значения константы b для некоторых производных жирного ряда

Ряд	Константа b
Сложные эфиры	0
Одноосновные кислоты	0
Амины	0
Одноатомные спирты	-1
Хлористые алкилы	-1
Бромистые алкилы	-0,5
Кетоны	-2

определенных экспериментально [15], а также величины моментов, вычисленных на основании уравнения (11). В последнем столбце табл. 2 дается разность между условным и истинным значениями моментов.

Приведенные данные показывают, что вычисленные значения истинных дипольных моментов по нашей формуле удовлетворительно совпадают с опытными данными, за исключением ряда кислот. Это исключение не случайное и может быть объяснено следующим образом.

Таблица 2

Соединение	μ_y	μ , выч. по формуле (11)	$\mu_{\text{опыт.}}$	$\mu_y - \mu_{\text{опыт.}}$
Сложные эфиры				
HCOOCH_3	2,54	1,93	—	0,61
$\text{CH}_3\text{COOCH}_3$	2,91	1,69	1,67	1,22
HCOOC_2H_5	3,08	1,86	1,92	1,16
$\text{CH}_3\text{COOC}_2\text{H}_5$	3,53	1,70	1,81	1,72
$\text{C}_2\text{H}_5\text{COOCH}_3$	3,56	1,83	1,75	1,81
HCOOC_3H_7	3,70	1,87	1,89	1,81
$\text{CH}_3\text{COOC}_3\text{H}_7$	4,22	1,87	1,80	2,42
$\text{C}_2\text{H}_5\text{COOC}_2\text{H}_5$	4,21	1,77	1,74	2,47
$\text{C}_3\text{H}_7\text{COOCH}_3$	4,23	1,79	1,71	2,52
HCOOC_4H_9	4,33	1,89	1,88	2,45
$\text{CH}_3\text{COOC}_6\text{H}_{11}$	5,27	1,61	1,70	2,57

Хлористые алкилы

CH_3Cl	1,88	1,88	1,86	0
$n\text{-C}_3\text{H}_7\text{Cl}$	3,36	2,14	2,15	1,21
$n\text{-C}_4\text{H}_9\text{Cl}$	3,72	1,89	1,96	1,76
$n\text{-C}_6\text{H}_{11}\text{Cl}$	4,33	1,89	1,92	2,40

Бромистые алкилы

$\text{C}_2\text{H}_5\text{Br}$	2,95	2,03	2,00	0,95
$n\text{-C}_3\text{H}_7\text{Br}$	3,57	2,05	2,00	1,57
$n\text{-C}_3\text{H}_7\text{Br}$	3,54	2,02	2,10	1,47
$n\text{-C}_4\text{H}_9\text{Br}$	4,08	1,95	1,97	3,11
$n\text{-C}_5\text{H}_{11}\text{Br}$	4,67	1,93	1,93	3,74

Амины

CH_3NH_2	1,81	1,20	1,23	0,57
$\text{C}_2\text{H}_5\text{NH}_2$	2,41	1,19	1,20	1,21
$\text{C}_3\text{H}_7\text{NH}_2$	3,19	1,36	1,39	1,80
$\text{C}_4\text{H}_9\text{NH}_2$	3,64	1,20	—	—
$(\text{CH}_3)_3\text{N}$	2,70	0,87	0,70	—

Кетоны

CH_3COSH_2	2,80	2,80	2,73	0,07
$\text{CH}_3\text{COC}_2\text{H}_5$	3,44	2,83	2,76	0,68
$\text{C}_2\text{H}_5\text{COC}_2\text{H}_5$	3,97	2,75	2,72	1,25
$\text{CH}_3\text{COC}_3\text{H}_7$	3,96	2,74	2,71	1,25
$\text{CH}_3\text{COC}_4\text{H}_9$	4,62	2,79	2,80	1,82
$\text{CH}_7\text{COC}_3\text{H}_7$	5,17	2,73	2,73	2,44

Карбоновые кислоты

HCOOH	2,06	2,06	1,5—2,1	
CH_3COOH	2,50	1,89	1,74	
$\text{C}_2\text{H}_5\text{COOH}$	3,08	1,86	1,73	
$n\text{-C}_3\text{H}_7\text{COOH}$	3,67	1,84	0,93 для димера	
$n\text{-C}_3\text{H}_7\text{COOH}$	3,60	1,77	—	
$n\text{-C}_4\text{H}_9\text{COOH}$	4,14	1,70	0,89 для димера	

Одноатомные спирты

CH_3OH	1,30	1,70	1,69	0
$\text{C}_2\text{H}_5\text{OH}$	2,30	1,69	1,69	0,61
$n\text{-C}_3\text{H}_7\text{OH}$	2,92	1,70	1,66	1,26
$n\text{-C}_3\text{H}_7\text{OH}$	2,84	1,62	1,65	1,19
$n\text{-C}_4\text{H}_9\text{OH}$	3,51	1,68	1,66	1,85
$n\text{-C}_4\text{H}_9\text{OH}$	3,48	1,65	1,74	1,73
$n\text{-C}_5\text{H}_{11}\text{OH}$	3,97	1,53	1,64	2,33

На основании рентгено- и электроноскопических данных известно, что карбоновые кислоты даже в парах, находятся частично в виде димеров, для которых, начиная с масляной кислоты, дипольный момент занижен почти вдвое [15]. Однако, согласно адсорбционной теории Гиббса, в поверхностном слое должны находиться главным образом мономеры, обладающие меньшим значением поверхностного натяжения, по сравнению с димером, а так как дипольный момент вычислялся

Таблица 3
Соединения с бензольным кольцом

Соединение	μ_y	$\mu_{\text{опыт.}}$
$C_6H_5NO_2$	5,15	3,95
$o\text{-CH}_3C_6H_4NO_2$	5,62	3,66
$C_6H_5C \begin{smallmatrix} \diagup O \\ \diagdown H \end{smallmatrix}$	4,89	2,75
C_6H_5F	3,78	1,43
C_6H_5OH	4,20	1,56
C_6H_5Cl	4,57	1,55
$C_6H_5NH_2$	4,74	1,56
C_6H_5Br	4,80	1,52
$C_6H_5OCH_3$	4,85	1,23
C_6H_5I	5,25	1,30
C_6H_6	3,70	0,0

C_6H_5J разность между условным и истинным моментами закономерно увеличивается с уменьшением электроотрицательности атома галогена.

В заключение отметим, что уравнение (10) с некоторыми поправками может быть применимо для установления связи между поверхностным натяжением и дипольным моментом некоторых гетерополярных соединений. К этому вопросу мы вернемся позже.

ВЫВОДЫ

1. На основании рассмотрения электростатического взаимодействия полярных молекул найдено уравнение, связывающее поверхностное натяжение с дипольным моментом, и наличие этой связи проиллюстрировано на ряде примеров.

2. Введено понятие об условном моменте как величине, определяющей полное межмолекулярное взаимодействие.

3. Показано, что существует линейная зависимость между числом углеродных атомов в молекуле и разностью между условным и истинным моментами.

4. Рассмотрено влияние полярной группы на дисперсионное межмолекулярное взаимодействие для ряда соединений.

ЛИТЕРАТУРА

1. Б. В. Ильин, Природа адсорбционных сил, ГИТТЛ, М.—Л., 1952, стр. 115.
2. Б. В. Ильин, Молекулярные силы и их электрическая природа, ГИЗ, 1929.
3. Б. В. Ильин, Журн. прикл. физики, 2, 251, 1925.
4. В. К. Семенченко, Zs. phys. Chem., 129, 176, 1927.
5. В. К. Семенченко, Журн. физ. химии, 3, 285, 1932.
6. В. К. Семенченко, Koll. Zs., 59, 177, 1932.
7. В. К. Семенченко, Колл. журн., 9, 125, 1947.
8. П. А. Ребиндер, Zs. phys. Chem., 129, 163, 1927.
9. Н. А. Трифонов, докторская диссертация, ИОНХ, СССР, 1910.

- Г. И. Скандави, Физика диэлектриков, ГИТТЛ, М.—Л., 1949.
А. М. Евсеев и В. П. Лебедев, Журн. физ. химии, 27, 1068, 1953.
Г. Стюарт, Строение молекул, Харьков — Киев, 1957.
Справочник физических, химических и технических величин, 5, 10, М., 1932.
Landolt-Börnstein, Phys.-chem. Tabellen, 1, 1923.
Ч. Ф. Смайс, Диэлектрическая постоянная и структура молекул, ОНТИ, Ленинград, 1937.
-

THE RELATION BETWEEN THE DIPOLE MOMENT AND SURFACE TENSION

O. A. Ostrov and I. K. Shelomov (Rostov on Don)

Summary

Based on considerations of the electrostatic interaction of polar molecules an expression was found correlating the surface tension and the dipole moment, the existence of a relationship being illustrated on a number of examples.

The concept of apparent moment as a quantity representing the total intermolecular attraction was introduced. A linear relation was shown to exist between the number of non atoms in the molecule and the difference between the apparent and actual moments.

The effect of the polar group on the intermolecular dispersion interaction has been examined for a number of compounds.

ЭКСПЕРИМЕНТАЛЬНЫЕ ИССЛЕДОВАНИЯ ПРОЦЕССОВ СГЛАЖИВАНИЯ ПРИ ЭЛЕКТРОХИМИЧЕСКОЙ ПОЛИРОВКЕ

С. И. Кричмар и В. П. Галушко

В предыдущей статье [1] нами проведен расчет сглаживания при электрохимической полировке металлов. Настоящая статья представляет собой описание экспериментов, поставленных для проверки проведенного расчета, а также уточнения других вопросов, связанных с механизмом процесса электрохимической полировки.

В качестве объекта исследований выбран наиболее простой случай анодного растворения меди в ортофосфорной кислоте.

ИССЛЕДОВАНИЕ ПРИЭЛЕКТРОДНОГО СЛОЯ

На основании имеющихся в литературе данных о влиянии различных факторов (температуры, перемешивания и т. д.) на ход вольт-амперных кривых можно ожидать, что возникающий в этом случае приэлектродный слой является следствием значительной концентрационной поляризации анода.

Нами поставлен опыт по выяснению характера изменения величины предельного тока в зависимости от концентрации продуктов реакции в электролите.

Вначале готовился раствор электролита, содержащий значительное количество ионов меди. Для этого в ванну с большими медными анодом и катодом с малой рабочей поверхностью (для создания значительных препятствий выделению меди) наливался чистый 7,5 М раствор H_3PO_4 . Растворение велось в течение 9—10 час

при плотности тока $0,03 \text{ А/см}^2$ и $20\text{--}23^\circ\text{C}$. Из полученного таким образом насыщенного электролита смешением с различными количествами чистой кислоты готовился ряд растворов с разным содержанием меди и H_3PO_4 . Концентрация меди в каждом из растворов определялась йодометрически. Для каждого из полученных растворов определялся предельный ток. Результаты опытов представлены на рис. 1. Как видно из приведенных данных, зависимость предельного тока i_0 от концентрации меди в растворе имеет хорошо выраженный линейный характер. Это дает основание полагать, что здесь как и в большинстве других случаев диффузионной кинетики, для расчета предельной плотности тока можно воспользоваться выражением

$$i_0 = nFD \frac{c - c_0}{\delta}, \quad (1)$$

где c и c_0 — соответственно концентрации меди у анода и в общем объеме электролита.

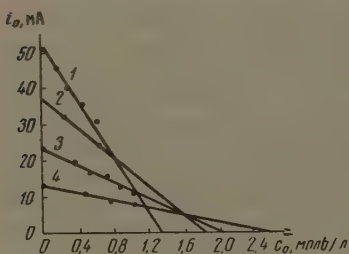


Рис. 1. Зависимость i_0 от c_0 в растворах H_3PO_4 . 1—3,75 моль/л, 2—5 моль/л, 3—7,5 моль/л, 4—10,0 моль/л

Для выяснения зависимости эффективной толщины диффузионного слоя от концентрации фосфорной кислоты был проведен следующий опыт. Вертикальный цилиндрический анод диаметром в 1 мм помещался в ту из трубок U-образного электролизера; во вторую помещался медный катод. Растворение велось при потенциале, соответствующем площадке пассивного тока. Наблюдение за растворяющимся анодом проводилось с помощью горизонтально расположенной трубы микроскопа. Электродное поле зрения микроскопа располагалось таким образом, чтобы был виден участок вертикальной границы электрода и приэлектродная область. Вследствие того, что продукты анодной реакции в данном случае окрашены, а основной электролит бесцветен — приэлектродный диффузионный слой становится видимым. В наших опытах линейное увеличение микроскопа равнялось 10. Замеры толщины диффузионного слоя проводились при помощи окуляр-микрометра, предельно калиброванного для малых усилий по объекту-микрометру. Результаты определений толщины диффузионного слоя представлены в табл. 1.

Таблица 1

$c_{H_2PO_4}$ моль/л	Толщина слоя, см (опыт)	Толщина слоя, см (расчет по [2])
5,0	$1,4 \cdot 10^{-2}$	$1,4 \cdot 10^{-2}$
7,5	$1,2 \cdot 10^{-2}$	$1,2 \cdot 10^{-2}$
10,0	$9 \cdot 10^{-3}$	$8 \cdot 10^{-3}$
13,0	—	$6 \cdot 10^{-3}$
15,0	$7 \cdot 10^{-3}$	—

Приведенные опыты показывают, что размеры диффузионного слоя меняются в пределах от 0,008 до 0,015 см при изменении концентрации H_2PO_4 в пределах 5—15 моль/л, что по порядку величины совпадает с данными В. Г. Левича для случая электродной реакции в условиях естественной конвекции [2].

Расчет по формуле В. Г. Левича

$$\sigma \approx \frac{2y^{1/4}}{\left[\frac{Pr g}{4\nu^2} \frac{c}{\rho_0} \left(\frac{\partial \rho}{\partial c} \right) \right]^{1/4}}$$

сводится со следующими допущениями. Имеем: $Pr = \nu / D$, $D = \text{const} / \nu$. По порядку величины для средних размеров молекул $\text{const} \approx 10^{-7}$, $\frac{1}{\rho_0} \left(\frac{\partial \rho}{\partial c} \right)$ порядка 10^3 см / сек², c для нашего случая имеет порядок десятка процессов, высота электрода в наших опытах была 1—2 см. Подставляя данные в уравнение, получим

$$\delta \approx 2 \left[\frac{gc}{\text{const}} \right]^{-1/4} y^{1/4} \approx 2 \left[\frac{10^3 \cdot 10}{4 \cdot 10^{-7}} \right]^{-1/4} \approx 0,009 \text{ см.}$$

СГЛАЖИВАНИЕ ПОВЕРХНОСТИ МЕТАЛЛА В ПРОЦЕССЕ ЭЛЕКТРОХИМИЧЕСКОЙ ПОЛИРОВКИ

Проверка поляризационного механизма сглаживания поверхности электрохимической полировке производилась при помощи замера средней высоты неровности микрорельефа через различные промежутки времени анодной обработки.

В качестве прибора для измерений средней высоты неровностей использован двойной микроскоп системы Лигиэкса. Методика экспериментов описана в следующем.

Участок медной пластины размером в 5—6 мм² полировался абразивами до высшего класса чистоты, подвергался электрохимической полировке и затем батыровался личным напильником. Характер параметров поверхности после такой обработки примерно соответствует условиям, принятым для вывода уравнения сглаживания по поляризационному механизму: $H \approx 10$ — $7\mu \ll \delta$, риски механической обработки параллельны.

Для того чтобы измерения H проводились на одном и том же участке электрода, его поверхность иглой наносились два взаимно перпендикулярных штриха. Измерения производились в одном из образованных штрихами углов. Методика измерений проводилась согласно рабочей инструкции по пользованию прибором. Однако для

получения более точных результатов общее число отсчетов для каждого замера увеличивалось до 25—30 против рекомендованных 10. За окончательный результат принималось среднее арифметическое (H_{cp}). Порядок измерения выбран следующий: вначале измерялось H_{cp} после обработки напильником, затем образец подвергал электрохимической полировке при потенциале 1,5—1,6V в течение определенного промежутка времени, вновь проводили измерение H_{cp} , после чего снова подвергал образец полировке и т. д.

Результаты проведенных опытов представлены на рис. 2. Как видно из рисунка, опытные данные удовлетворительно укладываются в полулогарифмическую зависимость, что согласуется с найденным нами ранее уравнением для поляризационного механизма

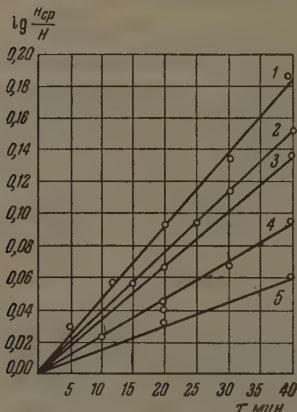


Рис. 2. Зависимости $\lg H_0/H_\tau$ от τ в растворах H_3PO_4 . 1—5 моль/л, 2—7,5 моль/л, 3—10 моль/л, 4—13 моль/л; 5—15 моль/л

$$\tau = \frac{cnF\delta_0}{Mi_0} \ln \frac{H_0}{H_\tau}$$

Кроме того, полученные из значений тангенса угла наклона прямых $\tau = k \lg(H_0/H_\tau)$ величины δ совпадают по порядку величины с найденными опытным путем (см. табл. 1).

Одновременно было изучено влияние расстояния от края электрода на степень сглаживания. Для этого на рабочей поверхности электрода на определенном расстоянии друг от друга наносился ряд царапин. В каждом из углов выбиралась характерная неровность микрорельефа и производился замер ее высоты. Затем образец подвергал анодной обработке в течение 20 мин. и вновь измеряли высоту выбранных неровностей. Для того чтобы измерения проводились в одних и тех же местах до и после растворения, кроме замера H , микрометрическим винтами столика микроскопа производились замеры расстояния от царапин до места замера неровностей. Опыты проведены в 13 M H_3PO_4 , плотность тока полировки $-0,013 \text{ А/см}^2$. Результаты измерений представлены в табл. 2.

Как видно из табл. 2, наиболее интенсивно сглаживание происходит у края электрода. Этого следовало ожидать и из теоретических соображений, так как у края электрода толщина диффузионного слоя минимальна.

Для проверки уравнения сглаживания под влиянием искривления микропрофиля было экспериментально найдено время, за которое практически полностью удалялись неровности микропрофиля. При этом размеры неровностей, за исключением первого опыта, приведенного для сравнения, соответствовали условиям вывода уравнения (28) [1]:

$$\tau_{99\%} = 4,3 \cdot 10^7 \beta \frac{a^2}{i_0} \text{ мин.} \quad (3)$$

Замеры H для трех последних образцов производились при помощи микроинтерферометра Ленника.

При проведении этих опытов необходим был тщательный подбор условий предварительной обработки. Оказалось, что если готовить поверхность обычными методами, т. е. последовательно переходить от более грубого абразивного материала к более тонкому, даже при соблюдении на протяжении всего процесса обработки одного и того же направления

Таблица 2

Расстояние от края, мм	H_0 , м	H_τ , м	H_0 , %
2	6,8	5,8	85
5	7,8	6,8	87
7	6,9	6,0	88
9	6,0	5,4	90
13	8,1	7,8	96
17	6,6	6,5	95

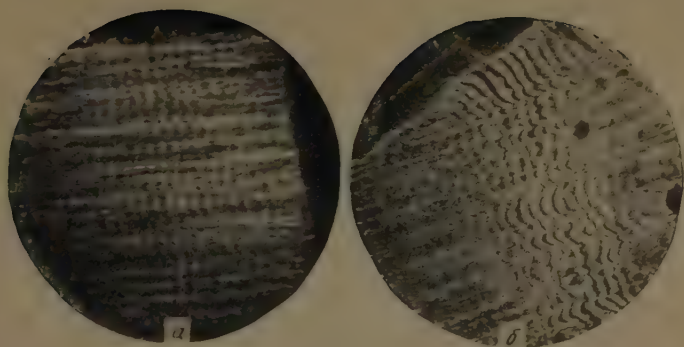


Рис. 3. Интерференционная картина на поверхности медного шлифа.
а — до полировки, *б* — после 10-минутной полировки в H_3PO_4 . Увеличено
 в 150 раз.

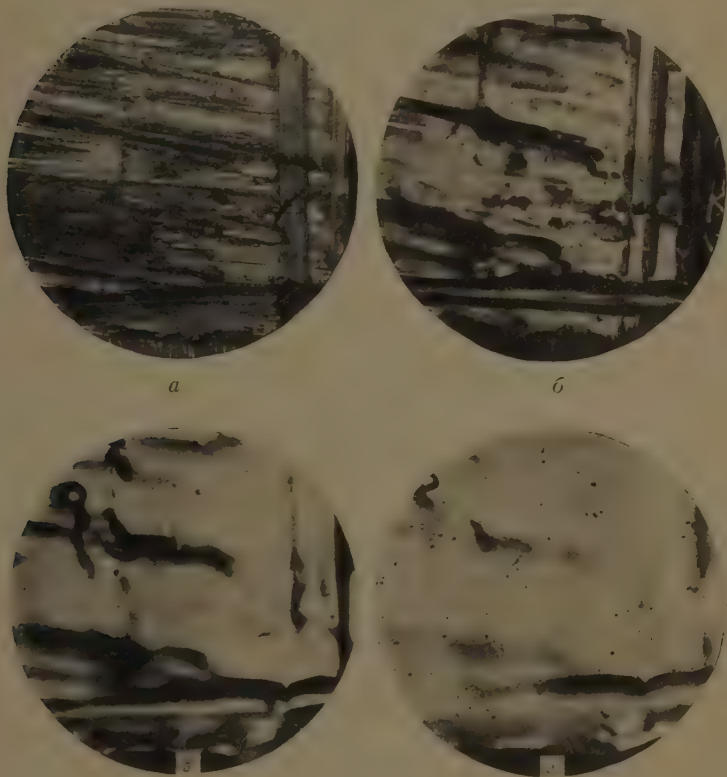


Рис. 4. Сглаживание поверхности при электрохимической полировке ($C_{\text{H}_2\text{P}_4} =$
 $= 5 \text{ моль/л.}$, $i = 0,07 \text{ А/см}^2$, увеличено 58,5 раз), *а* — $\tau = 0$, *б* — $\tau = 10 \text{ мин.}$, *в* — $\tau =$
 30 мин. , *г* — $\tau = 60 \text{ мин.}$

шлифовки, электрохимическая полировка вскрывает следы грубой обработки. Таким образом, после полировки поверхность шлифа может иметь более грубый микропрофиль, чем перед ней. На рис. 3, а, б представлены фотографии поверхности подготовленного обычным способом одного образца с интерференционной картиной до и после 10-минутной полировки в 10 М растворе H_3PO_4 ($i = 0,025 \text{ A/cm}^2$). Как видно из приводимых фотографий, неровности во втором случае гораздо крупнее, чем в первом. Во избежание указанного явления предварительная обработка в наших опытах проводилась следующим образом.

Обработка начиналась по возможности с наиболее тонкого абразива*. По достижении поверхностью зеркального блеска в течение 1,5—2 час. проводилась шлифовка абразивом, который обеспечивал необходимое H_0 .

Далее образец подвергался получасовой электрополировке в 10 М растворе кислоты и обрабатывался тем же абразивом в течение 2—3 мин.

После проведения перечисленных операций производился окончательный замер H_0 и размеров основания выступа a и определялось время сглаживания неровностей в процессе электрополировки.

Размеры a определялись путем подсчета количества рисок на единицу длины электрода и последующим делением второй величины на первую. Опыты проведены в 10 М растворе H_3PO_4 при плотности тока $0,025 \text{ A/cm}^2$.

Таблица 3

Сравнение результатов опытов с расчетными данными представлено в табл. 3. При этом для простоты положено, что профиль микрорельефа описывается косинусоидой ($\beta = 1$). Как видно из табл. 3, результаты проведенного расчета удовлетворительно согласуются с опытными данными при достаточно малых размерах неровностей.

H, μ	a, μ	Время сглаживания, мин. (расчет)	Время сглаживания, мин. (опыт)
5,2	8,0	∞	∞
0,8	2,4	102	90—110
0,5	1,2	27	25—30
0,3	0,9	14,5	13—16

Для наглядной иллюстрации процесса сглаживания при электрохимической полировке проведены микросъемки участка образца меди, сделанные на разных этапах процесса полировки (рис. 4, а—г).

Из приводимых фотографий отчетливо видно различие в сглаживании мелких и крупных неровностей. Мелкие штрихи ($H \approx 0,2—0,5 \mu$) не видны уже на второй фотографии (через 10 мин.), крупные неровности ($H \approx 5 \mu$) не удаляются даже через час.

Таким образом, описанные эксперименты вполне удовлетворительно подтверждают данные проведенных расчетов. Совпадение расчетных и опытных данных является наиболее серьезным доказательством существования описанного в предыдущей работе механизма сглаживания неровностей микрорельефа при электрохимической полировке, во всяком случае для изученного процесса растворения меди в ортофосфорной кислоте.

ВЫВОДЫ

1. Исследован характер анодной поляризации при электрохимическом растворении меди в ортофосфорной кислоте.
2. Изучено влияние длительности процесса электрополировки на сглаживание крупных и мелких неровностей микрорельефа.
3. Показано, что найденные ранее количественные зависимости для механизма сглаживания удовлетворительно согласуются с опытными данными.

Поступила
15.VI.1956

* В наших опытах абразивными материалами служили различные номера наждачной бумаги вплоть до № 00 000.

ЛИТЕРАТУРА

1. С. И. Кричмар, Журн. физ. химии, 31,1593, 1957.
2. В. И. Левич. Физико-химическая гидродинамика. Изд-во АН СССР, 1953, стр. 104.

EXPERIMENTAL INVESTIGATION OF THE SMOOTHENING PROCESS IN
ELECTROCHEMICAL POLISHING

S. I. Krichmar and V. P. Galushko (Dneprodzerzhinsk)

Summary

An investigation has been made of the character of anodic polarization in the electrochemical dissolution of copper in orthophosphoric acid. The effect of the time of electrochemical polishing on the smoothening of large and small irregularities in the micro-relief has been studied. It was shown that the previously established quantitative correlations associated with the smoothening mechanism agree satisfactorily with the experimental results.

О КОНЦЕНТРАЦИОННОЙ ЗАВИСИМОСТИ ЭЛЕКТРОПРОВОДНОСТИ БИНАРНЫХ СОЛЕВЫХ РАСПЛАВОВ

Б. Ф. Марков и Л. А. Шумина

В предыдущей статье [1] был приведен вывод уравнения электропроводности простейших бинарных солевых расплавов

$$\mu_m = x_1^2 \mu_1 + x_2^2 \mu_2 + 2 x_1 x_2 \mu_{12} \quad (1)$$

в котором μ_m — электропроводность моля смеси, μ_1 и μ_2 — молекулярные электропроводности индивидуальных солей, а x_1 и x_2 — их молярные доли смеси. Причем компоненты смеси обозначены так, что $\mu_1 < \mu_2$.

Кроме того, было показано, что это уравнение передает экспериментальные данные только для простейших расплавленных солевых систем, компоненты которых близки по свойствам и образуют при кристаллизации твердые растворы, например $KCl - NaCl$; $PbCl_2 - PbBr_2$; $KNO_3 - NaNO_3$. Этот результат согласуется с тем, что вывод уравнения электропроводности основан на физической картине простейшего расплава, в котором взаимное расположение частиц отвечает идеальному раствору с тем ограничением, которое обусловлено ионной природой расплава.

Представляло интерес использовать это уравнение для характеристики различных уже изученных расплавленных солевых систем путем сопоставления экспериментально определенной электропроводности с той, которая числится по электропроводности индивидуальных солей по уравнению и называется ниже теоретической.

Таким образом имеется возможность применить электропроводность к физико-химический метод анализа расплавов в широком смысле этого понятия.

Среди бинарных солевых систем, электропроводность которых изучалась, и соответствующие данные опубликованы в литературе, мы использовали для нашей цели тринадцать систем. Во всех случаях вычислялось относительное отклонение $\Delta\mu$ экспериментальной электропроводности от теоретической $\mu_{теор.}$:

$$\Delta\mu = \frac{\mu_{эксп.} - \mu_{теор.}}{\mu_{теор.}} 100\%.$$

Рассматриваемые ниже солевые системы разбиты на пять групп по типу их фазовых диаграмм.

К первой группе отнесены системы, образующие непрерывный ряд твердых растворов; ко второй группе — те системы, фазовые диаграммы которых являются переходными от непрерывных твердых растворов простой эвтектике; к третьей группе — эвтектические системы; к четвертой — системы с малоустойчивыми химическими соединениями компонентов (конгруэнтно или инконгруэнтно плавящимися); к пятой группе — системы, в которых химические соединения устойчивы также в расплавленном состоянии.

При таком подходе предполагается сопоставить электропроводность расплавленных солевых систем с результатами термического анализа того, чтобы установить, в какой степени эти методы дополняют друг друга.

Принимая во внимание погрешности в экспериментальном определении электропроводности и удельного веса, можно считать, что в тех случаях, когда отклонения электропроводности не превышают 2—3%, мы имеем простейший расплав. Систематические отклонения более 5% несомненно, обусловлены теми процессами, которые протекают при смешении индивидуальных расплавленных солей. К таким процессам следует отнести, например, 1) изменение степени диссоциации солей или, изменение экранирования катионов общими анионами; 2) поляризационно-взаимодействие ионов, в особенности в случае легко поляризующихся ионов; 3) разрушение ассоциатов, имеющих у индивидуальных солей; 4) образование комплексных соединений (комплексных ионов) между компонентами.

I группа. Система $\text{PbCl}_2\text{—PbBr}_2$. Молекулярная электропроводность вычислена по данным удельной электропроводности Сандовини [2] и удельного веса, измеренного Зальстромом и Гильдебрандом [3]. По термическому анализу компоненты образуют непрерывный ряд твердых растворов (случай прямолинейного ликвидуса [4]. В индивидуальном состоянии компоненты не являются простыми расплавами. Эти соли, несомненно, в расплавленном состоянии диссоциированы не полностью поскольку проводимость их почти униполярная (анионная) [5], а также вероятна и ассоциация [6].

По этим причинам возможны некоторые отступления от уравнения (1), справедливого для простейших расплавов.

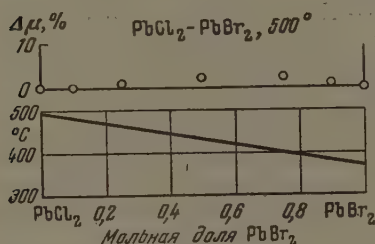


Рис. 1

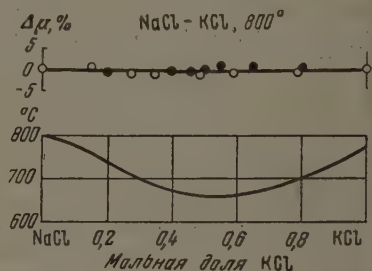


Рис. 2

Из рис. 1 видно, что в этой системе имеют место незначительные положительные отклонения (не более 2%), поэтому данную систему следует отнести к простейшим расплавам.

Система NaCl—KCl . Молекулярная (эквивалентная) электропроводность рассчитана по данным удельной электропроводности А. А. Щербакова и Б. Ф. Маркова [7] и удельному весу, измеренному П. В. Машовцем и З. Ф. Лундиной [8].

На рис. 2 также нанесены данные Артсдалена и Яффе [9]. По термическому анализу компоненты образуют непрерывный ряд твердых растворов [4], которые, однако, распадутся при 373° . По многим физико-химическим свойствам эти соли в индивидуальном расплавленном состоянии полностью диссоциированы на ионы. По упругости пара (при 1080°) компоненты образуют идеальные растворы [10].

Из рис. 2 видно, что экспериментальные и теоретические электропроводности практически совпадают; следовательно, смеси этих солей являются простейшими расплавами.

II группа. Система $\text{NaNO}_3\text{—KNO}_3$. Молекулярная (эквивалентная) электропроводность вычислена по данным удельной электропроводности А. Г. Бергмана и И. М. Чагина и удельному весу, измеренному В. Д. Поляковым [12]. По термическому анализу [4] в системе образуется эвтектика из твердых растворов первого компонента во втором и второго в первом. В индивидуальном расплавленном состоянии обе соли, скорее всего, являются простейшими расплавами, что отчасти вытекает из результатов их рентгенографического исследования [13]. При смешении солей по-видимому, не происходит изменения молекулярного состояния, поэтому вероятно образование простейшего расплава.

Рис. 3. подтверждает такое предположение: отклонения электропроводности не превышают 2%.

Система $\text{KCl} - \text{KJ}$. Значения молекулярной (эквивалентной) электропроводности взяты из работы Артедалена и Яффе [9]. По термическому анализу [4] фазовая диаграмма этой системы такого же типа, как системы $\text{NaNO}_3 - \text{KNO}_3$. На рис. 4 представлено отклонение экспериментальной электропроводности от теоретической; отклонение отрицательное, систематическое и достигает 4%.

Обе соли, по-видимому, являются полностью диссоциированными, поэтому затруднительно дать объяснение наблюдаемым отклонениям. Более всего, присутствие легко поляризующегося иона йода в смеси снижает подвижность ионов в большей степени, чем это учитывается уравнением (1).

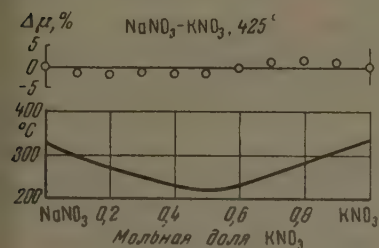


Рис. 3

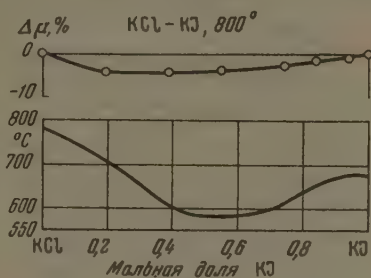


Рис. 4

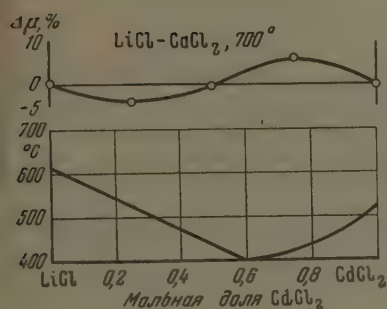


Рис. 5

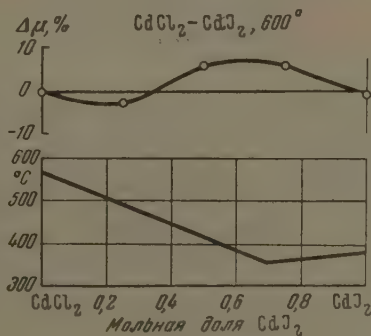


Рис. 6

Система $\text{LiCl} - \text{CdCl}_2$. По данным С. Д. Громакова [14] компоненты системы образуют твердые растворы. Эти соли в индивидуальном расплавленном состоянии существенно различаются. Так, например, по исследованиям раман-спектров [15] хлористый кадмий является ассоциированным расплавом. Молекулярная электропроводность смесей вычислена по удельной электропроводности и удельному весу, приведенных Блюмом и др. [16].

На рис. 5 представлено отклонение экспериментальной электропроводности от теоретической. Наблюдаемое положительное отклонение области концентраций от 50 до 100% хлористого кадмия, скорее всего, обусловлено разрушением ассоциатов хлористого кадмия при образовании раствора и связанного с этим повышением подвижности ионов, на которые диссоциирует хлористый кадмий.

Система $\text{CdCl}_2 - \text{CdJ}_2$. Молекулярная электропроводность смесей вычислена по удельной электропроводности и удельному весу, приведенных в [16]. Фазовая диаграмма этой системы такого же типа, как и системы $\text{NaNO}_3 - \text{KNO}_3$. На рис. 6 представлено отклонение экспериментальной электропроводности от теоретической. Здесь наблюдается положительно-отрицательное отклонение, как в предыдущей системе.

Несомненно, обе индивидуальные соли являются ассоциированными расплавами, причем ассоциация CdJ_2 большая, чем у CdCl_2 . При смешении солей происходит относительное ослабление ассоциации, что можно объяснить наблюдаемое положительное отклонение.

III группа. Система $\text{LiCl} - \text{KCl}$. По термическому анализу [4] эта система относится к типу простой эвтектики. Электропроводность смесей взята из работы С. В. Карпачева, А. Г. Стромберга и В. П. Подчаевой [17], а также из [9]. Данные этих авторов существенно различаются между собою, однако ход кривых аналогичен, как видно из рис. 6, на котором представлено отклонение экспериментальной электропроводности от теоретической.

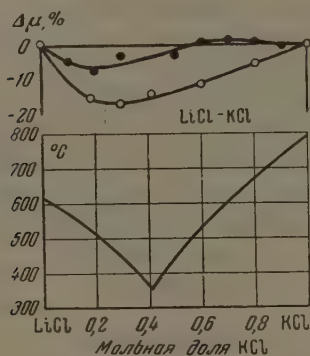


Рис. 7.

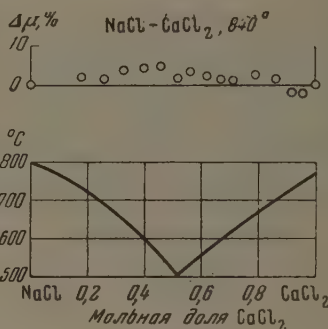


Рис. 8

Наблюдаемое значительное отрицательное отклонение можно объяснить следующим. Ион лития при добавлении хлористого калия координирует вокруг себя хлор-ионы, создавая ионный ансамбль. Входящий в него хлористый литий участвует в проводимости в меньшей степени, чем в индивидуальном LiCl , в котором координирующая роль иона лития снижается за счет противодействия таких же соседних ионов.

Система $\text{CaCl}_2 - \text{NaCl}$. По термическому анализу [4] эта система относится к типу простой эвтектики. Электропроводность смесей взята из работы И. П. Верещетиной и Н. П. Лужной [18]. Вычисленные отклонения представлены на рис. 8.

Преимущественно положительные отклонения составляют 3—4% и, вероятно, должны быть отнесены за счет дополнительной диссоциации хлористого кальция под влиянием хлористого натрия.

IV группа. Система $\text{LiNO}_3 - \text{RbNO}_3$. По термическому анализу [19] компоненты образуют конгруэнтно плавящееся соединение состава $\text{LiNO} \cdot \text{RbNO}_3$, поэтому следует ожидать заметных отрицательных отклонений электропроводности от теоретической. Однако, по измерениям П. И. Проценко [20], изотермы удельной электропроводности представляют собой плавные кривые, не претерпевающие каких-либо изменений при 50%. Этот факт Н. И. Проценко объяснил тем, что указанное соединение в расплаве полностью распадается. Для вычисления отклонений взяты данные удельной электропроводности [20]. Из-за отсутствия соответствующих измерений молярные объем смесей были найдены по правилу смешения на основе молярных объемов чистых компонентов по [21].

Как видно из рис. 9, отклонения электропроводности от теоретической не превышают 2—3%, следовательно, по этому свойству смеси солей при 320° являются относительно простыми расплавами.

Система $\text{AgCl} - \text{TlCl}$. По термическому анализу в системе образуется инконгруэнтно плавящееся соединение $\text{AgCl} \cdot 2\text{TlCl}$ [2] или $2\text{AgCl} \cdot 3\text{TlCl}$ [4], поэтому следует ожидать некоторых отрицательных отклонений электропроводности от теоретической. Для вычисления молекулярной (эквивалентной) электропроводности использо-

измерения удельной электропроводности из [2]. Мольные объемы смесей вычислены по правилу смешения из удельных весов чистых компонентов, измеренных в [24].

Вычисленные отклонения представлены на рис. 10. Заметные отрицательные отклонения наблюдаются только в области 30—50% TiCl_3 , следовало их ожидать при 60—70%.

Система $\text{NaCl} - \text{MgCl}_2$. По термическому анализу в системе образуется инконгруэнтно плавящееся соединение $\text{NaCl} \cdot \text{MgCl}_2$ [25] или $\text{MgCl}_2 \cdot 2\text{NaCl}$ и $\text{NaCl} \cdot 2\text{MgCl}_2$. Парциальные термодинамические свойства MgCl_2 в смесях также указывают на заметное взаимодействие между компонентами [27].

Здесь также следует ожидать некоторых отрицательных отклонений электропроводности. Молекулярные электропроводности смесей вычислены по данным удельной электропроводности, полученным в [7], и удельного веса, измеренного в [8].

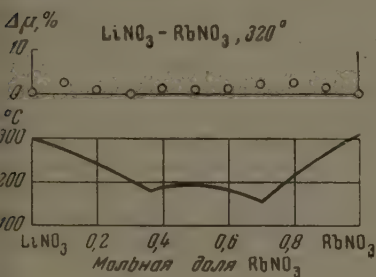


Рис. 9

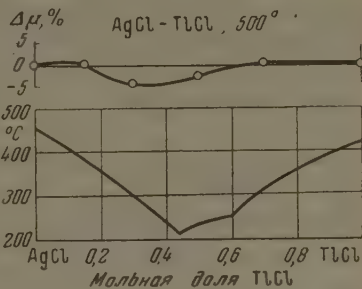


Рис. 10

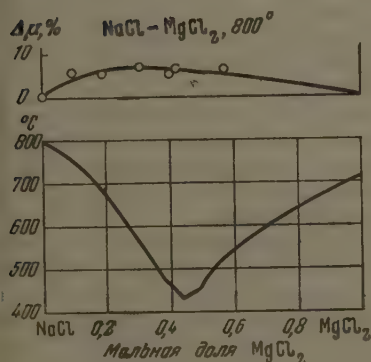


Рис. 11

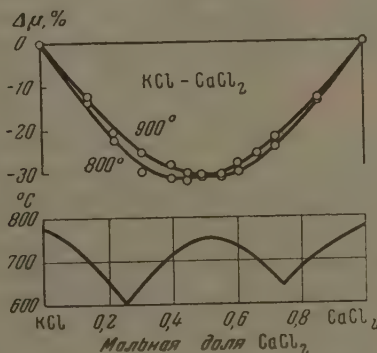


Рис. 12

Отклонения электропроводности представлены на рис. 11, из которого видно, что против ожидания имеют место положительные отклонения. Положительные отклонения можно объяснить разрушением ассоциатов пористого магния. Проводимость хлористого магния в новой структуре сплава большая, чем в индивидуальном ассоциированном состоянии.

Группа. Система $\text{KCl} - \text{CaCl}_2$. По термическому анализу [4] в системе образуется конгруэнтно плавящееся соединение $\text{KCl} \cdot \text{CaCl}_2$, выражающее четким максимумом на кривой ликвидуса.

На рис. 12 представлены вычисленные отклонения электропроводности от теоретической. Молекулярная электропроводность смесей взята из [2]. В этой системе отрицательные отклонения особенно резко выражены и достигают 30%.

Примечателен тот факт, что с повышением температуры величина отклонений не изменяется, что указывает на прочность образующихся в рас-

плаве комплексов; максимум отклонений расположен при составе, отвечающем единственному химическому соединению в этой системе.

Система $KCl-MgCl_2$. По термическому анализу [4] в системе образуются два химических соединения: $MgCl_2 \cdot KCl$ и $MgCl_2 \cdot 2KCl$. Существование этих соединений в расплавах доказано измерениями вязкости [28], электропроводности [29], удельного веса [8], а также по парциальным термодинамическим свойствам хлористого магния.

На рис. 13 представлены отклонения электропроводности от теоретической. Расчеты молекулярной электропроводности выполнены на основе удельной электропроводности, измеренной в [7], и удельных весов, определенных в [8].

В системе наблюдаются заметные как положительные, так и отрицательные отклонения, которым можно дать следующее объяснение. Максимальные отрицательные отклонения имеют место при составе, соответствующем соединению $MgCl_2 \cdot 2KCl$. Резкое понижение электропроводности несомненно, связано с образованием при этих составах комплексного аниона $MgCl_4^{2-}$, подвижность которого мала, поскольку число переноса

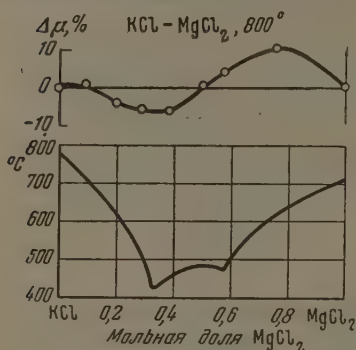


Рис. 13

на почти 100 мм [31], поэтому в таких случаях приходится ограничиться исследованием электропроводности только в узком интервале концентраций.

Таким приемом в ряде исследований [11, 32] было доказано существование в расплавах комплексных соединений. Мы отдаем себе отчет, что объяснение отклонений электропроводности в рассмотренных системах не во всех случаях достаточно обосновано. Связь между электропроводностью солевых расплавленных систем и типом их фазовых диаграмм можно формулировать следующим образом. Отступления электропроводности от электропроводности простейшего расплава увеличиваются по мере усложнения фазовой диаграммы, т. е. при переходе от непрерывных твердых растворов к системам с конгруэнтно плавящимися соединениями.

Простейшие расплавы наблюдаются в тех системах, компоненты которых относительно просты и мало отличаются друг от друга (например, системы $NaCl-KCl$, $NaNO_3-KNO_3$). В некоторых случаях эвтектические системы обнаруживают значительные отклонения электропроводности (например, система $LiCl-KCl$). Конгруэнтно плавящиеся соединения иногда не выявляются по электропроводности (например, система $LiNO_3-RbNO_3$), в других же случаях очень четко (например, система $KCl-CaCl_2$).

ВЫВОДЫ

1. Экспериментально определенная электропроводность тринадцати бинарных солевых систем сопоставлена с электропроводностью, вычисленной по теоретическому уравнению для простейших расплавов, и дано объяснение наблюдаемым отклонениям.

2. Как общее правило, отклонение электропроводности от теоретической увеличивается при переходе от непрерывных твердых растворов к системам с конгруэнтно плавящимися соединениями.
3. Простейшие расплавы наблюдаются у систем, компоненты которых разуют твердые растворы.

Академия наук УССР
Институт общей и
неорганической химии
Киев

Поступила
18.VI.1956

ЛИТЕРАТУРА

- Б. Ф. Марков, Л. А. Шумина, ДАН 110, 411, 1956.
C. Sandozzini, *Gaz.chim. Ital.*, 50, 289, 1920.
E. Salstrom, J. Hildebrand, *J. Amer. Chem. Soc.*, 52, 4641, 1930.
Техническая энциклопедия. Справочники физических, химических и технологических величин, т. 6, стр. 154—178, 1931.
С. В. Карпачев, С. Пальгуев, *Журн. физ. химии*, 23, 942, 1949.
Ю. К. Делимарский, И. П. Туров, Е. Б. Гитман, *Укр. хим. журн.*, 21, 314, 1955.
Б. Ф. Марков, *Укр. хим. журн.*, 21, 703, 1953.
А. А. Щербаков, Б. Ф. Марков, *Журн. физ. химии*, 13, 621, 1939.
П. В. Машовец, З. Ф. Лундина, *Труды ИИХС* алюминий, 10, 5, 1935.
E. Van Artsdalen, J. Yaffe, *Journ. Phys. Chem.*, 59, 118, 1955.
Landolt-Börnstein, *Phys.-Chem. Tab.*, III Erg. B. 2490, 1936.
А. Г. Бергман, И. М. Чагин, *Изв. АН СССР, сер. хим.*, № 5, 727, 1940.
В. Д. Поляков, *Изв. АН СССР, ОХН* № 4—5, 609, 1941.
В. И. Данилов, С. Я. Красницкий, ДАН, 101, 661, 1955.
С. Д. Громаков, *Журн. физ. химии*, 24, 641, 1950.
W. Buess, *Zs. anorg. allg. Chem.*, 279, 104, 1955.
H. Bloom, W. Knaggs, J. Mollooy, D. Welch, *Trans. Farad. Soc.*, 49, 1458, 1953.
С. В. Карпачев, А. Г. Стромберг, В. Н. Подчайнова, *Журн. общ. химии*, 5, 1517, 1935.
И. П. Верещетина и Н. П. Лужная, *ИСФХА*, 25, 188, 1954.
N. A. Ruschin, M. Radovic, *Zs.*, *anorg. Chem.*, 233, 41, 1937.
П. И. Проценко, *ИСФХА* 26, 173, 1955.
F. Jaeger, *Zs. anorg. allg. Chem.* 101, 1, 1917.
Техническая энциклопедия. Справочник физических, химических и технологических величин, т. 7, стр. 190, 1931.
W. Klemm, *Zs. anorg. allg. Chem.*, 152, 235, 1926.
R. Lorenz, A. Höschberg, *Zs. anorg. allg. Chem.*, 94, 317, 1916.
O. Menge, *Zs. anorg. Chem.*, 72, 162, 1911.
Г. А. Абрамов, *Металлург*, 6, 82, 1935.
Б. Ф. Марков, Ю. К. Делимарский, И. Д. Панченко, *Журн. физ. химии*, 29, 51, 1955.
С. В. Карпачев, А. Г. Стромберг, *Журн. общ. химии*, 5, 625, 1935.
А. А. Щербаков, Б. Ф. Марков, *Журн. физ. химии*, 13, 353, 1939.
Ю. В. Баймаков, Б. И. Халфин, *Металлург*, № 8, 81, 1939.
Д. Р. Стэлл, *Таблицы давления паров индивидуальных веществ*, ИИЛ, Москва, 1949, стр. 59.
Н. М. Тарасова, *Журн. физ. химии*, 21, 825, 1947. И. Н. Беляев, *ИСФХА*, 23, 176, 1953. В. Д. Поляков, *ИСФХА*, 26, 191, 1955.

THE CONCENTRATION DEPENDENCE OF THE ELECTROCONDUCTIVITY OF BINARY SALT SOLUTIONS

B. F. Markov and L. A. Shumina (Kiev)

Summary

The experimentally determined electroconductivity of thirteen binary salt systems has been compared with the values calculated from a theoretical equation for the simplest electrolytes and an explanation has been given of the observed deviations. In general, the deviation of the electroconductivity from the theoretical value increases on passing from continuous solid solutions to systems with congruently melting compounds. The simplest electrolytes are observed in systems the compounds of which form solid solutions.

ОЦЕНКА ТОЧНОСТИ ПРИБЛИЖЕННОГО МЕТОДА РАСЧЕТА ТЕРМОДИНАМИЧЕСКИХ ФУНКЦИЙ ИДЕАЛЬНЫХ ГАЗОВ ГОРДОНА И БАРНЕС. II.

Б. И. Броунштейн

Гордон и Барнес [1] разработали приближенный метод расчета термодинамических функций двухатомных идеальных газов, в котором непосредственное суммирование по колебательному квантовому числу v заменено вычислениями с помощью специально составленных таблиц вспомогательных функций.

В ряде численных расчетов, на примерах молекул с основными электронными состояниями $^1\Sigma$, $^3\Sigma$ и $^2\pi$ (случай связи Гунда a) Гордон и Барнес показали, что результаты их расчетов, вплоть до 3000° К, хорошо совпадают с результатами более точных вычислений. В работе [2] метод Гордона и Барнес был обобщен на случай молекул с электронным состоянием $^2\Pi$ при любом типе связи Гунда.

Поскольку метод Гордона и Барнес позволяет существенно упростить расчеты термодинамических функций, представляет интерес разработать общий способ оценки точности данного метода, в особенности при высоких температурах. Соответствующая попытка предпринята в настоящей работе. Оценку точности метода проведем без нарушения общности для молекул, находящихся в $^1\Sigma$ -электронном состоянии.

Статистическая сумма по колебательным и вращательным степеням свободы двухатомной молекулы

$$Q_{\text{вн}} = \sum_{v=0}^{v_m} e^{-hc/kT G_v(v)} \sum_{j=0}^{j_m} (2j+1) e^{-hc/kT F_v(j)}, \quad (1)$$

где

$$G(v) = \omega_e \left(v + \frac{1}{2}\right) - \omega_e x_e \left(v + \frac{1}{2}\right)^2 + \omega_e y_e \left(v + \frac{1}{2}\right)^3 - \dots, \\ G_0(v) = G(v) - G(0), \quad (2)$$

$$F_v(j) = B_v j(j+1) - D_v j^2(j+1)^2 + F_v j^3(j+1)^3 - \dots \quad (3)$$

Воспроизведем последовательно с некоторыми изменениями и дополнениями ход упрощающих преобразований, сделанных Гордоном и Барнес для вычисления $Q_{\text{вн}}$.

Первое упрощение состоит в том, что Гордон и Барнес заменяют статистическую сумму по j приближенным выражением, полученным Джоком и Оверстритом [3]:

$$Q_{\text{вр}v} = \sum_{j=0}^{j_m} (2j+1) e^{-hc/kT F_v(j)} = q_v \left(1 + \frac{1}{3q_v} + d_v + 3d_v^2 + f_v + \dots\right) = q_v a_v, \quad (4)$$

где

$$q_v = \frac{kT}{hc \cdot B_v}; \quad d_v = \frac{2D_v}{B_v} q_v; \quad f_v = \frac{6F_v}{B_v} q_v^2. \quad (5)$$

Выражение (4) получено Джоком и Оверстритом в предположении, что $j_m \rightarrow \infty$. Поправка, вносимая в расчеты Гордона и Барнеса учетом конечности значения j_m , введена нами в работе [4]. Там же получено выражение для общего члена, стоящего в скобках в формуле (4).

следующее, второе, упрощение состоит в том, что функция q_v аппроксимируется в первом члене второй степени

$$q_v = q_0 (1 + \beta_1 v + \beta_2 v^2) \quad (6)$$

коэффициент a_v в формуле (4) считается не зависящей от v . Таким образом, в формулу подставляется значение

$$Q_{\text{вр}v} = q_0 (1 + \beta_1 v + \beta_2 v^2) a_0, \quad (7)$$

$$a_0 = 1 + \frac{1}{3q_0} + d_0 + 3d_0^2 + f_0. \quad (8)$$

Принимая подстановку и прологарифмировав выражение для $Q_{\text{вн}}$, получим, пренебрегая членами порядка $1/q_0^2$, d_0^3 , f_0^2 ; $(\beta_1 v)^2$ и т. д.,

$$\ln Q_{\text{вн}} = \ln Q_{\text{хол}} + \ln q_0 + \beta_1 \bar{v} + \beta_2 \bar{v}^2 + \frac{1}{3q_0} + d_0 + 2,5d_0^2 + f_0, \quad (9)$$

$$\ln Q_{\text{хол}} = \ln \sum_{v=0}^{v_m} e^{-hc/kT C_0(v)},$$

$$\bar{v} = \frac{1}{Q_{\text{хол}}} \sum_{v=0}^{v_m} v e^{-hc/kT C_0(v)}, \quad \bar{v}^2 = \frac{1}{Q_{\text{хол}}} \sum_{v=0}^{v_m} v^2 e^{-hc/kT C_0(v)}. \quad (10)$$

Исходя из приведенного выражения для $\ln Q_{\text{вн}}$, получаем расчетные формулы термодинамических функций в виде

$$\Phi_{\text{вн}}^0 = - \frac{\Phi_{\text{вн}}^0 - E_0^0}{T} = R \left(\ln Q_{\text{хол}} + \ln q_0 + \beta_1 \bar{v} + \beta_2 \bar{v}^2 + \frac{1}{3q_0} + d_0 + 2,5d_0^2 + f_0 \right), \quad (11)$$

$$S_{\text{вн}}^0 = R \left(\frac{1}{R} S_{\text{хол}} + 1 + \ln q_0 + \beta_1 s_1 + \beta_2 s_2 + 2d_0 + 7,5d_0^2 + 3f_0 \right),$$

$$\frac{1}{R} S_{\text{хол}} = \ln Q_{\text{хол}} + T \frac{d \ln Q_{\text{хол}}}{dT}, \quad (12)$$

$$S_1 = \bar{v} + T \frac{d\bar{v}}{dT}, \quad S_2 = \bar{v}^2 + T \frac{d\bar{v}^2}{dT}.$$

Значения далее через

$$W'_v = \frac{hc}{kT} C_0(v), \quad (13)$$

$$T \frac{dQ_{\text{хол}}}{dT} = \sum_{v=0}^{v_m} W'_v e^{-W'_v},$$

$$T \frac{d \ln Q_{\text{хол}}}{dT} = \frac{1}{Q_{\text{хол}}} \sum_{v=0}^{v_m} W'_v e^{-W'_v}, \quad (14)$$

$$T \frac{d\bar{v}}{dT} = \frac{1}{Q_{\text{хол}}} \sum_{v=0}^{v_m} v W'_v e^{-W'_v} - \bar{v} T \frac{d \ln Q_{\text{хол}}}{dT},$$

$$T \frac{d\bar{v}^2}{dT} = \frac{1}{Q_{\text{хол}}} \sum_{v=0}^{v_m} v^2 W'_v e^{-W'_v} - \bar{v}^2 T \frac{d \ln Q_{\text{хол}}}{dT}.$$

Таким образом, расчет $\Phi_{\text{вн}}^*$ и $S_{\text{вн}}^0$ сводится фактически к вычислению сумм (10) и (14).

Третье упрощение, введенное Гордоном и Барнес, заключается в том, что в вычислении сумм (10) и (14) в выражении для колебательной энергии (2) учитывается только первая константа ангармоничности, т. е. расчет производится в предположении, что

$$G_0(v) = \omega_e (1 - x_e) v - \omega_e x_e v^2. \quad (6)$$

Далее Гордон и Барнес составили таблицы функций (10) и (12) для широкого интервала значений hc/kT ω_e и x_e . При составлении таблиц этих функций суммирование по v производилось до значения

$$v_m = \frac{1}{2x_e} - \frac{1}{2}, \quad (7)$$

полученного из решения уравнения

$$\frac{dG_0(v)}{dv} = 0. \quad (8)$$

Так как величина v_m , определенная равенством (16), вообще говоря не является целым числом, то она округляется до ближайшего целого числа. Поэтому сумма вида

$$\sum_k = \sum_{v=0}^{v_m} v^k e^{-hc/kT G_0(v)}, \quad (9)$$

где v_m определяется уравнением (16), а $G_0(v)$ — уравнением (15), можно было вычислены с точностью до величин

$$\Delta \Sigma_k = v_m^k e^{-hc/kT G_0(v_m)}. \quad (10)$$

Обозначим через W_v выражение

$$W_v = \frac{hc}{kT} G_0(v) = bv - av^2, \quad (11)$$

где

$$b = \frac{\theta}{T} (1 - x_e); \quad a = \frac{\theta}{T} x_e; \quad \theta = \frac{hc}{k} \omega_e. \quad (12)$$

Далее, обозначая через

$$\Sigma^i = T \frac{d\Sigma_i}{dT} = \sum_{v=0}^{v_m} v^i W_v e^{-W_v}, \quad (13)$$

получим

$$\begin{aligned} \Sigma^0 &= b \Sigma_1 - a \Sigma_2, \\ \Sigma^1 &= b \Sigma_2 - a \Sigma_3, \\ &\dots \dots \dots \\ \Sigma^i &= b \Sigma_{i+1} - a \Sigma_{i+2}. \end{aligned} \quad (14)$$

Введя обозначения (18) и (22) в формулы (10), (12) и (14), получим

$$\begin{aligned} \ln Q_{\text{кол}} &= \ln \Sigma_0, \quad \frac{1}{R} S_{\text{кол}} = \ln \Sigma_0 + \frac{\Sigma^0}{\Sigma_0}, \\ \bar{v} &= \frac{\Sigma_1}{\Sigma_0}, \quad S_1 = \bar{v} + \frac{\Sigma^1 - \bar{v} \Sigma^0}{\Sigma_0}, \quad \bar{v}^2 = \frac{\Sigma_2}{\Sigma_0}, \quad S_2 = \bar{v}^2 + \frac{\Sigma^2 - \bar{v}^2 \Sigma^0}{\Sigma_0}, \end{aligned} \quad (15)$$

* Обозначения (18) и (22a) введены Г. А. Хачкуровым. Им же получены выражения (22) и (23) (частное сообщение).

использовавшись теперь уравнениями (23) и оценкой (19), находим значения для погрешностей, с которыми могут быть вычислены табличные вспомогательных функций Гордона и Барнес:

$$\Delta \ln Q_{\text{кол}} = \frac{\Delta \Sigma_0}{\Sigma_0}; \quad \Delta \bar{v} = \bar{v} \left(\frac{\Delta \Sigma_0}{\Sigma_0} - \frac{\Delta \Sigma_0}{\Sigma_0} \right); \quad \Delta \bar{v}^2 = \bar{v}^2 \left(\frac{\Delta \Sigma_0}{\Sigma_0} - \frac{\Delta \Sigma_0}{\Sigma_0} \right),$$

$$\Delta \frac{1}{R} S_{\text{кол}} = \frac{\Delta \Sigma_0}{\Sigma_0} + \frac{\Sigma_0}{\Sigma_0} \left(\frac{\Delta \Sigma_0}{\Sigma_0} - \frac{\Delta \Sigma_0}{\Sigma_0} \right), \quad (24)$$

$$\Delta S_1 = \Delta \bar{v} + \frac{\Sigma_1}{\Sigma_0} \left(\frac{\Delta \Sigma_1}{\Sigma_0} - \frac{\Delta \Sigma_0}{\Sigma_0} \right) - \frac{\bar{v} \Sigma_0}{\Sigma_0} \left(\frac{\Delta \bar{v}}{\bar{v}} + \frac{\Delta \Sigma_0}{\Sigma_0} - \frac{\Delta \Sigma_0}{\Delta_0} \right),$$

$$\Delta S_2 = \Delta \bar{v}^2 + \frac{\Sigma_2}{\Sigma_0} \left(\frac{\Delta \Sigma_2}{\Sigma_0} - \frac{\Delta \Sigma_0}{\Sigma_0} \right) - \frac{\bar{v}^2 \Sigma_0}{\Sigma_0} \left(\frac{\Delta \bar{v}^2}{\bar{v}^2} + \frac{\Delta \Sigma_0}{\Sigma_0} - \frac{\Delta \Sigma_0}{\Sigma_0} \right),$$

$$\frac{\Delta \Sigma^i}{\Sigma^i} = \frac{b \Delta \Sigma_{i+1} - a \Delta \Sigma_{i+2}}{\Sigma^i}. \quad (25)$$

Для целей дальнейших оценок выразим Σ_k через вспомогательные функции Гордона и Барнес и найдем приближенные выражения для сумм

$$\sum_k^n = \sum_{r=n}^{v_m} v^k e^{-W_n}. \quad (26)$$

Получим, что $\Sigma_k^0 = \Sigma_k$.

Продифференцировав уравнения (23) относительно $\Sigma_0 \dots \Sigma_4$, находим:

$$\begin{aligned} \Sigma_0 &= e^{\ln Q_{\text{кол}}}, \\ \Sigma_1 &= \bar{v} \Sigma_0, \\ \Sigma_2 &= \bar{v}^2 \Sigma_0, \\ \Sigma_3 &= \frac{b \Sigma_2 - (S_1 - \bar{v}) \Sigma_0 - \bar{v} (b \Sigma_1 - a \Sigma_2)}{a}, \\ \Sigma_4 &= \frac{b \Sigma_3 - (S_2 - \bar{v}^2) \Sigma_0 - \bar{v}^2 (b \Sigma_1 - a \Sigma_2)}{a}. \end{aligned} \quad (27)$$

Перейдем теперь к вычислению сумм (26).

С точностью до величины порядка $\frac{1}{2} [n^k e^{-W_0} + v_m^k e^{-W_{v_m}}]$ суммы (26) могут быть заменены интегралами

$$\sum_k^n \approx I_k^n = \int_n^{v_m} v^k e^{-W} dv. \quad (28)$$

При обозначении

$$a_1 = \sqrt{a} \text{ и } b_1 = \frac{b}{2a_1}, \quad (29)$$

преобразуем интеграл (28) к виду

$$I_k^n = e^{-b_1^2} \int_n^{v_m} v^k e^{-(a_1 v - b_1)^2} dv. \quad (30)$$

Введем теперь новую постоянную интегрирования

$$Z = b_1 - a_1 v,$$

получим

$$I_k^n = \frac{e^{-b_1^2}}{a_1^{k+1}} \int_{z_m}^{z_n} (b_1 - z)^k e^{z^2} dz,$$

где

$$z_m = b_1 - a_1 v_m; \quad z_n = b_1 - a_1 v_n.$$

Если v_m определено из условия (17), т. е. $v_m = \frac{1}{2x_e} - \frac{1}{2}$, то $z_m =$

В дальнейшем всюду будем считать, что $z_m = 0$.

Рассмотрим теперь интегралы вида

$$L_i = \int_0^{z_n} z^i e^{z^2} dz \quad (i = 0, 1, \dots).$$

Интеграл

$$L_0 = \int_0^{z_n} e^{z^2} dz = \Phi(z_n)$$

табулирован. Таблицы интеграла $\Phi(z_n)$ приведены, например, у Янга, Эмде [5] и более полно у Миллера и Гордона [6].

Произведя интегрирование по частям, находим последовательно

$$L_1 = \frac{1}{2} (e^{z_n^2} - 1),$$

$$L_2 = \frac{1}{2} z_n e^{z_n^2} - \frac{1}{2} L_0,$$

$$L_3 = \frac{1}{2} z_n^2 e^{z_n^2} - L_1,$$

$$\dots$$

$$L_i = \frac{1}{2} z_n^{i-1} e^{z_n^2} - \frac{i-1}{2} L_{i-2}.$$

Раскрывая скобки в подынтегральном выражении (32), получим окончательно

$$I_0^n = \frac{e^{-b_1^2}}{a_1} L_0,$$

$$I_1^n = \frac{e^{-b_1^2}}{a_1^2} [b_1 L_0 - L_1],$$

$$I_2^n = \frac{e^{-b_1^2}}{a_1^3} [b_1^2 L_0 - 2b_1 L_1 + L_2],$$

$$\dots$$

$$I_i^n = \frac{e^{-b_1^2}}{a_1^{i+1}} (b_1 - L)^i,$$

$$(b_1 - L)^i \doteq b_1^i L_0 - i b_1^{i-1} L_1 + \frac{i(i-1)}{2!} b_1^{i-2} L_2 - \dots + L_i.$$

Для грубой оценки сумм (26) можно воспользоваться формулой

$$\sum_{k+1}^n = \frac{n + v_m}{2} \sum_k^n, \quad (38)$$

где v_m определяется формулой (16).

Перейдем теперь к систематическому изложению методов оценки погрешностей в расчетах Гордона и Барнес.

Как было указано выше, погрешность, обусловленная первым упрощением (суммирование по j в выражении (4) для $Q_{вр}$ производится до значений $j_m \rightarrow \infty$) рассмотрена в работе [4].

Соответствующие поправки к значениям $\Phi_{вн}^m$ и $S_{вн}^0$ равны

$$\Delta \Phi_{вн}^* = R \ln(1 - A); \quad \Delta S_{вн}^0 = RB,$$

$$A = e^{-hc/kT D_0} \frac{\sum_{v=0}^{v_m} q_v}{Q_{вн}}, \quad (39)$$

$$B = \ln(1 - A) + \frac{A}{1 - A} \left(T \frac{d \ln Q_{вн}}{dT} - 1 - \frac{hc}{kT} D_0 \right),$$

$$\sum_{v=0}^{v_m} q_v = q_0 \left[1 + v'_m + \beta_1 \frac{v'_m(1 + v'_m)}{2} + \beta_2 \frac{v'_m(1 + v'_m)(1 + 2v'_m)}{6} \right]$$

v'_m определяется из условия

$$G_0(v'_m) = D_0, \quad (40)$$

D_0 — энергия диссоциации молекул в см^{-1} .

Второе упрощение, связанное с аппроксимацией q_v полиномом второй степени и заменой a_v на a_0 , может внести в расчеты при высоких температурах заметную погрешность. Специально следует обсудить вопрос о способе аппроксимации q_v полиномом второй степени, не разобранной в работе Гордона и Барнес.

Обычные способы аппроксимации по методу наименьших квадратов или аналогичным здесь не следует рекомендовать, так как величина q_v входит в сумму (1) со статистическим весом $e^{-hc/kT} G_0(v)$. Поэтому наиболее важно точно аппроксимировать для малых значений v . Обычно коэффициенты β_1 и β_2 в формуле (7) находят, приравнявая q_v последовательно значениям q_1 и q_2 ($v=1$; $v=2$). При этом фактическое значение q_{v_m} может значительно отличаться от вычисленного по формуле (6).

Отметим прежде всего, что зависимость выражения q_v от v в методе Гордона и Барнес может быть легко учтена. Для этого нужно аппроксимировать полиномом второй степени не q_v , а произведение $q_v \cdot a_v$. Далее, для оценки погрешности, вносимой аппроксимацией $q_v \cdot a_v$ полиномом второй степени, аппроксимируем эту величину полиномом третьей степени, полагая

$$q_v a_v = q_0 a_0 (1 + \beta'_1 v + \beta'_1 v^2 + \beta_3 v^3). \quad (41)$$

Коэффициенты β_1 , β_2 и β_3 определяем по трем значениям $q_v a_v$: $q_1 a_1$, $q_2 a_2$ и $q_m a_m$.

Соответственно для поправок к Φ_{BH}^n и S_{BH}^0 получаем выражения

$$\begin{aligned}\Delta \bar{\Phi}_{\text{BH}}^* &= (\beta'_1 - \beta_1) \bar{v} + (\beta'_2 - \beta_2) \bar{v}^2 + \beta_3 \bar{v}^3, \\ \Delta S_{\text{BH}}^0 &= (\beta'_1 - \beta_1) S_1 + (\beta'_2 - \beta_2) S_2 + \beta_3 S_3,\end{aligned}\quad (42)$$

где

$$\bar{v}^3 = \frac{\Sigma_3}{\Sigma_0},$$

$$S_3 = \bar{v}^3 + T \frac{d\bar{v}^3}{dT} = \bar{v}^3 + \frac{\Sigma^3 - \bar{v}^3 \Sigma^0}{\Sigma_0}, \quad (43)$$

$$\Sigma_i^3 = b \Sigma_4 - a \Sigma_5. \quad (44)$$

Величины $\Sigma_0, \Sigma_1 \dots \Sigma_4$ могут быть вычислены по формулам (27), а Σ_5 по формулам (36), (37) или приближенно по формуле (38), полагая в них $n=0$.

Оценим наиболее существенную погрешность, вносимую в расчеты заменой выражения для колебательной энергии $G_0(v)$ двухчленным полиномом (15). Здесь следует различать два случая, когда высшие константы ангармоничности экспериментально определены и когда они не известны.

Первый случай. Пусть экспериментально определены три константы ангармоничности $\omega_e x_e$, $\omega_e y_e$ и $\omega_e z_e$.

В этом случае

$$G_0(v) = \omega_0 v - \omega_0 x_0 v^2 + \omega_0 y_0 v^3 - \omega_0 z_0 v^4, \quad (45)$$

где

$$\begin{aligned}\omega_0 &= \omega_e - \omega_e x_e + 0,75 \omega_e y_e - 0,5 \omega_e z_e, \\ x_0 \omega_0 &= \omega_e x_e - 1,5 \omega_e y_e + 1,5 \omega_e z_e,\end{aligned}\quad (46)$$

$$\omega_0 y_0 = \omega_e y_e - 2\omega_e z_e,$$

$$\omega_0 z_0 = \omega_e z_e.$$

Ограничиваясь первыми членами разложения $e^{-hc/kT (\omega_0 v_0 v^3 - \omega_0 z_0 v^4)}$ в ряд Маклорена, получим

$$e^{-hc/kT G_0(v)} = e^{-Wv} (1 - pv^3 + gv^4), \quad (47)$$

где

$$p = \frac{hc}{kT} \omega_0 y_0; \quad g = \frac{hc}{kT} \omega_0 z_0. \quad (48)$$

Здесь предполагается, что расчет производится для температур, ограниченных условием

$$e^{-hc/kT D_0} \ll 1^*. \quad (49)$$

При выводе общих расчетных формул (10) — (14) не делалось никаких ограничений относительно вида $G_0(v)$. Поэтому эти формулы пригодны для расчета и в данном случае. Здесь только нужно иметь в виду, что максимальное квантовое число — v'_m определяется теперь уравнением (40),

* Отметим, что расчет термодинамических функций для температур, при которых $hcD_0 \approx kT$, вряд ли имеет смысл.

(16). Введем обозначения

$$\sum_{kv'_m} = \sum_{v=0}^{v'_m} v^k e^{-W_v}, \quad (50)$$

$$\sum^{kv'_m} = T \frac{d \sum_{kv'_m}}{dT} = a \sum_{(k+1)v'_m} - b \sum_{(k+2)v'_m},$$

функция W_v определена формулой (20).

Используя введенные нами ранее обозначения (18) и (26), получим

$$\sum_{kv'_m} = \sum_k - \sum_k^{v'_m}, \quad (51)$$

$$\sum^{kv'_m} = \sum^k - \left[a \sum_{k+1}^{v'_m} - b \sum_{k+2}^{v'_m} \right].$$

Подставляя теперь выражение (47) в уравнения (10) и используя значения (50), получим:

$$Q_{\text{кол}} = \sum_{0v'_m} - p \sum_{3v'_m} + g \sum_{4v'_m}, \quad (52)$$

$$\bar{v} = \frac{1}{Q_{\text{кол}}} \left(\sum_{1v'_m} - p \sum_{4v'_m} + g \sum_{5v'_m} \right),$$

$$\bar{v}^2 = \frac{1}{Q_{\text{кол}}} \left(\sum_{2v'_m} - p \sum_{5v'_m} + g \sum_{6v'_m} \right),$$

$$T \frac{d \ln Q_{\text{кол}}}{dT} = \frac{1}{Q_{\text{кол}}} \left(\sum_{0v'_m} - p \sum_{3v'_m} + g \sum_{4v'_m} \right),$$

$$T \frac{d \bar{v}}{dT} = \frac{1}{Q_{\text{кол}}} \left(\sum_{1v'_m} - p \sum_{4v'_m} + g \sum_{5v'_m} \right) - \bar{v} T \frac{d \ln Q_{\text{кол}}}{dT}, \quad (53)$$

$$T \frac{d \bar{v}^2}{dT} = \frac{1}{Q_{\text{кол}}} \left(\sum_{2v'_m} - p \sum_{5v'_m} + g \sum_{6v'_m} \right) - \bar{v}^2 T \frac{d \ln Q_{\text{кол}}}{dT}.$$

Суммы $\sum_{kv'_m}$ и $\sum^{kv'_m}$ вычисляются по формулам (51). Значения

... \sum_4 могут быть вычислены по формулам (27), в которых величины $\ln Q_{\text{кол}}$, \bar{v} , \bar{v}^2 и т. д. находятся по таблицам Гордона и Барнес.

Суммы $\sum_5 - \sum_8$ и $\sum_6^{v'_m} - \sum_8^{v'_m}$ вычисляются по формулам (28), (36) и (37).

Приведенный здесь способ расчета следует рекомендовать не только для оценки, но и для внесения поправок в метод Гордона и Барнес, в этом есть необходимость. Более простой, но менее точный способ изложен ниже.

Второй случай. Значения высших констант ангармоничности y_0 , $\omega_0 z_0$ и т. д. не известны. В этом случае приближенную оценку точности расчетов можно произвести, если известна энергия диссоциации молекулы D_0 . Как уже неоднократно указывалось, в методе Гордона и Барнес суммирование в выражениях (10) и (14) производится до значения v_m , определяемого формулой (16). При этом максимальная колебательная энергия молекул $G_0(v_m)$, вообще говоря, не совпадает с экспериментальным значением энергии диссоциации. Чем больше разность

$|G_0(v_m) - D_0|$, тем, очевидно, более существенным становится учет этих констант ангармоничности.

Здесь также следует различать два случая $G_0(v_m) > D_0$ и $G_0(v_m) < D_0$. В первом случае суммирование по v в выражениях (10) и (14) следует фактически производить до значения v'_m , определяемого уравнением (4), а не формулой (16). Для выполнения соответствующего расчета в уравнении (23) следует вместо величин \sum_k и \sum^k ввести суммы $\sum_{kv'_m}$ и \sum^k , определяемые из (51). Величины \sum_k вычисляются по формулам (2), а $\sum_{kv'_m}$ — по уравнениям (36) и (37). Здесь необходимо отметить, что внесенная таким образом поправка в расчеты по методу Гордона и Барнеса находится в пределах погрешности вычислений термодинамических функций, обусловленной неполнотой имеющихся экспериментальных данных.

При $G_0(v_m) < D_0$ приближенная оценка точности расчетов может быть получена введением в выражения для $G_0(v)$ дополнительного члена ω_0^3 , определяемого из уравнения

$$\omega_e(1 - x_e)v_m - x_e\omega_e v_m^2 + \omega_0 y_0 v_m^3 = D_0, \quad (4)$$

где значение v_m по-прежнему находится по формуле (16). В этом случае расчет производится по формулам (52) и (53), в которых полагаем $g = 0$ и $\sum_{kv'_m} = \sum_k$.

До сих пор мы рассматривали в основном погрешности в расчетах термодинамических функций, обусловленные приближенным характером поправок, разобранных выше, необходимо оценить также погрешности расчетов, обусловленную неточностью имеющихся экспериментальных данных.

Для выяснения целесообразности введения в метод Гордона и Барнеса поправок, разобранных выше, необходимо оценить также погрешности расчетов, обусловленную неточностью имеющихся экспериментальных данных.

Отметим, что метод Гордона и Барнес дает возможность сравнительно просто оценить соответствующую погрешность. Например, если значение ω_e экспериментально определено с точностью $\Delta\omega_e$, то для оценки погрешности $\Delta\Phi_T^*$ и ΔS_T^0 достаточно вычислить Φ^* и S_T^0 для значений ω_e и $\omega_e + \Delta\omega_e$.

Погрешность, обусловленная неточностью экспериментального определения энергии диссоциации ΔD_0 , может быть оценена по формулам (3).

ВЫВОДЫ

1. Разработан общий способ оценки погрешности вычисления термодинамических функций двух атомных идеальных газов по методу Гордона и Барнес.

2. Показано, что точность метода существенно зависит от отношения $hc D_0 / kT$ (где D_0 — экспериментальное значение энергии диссоциации молекулы) и от отношения $D_0 / G_0(v_m)$, где $G_0(v_m)$ — расчетное значение энергии диссоциации, полученное линейной экстраполяцией Борджа-Шпона.

3. Предложен приближенный метод вычисления поправок к расчетным формулам Гордона и Барнес для случая, когда высшие константы ангармоничности $\omega_0 y_e$ и $\omega_e z_e$ экспериментально определены.

4. Указано, что метод Гордона и Барнес дает возможность сравнительно просто оценить погрешность вычислений термодинамических функций, обусловленную неточностью определения молекулярных постоянных.

ЛИТЕРАТУРА

- A. R. Gordon, а. С. Barnes, Journ. Chem. Phys., **1**, 297, 1933.
Г. А. Хачкурузов и Б. И. Броунштейн, Журн. физ. химии, **30**, 2412, 1956.
W. F. Giaquema. R. Overstreet. Journ. Amer. Chem. Soc., **54**, 1731 1932.
Б. И. Броунштейн, Журн. физ. химии, **31**, 1606, 1957.
Е. Янке и Ф. Эмде, Таблицы функций, М.—Л, 1948.
W. L. Miller, A. R. Gordon, Journ. Phys. Chem., **35**, 2878, 1931.
-

EVALUATION OF THE ACCURACY OF GORDON AND BARNES' APPROXIMATE
METHOD OF CALCULATING THE THERMODYNAMIC FUNCTIONS OF IDEAL
GASES

B. I. Brunshtein (Leningrad)

Summary

The accuracy of Gordon and Barnes' method was heretofore subjected only to numerical tests, comparison being made with calculations of the thermodynamic functions by direct summation for temperatures up to 3000°K. In the present study an analysis was made of the assumptions underlying the method and a general procedure was developed for evaluating its error. For the case when the higher constants of anharmonicity V_e , J_e , and $W_e Z_e$ are known an approximate method has been proposed for calculating the corrections to Gordon and Barnes' formulas.

ИЗУЧЕНИЕ ХРОМАТОГРАФИИ МНГОВАЛЕНТНЫХ ИОНОВ С ПОМОЩЬЮ МЕЧЕННЫХ АТОМОВ

II. ВЫТЕСНИТЕЛЬНАЯ ХРОМАТОГРАФИЯ Sr^{2+} И Ce^{3+} ПРИ ЗНАЧИТЕЛЬНЫХ ЗАПОЛНЕНИЯХ АДОРБЕНТА

С. Ю. Елович и В. Н. Прусаков

Как было нами показано ранее [1], при вытеснительной хроматографии ионов Sr^{2+} и Ce^{3+} на хорошо набухающем адсорбенте КУ-2 существуют две концентрационные области. При концентрации $0,3 N$ и малых скоростях движения жидкости в колонке ($\sim 1 \text{ мл/см}^2 \text{ мин}$) применение уравнений равновесной хроматографии дает удовлетворительные результаты. При употреблении ультрамалых концентраций радиоактивных изотопов без носителей учет эффектов торможения становится необходимым.

Согласно известному уравнению равновесной хроматографии, скорость движения концентрационной точки при вытеснении ионами водорода может быть выражена уравнением

$$\left(\frac{x}{t}\right)_c = \frac{u_0}{\frac{\partial q_{\text{Me}}}{\partial c_{\text{Me}}} + \alpha}, \quad (1)$$

Здесь x обозначает расстояние, на которое передвинулась концентрационная точка c_{Me} за время t ; u_0 — скорость движения жидкости в колонке; α — доля пор в шихте; в нашем случае $\alpha=0,5$; $\partial q_{\text{Me}}/\partial c_{\text{Me}}$ — производная адсорбированного количества по концентрации для данной точки изотермы.

Для комплекссообразовательной хроматографии можно получить сходное уравнение

$$\left(\frac{x}{t}\right)_{c_1} = \frac{u_0}{\frac{\partial q_{\text{Me}}}{\partial c_{\text{Me}}} \cdot \frac{1}{1 + \frac{\partial c_1}{\partial c_{\text{Me}}}}}, \quad (1a)$$

где c_1 означает концентрацию комплексного иона в растворе.

В нашей работе мы изучали явления вытеснительной хроматографии для адсорбированных ионов Sr^{2+} и Ce^{3+} , в области макро- и микроконцентраций.

Использование радиоактивных изотопов Sr^{89} и $\text{Ce}^{144} + \text{Pr}^{144}$ дало возможность измерять концентрацию последних непосредственно в колонке при продвижении хроматографических зон. Методические особенности наших измерений описаны подробно в [2].

Опыты с Sr^{89} проводились в колонке, стенки которой были сделаны из целлулоидной пленки толщиной в $0,1 \text{ мм}$. В качестве адсорбента применялся катионит КУ-2, имеющий функциональную группу HSO_3^- . Емкость его составляла $3,9 \text{ мг-экв/г}$ или $1,9 \text{ мг-экв/мл}$. Для опытов по десорбции ионов Sr^{2+} и Ce^{3+} адсорбент в водородной форме предварительно насыщался этими ионами. Адсорбированные катионы размещались в слое длиной $30\text{—}50 \text{ мм}$ в зависимости от концентрации и количества раствора.

При изучении явлений вытеснительной хроматографии мы десорбировали адсорбированные на колонке ионы соляной кислотой. Через определенные промежутки времени поток раствора останавливался и производились измерения интенсивности излучения по длине колонки. По этим данным строились графики изменения хода интенсивности излучения или концентрации адсорбированных ионов как функции расстояния от начала слоя.

Для вытеснения ионов Sr^{2+} мы применяли 0,3—0,5N HCl; для десорбции Ce^{3+} 1,2—1,5N HCl. При меньших концентрациях движению было слишком медленно, а при более высоких концентрациях адсорбционная зона сильно размывалась по длине в первые же минуты пуска десорбирующего раствора и поэтому не удавалось проследить за отдельными стадиями формирования зон.

Полученные при этом результаты представлены на рис. 1—5.

В соответствии с хорошо известными фактами [3] при элюции в течение некоторого времени происходит формирование фронта (рис. 1, кривые 1 и 2), затем процесс десорбции можно рассматривать как движение хроматографической волны, форма которой уже имеет мало общего с исходной (рис. 1, ABCD).

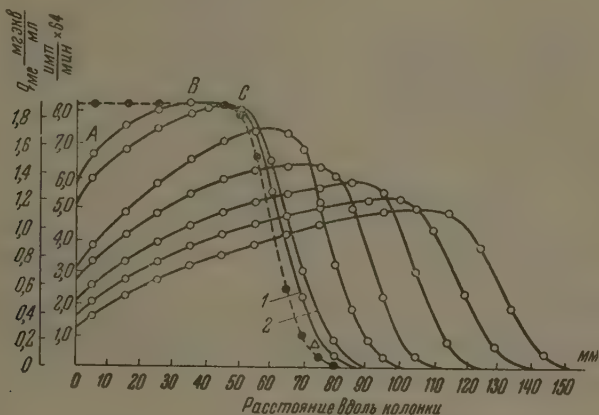


Рис. 1. Динамика десорбции ионов стронция 0,3 N HCl. Объемная скорость потока равна 0,5 мл/см²·мин, кривые сняты в различные отрезки времени

При прохождении адсорбционной волны, задний фронт с течением времени становится более плоским, а передний мало меняет свою форму, передвигаясь по шихте с постоянной скоростью. Высота максимума волны непрерывно уменьшается. Общая площадь кривых остается неизменной. Концентрация вытеснителя оказывает значительное влияние на скорость десорбции вследствие сдвига равновесия обменной адсорбции вправо



В табл. 1 приведены экспериментальные данные зависимости хода движения концентрационных точек Ce^{3+} и Sr^{2+} от концентрации вытесняющей кислоты. Объемная скорость тока раствора кислоты была равна 0,5 и 1,0 мл/см²·мин соответственно.

Таблица 1

Скорость движения хроматографической зоны ионов Sr^{2+} и Ce^{3+}

Заполнение обменника, мг-экв/мг	Скорость движения концентрационных точек, см/час		Заполнение обменника, мг-экв/мг	Скорость движения концентрационных точек, см/час		
$q_{\text{Me}} \text{Ce}^{3+}$	$c_{\text{H}^+} = 1,2 \text{ N}$	$c_{\text{H}^+} = 1,4 \text{ N}$	$q_{\text{Me}} \text{Sr}^{2+}$	$c_{\text{H}^+} = 0,3 \text{ N}$	$c_{\text{H}^+} = 0,4 \text{ N}$	$c_{\text{H}^+} = 0,5 \text{ N}$
0,2	0,53	0,75	0,6	0,6	0,91	1,34
0,3	0,65	1,25	0,7	0,89	0,98	1,30
0,4	1,06	1,85	0,8	1,03	1,25	1,78
0,5	1,43	2,6	0,9	1,15	1,55	2,06
0,6	1,68	4,5	1,0	1,55	1,89	2,34

Скорость движения концентрационных точек Sr^{2+} и Ce^{3+} одинаковых заполнений различна. Скорость движения Ce^{3+} значительно ниже, что объясняется большой адсорбируемостью иона церия.

Так, например, трехвалентный церий при десорбции 1,2 N HCl удаляется медленнее, чем стронций 0,5 N кислотой.

Для сравнения экспериментальных и теоретических данных были рассчитаны скорости движения концентрационных точек заднего фронта волн по уравнению (1).

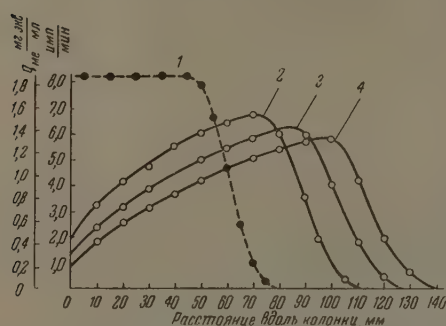


Рис. 2. Динамика десорбции ионов стронция 0,4 N HCl. Объемная скорость раствора равна 0,5 мл/см²·мин; 1 — исходный фронт; 2 — через 10 мин.; 3 — через 40 мин.; 4 — через 1 час 40 мин.

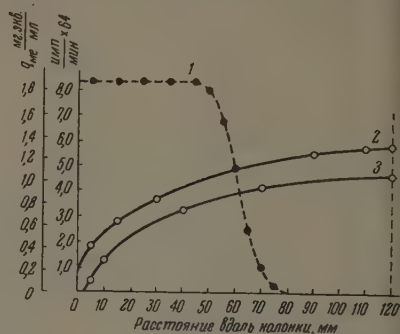


Рис. 3. Динамика десорбции ионов стронция 0,5 N HCl. Объемная скорость раствора равна 0,5 мл/см²·мин; 1 — исходный фронт; 2 — через 40 мин.; 3 — через 1 час 40 мин.

Используя уравнение Никольского, мы получаем для двузарядного иона Sr^{2+}

$$\left(\frac{x}{t}\right)_{\text{Sr}} = \frac{u^0}{\frac{q_{\text{Me}}^2}{c_{\text{Me}}^2} \frac{c_0^2 - c_{\text{Me}}^2}{K_2^2 (S^2 - q_{\text{Me}}^2)} + \alpha}, \quad (2)$$

где K_2 означает константу обмена иона Sr^{2+} .

Для трехзарядного иона Ce^{3+} получаем

$$\left(\frac{x}{t}\right)_{\text{Ce}} = \frac{u_0}{\frac{q_{\text{Me}}}{c_{\text{Me}}} - \frac{c_0^3 - 3c_0c_{\text{Me}}^2 + 2c_{\text{Me}}^3}{3K_3 \cdot c_{\text{Me}} (S - q_{\text{Me}})^2 + (c_0 - c_{\text{Me}})^3} + \alpha}, \quad (3)$$

K_3 — константа обмена иона Ce^{3+} , q_{Me} и c_{Me} означают адсорбированное количество катионов и его концентрацию в растворе; c_0 обозначает концентрацию вытесняющего иона, в нашем случае иона водорода; S — емкость адсорбента).

Все величины, входящие в уравнения (2) и (3), могут быть непосредственно взяты из наших опытных данных. Однако ввиду того, что эти опыты проводились в области концентраций, где нужно учитывать активности ионов, необходимо определить последние. Задача несколько упрощается тем, что адсорбционное вытеснение производилось при столь преобладающей концентрации кислоты, что ионная сила раствора оставалась почти постоянной. Так как мы измеряли концентрацию радиоизотопа непосредственно в адсорбенте, то установление равновесной его концентрации в растворе рассчитывалось по уравнению Никольского

$$c_{\text{Me}} = \frac{c_{\text{H}^+}^z}{K \left(\frac{\gamma_{\text{Me}}^{1/z}}{\gamma_{\text{H}^+}}\right)^z} \left(\frac{q_{\text{Me}}^{1/z}}{q_{\text{H}^+}}\right)^z, \quad (4)$$

где $q_{\text{H}^+} = S - q_{\text{Me}}$ и $c_{\text{H}^+} = c_0 - c_{\text{Me}}$; z — заряд иона.

благодаря тому, что вытеснение производится при практически постоянной ионной силе, можно положить в уравнении (4)

$$\frac{\gamma_{\text{Me}^{2+}}^{1/2}}{\gamma_{\text{H}^{+}}} = \text{const.}$$

Отношение коэффициентов активности находилось из специально полученных статических опытов, по известной ранее определенной, термодинамической константе обмена. Она равна 1,72 для Sr^{2+} и 2,94 для Ce^{3+} в расчете на 1 г адсорбента. Навеска адсорбента приводилась в прикосновение с раствором соляной кислоты, в которой находились Sr^{2+} или Ce^{3+} .

Начальные условия опытов выбирались так, чтобы после установления равновесия концентрации ионов H^{+} и Me^{2+} в растворе и заполнения адсорбента соответствовали тем, которые были в одном из рассматриваемых ионных колонок. В табл. 2 и 3 приведены данные расчета отношения коэффициентов активности.

Таблица 2

Расчет отношений коэффициентов активностей Sr^{2+} по данным статических экспериментов

Навеска. Sr^{2+} г/мл	$\gamma_{\text{Sr}^{2+}}^{1/2}$	Адсорб. количество $q_{\text{Sr}^{2+}}$ мг-экв/мл	$q_{\text{Sr}^{2+}}^{1/2}$	Адсорб. количество $q_{\text{H}^{+}}$ мг-экв/мл	Равновес. конц. $c_{\text{H}^{+}}$ г-экв/л	Константа обмена K'_2	$\frac{\gamma_{\text{Sr}^{2+}}^{1/2}}{\gamma_{\text{H}^{+}}}$
0,1	0,316	1,32	1,15	0,58	0,3	2,46	0,79
10^{-3}	0,71	0,5	0,79	1,4	0,3	2,46	0,89

Таблица 3

Расчет отношений коэффициентов активностей Ce^{3+} по данным статических экспериментов

Навеска. Ce^{3+} г/мл	$\gamma_{\text{Ce}^{3+}}^{1/3}$	Адсорб. количество $q_{\text{Ce}^{3+}}$ мг экв/мл	$q_{\text{Ce}^{3+}}^{1/3}$	Адсорб. количество $q_{\text{H}^{+}}$ мг-экв/мл	Равновес. конц. $c_{\text{H}^{+}}$ г-экв/л	Константа обмена K'_3	$\frac{\gamma_{\text{Ce}^{3+}}^{1/3}}{\gamma_{\text{H}^{+}}}$
0,1	0,465	1,08	1,03	0,86	1,2	4,74	0,64
10^{-3}	1,71	0,5	0,79	1,4	1,2	4,74	0,78

В табл. 4 и 5 приведены данные, по которым рассчитывались скорости движения концентрационных точек по уравнениям (2) и (3). На рис. 2—5 составлены экспериментальные данные по элюции ионов стронция и церия.

В табл. 2—5 значения констант обмена приведены в расчете на шихты, согласно уравнению, получаемому из уравнения изотерм

$$K'_2 = \frac{K_z}{\frac{z-1}{z}},$$

2,05

2,05 — увеличение объема 1 мл адсорбента в набухшем состоянии.

Как можно видеть из таблиц, экспериментальные данные мало отличаются от расчетных. Однако мы все же должны констатировать, что имеется хотя и небольшое, но систематическое отклонение расчетных данных от экспериментальных. Расчетные данные на 5—6% выше экспериментальных.

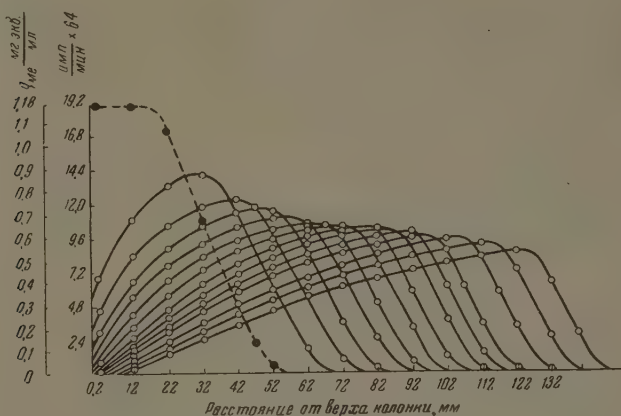


Рис. 4. Динамика десорбции церия 1,2 N HCl. Объемная скорость раствора равна 1 мл/см²·мин. Кривые сняты в различные отрезки времени

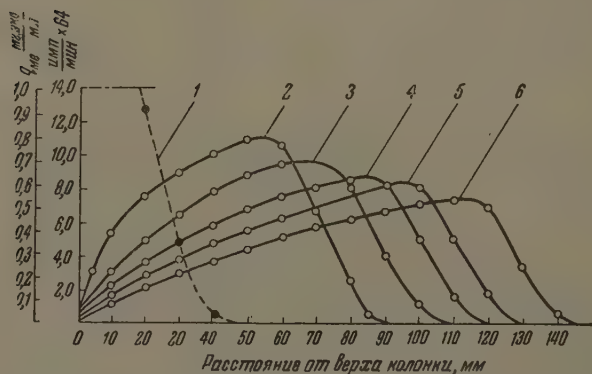


Рис. 5. Динамика десорбции церия 1,4 N HCl. Объемная скорость раствора равна 1 мл/см²·мин; 1 — исходный фронт; 2 — через 1 час; 3 — через 1 час 40 мин.; 4 — через 2 часа 20 мин.; 5 — через 3 часа; 6 — через 4 часа

Истолкование вышеприведенных данных имеет, как нам кажется, существенное значение. Несомненно, что в той или другой степени динамика хроматографии должна носить диффузионный характер, поскольку перенос ионов к месту обмена в адсорбенте происходит путем диффузии. Величина градиента концентрации зависит от скорости диффузии ионов и от скорости установления равновесия реакции обмена. Как показывают почти все данные по ионному обмену на органических ионитах и результаты хроматографических опытов, скорость диффузии ионов обычно меньше скорости обмена и поэтому у поверхности адсорбента имеется состо-

Таблица 4

Расчет скоростей движения концентрационных точек зон. Емкость адсорбента 1,9 мг-экв/мл для иона Sr^{2+}

Адсорб. количество Sr^{2+} мг-экв/мл	Концентрац. ионов водорода C_{H^+} мг-экв/мл	Адсорб. количество ионов H^+ , q_{H^+} мг-экв/мл	$\frac{\gamma_{\text{Sr}^{2+}}}{\gamma_{\text{H}^+}}$	Скорость протек. кислоты u_{a} мл/см ² ·мин	$K_{\text{a}}' \frac{\gamma_{\text{Sr}^{2+}}}{\gamma_{\text{H}^+}}$	Равновесная концентр. $\text{C}_{\text{Sr}^{2+}}$ мг-экв/мл	Скорость движения	
							расчит.	экспер.
							x/l см/час	x/l см/час
0,05	0,3	1,85	0,89	0,5	2,20	$2,74 \cdot 10^{-4}$	0,180	0,17
0,1	0,3	1,80	0,89	0,5	2,20	$5,66 \cdot 10^{-4}$	0,185	0,173
0,2	0,3	1,70	0,89	0,5	2,20	$1,30 \cdot 10^{-3}$	0,241	0,238
0,3	0,3	1,60	0,89	0,5	2,20	$2,18 \cdot 10^{-3}$	0,285	0,27
0,4	0,3	1,50	0,89	0,5	2,20	$3,33 \cdot 10^{-3}$	0,385	0,36
0,5	0,3	1,40	0,89	0,5	2,20	$4,80 \cdot 10^{-3}$	0,495	0,455
0,6	0,3	1,30	0,89	0,5	2,20	$6,61 \cdot 10^{-3}$	0,63	0,595
0,7	0,3	1,20	0,89	0,5	2,20	$9,55 \cdot 10^{-3}$	0,945	0,89
0,8	0,3	1,10	0,89	0,5	2,20	$1,22 \cdot 10^{-2}$	1,09	1,03
0,9	0,3	1,0	0,89	0,5	2,20	$1,68 \cdot 10^{-2}$	1,22	1,15
1,0	0,3	0,9	0,89	0,5	2,20	$2,30 \cdot 10^{-2}$	1,64	1,55
1,1	0,3	0,8	0,89	0,5	2,20	$3,20 \cdot 10^{-2}$	2,10	1,98

Таблица 5

Расчет скоростей движения концентрационных точек зон для иона Ce^{3+}
Емкость адсорбента 1,9 мг-экв/мл

Адсорб. количество Ce^{3+} мг-экв/мл	Концентрац. ионов H^+ , C_{H^+} мг-экв/мл	Адсорб. количество водорода q_{H^+} мг-экв/мл	$\frac{\gamma_{\text{Ce}^{3+}}}{\gamma_{\text{H}^+}}$	Скорость проек. кислоты u_{a} мл/см ² ·мин	$K_{\text{a}}' \frac{\gamma_{\text{Ce}^{3+}}}{\gamma_{\text{H}^+}}$	Конц. ионов $\text{C}_{\text{Ce}^{3+}}$ мг-экв/мл	Скорость движения	
							расчит.	экспер.
							x/l см/час	x/l см/час
0,001	1,2	1,9	0,78	1,0	3,69	0,0000040	0,30	0,28
0,05	1,2	1,85	0,78	1,0	3,69	0,00027	0,35	0,32
0,1	1,2	1,8	0,78	1,0	3,69	0,00039	0,412	0,40
0,2	1,2	1,7	0,78	1,0	3,69	0,0014	0,567	0,53
0,3	1,2	1,6	0,78	1,0	3,69	0,0025	0,713	0,65
0,4	1,2	1,5	0,78	1,0	3,69	0,0041	1,11	1,06
0,5	1,2	1,4	0,78	1,0	3,69	0,0062	1,51	1,43
0,6	1,2	1,3	0,78	1,0	3,69	0,008	1,71	1,64
0,7	1,2	1,2	0,78	1,0	3,69	0,0138	3,14	3,0
0,8	1,2	1,1	0,78	1,0	3,69	0,02	4,65	4,39
0,9	1,2	1,0	0,78	1,0	3,69	0,0307	7,10	6,70
1,0	1,2	0,9	0,78	1,0	3,69	0,0465	10,8	10,3

те, далекое от равновесия. При диффузионной понообменной динамике, когда образуются заметные градиенты концентраций понов в каждом сечении шихты, мы имеем в объеме жидкости концентрацию C_{Me}^0 , а у поверхности адсорбента — концентрацию C_{Me}^n . Отношение $\frac{\text{C}_{\text{Me}}^n}{\text{C}_{\text{Me}}^0} = \varphi$ может служить мерой влияния диффузионной кинетики на характер динамики хроматографии. Если $\varphi \approx 1$, то с явлениями транспорта можно не считаться. Если $\varphi \ll 1$, то диффузионная кинетика должна учитываться.

В уравнении баланса, являющемся основным уравнением равновесной хроматографии

$$u_0 \frac{\partial c_{\text{Me}}}{\partial x} + \frac{\partial q_{\text{Me}}}{\partial t} + \alpha \frac{\partial c_{\text{Me}}}{\partial t} = 0, \quad (5)$$

концентрация понов C_{Me} — величина, находящаяся в равновесии с адсор-

бентом. При диффузионной динамике, в равновесии с адсорбентом находится концентрация ионов непосредственно у поверхности адсорбента c_{Me}^n , значение которой не может регистрироваться непосредственно. В уравнении баланса концентрация c_{Me} уже не имеет вполне определенного смысла. Для нее нужно брать среднее значение между c_{Me}^0 (концентрация в объеме) и $c_{\text{ср}}$. Чем больше емкость адсорбента и больше градиент концентрации, тем больше $c_{\text{ср}}$ будет отличаться от c_{Me}^0 . Однако надлежит принимать во внимание следующее обстоятельство. Так как изменение концентрации иона происходит за счет адсорбции у поверхности адсорбента, то изменение средней концентрации иона в данном сечении равно изменению концентрации у поверхности адсорбента

$$dc_{\text{ср}} = dc_{\text{Me}}^n. \quad (6)$$

Поэтому уравнение (7) может быть записано так

$$u_0 \frac{\partial c_{\text{Me}}^n}{\partial x} + \frac{\partial q_{\text{Me}}}{\partial t} + \alpha \frac{\partial c_{\text{Me}}^n}{\partial t} = 0. \quad (7)$$

Решение этого уравнения, следовательно, будет иметь тот же вид, что и для равновесной хроматографии (1), с заменой c_{Me} на c_{Me}^n

$$\left(\frac{x}{t}\right)_c = \frac{u_0}{\frac{\partial q_{\text{Me}}}{\partial c_{\text{Me}}^n} + \alpha}. \quad (8)$$

Следовательно, если можно экспериментально определять концентрацию иона непосредственно на адсорбенте, то, зная константу ионного обмена, можно установить и величину c_{Me}^n . В этом случае можно рассчитывать ход движения фронта, не считаясь с диффузионными осложнениями.

Использованная нами методика дает возможность определять по радиоактивному излучению адсорбированное количество ионов. Как показывают табл. 4 и 5, количество адсорбированных ионов превышает количество находящихся в растворе в 10^2 — 10^4 раз; поэтому влиянием радиации ионов, находящихся в растворе, можно пренебречь.

В силу этих обстоятельств совпадение наших экспериментальных данных с расчетными вполне закономерно и не зависит от значения величины c_{Me} .

Таким образом особенности примененной нами методики, позволяющей обойтись при изучении хроматографии без выходных кривых, дают возможность в некоторых случаях более просто подходить к пониманию динамики адсорбции.

ВЫВОДЫ

1. С помощью радиометрического метода изучена вытеснительная ионообменная хроматография ионов Sr^{2+} и Ce^{3+} растворами соляной кислоты различной концентрации.

2. Для начального заполнения обменника на колонке в интервал 10^{-3} — $0,5$ емкости получены кривые распределения концентрации ионов в зависимости от времени и от расстояния от верха колонки.

3. Выведены уравнения движения концентрационных точек по колонке для двух- и трехзарядных ионов.

4. Рассчитаны скорости движения ионов Sr^{2+} и Ce^{3+} по колонке и показано, что расчетные данные хорошо согласуются с экспериментальными.

ЛИТЕРАТУРА

- Ю. Е лов и ч и В. Н. П р у с а к о в, ДАН, 112, 4, 1957.
Ю. Е лов и ч и В. Н. П р у с а к о в, Журн. физ. химии, 31, 1359
V i c k e, Zs. f. Angew. Chem., 19, 15, 1947.
-

STUDIES ON THE CHROMATOGRAPHY OF POLYVALENT IONS BY MEANS OF LABELLED ATOMS

II. DISPLACEMENT CHROMATOGRAPHY OF Sr^{2+} AND Ce^{3+} IONS ON HIGHLY COVERED ADSORBENTS

S. Yu. Elovich and V. N. Prusakov (Moscow)

Summary

The movement of chromatographic zones of Sr^{2+} and Ce^{3+} ions along a column has been studied by a radiometric method. An equation for the movement of concentration fronts along the column has been derived that has been shown to agree with experimental data. It has been shown that over a wide range of coverages in the cationite KU-2 (functional group) the process occurs under conditions close to equilibrium.

ВЛИЯНИЕ ГАЗОВ НА ЭЛЕКТРОПРОВОДНОСТЬ МЕТИЛЕНОВОГО ГОЛУБОГО В ТВЕРДОМ СОСТОЯНИИ

А. Т. Вартамян

Систематическое исследование электрических и фотоэлектрических свойств органических соединений в твердом состоянии начато сравнительно недавно. В наших предыдущих работах [1—4] было показано, что слои многих красителей обладают свойствами полупроводников. За последние годы появились работы, посвященные полупроводниковым свойствам ряда органических соединений [5—40]. В этих работах преимущественно исследовались конденсированные многоядерные ароматические углеводороды в виде прессованных порошков; среди них только нафталин [11], антрацен [12—18], тетрацен [16] и пирен [18] могли быть исследованы в виде монокристаллов. В настоящее время можно говорить о новой группе полупроводниковых материалов — органических полупроводниках.

Влияние газов и паров на электропроводность органических полупроводников еще мало изучено. Нами было показано, что один и тот же газ может оказать противоположное действие, смотря по тому, с каким красителем он взаимодействует. Так, например, кислород обратимо подавляет темновую проводимость кристаллического фиолетового [4], но во много раз увеличивает проводимость фталоцианина магния [2].

Объектом детального исследования влияния газов на электропроводность красителей мы избрали метиленовый голубой. Его электрические свойства были исследованы нами ранее [4]. Метиленовый голубой является типичным красителем, выцветающим в результате восстановления, но обратимо регенерируемым при окислении его лейкооснования. Исследование метиленового голубого представляет, кроме того, значительный самостоятельный интерес благодаря его фотохимическим и индикаторным свойствам.

ЭКСПЕРИМЕНТАЛЬНАЯ ЧАСТЬ

Тонкие слои свободного от хлористого цинка метиленового голубого получали осаждением красителя из спиртового раствора на поверхность кварцевого «пальца» на который предварительно были нанесены два платиновых электрода на расстоянии 1 мм друг от друга. Для получения зеркальных слоев необходимо, чтобы температура поверхности «пальца» была не ниже 100°. После нанесения слоя «палец» вставляли в стеклянную рубашку, присоединенную к высоковакуумной установке с ртутным диффузионным насосом. Конструкция прибора позволяла подвергать слои тепловой обработке в условиях вакуума и в атмосфере различных газов, а также изменять температуру слоя в широком диапазоне: от -180 до 200° [1].

Токи обычно измеряли зеркальным гальванометром чувствительностью $6,3 \cdot 10^{-10}$. При низких температурах слоя (до -50°) токи измеряли с помощью усилителя постоянного тока чувствительностью $2,8 \cdot 10^{-14}$ А.

Свежие слои в течение нескольких часов подвергались предварительной тепловой обработке при 100° для удаления следов спирта, влаги и адсорбированных газов. После такой обработки электропроводность слоя становится стабильной.

Мы исследовали влияние кислорода, водорода, окиси азота, сероводорода и паров воды. Кислород был получен разложением марганцевокислого калия, водород электролитически. Для удаления следов кислорода водород пропускался через колонки с щелочным раствором пирогаллола. Окись азота получали из дифенилнитрозоамины, а сероводород — нагреванием смеси серы и парафина. Все газы были тщательно высушены.

ПОЛУЧЕННЫЕ РЕЗУЛЬТАТЫ И ИХ ОБСУЖДЕНИЕ

Зависимость тока от напряжения в условиях куума. На рис. 1 приведены для одного и того же слоя метиленового голубого, находящегося в вакууме, вольт-амперные характеристики в различных температурах. Как видно из рисунка, линейная зависимость между силой тока и приложенным напряжением хорошо выражается. При комнатной температуре сопротивление исследованного слоя равно $5 \cdot 10^9 \Omega$. Проводность слоев метиленового голубого, как и многих других красителей, зависит от их предыстории. В условиях наших опытов «удельная» проводимость слоя метиленового голубого имела величину порядка $10^{-8} \Omega^{-1} \text{ см}^{-1}$.

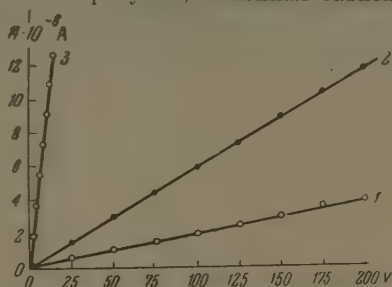


Рис. 1. Вольт-амперные характеристики метиленового голубого:
1 — 21,5°; 2 — 40°; 3 — 100°

Зависимость проводимости от температуры в условиях вакуума. Из рис. 1 видно, что температурный коэффициент проводимости положителен. Мы измерили температурную зависимость проводимости многих десятков слоев метиленового голубого, полу-

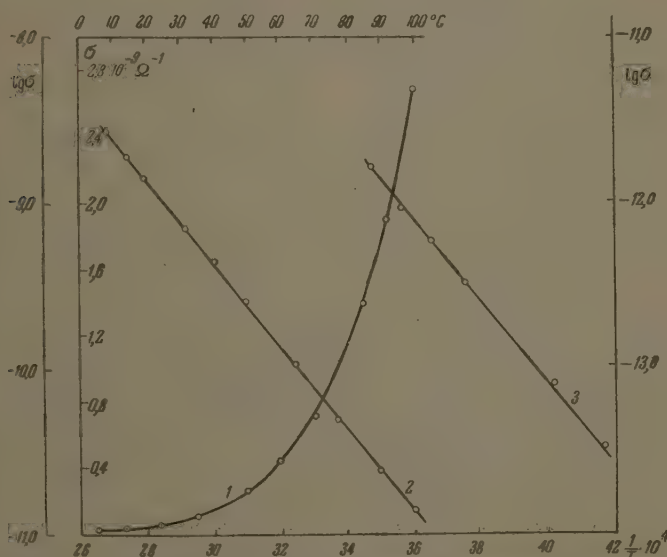


Рис. 2. Температурная зависимость электропроводности метиленового голубого: 1 — в координатах σ и T ; 2 — то же в координатах $\lg \sigma$ и T в интервале от 5 до 100° (левая шкала ординат); 3 — то же, что 2 в интервале от -33 до 15° (правая шкала ординат)

ченных разными способами и обработанных в вакууме при различных температурах в течение более или менее длительного времени. Кривая 1 на рис. 2 является типичной кривой температурной зависимости проводимости и относится к интервалу температур от 5 до 100°. Аналогичная кривая была получена для интервала от -50° до комнатной температуры.

Охватить более широкий диапазон температур в условиях вакуума трудно, так как при температурах выше 100° метиленовый голубой возгоняется с заметной скоростью, а при температурах ниже -50° электропроводность его мала.

Прямая 2 на рис. 2 представляет собой температурную зависимость проводимости в координатах $\lg \sigma$ и $1/T$ по данным кривой 1. Эта же зависимость для интервала от -33 до 15° показана прямой 3, для получения которой был использован усилитель. Из рисунка видно, что прямые 2 и 3 параллельны. Температурная зависимость электропроводности выра-

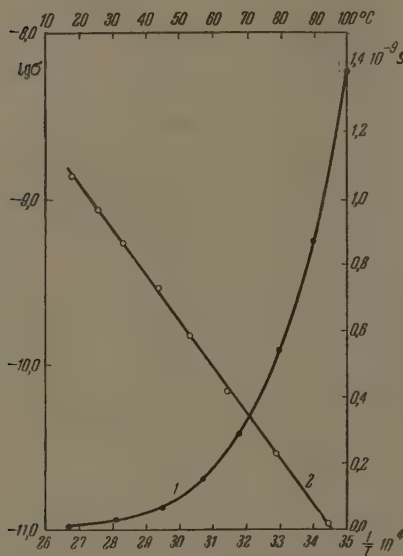


Рис. 3. Температурная зависимость электропроводности тионина: 1 — в координатах σ и t° ; 2 — то же в координатах $\lg \sigma$ и $1/T$

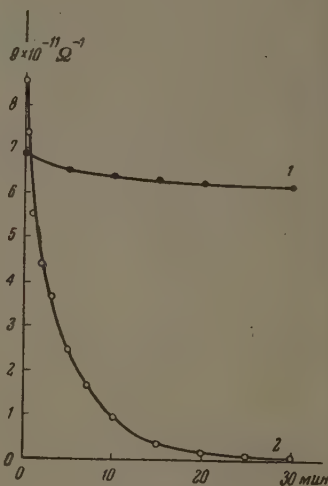


Рис. 4. Влияние кислорода на электропроводность: 1 — метиленовый голубой, $p_{O_2} = 325$ мм, $t = 24^\circ$; 2 — кристаллический фиолетовый, $p_{O_2} = 10$ мм, $t = 24^\circ$

жается формулой $\sigma = \sigma_0 \exp(-E/2kT)$. Энергия активации E не зависит от направления изменения температуры и равна $1,05$ eV. В зависимости от способа получения слоя и условий его тепловой обработки в вакуум энергия активации может изменяться в пределах от $0,92$ до $1,10$ eV. Приведенное нами ранее [4] значение $E = 1,05$ eV находится в указанных пределах. Полученное недавно Гуминским и Романовским [19, 20] значение $E = 0,92 \pm 0,05$ eV близко к значению, полученному нами. Из приведенного упомянутыми авторами рисунка, содержащего зависимость $\lg 1/R$ от $1/T$, следует, однако, что для различных исследованных ими слоев величина E колебалась в пределах от $0,76$ до $1,08$ eV. Для красителя фирмы Мейстер, Луциус и Брюнинг упомянутые авторы получили значения $1,12$ — $1,17$ eV. Величина E зависит от качества вакуума, и если вакуум создается без применения жидкого воздуха, то, как правило, она имеет меньшее значение.

На рис. 3 приведены температурные зависимости электропроводности тионина (фиолетового Лаута) — красителя, родственного метиленовому голубому. Экспоненциальная зависимость проводимости от температуры выполняется, и энергия активации для него равна $1,1$ eV.

Влияние кислорода, окиси азота и водорода на электропроводность. При комнатной температуре кисло-

слабо подавляет проводимость метиленового голубого (рис. 4, кривая 1). Несмотря на сравнительно высокое давление кислорода (325 мм), проводимость слоя падает за 30 мин. всего лишь на 10%, причем дальнейшее падение сильно замедлено. Если при этом принять во внимание, что при комнатной температуре подавление электропроводности кислородом незначительно, то можно утверждать, что кислород слабо адсорбируется на поверхности метиленового голубого. Вообще говоря, кислород может оказывать довольно сильное подавление темновой проводимости красителей. Так, например, электропроводность кристаллического фиолетового в присутствии кислорода при давлении 10 мм падает на 99,5% за 30 мин. (рис. 4, кривая 2) и для восстановления начальной проводимости слоя, помимо откачки, требуется нагревание до 100° . С повышением температуры падение проводимости слоя метиленового голубого под влиянием кислорода значительно ускоряется. В одном из опытов пятичасовая обработка слоя при 100° в присутствии кислорода при давлении 420 мм вызвала падение проводимости почти в 8 раз. Одной из причин такого ускоренного падения проводимости могло быть тепловое разрушение красителя, поскольку было показано [21], что слой метиленового голубого на воздухе в результате нагревания при 100° подвергается необратимому деструктивному окислению. Однако этот процесс крайне медленный и, вероятно, протекает не без участия воды, а потому едва ли он может оказать значительное влияние на величину проводимости. Принимая во внимание тот факт, что откачка кислорода при 100°

почти восстанавливает начальную проводимость слоя, можно предположить, что сухой молекулярный кислород образует с красителем непрочное соединение типа междумолекулярной ассоциации.

Влияние кислорода на метиленовый голубой сказывается не только на величине темновой проводимости, но и на величине энергии активации. Прямая 1 на рис. 5 представляет температурную зависимость проводимости метиленового голубого в условиях вакуума, а прямая 2 представляет ту же зависимость после пятичасовой обработки при 100° в атмосфере кислорода при давлении 420 мм. На этом рисунке по оси ординат нанесены логарифмы величин, пропорциональных проводимости, а именно темнового тока; причем напряжение на слое после обработки кислородом было выбрано таким, чтобы темновой ток при 100° был почти равен току обработки. Для сравнения наклонов прямых ($\lg \sigma$, $1/T$), полученных при различных условиях, такой способ измерения весьма удобен. Для слоя, обработанного кислородом, экспоненциальная зависимость проводимости от температуры сохраняется (рис. 5), но энергия активации равна 1,22 эВ вместо 1,05 эВ в вакууме. Обработка слоя кислородом не очень сильно сказывается и на величине предэкспоненциального множителя σ_0 : если до обработки кислородом (рис. 5, прямая 1) σ_0 имела величину $0,06 \Omega^{-1}$, то после обработки $\sigma_0 = 0,073 \Omega^{-1}$. В результате откачки кислорода и длительной обработки слоя при 100° σ_0 и E постепенно принимают значения, близкие к значениям в условиях вакуума.

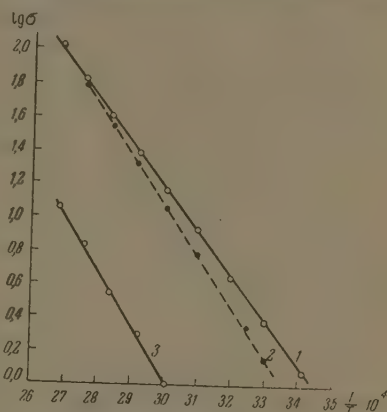


Рис. 5. Температурная зависимость электропроводности метиленового голубого в координатах $\lg \sigma$ и $1/T$: 1 — вакуум, напряжение на слое 27 В; 2 — в присутствии кислорода, $P_{O_2} = 420$ мм, 5 часовая обработка при 100° , напряжение на слое 205 В; 3 — в присутствии окиси азота, $P_{NO} = 8$ мм, обработка при 100° в течение 90 мин., напряжение 205 В; $\lg \sigma$ берется в произвольных единицах

Гораздо энергичнее, чем кислород, на электропроводность метиленового голубого действует окись азота. На рис. 5 прямая 3 представляет температурную зависимость проводимости слоя, в течение 90 мин. обрабатывавшегося при 100° в атмосфере окиси азота при давлении всего лишь 8 мм. Для этого слоя $E = 1,33$ eV. При больших давлениях окиси азота энергия активации, по-видимому, еще больше. Откачка окиси азота только частично восстанавливает начальную проводимость.

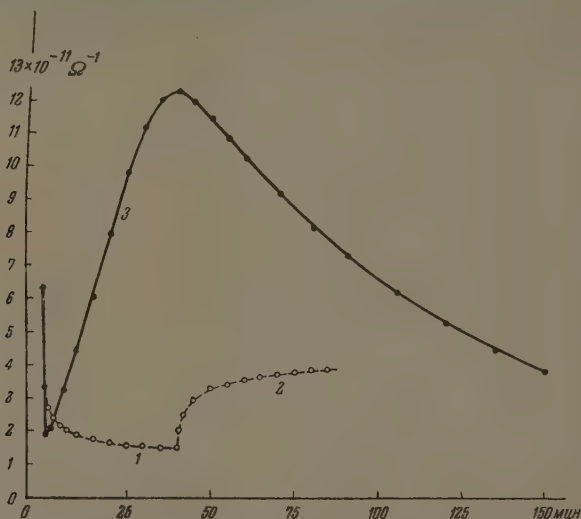


Рис. 6. Влияние сероводорода на электропроводность метиленового голубого при 24° : 1 — $p_{H_2S} = 12$ мм; 2 — действие вымораживания H_2S ; 3 — $p_{H_2S} = 240$ мм

В отличие от кислорода и окиси азота нагревание метиленового голубого в присутствии водорода сопровождается ростом проводимости. В результате энергия активации уменьшается до 0,92 eV, т. е. достигает нижнего предела энергии активации, наблюдаемого в условиях вакуума. Несмотря на уменьшение E , все же невозможно однозначно решить вопрос, изменяется ли энергия активации вследствие взаимодействия красителя с водородом или вследствие более полного удаления посредством водорода адсорбированных газов, подавляющих проводимость.

Влияние сероводорода и паров воды. Сероводород являющийся сильным восстановителем, оказывает значительное влияние на электропроводность метиленового голубого. Даже при комнатной температуре сероводород при давлении в несколько миллиметров резко подавляет проводимость метиленового голубого (рис. 6, кривая 1). В этих условиях вымораживание сероводорода приводит к частичному восстановлению начальной проводимости (рис. 6, кривая 2). При больших давлениях изменение проводимости носит сложный характер. В момент впуска сероводорода ($p_{H_2S} = 240$ мм) наблюдается резкое падение проводимости, аналогичное падению, наблюдаемому при малых давлениях (рис. 6, кривая 2). Однако, спустя примерно 1 мин. после впуска газа начинается рост проводимости. Проводимость достигает максимальной величины, после чего она снова падает. Время, за которое проводимость достигает максимальной величины, зависит от давления газа и толщины слоя. За 20 час. пребывания слоя в атмосфере сероводорода краситель полностью обесцвечивается, а проводимость становится значительно

ние начальной. В этих условиях вымораживание сероводорода не дает роста проводимости. Все эти факты свидетельствуют о том, что метиленовый голубой в присутствии сероводорода претерпевает химическое изменение. Детальными спектрофотометрическими измерениями было показано, что образующееся в этих условиях бесцветное соединение обладает свойствами лейкооснования [21, 22].

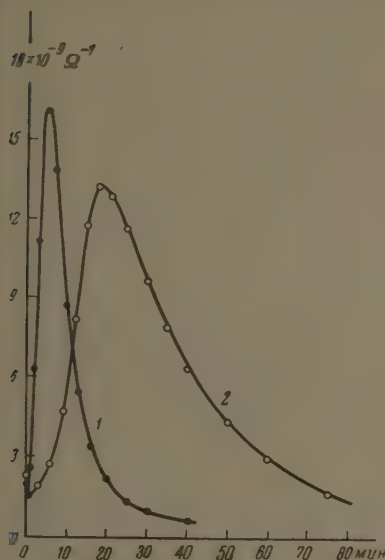


Рис. 7

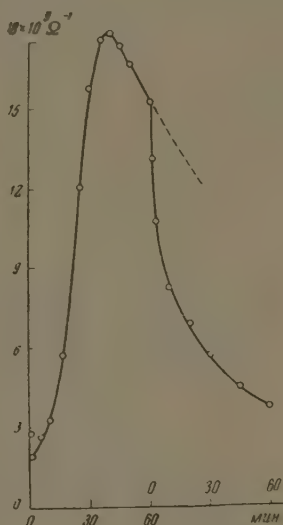


Рис. 8

7. Влияние сероводорода на электропроводность метиленового голубого при 100° : 1 — $p_{\text{H}_2\text{S}} = 40$ мм, напряжение 4 В; 2 — $p_{\text{H}_2\text{S}} = 3$ мм, напряжение 9 В

8. Влияние вымораживания сероводорода на электропроводность метиленового голубого, $p_{\text{H}_2\text{S}} = 2$ мм; напряжение 9 В, температура слоя 100° . Стрелкой указано начало хода электропроводности при вымораживании

С повышением температуры скорость взаимодействия между красителем и сероводородом увеличивается. При 100° подавление проводимости момент выпуска сероводорода незначительное, так как при этой температуре наступает резкий рост проводимости вскоре после выпуска газа.

Для слоев одинаковой толщины время, необходимое для достижения максимальной проводимости, уменьшается с повышением давления сероводорода. При давлениях 0,2 мм (рис. 9, кривая 1), 3 мм (рис. 7, кривая 2) и 10 мм рт. ст. (рис. 7, кривая 1) максимумы проводимости были достигнуты соответственно за 120, 18 и 5 мин. Резкое падение проводимости после достижения максимума объясняется не только более сильным взаимодействием между красителем и сероводородом при 100° , но и тем обстоятельством, что образующееся лейкооснование при температурах выше 80° возмещается с заметной скоростью, вследствие чего уменьшается количество вещества между электродами. Летучестью лейкооснования следует объяснить и тот факт, что при 100° проводимость слоя резко падает, если сероводород выморозить (рис. 8).

Описанный способ получения лейкооснования метиленового голубого распространен нами на ряд тиазиновых, оксазиновых и трифенил-

метановых красителей, и впервые были получены спектры поглощения лейкооснований в твердом состоянии [21—23].

При комнатной температуре изменение электропроводности тионина в присутствии сероводорода в общих чертах совпадает с изменением электропроводности метиленового голубого (рис. 9 и рис. 6, кривая 3). Для тионина подавление сероводородом в момент выпуска газа значительно меньше, чем для метиленового голубого. За 20 час. пребывания тионина в атмосфере сероводорода проводимость слоя падает по отношению к максимальной проводимости всего лишь на 70%, причем слой выцветает незначительно. В аналогичных условиях слой метиленового голубого выцветает полностью. К присутствию сероводорода метиленовый голубой более чувствителен, нежели тионин.

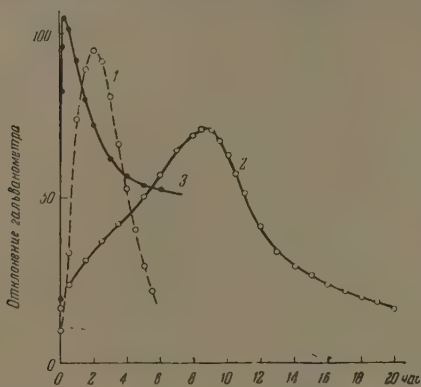


Рис. 9. 1 — влияние сероводорода на электропроводность метиленового голубого при 100° . $P_{H_2S} = 2$ мм., напряжение 9V; 2 — влияние паров воды на электропроводность метиленового при 100° . $P_{H_2O} = 0,2$ мм., напряжение 9V; 3 — влияние сероводорода на электропроводность тионина при 24° , $P_{H_2S} = 240$ мм., напряжение 9V

влияния сероводорода (рис. 10). В то время как при давлении 60 мм максимум был достигнут спустя 25 мин. после выпуска газа, при давлении 5 мм он не был достигнут даже за 6 час. Наличие двух максимумов свидетельствует о протекании нескольких процессов. Максимум, наблюдаемый в момент выпуска газа, вероятно, обусловлен адсорбцией, так как на этой стадии, несмотря на значительное изменение проводимости, выцветания красителя не заметно. Выцветание наблюдается на более поздних стадиях, когда появляется второй подъем проводимости.

Отсутствие двух максимумов на кривых проводимости метиленового голубого, по-видимому, следует объяснить быстрым появлением второго максимума. Чтобы проверить правильность такого предположения, можно сравнить кривые изменения проводимости тионина в сероводороде метиленового голубого в парах воды (рис. 9, кривая 2), поскольку действие паров воды на метиленовый голубой значительно слабее, чем сероводорода. Кривая 2 явно содержит два максимума и имеет отдаленное сходство с кривой для тионина в атмосфере сероводорода (рис. 10, кривая 3). В результате действия паров воды метиленовый голубой при температуре выше 100° выцветает с заметной скоростью. Образующееся при этом бесцветное соединение обладает свойствами лейкооснования [24]. Несмотря на слабое действие паров воды, все же удастся спектрофотометрически обнаружить образование лейкооснования.

Изменения, претерпеваемые метиленовым голубым под влиянием сероводорода, сказываются на величине энергии активации. Для получения

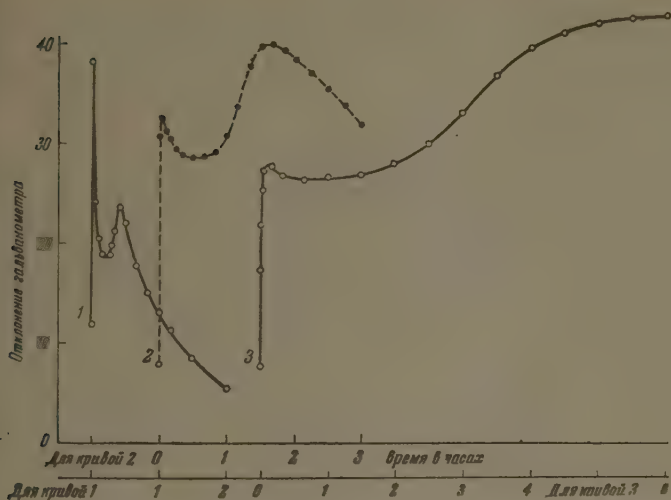


Рис. 10. Влияние сероводорода на электропроводность тионина при 100° и давлениях: 1—60 мм; 2—15 мм; 3—5 мм. Напряжение 10V

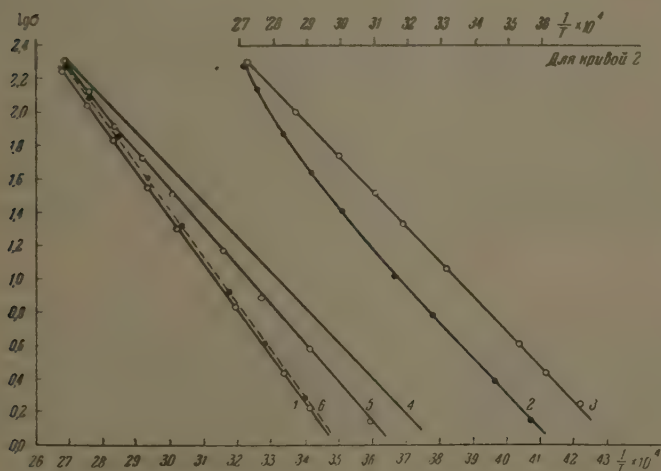


Рис. 11. Температурная зависимость электропроводности в координатах $\lg \sigma$ и $1/T$. 1 — метиленовый голубой в вакууме, напряжение 130V; 2 — бесцветное соединение для диапазона температур от -8 до 95° , напряжение 20V; 3 — то же, что и 2, но для диапазона от -36 до 37° , напряжение 440V; 4 — прямая 3, параллельно смещенная влево; 5 — голубой слой, напряжение 30V; 6 — фиолетовый слой, напряжение 150V; $\lg \sigma$ берется в произвольных единицах.

Все измерения произведены на одном слое

температурной зависимости проводимости продукта выцветания мы ступили следующим образом. Сперва получили температурную зависимость проводимости в условиях вакуума (рис. 11, прямая 1). Затем в реакционный сосуд впустили сероводород при давлении 240 мм и выжили слой при комнатной температуре в атмосфере сероводорода в течение 20 час. За это время краситель полностью переходит в бесцветную форму. После удаления сероводорода снова получили температурную зависимость проводимости бесцветного соединения в условиях вакуума (рис. 11, кривая 2). Как видно из рисунка, температурная зависимость проводимости бесцветного соединения в диапазоне от 95 до 50° не удовлетворяет экспоненциальному закону. Отклонение мы объясняем заметной возгонкой бесцветного соединения в указанном диапазоне температур. Чтобы исключить влияние возгонки, мы получили температурную зависимость проводимости бесцветного соединения в диапазоне от 37 до — 36°. В этом температурном интервале экспоненциальный закон выполняется (рис. 11, прямая 3). Для энергии активации бесцветного соединения было получено значение 0,84 eV. На воздухе бесцветное соединение окисляется, вновь образуется краситель; вначале слой приобретает голубую окраску, затем фиолетовую. Во всех этих стадиях превращения температурная зависимость проводимости слоя подчиняется экспоненциальному закону. Для слоя с голубым оттенком $E = 0,92$ eV (рис. 11, прямая 5), а для фиолетового слоя $E = 1,05$ eV (рис. 11, прямая 6), т. е. совпадает со значением E для исходного слоя метиленового голубого.

В заключение заметим, что полученная для бесцветного соединения энергия активации 0,84 eV представляется очень малой, ибо если исходить из его спектра поглощения, расположенного в ультрафиолетовой области, то следует ожидать значительно большего значения. По-видимому, слой бесцветного соединения, образующегося в условиях наших опытов, представляет собой примесный полупроводник. По этим же соображениям слой метиленового голубого должен рассматриваться как примесный полупроводник или полупроводник со смешанной проводимостью. В пользу такого утверждения говорит и тот факт, что энергии активации метиленового голубого и тионина почти совпадают, между тем поглощение тионина заметно сдвинуто в сторону коротких длин волн по сравнению с поглощением метиленового голубого.

ВЫВОДЫ

1. В условиях вакуума вольт-амперные характеристики тонких слоев метиленового голубого являются прямыми.
2. Температурный коэффициент электропроводности метиленового голубого положительный.
3. Температурная зависимость проводимости метиленового голубого и тионина подчиняется экспоненциальному закону. В условиях вакуума энергии активации для метиленового голубого и тионина равны 1,05 и 1,1 eV соответственно.
4. Кислород и в особенности окись азота подавляют электропроводность метиленового голубого. В результате обработки слоя кислородом окисью азота для энергии активации получены значения 1,22 и 1,33 eV соответственно.
5. Тепловая обработка метиленового голубого в присутствии сероводорода и паров воды сопровождается образованием бесцветного соединения, обладающего свойствами лейкооснования. Для него энергия активации равна 0,84 eV.
6. Бесцветное соединение на воздухе окрашивается и значение энергии активации постепенно приближается к значению для метиленового голубого (1,05 eV).

Величина энергии активации бесцветного соединения (0,84 eV) несколько раз меньше энергии, соответствующей его ультрафиолетовому поглощению. Предполагается, что исследованные слои представляют собой чистые полупроводники.

Поступила
26.VI.1956

ЛИТЕРАТУРА

- A. Т. Вартамян, Журн. физ. химии, **20**, 1065, 1946.
A. Т. Вартамян, Журн. физ. химии, **22**, 769, 1948.
A. Т. Вартамян, Журн. физ. химии, **24**, 1361, 1950.
A. Т. Вартамян, Изв. АН СССР. Серия физич., **16**, 169, 1952.
A. Т. Вартамян, ДАН, **71**, 641, 1950.
H. Akamatsu, H. Inokuchi, Journ. Chem. Phys., **18**, 810, 1950.
H. Inokuchi, Bull. Chem. Soc. Japan, **24**, 222, 1951.
D. D. Eley, G. D. Parfitt, M. J. Perry, D. H. Taysum, Trans. Farad. Soc., **49**, 79, 1953.
B. D. McMichael, E. A. Kmetko, S. Mrozowski, Journ. Opt. Soc. Am., **44**, 26, 1954.
D. C. Northrop, O. Simpson, Proc. Phys. Soc. B., **67**, 892, 1954.
H. Pick, W. Wissman, Zs. f. Phys., **138**, 436, 1954.
H. Mette, H. Pick, Zs. f. Phys., **134**, 565, 1953.
G. J. Goldsmith, Bull. Am. Phys. Soc., **28**, 25, 1953.
A. G. Chynoweth, W. G. Schneider, Journ. Chem. Phys., **22**, 1021, 1954.
A. G. Chynoweth, Journ. Chem. Phys., **22**, 1029, 1954.
A. Bree, D. J. Carswell, L. E. Lyons, Journ. Chem. Soc., 1728, 1955.
D. J. Carswell, L. E. Lyons, Journ. Chem. Soc., 1734, 1955.
H. Inokuchi, Bull. Chem. Soc. Japan, **29**, 131, 1956.
K. Guminski, W. Romanowski, Roczniki Chemii, **28**, 148, 1954.
К. Гуминский, В. Романовский, Бюлл. Польской Академии наук, отд. III, **2**, 487, 1954.
A. Т. Вартамян, Журн. физ. химии, **29**, 1447, 1955.
A. Т. Вартамян, Журн. физ. химии, **29**, 1304, 1955.
A. Т. Вартамян, Журн. физ. химии, **29**, 1555, 1955.
A. Т. Вартамян, Журн. физ. химии, **30**, 424, 1956.

EFFECT OF GASES ON THE ELECTROCONDUCTIVITY OF METHYLENE BLUE IN THE SOLID STATE

A. T. Vartanyan (Leningrad)

Summary

From determinations of the temperature dependence of electroconductivity in vacuum the activation energy of this property was obtained for layers of methylene blue and its products formed on treatment with oxygen, hydrogen, nitrogen oxide, hydrogen chloride and water vapor. Arguments were advanced in favor of the impurity nature of the electroconductivity of the layers studied.

КРИСТАЛЛИЗАЦИЯ АЦЕНАФТЕНА С ОДНО-, ДВУХ- И ТРЕХКОЛЬЧАТЫМИ УГЛЕВОДОРОДАМИ

В. М. Кравченко и И. С. Пастухова

Аценафтен $C_{12}H_{10}$ может быть получен пиролизом смеси паров нафталина с этиленом.

Кристаллы аценафтена относятся к пространственной группе $C_{2v}^{20} = Pmc2_1$, в ячейку с размерами $a = 8,30$, $b = 13,98$, $c = 7,30$ Å включены четыре молекулы; центры атомов углерода в молекуле аценафтена расположены приблизительно в одной плоскости. [1].

Ряд интересных красителей синтезирован с использованием аценафтена [2].

Техническим методом, приводящим, в частности, к получению аценафтена, является коксование каменного угля.

В каменноугольной смоле количество аценафтена $\approx 1,3 - 1,5\%$ [3], что близко к содержанию других основных компонентов [4]: фенантрена 1,6%, карбазола 1,13% и т. д. Для выделения аценафтена из фракции каменноугольной смолы и его очистки важны методы кристаллизации и растворения. Для обоснования последних необходимо знание ряда фазовых диаграмм. Ниже описаны системы аценафтена с 1,2-диметилбензолом, 1,2,4,5-тетраметилбензолом, нафталином, 2-метилнафталином, 2,6-диметилнафталином, 2,7-диметилнафталином, антраценом, фенантреном и флуореном.

В литературе для систем аценафтена с нафталином, фенантреном и флуореном есть или неполные данные (только температура начала затвердевания) [5], или данные значительно отличающиеся от наших, вследствие неточности методики [6, 7]. Кроме того, опубликовано несколько исследований систем аценафтена с нитропроизводными и другими веществами. Обзор этих систем и прогноз ряда неисследованных фазовых диаграмм завершают статью.

СИСТЕМЫ АЦЕНАФТЕНА С ОДНО-, ДВУХ- И ТРЕХКОЛЬЧАТЫМИ УГЛЕВОДОРОДАМИ

Компоненты. Названные выше десять одно-, двух- и трехкольчатых углеводородов были тщательно очищены с использованием перегонки, перекристаллизации из различных растворителей и выдерживания под вакуумом. Они имели следующие температуры плавления: аценафтен $94,9-95,2^\circ$; 1,2-диметилбензол $25,3 (\pm 0,2)^\circ$; 1,2,4,5-тетраметилбензол $79,0-79,1^\circ$; нафталин $80,0^\circ (\pm 0,05^\circ)$; 2-метилнафталин $34,1^\circ (\pm 0,15^\circ)$; 2,6-диметилнафталин $110,0^\circ (\pm 0,1^\circ)$; 2,7-диметилнафталин $97,0 (\pm 0,1)^\circ$; фенантрен $99,2-99,4^\circ$; флуорен $113,9-114,1^\circ$; антрацен $216,5^\circ (\pm 0,1^\circ)$.

Метод исследования. Равновесия жидкость — кристаллы в системах с аценафтенем изучались термическим анализом; сконструированная нами удобная лабораторная установка и детали опытов описаны в [8].

Результаты опытов. Для всех изученных нами систем определялись температуры начала и конца кристаллизации (плавления) рядов специально составленных смесей. Во всех девяти системах установили эвтектический тип фазовых равновесий: найдены координаты эвтектических точек, как правило, хорошо подтверждавшиеся вторыми эвтектическими остановками на кривых температура — время. Экспериментальные данные представлены в сводной табл. 1, соответствующие 9 фазовых диаграмм изображены на рис. 1. Приведем выявленные координаты эвтер-

Таблица 1

Равновесия жидкость — кристаллы в двойных системах аценафтена

Концентрация аценафтена		Температура кристаллизации, °С		Концентрация аценафтена		Температура кристаллизации, °С	
мольный %	мольный %	начало	эвтектика	весовой %	мольный %	начало	эвтектика
Аценафтен — 1,2-диметилбензол				Аценафтен — 1,2,4,5-тетраметилбензол			
100	100,0	95,1	—	100,00	100,0	95,1	—
18	86,4	86,4	—	93,57	92,8	90,5	48
36	75,1	78,5	—28	81,42	79,3	81,3	49
95	63,8	69,5	—28	72,54	69,7	74,2	50
39	51,2	59,0	—28	63,12	59,0	65,7	50,4
8	43,6	51,5	—28	54,80	51,3	58,4	50,4
61	34,7	40,6	—28	50,96	47,5	55,0	50,4
90	26,1	29,0	—28	48,14	44,7	52,5	50,4
05	17,9	14,1	—28	47,25	43,8	51,4	50,4
73	11,4	—2,0	—28	45,75	42,3	50,4	50,4
65	8,3	—12,2	—28	34,16	31,1	58,9	50,4
17	6,5	—19,9	—28	25,67	23,1	65,0	50
76	5,5	—27,8	—27,8	16,44	14,6	71,1	50
25	4,4	—27,0	—27,8	9,34	8,2	74,7	49
25	2,2	—26,5	—27,8	0,00	0,0	79,0	—
00	0,0	—25,5	—	Аценафтен-2-метилнафталин			
—	—	—	—	100,0	100,0	95,1	—
Аценафтен — нафталин				86,24	85,2	85,2	—
0	100,0	95,1	—	79,68	78,4	80,3	19,0
85	89,3	88,6	48	69,73	68,0	72,7	18,3
70	74,3	78,1	49	58,44	56,5	63,8	18,3
58	65,6	71,5	50	49,68	47,6	55,5	18,5
55	55,0	62,5	50,0	40,40	38,5	45,5	18,7
50	45,9	53,8	50,0	33,67	31,9	35,8	18,8
27	41,7	50,0	50,0	29,24	27,6	28,7	18,8
08	39,6	51,8	50,0	24,10	22,7	19,8	18,8
86	34,6	56,0	50,0	22,80	21,2	17,7	17,7
12	28,2	60,9	50,0	20,55	19,3	19,5	17,9
66	15,1	70,1	50	14,96	14,0	24	16
00	0,0	80,0	—	10,65	9,9	27	14
—	—	—	—	0,00	0,0	34,1	—
Аценафтен — 2,6-диметилнафталин				Аценафтен — 2,7-диметилнафталин			
00	100,0	95,1	—	100,00	100,00	95,1	—
34	92,4	90,3	64	89,87	90,00	87,5	61
46	81,7	82,9	65	78,40	78,6	79,7	61,0
34	70,6	75,0	66	64,89	65,2	71,1	60,9
22	63,5	69,7	66,5	57,63	58,0	63,5	60,7
44	59,8	66,5	66,5	54,80	55,1	61,6	60,7
70	56,0	71,2	66,5	52,77	53,1	60,7	60,7
28	49,6	75,8	66,2	50,11	50,4	62,1	60,7
10	37,4	87,0	66	44,48	44,5	67,0	60,7
96	27,2	93,7	65	34,95	35,0	74,1	60,7
24	15,4	101,3	64	24,16	24,4	81,2	61
00	0,0	110,0	—	14,03	14,2	87,8	61
—	—	—	—	9,46	9,6	91,2	61
—	—	—	—	0,00	0,0	97,0	—
Аценафтен — фенантрин				Аценафтен — флуорен			
0	100,0	95,1	—	100,00	100,0	95,1	—
75	90,1	88,8	54	89,05	89,7	88,5	62,2
18	79,8	81,8	55,2	79,41	80,6	82,4	63
36	68,6	73,5	55,3	69,18	70,7	75,0	64,5
35	59,9	65,9	55,5	59,95	61,8	67,7	64,5
50	54,1	61,3	55,8	56,40	58,2	64,6	64,6
—	—	—	—	54,30	56,2	66,1	64,5

Таблица 1 (продолжение)

Концентрация аценафтена		Температура кристаллизации, °C		Концентрация аценафтена		Температура кристаллизации, °C	
весовой %	молярный %	начало	эвтектика	весовой %	молярный %	начало	эвтектика
45,55	49,2	55,8	55,8	45,27	47,2	74,9	64
35,90	38,6	65,6	55,8	36,35	38,1	82,8	63
26,40	29,3	74,5	55,5	24,41	25,4	94,7	63
17,73	19,9	84,2	54	10,39	11,1	106,4	62
0,00	0,0	99,3	—	0,00	0,0	114,0	—

Аценафтен — антрацен

100,00	100,00	95,1	—	67,59	70,6	114,5	88
94,15	94,9	91,2	—	56,76	60,3	161	88
91,86	92,9	89,5	88	48,33	51,6	170	88
90,26	91,4	88,0	88,0	37,56	41,0	183	87
88,21	89,6	95,0	88,0	26,44	29,4	193	86
82,41	84,4	114,3	88,0	15,79	17,8	204	85
77,10	78,4	129,3	88	0,00	0,0	216,5	—

тических точек: температура (t_e °C) и содержание (x мол. %) аценафтена в изученных системах и отметим наблюдавшиеся температуры переохладения (Δt °C) компонентов при кристаллизации из разных смесей в условиях интенсивного перемешивания.

Аценафтен — 1,2-диметилбензол: t_e 27,8°, $x = 5,5$ мол.%; Δt аценафтена 2—3°, Δt 1,2-диметилбензола 5—10°.

Аценафтен — 1,2,4,5-тетраметилбензол: t_e 50,4°, $x = 42,3$ мол.%; Δt обоих компонентов ~2—3°.

Аценафтен — нафталин: t_e 50,0°, $x = 41,7$ мол.%; Δt аценафтена 2—3°, Δt нафталина 1—2°.

Аценафтен — 2-метилнафталин: t_e 17,7°, $x = 21,2$ мол.%; Δt аценафтена 3—4°, Δt 2-метилнафталина ~2°.

Аценафтен — 2,6-диметилнафталин: t_e 66,5°, $x = 59,8$ мол.%; Δt обоих компонентов 2—3°.

Аценафтен — 2,7-диметилнафталин: t_e 60,7°, $x = 53,1$ мол.%; Δt обоих компонентов 1—3°.

Аценафтен-фенантрен: t_e 55,8°, $x = 49,2$ мол.%; Δt обоих компонентов 1—4°.

Аценафтен-флуорен: t_e 64,5°, $x = 58,2$ мол.%; Δt аценафтена; Δt обоих компонентов 1—3°.

Аценафтен-антрацен: t_e 88,0°, $x = 91,4$ мол.%; Δt аценафтена; Δt обоих компонентов ~1—4°.

Расчет теплоты плавления аценафтена. Результаты термического анализа позволили рассчитать скрытую теплоту плавления (растворения) Q кал/моль аценафтена. Калориметрические данные в литературе мы не встречали. Расчет величины Q производили по известному термодинамическому уравнению И. Ф. Шредера [9]: $\ln x = Q/R (1/T - 1/T_1)$. Здесь T °K — температура плавления аценафтена, T_1 °K — температура насыщения раствора с концентрацией x — молей, $R = 1,98$ кал/моль град — газовая постоянная.

По величинам x и T_1 из системы аценафтена с фенантеном получили среднее значение $Q' \approx 4380$ кал/моль; соответственно Q'' аценафтена с флуореном ≈ 4360 кал/моль; наконец, Q''' аценафтена по данным, относящимся к системе с нафталином ≈ 4480 кал/моль. Принимая Q аценафтена, как среднюю величину из указанных результатов 4425 кал/моль.

лизость последних трех систем к идеальному типу может быть легко зана также путем изображения растворимости аценафта в координа-
нх, $10^4/T$: опытные данные хорошо укладываются на прямой линии.

ТИП СИСТЕМ В СВЯЗИ СО СТРУКТУРОЙ ИХ КОМПОНЕНТОВ

Молекулы аценафта и всех вторых компонентов описанных выше
ем можно охарактеризовать плоскими сечениями, так как центры ато-
углерода, образующих их скелеты, располагаются приблизительно в од-
плоскости. Поэтому для объяснения типа систем, образованных такими

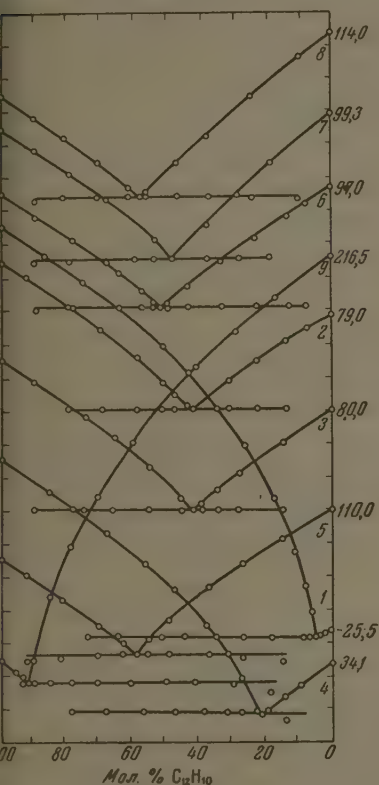


Рис. 1

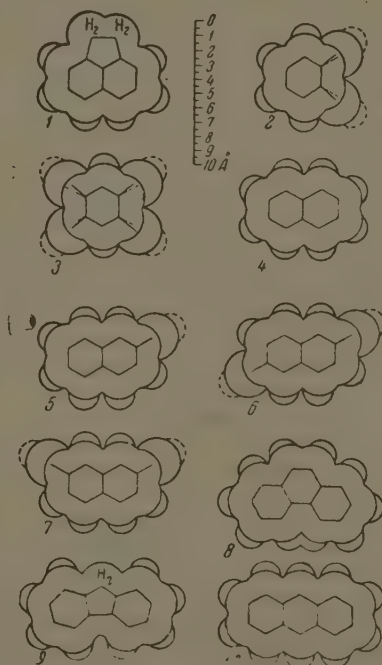


Рис. 2

1. Эвтектические системы аценафта с 1,2-диметилбензолом (1), 1,2,4,5-тетра-
дизиметилбензолом (2), нафталином (3), 2-метилнафталином (4), 2,6-диметилнафталином
2,7-диметилнафталином (6), фенантrenom (7), флуореном (8) и антраценом (9)
2. Разрезы схематических моделей молекул: 1 — аценафтен, 2 — 1,2-диметилбен-
3 — 1,2,4,5-тетраметилбензол, 4 — нафталин, 5 — 2-метилнафталин, 6 — 2,6-дими-
нафталин, 7 — 2,7-диметилнафталин, 8 — фенантрен, 9 — флуорен, 10 — антрацен

молекулам, можно воспользоваться ранее предложенным [10] методом со-
ставления формы и размеров площадей сечения моделей молекул. На
2 изображены схематические сечения моделей молекул — компонентов
исследованных систем. Эти сечения построены в определенном, указанном
рисунке масштабе по структурным данным.

Структурные данные, полученные рентгено-электронно- и спектрогра-
фическими методами различными исследователями для большинства ком-
понентов описанных выше систем, приводятся, например, в [11]. В лите-
туре мы не нашли структурных данных, характеризующих молекулы

1,2-диметилбензола и 2-метилнафталина. Разрезы моделей молекул этих двух веществ приведены на рис. 2 с использованием данных для экспериментально изученных родственных веществ: 1,2-диметилбензола — 1,2,4,5-тетраметилбензолу, 2-метилнафталина — по нафталину. Для большинства моделей молекул были приняты усредненные межатомные расстояния и валентные углы: $C_{ар} - C_{ар} = 1,4 \text{ \AA}$, $C_{ар} - H = 1,08 \text{ \AA}$, $C_{ар} - C_{ал} = 1,54 \text{ \AA}$, $C_{ал} - H = 1,1 \text{ \AA}$, $\angle C_{ар} - C_{ар} = C_{ар} = 120^\circ$, $\angle C_{ар} - C_{ал} = 120^\circ$. Границы внешних контуров сечений моделей молекул на рис. 2 построены на основании межмолекулярных радиусов $R_C = 1,72 \text{ \AA}$ и $R_H = 1,17 \text{ \AA}$.

На моделях молекул 1,2-диметил- и 1,2,4,5-тетраметилбензола пунктиром отмечено влияние взаимного отталкивания соседних метил- (увеличение $\angle C_{ар} = C_{ар} - C_{ал}$ на $\sim 3^\circ$), выявленное экспериментально для 1,2,4,5-тетраметилбензола [12]. Для аценафтена расстояние групп $CN_2 - CN_2$ принято $1,64 \text{ \AA}$ [1]. Атомы водорода в метильных радикалах показаны на рис. 2 условно, пунктиром, так как они лишь частично могут быть изображены в плоскости рассматриваемых сечений молекул. Средний цикл в флуорене принят по опытным данным [13], что дает площадь сечения на $\sim 2 \text{ \AA}^2$ больше, чем ранее.

Площади S разрезов моделей молекул в \AA^2 следующие (± 1 , \AA^2): аценафтена ~ 56 , ортоксилола ~ 44 , дурола ~ 54 , нафталина ~ 50 , 2-метилнафталина ~ 55 , фенаэтрена ~ 66 , флуорена ~ 62 , антрацена ~ 65 , 2,6-диметилнафталина ~ 60 , 2,7-диметилнафталина $\sim 60 \text{ \AA}^2$.

Как установлено нами в предыдущих исследованиях, тип фазовых диаграмм органических систем с участием углеводородов зависит от формы, размеров и свойств молекул компонентов. Описанные выше 9 систем, включающих аценафтен, относятся к эвтектическому типу. Эти экспериментально найденные факты можно объяснить, исходя из различия формы и размеров молекул компонентов, рассматриваемых попарно для каждой из девяти систем. Разрез модели молекулы аценафтена существенно отличается от всех других разрезов на рис. 2. Поэтому сопоставление разрезов моделей молекул только с точки зрения различия их формы уже достаточно для объяснения найденного эвтектического типа рассматриваемых систем; заметим, что в другом (не показанном) разрезе, перпендикулярном приведенному на рис. 2, молекулы всех этих веществ обладают приблизительно одинаковой толщиной ($h \approx 2R_C \approx 3,44 \text{ \AA}$).

Подсчет отношений площадей разрезов моделей молекул компонентов показывает, что в пяти системах площади разрезов молекул компонентов весьма близки $\Delta S \approx 2-7\%$. Если бы молекулы соответствующих пар компонентов обладали значительным сходством формы, то при таких малых величинах ΔS в углеводородных системах могла быть вероятность образования твердых растворов значительных концентраций. В действительности это не наблюдалось именно из-за различия формы молекул.

В остальных четырех системах аценафтена величины $\Delta S = 11-27\%$. Значения $\Delta S > 14-15\%$, как выявлено в предыдущих работах (например в [10]), являются достаточным основанием для возникновения эвтектического типа систем даже в ряду нормальных парафинов. В рассматриваемых системах ароматических углеводородов отличие формы компонентов гораздо большее, чем среди парафинов, поэтому здесь вполне закономерен эвтектический тип фазовых диаграмм.

Таким образом найденный эвтектический тип девяти двойных аценафтеносодержащих систем объясняется как различием формы, так и различием размеров молекул их компонентов.

ОБОЗОР ДВОЙНЫХ ОРГАНИЧЕСКИХ СИСТЕМ АЦЕНАФТЕНА

В предыдущих работах нами были даны обзоры двойных органических систем с участием важнейших ароматических углеводородов: нафталина [14], антрацена [15], фенаэтрена [16] и флуорена [17]. Рассмотрим двойные органические системы, одни-

компонентов которых является аценафтен. Весьма важно систематизировать опубликованные в литературе результаты по основным типам фазовых диаграмм для выяснения связи их с составом и свойствами компонентов. Мы располагаем данными, имеющимися примерно к 50 системам с участием аценафта, из которых девять систем описаны выше. Рассмотрим как полные фазовые диаграммы, так и кривые растворимости аценафта, являющиеся участками таких диаграмм. Фазовые диаграммы и кривые растворимости аценафта собраны на рис. 3—6.

На этих рисунках нет ни одной системы, в которой были бы отражены непрерывные растворы, содержащие аценафтен; в описанных выше результатах наших исследований такие системы также не наблюдались. Отсутствие систем непрерывных твердых растворов с участием аценафта среди исследованных фазовых диаграмм отличает группу систем аценафта от систем нафталина, антрацена, фенантрена и флуорена. Последние четыре ароматических углеводорода, как известно [14—17], являются участниками некоторых систем непрерывных твердых растворов со сходными с ними по структуре ароматическими или гетероциклическими вторыми компонентами.

Системы молекулярных соединений с участием аценафта. На рис. 3 и 4 изображено 15 фазовых диаграмм систем молеку-

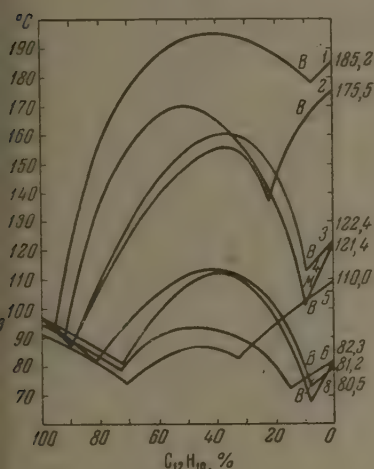


Рис. 3

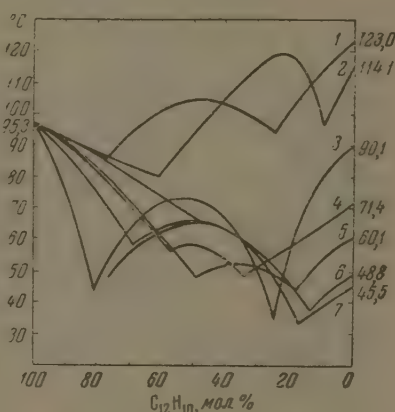


Рис. 4

с. 3. Молекулярные соединения в системах с участием аценафта (M — мол.%, — вес.%). Вторые компоненты: 1 — пикрамид, 2 — стифининовая кислота, 3 — пикриновая кислота, 4 — 1,3,5-тринитробензол, 5 — 2,4-динитрофенол, 6 — 3,5-динитротолуол, 7 — хлорпикрил, 8 — тринитротолуол.

с. 4. Молекулярные соединения в системах с участием аценафта (мол. %). Вторые компоненты: 1 — 2,4,6-тринитробромбензол, 2 — 1,3-нитроанилин, 3 — 1,3-динитробензол, 4 — 3,5-динитробромбензол, 5 — 2,4-динитротолуол, 6 — 3,5-динитрохлорбензол, 7 — 1,2-нитрофенол.

ных соединений с участием аценафта: линии на диаграммах в молярных процентах обозначены буквой M , в весовых процентах — B . Все вторые компоненты, образующие молекулярные комплексы с аценафтом, принадлежат к одной группе — тринитропроизводных бензола, его гомологов или производных. Возникающие в этих системах комплексы характеризуются, как правило, одинаковым молекулярным отношением аценафта ко вторым компонентам 1:1, кроме двух исключений (с динитротолуолами 1:2, и нитроанилином 1:3); вообще говоря, подлежащих проверке. Максимумы первых фазовых диаграмм в большинстве своем достаточно четкие.

Системы с молекулярными комплексами аценафта можно разделить на три подгруппы: а) с тринитропроизводными бензольного ряда: пикрамидом [18], стифинином [19], пикратом [20], тринитробензолом [21], хлорпикрилом [22], тринитротолуолом [21], тринитробромбензолом [23]; б) с динитропроизводными бензольного ряда: динитрофенолом [24], 1,3-динитробромбензолом [23], 3,5-динитротолуолом [25], 3,5-динитробромбензолом [23], 1,3,5-динитрохлорбензолом [23], 2,4-динитротолуолом [23]; в) с моонитропроизводными бензольного ряда: 1,2-оксинитробензолом [23], фторанлином [22].

Отметим признаки молекулярных комплексов ароматических углеводородов с тринитропроизводными бензольного ряда. Здесь много наблюдений сделал Н. Н. Ефремов. Соединения углеводородов с тринитровеществами отличаются значительной проч-

ностью и устойчивостью. В ряду углеводородов наиболее резко выраженными являются соединения аценафтена и затем нафталина. Заслуживает быть отмеченной интенсивная окраска таких соединений, обычно красных или желто-красных тонов, то время как составляющие их компоненты почти или совершенно бесцветны» [18].

В дополнение к этим наблюдениям Н. Н. Ефремова укажем, что и с динитросоединениями бензольного ряда аценафтен и нафталин образуют много комплексов, аналог которых не обнаружены для фенантрена, флуорена и антрацена. В табл. 2 приведены температуры плавления и окраска исследовавшихся нитрокомплексов с учетом работ [18, 23].

Таблица 2

Температуры плавления и окраска молекулярных соединений нитропроизводных бензольного ряда с многокольчатыми ароматическими углеводородами

Нитропроизводные	Углеводороды				
	Аценафтен т. пл. 95°	Нафталин т. пл. 86°	Фенантрен т. пл. 99,3°	Флуорен т. пл. 114°	Антрацен т. пл. 216,5°
Пикрамид	ярко-красное	ярко-желтое	красное	желто-бурое	крово-красное
т. пл. 185,2°	195,4°	168,7°	160,2°	127,5°	158,8°
Стифниновая кислота	желто-оранжевое	золотисто-желтое	оранжевое	буро-красное	рубиново-красное
т. пл. 175,5°	156,0°	165,5°	132,7°	127,5°	176,3°
Пикриновая кислота	оранжевое	желтое	оранжево-красное	оранжев. разлаг.	красное разлаг.
т. пл. 122,4°	160,8°	148°	132,8°	84°	152°
Симм-тринитробензол	170°	150°	125°	105°	163°
т. пл. 121,4°	оранжевое	янтарно-желтое	оранжево-красное	золотисто-желтое	буро-красное разлаг.
Хлорпикрил	113,2°	91,4°	82,4°	64,6°	141,6°
т. пл. 81,2°	114°	95°	87°	87°	98°
Тринитротолуол	86°	91°	—	—	—
т. пл. 80,5°	72°	50°	—	—	—
Динитрофенол	93°	—	—	—	—
т. пл. 110,0°	51°	59°	—	—	—
Динитробензол	—	—	—	—	—
т. пл. 89,4°	—	—	—	—	—
Динитротолуол	—	—	—	—	—
т. пл. 82,3°	—	—	—	—	—
Динитротолуол	—	—	—	—	—
т. пл. 71,0°	—	—	—	—	—

С моносоединениями бензольного ряда единичные случаи комплексобразования найдены в системах аценафтена и антрацена.

Относительно объяснения механизма образования молекулярных нитросоединений важно отметить взгляд Пфейфера, считавшего, что притяжение между реагирующими частями возникает по следующей схеме: нитрогруппы, как имеющие большие дипольные моменты ($\approx 4D$), воздействуют индуктивно на ароматические (ненасыщенные) углеводороды, вызывая их поляризацию. Эта точка зрения была положена Бриглебом в основу работ [26] по теплотам диссоциации и дипольным моментам молекулярных комплексов нитросоединений с соответствующими углеводородами. Бриглеб предложил формулы, объединяющие энергию связи (теплоту диссоциации) q молекулярного соединения с индуктивной энергией и дипольными моментами. Сопоставление его расчетов с опытными данными выглядит, например, следующим образом.

Для соединения 1,2-динитробензол-нафталин q по расчету = 1,8 ккал/моль, а q' по опыту — 1,6 ккал/моль (в растворе CCl_4); для соединения 1,3,5-тринитробензол-нафталин соответственно $q = 2,2$ ккал/моль, а $q' = 3,4$ ккал/моль. Заметим, что опытные данные для энергии связи в комплексах симметричного тринитробензола с фенантреном $\approx 4,0$ ккал/моль, а с антраценом $\approx 4,4$ ккал/моль. Последние три значения удовлетворительно совпадают с величинами поляризуемости углеводородов $\alpha \cdot 10^{28}$ возрастающими от нафталина [18] к фенантрону [26] и антрацену [31].

Величина поляризуемости аценафтена по нашему расчету ≈ 21 , т. е. больше поляризуемости нафталина, но меньше поляризуемости фенантрена или антрацена. К сожалению, мы не имеем calorиметрических данных — энергий связи q для подавляющего большинства молекулярных соединений, перечисленных в табл. 2. Поэтому дальнейшие сопоставления затруднительны.

Эвтектические системы, содержащие аценафтен. В экспериментальной части настоящей работы описано девять эвтектического типа систем с участием аценафта; все вторые компоненты этих систем — ароматические углеводороды: диним бензольным кольцом (1,2-диметил- и 1,2,4,5-тетраметилбензолы), с двумя конденсированными бензольными кольцами, т. е. с кольчатой системой нафталина (мониметилные его гомологи), с тремя конденсированными кольцами (фенантрен, уорен и антрацен).

Эвтектический тип этих девяти систем обсужден выше в связи со структурой молекул компонентов.

На рис. 5 изображено 19 фазовых диаграмм эвтектического типа систем с участием аценафта, вторыми компонентами которых являются производные бензола и его гомологов: 1,2-хлорнитробензол [23], 1,3-бромнитробензол [23]; 1,4-бромнитробензол [3], 1,2-динитробензол [24]; 1,4-динитробензол [24], 1,3-оксинитробензол [24], 1,4-динитробензол [25], 1,4-нитробензальдегид [28], 3,4-метоксиоксибензальдегид (ванилин) [28], 3,4-динитротолуол [25], 2,6-динитротолуол [5], 4,6-динитротолуол [23]; 2,4,6-динитрометаксил [29]; парабензхинон [27], бензил [30], дифенил [31]; производные аценафта: 5-хлораценафтен [31], 5-бромаценафтен [4], 5-йодаценафтен [31].

Эвтектический тип большинства из этих 19 систем может быть легко объяснен с учетом различия структуры молекул и свойств аценафта и вторых компонентов в соответствующих двойных сочетаниях.

Вопрос о том, что некоторые дитропроизводные бензола с аценафтом образуют эвтектические системы, а не молекулярные соединения, настоящей работе мы обсуждению не подвергаем, так как он требует особого рассмотрения.

К эвтектическому типу мы относим кривые растворимости аценафта, являющиеся более или менее значительными участками фазовых диаграмм, изображенных на рис. 6. Вторыми компонентами шести систем здесь являются толуол [32], алифатические спирты — метиловый [27], этиловый [32], пропиловый [2] и бутиловый [32] и хлороформ [32]. Концентрации компонентов на рис. 6 выражены в молярных процентах. Соответствующие кривые фазовых равновесий аценафта с различными растворителями на рис. 6 раздвигают две группы: группа кривых фазовых равновесий аценафта в алифатических спиртах и группа кривых фазовых равновесий аценафта в хлороформе. Объяснение различной растворимости веществ друг в друге, базирующееся на учете их различных физических и химических свойств — образование водородных связей, полярность, внутреннее давление и др. — может быть, естественно, применено для любых эвтектических систем аценафта, включая и участки систем, характеризующиеся линиями растворимости на рис. 6.

Итак, из 50 описанных и обсужденных выше систем с участием аценафта в 15 сочетаниях фазовые диаграммы отражают образование химических соединений, а остальные 35 систем относятся к эвтектическому типу, который является преобладающим.

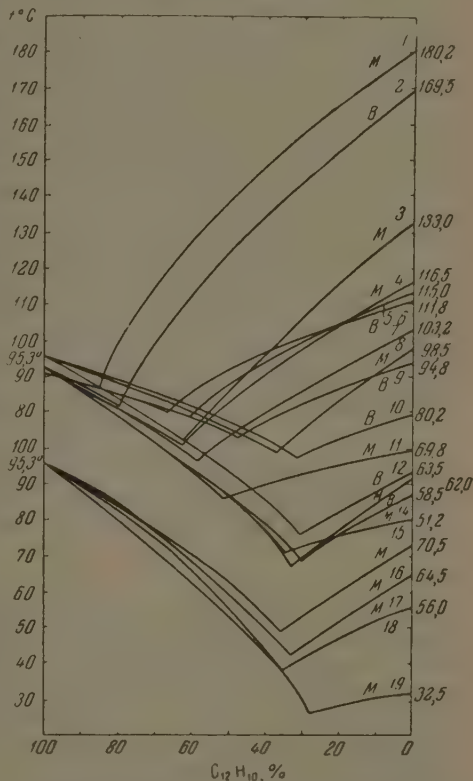


Рис. 5. Эвтектические системы с участием аценафта (В — вес. %, М — мол%). Вторые компоненты: 1 — 2,4,6-тринитрометаксил, 2 — 1,4-динитробензол, 3 — 1,4-бромнитробензол, 4 — 1,2-динитробензол, 5 — парабензхинон, 6 — 1,4-оксинитробензол, 7 — 1,4-нитробензальдегид, 8 — бензил, 9 — 1,3-оксинитробензол, 10 — 3,4-метоксиоксибензальдегид, 11 — 5-хлораценафтен, 12 — 2,6-динитротолуол, 13 — 5-йодаценафтен, 14 — 3,5-динитротолуол, 15 — 5-бромаценафтен, 16 — дифенил, 17 — 4,6-динитротолуол, 18 — 1,3-бромнитробензол, 19 — 1,2-хлорнитробензол.

О прогнозе аценафтенсодержащих систем. Полученные нами экспериментальные данные и обзор опубликованных в литературе результатов позволяют высказать некоторые соображения по вопросу о прогнозе типа фазовых диаграмм систем, содержащих аценафтен.

Тип непрерывных твердых растворов, включающих аценафтен, по видимому, должен представлять большую редкость. В этом отношении весь

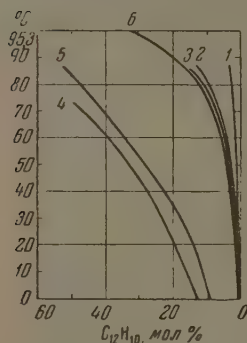


Рис. 6. Кривые растворимости аценафтена (в мол. %). 1 — CH_3OH ; 2 — $\text{C}_2\text{H}_5\text{OH}$; 3 — $\text{C}_3\text{H}_7\text{OH}$; 4 — CHCl_3 ; 5 — $\text{CH}_3\text{C}_6\text{H}_5$; 6 — $\text{C}_4\text{H}_9\text{OH}$

ма интересно изучение системы аценафтен — аце нафтилен, где вероятность образования непрерывного твердого раствора больше, чем во многих других возможных системах (эта система включена в план наших исследований), а также систем аценафтена с продуктами его частичного гидрирования и с 1,8-диметилнафталином.

До сих пор было найдено, что аценафтен образует молекулярные соединения только с различными нитропроизводными (преимущественно содержащими три нитрогруппы) бензольного ряда. Возникновение такого рода комплексов в системах аценафтена с еще неисследованными нитропроизводными бензольного ряда в некоторых случаях вероятно; сочетание соответствующих пар компонентов представляет интерес для опытной проверки.

Эвтектический тип многих неизученных систем с участием аценафтена можно предвидеть для сочетаний его с органическими веществами, обладающими различным составом, структурой, функциональными группами и свойствами. Такой прогноз является следствием общих причин, определяющих возникновение эвтектических органических систем, в частности — отражающих влияние различной структуры молекул компонентов.

ВЫВОДЫ

1. Термическим анализом изучено девять систем аценафтена с одно-, двух- и трехкольчатыми вторыми компонентами. Найден эвтектический тип фазовых диаграмм в системах аценафтена с 1,2-диметилбензолом, 1,2,4,5-тетраметилбензолом, нафталином, 2-метилнафталином, 2,6-диметилнафталином, 2,7-диметилнафталином, фенантреном, флуореном и антраценом.

2. По структурным данным построены разрезы и определены площади сечений схематических моделей молекул компонентов изученных систем, использованные при обсуждении связи типа фазовых диаграмм со структурой составляющих их веществ.

3. По результатам термического анализа рассчитано приближенное значение теплоты плавления Q аценафтена ≈ 4425 ккал/моль.

4. Обсуждено 50 фазовых диаграмм двойных систем с участием аценафтена. Среди них отсутствует тип непрерывных твердых растворов. На 15 фазовых диаграммах отражены максимумы, соответствующие химическим соединениям аценафтена. Большинство известных аценафтенсодержащих систем (35 из 50) относится к эвтектическому типу.

5. Высказаны некоторые соображения относительно возможности прогноза типа неисследованных органических систем с участием аценафтена.

ЛИТЕРАТУРА

1. И. Китайгородский, Журн. физ. химии, **23**, 1036, 1949.
2. Е. Порай-Кошиц, Труды совещания по циклическому сырью, Изд-во АН СССР, 1936, стр. 37.
3. С. Митвиненко и И. М. Ноеалевич с сотр., Кокс и Химия, **3**, 47, 1956.
4. И. П. Карпухин, Труды совещания по циклическому сырью, Изд-во АН СССР, 1936, стр. 53.
5. I. G. Frank, Brennstoff — Chemie, **34**, № 3/4, 36, 1953.
6. О. Ф. Ключко — Жовнир, Журн. прикл. химии, **22**, 1292, 1949.
7. О. Ф. Ключко — Жовнир, Журн. прикл. химии, **21**, 309, 1948.
8. М. Кравченко, Журн. физ. химии, **13**, 133, 1939.
9. И. Ф. Шредер, Горн. Журн., № 12, 272, 1890.
10. М. Кравченко, Журн. физ. химии, **24**, 1033, 1950.
11. И. Китайгородский, Рентгеноструктурный анализ, 1950.
12. Д. М. Робертсон, Успехи химии, **4**, 1935.
13. D. M. Burns, Journ. Iball, Nature, **173**, 635, 1954.
14. В. М. Кравченко, Укр. хим. журн., **19**, 21, 1953.
15. В. М. Кравченко, Укр. хим. журн., **19**, 599, 1953.
16. В. М. Кравченко, Укр. хим. журн., **18**, 473, 1952.
17. В. М. Кравченко, Журн. прикл. химии, **25**, 943, 1952.
18. Н. Н. Ефремов, Изв. ин-та физ. хим. анализа, **1**, 441, 1919.
19. Н. Н. Ефремов, ЖРФХО, **51**, 553, 1919.
20. Н. Н. Ефремов, Изв. ин-та физ. хим. анализа, **1**, 372, 1919.
21. Н. Н. Ефремов, Изв. Петрогр. политехн. ин-та, **28**, 217, 1919.
22. Н. Н. Ефремов, Изв. ин-та физ. хим. анализа, **1**, 422, 1919.
23. Н. Н. Ефремов с сотр., Изв. АН СССР, **30**, 515, 1936.
24. R. Kremann u. Haas, Monatsch. f. Chem., **40**, 189, 1919.
25. R. Kremann, с сотр., Monatsh. f. Chem., **44**, 65, 1923.
26. G. Brigleb, Zs. phys., Chem., (B) **26**, 63, 1934.
27. R. Kremann, с сотр., Monatsh. f. Chem., **43**, 269, 1922.
28. De Fazi, Gazz., **46**, 334, 1916.
29. Н. Н. Ефремов и А. М. Тихомирова, Изв. ин-та физ. хим. анализа, **4**, 1920.
30. Pavlevski, Anz. d. Akad. Wiss., Krakau, **6**, 379, 1893.
31. Crompton a. Walker, Journ. Chem. Soc., **101**, 958, 1912.
32. Peeyers, Am. Journ. Sci., **4**, 294, 1902.

STUDY OF THE CRYSTALLIZATION OF ACENAPHTENE IN ONE-, TWO- AND THREE RING HYDROCARBON SYSTEMS. REVIEW OF ACENAPHTHENE SYSTEMS

V. M. Kravchenko and I. S. Pastukhova (Stalino)

Summary

A study by means of thermal analysis has been made of nine systems of acenaphthene with one-, two- and three ring compounds as second components. For systems of acenaphthene with 1,2-dimethylbenzene, 1,2,4,5-tetramethylbenzene, naphthalene, 2-methylnaphthalene, 2,6-dimethylnaphthalene, 2,7-dimethylnaphthalene, phenanthrene, anthracene and anthracene an eutectic type of phase diagram has been found.

Based on structural data the cross sections have been constructed of molecular models of the components in the systems investigated and the surface areas of these sections determined, the results being used in discussing the connection between the type of phase diagrams and the structure of the components.

The approximate value for the heat of melting Q of acenaphthene calculated from data of thermal analysis ~ 4410 cal/mole.

МЕХАНИЧЕСКИЕ НАПРЯЖЕНИЯ В ЭЛЕКТРОЛИТИЧЕСКИХ ОСАДКАХ ПАЛЛАДИЯ

В. В. Остроумов

До настоящего времени не существует общепринятой точки зрения относительно причин, вызывающих появление внутренних напряжений в электролитических осадках металлов [1—5].

В представленной работе на примере осаждения палладия сделана попытка разобраться в основных закономерностях, связывающих условия электролиза и величину механических напряжений. Применение палладия для этой цели казалось особенно интересным, учитывая способность этого металла поглощать значительные количества водорода и при этом заметно увеличивать свой объем.

ЭКСПЕРИМЕНТАЛЬНАЯ ЧАСТЬ

Методика работы. Существует несколько методов, предложенных для измерения внутренних напряжений в электролитических осадках, и несколько типов приборов контрактометров, с помощью которых осуществляются эти измерения [6—8].

В настоящей работе напряжения определялись по величине отклонения свободного конца гибкого катода, другой конец которого был жестко закреплен. Палладий осаждался только на одну сторону полоски, другая сторона покрывалась тонким слоем изолирующего вещества. Материалом для катодов служили латунь и нержавеющая сталь. Длина катодов 4 см, ширина 0,5 см, толщина 0,1 мм.

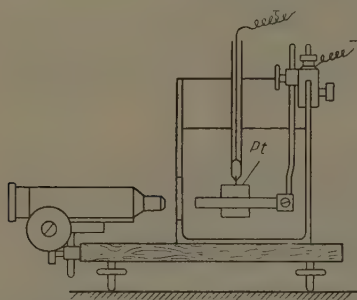


Рис. 1. Лепестковый контрактометр

Латунные полоски перед осаждением палладия очищались тонкой наждачной шкуркой и обезжиривались венской известью. Полоски из нержавеющей стали никелировались короткое время в ванне, содержащей большое количество серной кислоты (50 г/л H_2SO_4 и 150 г $\text{NiSO}_4 \cdot 7\text{H}_2\text{O}$) при большой плотности тока (mA/cm^2). При таких условиях образуется слой никеля, прочно сцепленный с основой из нержавеющей стали. Поверх никеля осаждался слой меди толщиной 0,5 μ из цианистой ванны, получающийся блестящим при относительно низких плотностях тока. Слой меди при дальнейшем осаждении палладия защищал нержавеющую сталь от возможного наводороживания. Одна сторона полосок покрывалась тонким слоем разогретой вакуумной замазки, изготовленной на основе вазелина и каучука. Слой замазки после охлаждения оставался пластичным и не препятствовал изгибу полосок.

Проверочные опыты показали, что при катодной поляризации в 1%-ном растворе щелочи омедненные полоски из нержавеющей стали не изгибаются. Это свидетельствовало о надежности применявшейся методики.

Полоски, укрепленные одним концом в токопроводящем зажиме, помещались в стеклянный электролизер емкостью в 150 cm^3 так, чтобы ребро полоски длиной 0,5 см располагалось вертикально (рис. 1). Сосуд имел плоско-параллельное окошко для наблюдений за перемещением гибкого катода, положение конца которого отмечалось по окулярной шкале горизонтального микроскопа, имеющего увеличение от 50 до 100 \times .

Опыт показал, что полоски из латуни и нержавеющей стали дают одни и те же результаты измерений. Нержавеющая сталь имеет некоторые преимущества, так как она и та же полоска может быть использована много раз.

Осаждение палладия осуществлялось из фосфатной ванны следующего состава: палладия 20—5—1,2 г (металла на литр раствора), фосфата натрия 100 г/л, фосфат аммония 20 г/л, хлористого аммония 25 г/л, водного аммиака до pH=9.

анодом служила платиновая пластинка. Опыты производились при комнатной температуре в покоящемся электролите. Отсчеты положения конца гибкого катода делались и после прекращения электролиза.

В некоторых случаях измерялся потенциал, возникающий при поляризации катода. Для этой цели в сосуд контрактометра помещался электролитический ключ, соединенный с каломелевым электродом. Измеренные потенциалы относились к потенциалу нулевого водородного электрода.

Величины внутренних напряжений рассчитывались по уравнению (см. [4, 8])

$$P = \frac{1}{3} E \frac{d^2 z}{l^3} \left(1 + \frac{E_c}{E} \frac{t}{d} \right), \quad (1)$$

P — внутреннее напряжение в кг, отнесенное на 1 см² поперечного сечения осадка палладия, E и E_c — модули упругости, соответственно, материала полоски и металлического палладия, d — толщина полоски, z — отклонение конца полоски, t — толщина палладия, l — длина полоски.

Модуль упругости принимался равным: для латуни $1 \cdot 10^6$ кг/см², для нержавеющей стали $2,2 \cdot 10^6$ кг/см² и для палладия $1 \cdot 10^6$ кг/см².

Толщина слоя палладия, осаждаемого в конце опыта, обычно не превышала 1 м, поэтому поправочный член в уравнении (1)

$$\left(1 + \frac{E_c}{E} \frac{t}{d} \right)$$

имеет значение от 1,005 до 1,010. Так как точность измерений с контрактометром едва достигает 10%, ошибкой в 0,5—1,0%, вносимой отбрасыванием поправочного множителя, можно было пренебречь. Вследствие постоянства длины, ширины и толщины

используемых полосок расчетные формулы принимали простой вид: для латуни $P = 2,083 \frac{z}{l}$

и для нержавеющей стали $P = 4,583 \frac{z}{l}$.

Результаты экспериментов. Существенное значение имеет определение тех или иных величин внутренних напряжений в осадках палладия имеет выход металла по току.

Данные выхода по току, относящиеся к ваннам, содержащим 20; 5 и 1 г/л палладия, приводятся на рис. 2.

Выход палладия для ванны с 20 г/л палладия близок к 100% в пределах исследованных плотностей тока. Понижение выхода палладия в электролите идет за собой уменьшение выхода по току. В ванне с 5 г/л палладия это понижение наблюдается при плотностях тока, превышающих 1,5 мА/см². В электролите, содержащем 1,2 г/л палладия, выход по току оказывается выше 100% при всех испытанных плотностях тока. Так, для плотности тока 0,5 мА/см² выход палладия, равен 16%; для 2 мА/см² — всего 28%.

Снижение выхода палладия сопровождается усилением параллельно идущего процесса образования водорода.

В тех случаях, когда выход палладия не сильно отличается от 100%, водород остается растворенным в осадке металла и не дает пузырьков на поверхности катода. В таких случаях осаждается компактный, блестящий слой палладия. Если выход палладия заметно ниже 100%, на катоде выделяются пузырьки водорода,

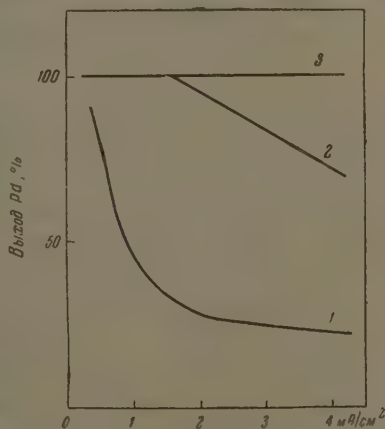


Рис. 2. Выход палладия по току в фосфатных электролитах, содержащих: 1—1,2; 2—5 и 3—20 г/л Pd

и осадок палладия получается матовым. Электролиз, сопровождающийся обильным выделением водорода, приводит к образованию рыхлых, чуждых осадков, напоминающих палладиевую чернь.

Осадки палладия, как правило, обнаруживают стремление к сжатию и слой палладия оказывается расположенным на вогнутой стороне изогнутого катода.

Отклонение конца гибкого катода при электролизе раствора с 20 г/л палладия начинается тотчас, как только включается ток (рис. 3, а). Величины отклонений найдены почти пропорциональными продолжительности прохождения тока или почти пропорциональными толщине слоя палладия*.

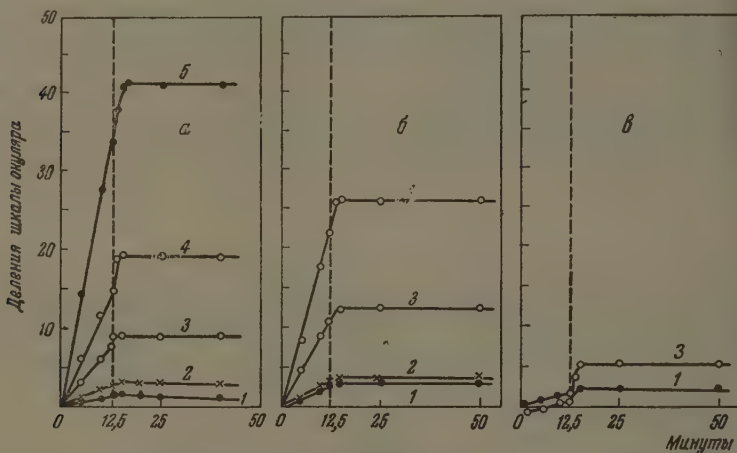


Рис. 3. Отклонение лепестка контрактометра в зависимости от плотности тока и времени электролиза: а — электролит с 20 г/л палладия; б — электролит с 5 г/л палладия; в — электролит с 1,2 г/л палладия. 1 — $i = 0,5$; 2 — $i = 1$; 3 — $i = 2$; 4 — $i = 4$; 5 — $i = 8$ mA/cm^2 .

На рис. 3 вертикальная пунктирная прямая указывает момент, в который производилось выключение тока (через 12,5 мин. после начала электролиза). Замечательно, что при выключении тока изгиб катода самопроизвольно и скачкообразно увеличивается в сторону возрастания сжатия. Это увеличение наблюдается при всех плотностях тока.

После прекращения электролиза, спустя несколько минут, внутренние напряжения достигают постоянной величины, не меняющейся в течение длительного промежутка времени.

Наблюдения, выполненные с электролитом, содержащим 5 г/л палладия (рис. 3, б), дают те же закономерности, которые были отмечены для более концентрированного раствора. Отчетливо видно, однако, что отклонение катода здесь выше, чем в предыдущем случае.

С электролитом, содержащим 1,2 г/л палладия, получены несколько своеобразные результаты (рис. 3, в). При низкой плотности тока ($0,5 \text{ mA}/\text{cm}^2$) кривые напоминают предыдущие данные, но при токе $2 \text{ mA}/\text{cm}^2$ имеются существенные различия. В самом начале электролиза внутренние напряжения имеют знак, противоположный обычному, — осадок расширяется. По мере возрастания толщины слоя палладия расширение постепенно исчезает и осадок начинает испытывать небольшое сжатие. Д

* Одно деление шкалы окуляра отвечает длине в $1,13 \cdot 10^{-2} \text{ см}$; полоски латуни

плотности тока 2 мА/см^2 характерен особенно значительный скачок в сжатии после прекращения прохождения тока. Данные, полученные при различных условиях электролиза и разных электролитах, в том изображении, в котором они представлены, трудно сопоставить между собой, так как толщина слоя палладия на дне разных электролизитов вследствие неодинакового выхода по току. Пересчет результатов, соответственно уравнению (1), величин внутренних напряжений, выраженные в кг/см^2 , что позволяет провести соответствующие сравнения. Рассчитанные величины внутренних напряжений представлены на рис. 4*. Из рассмотрения приведенных рисунков видно, что сжатие в осадках во время прохождения

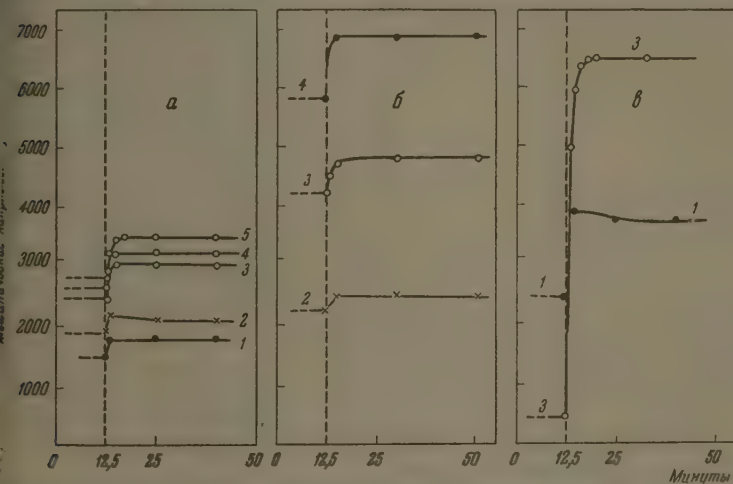


Рис. 4. Внутренние механические напряжения в электролитических осадках палладия до и после выключения поляризующего тока; а — электролит с 20 г/л палладия; б — электролит с 5 г/л палладия; в — электролит с 1,2 г/л палладия. Номера кривых соответствуют обозначениям на рис. 3.

тем выше, чем больше плотность тока. Исключением из этого являются данные, полученные с ванной, содержащей 1,2 г/л палладия. Скачок в увеличении сжатия, наблюдаемый после выключения тока, растет с увеличением применявшейся плотности тока. Причем величины внутренних напряжений, устанавливающиеся к концу наблюдений после окончания тока, тем выше, чем ниже содержание солей палладия в электролите и чем выше применявшаяся плотность тока.

Напряжения, возникающие в осадках палладия, могут достигать тех значений — до 7000 кг/см^2 , которые могут явиться причиной отслаивания палладиевых слоев.

Интересно отметить, что В. С. Иоффе [3] наблюдал в электролитических осадках никеля напряжения в 3500 кг/см^2 . М. Л. Перцовский [4] в электролитических осадках хрома — 6600 кг/см^2 . Таким образом, высокие напряжения не являются особенностью, присущей только осадкам палладия.

Интересно указать, что по данным Ф. Ф. Витмана и Н. И. Давиденко сопротивление на разрыв электролитических осадков хрома лежит

На рисунках не приведены напряжения, появляющиеся в начальный период электролиза, так как из-за погрешностей в оценке небольших толщин палладия они не надежны.

в пределах 5000—6000 кг/см², т. е. вероятные величины внутренних напряжений хрома могут превышать его сопротивление на разрыв. Им же обстоятельством ряд авторов объясняет появление сетки трех образующихся в осадках хрома.

Сопротивление на разрыв электролитически осажденного палладия к сожалению, неизвестно. Для отожженных образцов массивного палладия эта величина принимается равной 2100 кг/см², т. е. она почти в 3 раза меньше, чем напряжения, которые могут возникать в слоях электролитического палладия.

Сопоставление результатов определения выхода палладия по току с данными по внутренним напряжениям позволяет заключить, что высокие внутренние напряжения (вызванные сжатием осадка палладия) велики при условии, когда выход по току для данного электрода значителен.

Совместное выделение палладия и водорода приводит к образованию на катоде осадка, представляющего собой неустойчивую систему, состоящую из водорода и металла с разрывной кристаллической решеткой. Осадок еще во время электролиза начинает распадаться, металл и водород, уходящий за пределы катода. Этим вызывается сжатие твердой фазы и появление внутренних напряжений. Сжатие осадка становится

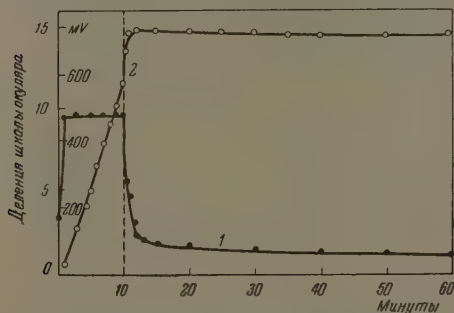


Рис. 5. Отклонение лепестка контрактометра и потенциал поляризации. Электролит с 20 г/л палладия. Плотность тока 4 мА/см²: 1 — потенциал; 2 — механические напряжения

бенно значительным, когда выключается ток и прекращается поставка водорода катоду свежих порций водорода.

Небольшое расширение осадка, обнаруживаемое в электролите с 1,2 г/л палладия в начальный период электролиза при токе 2 мА/см², происходит, очевидно, вследствие того, что на катоде в первый момент выделяется чистый металл. По мере обеднения прикатодного слоя жидкими ионами палладия появляются условия, благоприятствующие разрыву ионов водорода. Образующийся водород растворяется в слое палладия, несколько увеличивает его объем. Однако последующий процесс разрушения неустойчивой системы и отдачи ею водорода в окружающую жидкость вызывает настолько сильное сжатие твердой фазы, что оно перекрывает начальное расширение осадка. В итоге, спустя несколько минут от начала электролиза, расширение осадка прекращается и начинается его сжатие.

Дополнительные сведения относительно процессов, происходящих в осадках палладия, дают измерения потенциала катода. Измерения потенциала в нашем случае производились при доступе кислорода воздуха к электролиту, что вызывало относительно быструю деполяризацию катода после выключения тока.

Электролиз фосфатного палладиевого электролита при токе в 4 мА/см² и при содержании в растворе 20 г/л палладия вызывает появление катодного потенциала поляризации, равного 480 мВ. Эта величина почти не меняется в течение электролиза (рис. 5). После выключения тока наблюдается плавное, сначала быстрое, затем медленное снижение потенциала до величины, существовавшей к началу электролиза.

Внутренние напряжения (кг/см²) при тех же условиях электролиза остаются почти неизменными во время прохождения тока, давая, всегда, скачок после выключения тока.

Интересные результаты были получены при испытании электро-

ающего 1,2 г/л палладия. Электролиз током в 2 мА/см^2 дает потенциал поляризации, равный 680 mV. Прекращение электролиза вызывает снижение потенциала катода до значения 280 mV (участок *a* — *b*). Но вскоре потенциал самопроизвольно увеличивается до 320 mV (участок *b* — *c* на кривой). Далее потенциал снижается до величины, существовавшей в начале электролиза.

Механические напряжения, измеренные одновременно с потенциалом, даны также на рис. 6. Выключение тока приводит, как обычно, к резкому возрастанию сжатия, но затем это возрастание замедляется (участок *B* — *B* на кривой рис. 6). Спустя примерно 20 мин. от перерыва тока внутренние напряжения достигают максимальной величины (точка *Г* на той же кривой). В дальнейшем напряжения меняются мало, сменяя формы кривых сжатия и внутренних напряжений хорошо воспроизводятся.

Следует подчеркнуть, что внутренние напряжения после выключения тока достигают максимальной величины лишь в тот момент, когда потенциал обваливается второе резкое снижение (точки *г* и *Г* на кривой рис. 6).

Наблюдения устанавливали таким образом, существование для свежееосажденного палладия задержек в изменении потенциала и внутренних напряжений. Они свидетельствуют о наличии медленно идущих превращений в осадках палладия, которые сводятся, очевидно, к распаду неустойчивой системы, состоящей из палладия и водорода. Поддерживающийся водород поддерживает потенциал катода на некотором уровне, пока в осадке присутствует неустойчивая фаза. Лепесток контрактометра ведет себя в этом случае, как водородный электрод с значительным запасом водорода в слое палладия.

Время, в течение которого потенциал испытывает задержку, естественно зависит от количества водорода, поглощенного осадком, и от факторов, влияющих на процесс деполяризации катода (содержания кислорода, интенсивности конвекции и перемешивания жидкости и т. п.). Изучение распада неустойчивой системы приводит, во-первых, к прекращению увеличения сжатия осадка и, во-вторых, к достижению потенциала, существовавшего до электролиза.

Из всех пор исследовался катодный процесс осаждения палладия из растворов, представляющих собой электролиты для палладирования. Нам было интересно проследить процесс катодного наводороживания палладия, заранее осажденного на полоску контрактометра и попытаться обнаружить и в этом случае образование неустойчивой фазы, состоящей из палладия и водорода. Опыты по катодному наводороживанию проводились следующим образом.

На одну сторону гибкого катода, подготовленного, как обычно, осаждался бледный слой палладия толщиной в 1 м . Электрод затем переносился в раствор, не содержащий солей палладия, и катодно поляризовался током в 1 мА/см^2 . Перед началом электролиза конец гибкого катода всегда устанавливался на нулевом делении

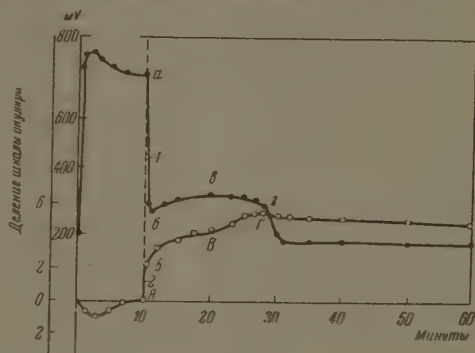


Рис. 6. Отклонение лепестка контрактометра и потенциал поляризации. Электролит с 1,2 г/л палладия. Плотность тока 2 мА/см^2 . 1 — потенциал; 2 — механические напряжения.

шкалы окуляра микроскопа, хотя полоска контрактометра была изогнутой вследствие присутствия на ней напряженного слоя палладия. В экспериментах измерялись одновременно и потенциал и перемещение свободного конца катода. Материал катода — нержавеющая сталь.

Кривая 1 рис. 7 дает результаты наблюдений за потенциалом палладия на полоске контрактометра при поляризации в 1%-ном растворе щелочи. Наводороживание продолжалось 40 мин. Как можно видеть, и здесь по выключении тока потенциал испытывает задержку в своем падении, эта задержка выражена не так четко, как в экспериментах по осаждению

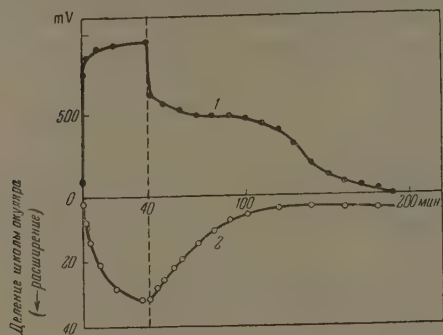


Рис. 7. Отклонение лепестка контрактометра и потенциал поляризации. Электролит—1%-ная едкая щелочь. Плотность тока 1 mA/cm^2 : 1 — потенциал катода; 2 — механические напряжения

палладия, и, кроме того, как показали повторные измерения, она не всегда воспроизводит. На кривой 2 рис. 7 даются отклонения гибкого катода. При наводороживании слоя палладия вызывает расширение осадка. Механические напряжения в слое палладия изменяются при выключении тока, монотонно не обнаруживая остановок. Наводороживание слоя палладия проводилось также в 1%-ном растворе соляной кислоты и в растворе из смеси фосфорных кислот и хлористых солей натрия и аммония, взятых в тех пропорциях, в которых они входят в фосфатную ванну, но без солей палладия. В этом случае оставалось.

Поляризация в щелочи (—950 мВ) выше, чем в фосфатной смеси (—750 мВ) и в растворе соляной кислоты (—200 мВ). Может быть, именно благодаря высокому значению потенциала при поляризации палладия в щелочи возможно было образование в слое палладия некоторого количества неустойчивой фазы палладий — водород и появление остановки на кривой деполяризации (рис. 7).

Таким образом, возникновение неустойчивой фазы палладий — водород протекает много легче при совместном разряде на катоде ионов палладия и водорода, чем при наводороживании ранее сформированного слоя палладия.

Вопросу о существовании в системе палладий — водород особых соединений или фаз внедрения посвящено много работ. Считается установленным, что растворение водорода в металлическом палладии, осуществляемое поглощением водорода из газовой фазы, или электролитическим насыщением палладиевого катода, приводит к появлению так называемых α - и β -фаз. Появление этих фаз сопровождается увеличением объема и изменением других свойств системы (10, 11). Очевидно, при электролитическом совместном осаждении палладия и водорода формируются наиболее богатой водородом β -фазы протекает особенно легко. Это проявляется в существовании четких задержек на кривых деполяризации и кривых изменения механических напряжений после окончания электролиза, обнаруженных в вышеописанных экспериментах.

Автор признателен проф. Самарцеву А. Г. за предложенную тему исследования.

ВЫВОДЫ

Выделяющийся на катоде водород образует с палладием осадок, представляющий собой нестойкую систему, которая разрушается при до-
к катоду кислорода, растворенного в электролите.

Процесс удаления водорода из катодного осадка происходит как во
я электролиза, так и после выключения тока.

Внедрение водорода в кристаллическую решетку палладия протекает
с увеличением объема твердой фазы (образование α - и β -фаз), поэтому уда-
е водорода связано со сжатием осадка. Сжатие осадка вызывает по-
ние внутренних напряжений, часто приводящих к разрывам и отсла-
ию осадка.

Все факторы, вызывающие увеличение относительного количества
зующегося водорода во время электролиза, приводят к возрастанию
ических напряжений в осадках палладия. Пересыщение палладия
родом (образование пузырьков газа при электролизе) приводит к вр-
ому расширению осадка, исчезающему после выключения тока.

Распад системы палладий — водород требует определенного време-
то проявляется в задержках уменьшения величины потенциала и уве-
нения механических напряжений после прекращения электролиза пал-
евого электролита.

Образование нестойкой системы палладий — водород происходит
е при совместном разряде ионов металла и водорода, чем при насыще-
катодным водородом ранее сформированного слоя палладия.

Механические напряжения сжатия в осадках палладия могут до-
ать величины 7000 кг/см^2 .

Поступила
30.VI.1956

ЛИТЕРАТУРА

- outty, Compt. Rend., 88, 714, 1879; 92, 868, 1881; Journ. Phys., 8, 1879.
C. Kohlschütter, Trans. Am. Electrochem. Soc., 45, 229, 1924.
C. Ноффе, Усп. химии, 1, 1944; Lenard—Jones, Zeit. Kristallogr., 75,
15, 1930; Proc. Roy. Soc., 121, 247, 1928.
И. Архаров и С. А. Немнов, Журн. техн. физики, 8, 1089, 1938;
С. А. Немнов, Журн. техн. физики, 18, 239, 1948; М. И. Перцовский,
ристое хромирование, Машгиз, 1949; Ш и ш к и н, Журн. прикл. химии, 3,
5, 1930; C. A. Snively, Trans. Am. Electrochem. Soc., 92, 537, 1947.
C. Kohlschütter, F. Jakober, Zeit. Elektrochem., 33, 290, 1927.
J. Mills, Proc. Roy. Soc. 26, 504, 1877.
G. Stoney, Proc. Roy. Soc. A 82, 172, 1909.
Brenner, S. Senderoff, Journ. Research Nat. Bur. Stand., 42, 89,
949.
Ф. Витман и Н. И. Давиденков, Заводск. лаб., 9, №9, 843, 1945.
Мишель, Усп. химии, 8, 1830, 1939.
Н. Фрумкин, П. Аладжалова, Журн. физ. хим., 18, 493, 1944.

MECHANICAL STRESSES IN ELECTROLYTIC PALLADIUM DEPOSITS

V. V. Ostroumov (Leningrad)

Summary

Internal mechanical stresses in electrolytic palladium deposits were studied by ob-
serving the bending of the free end of a flexible cathode. The stresses were expressed in
kg/cm².

Mechanical stresses in palladium deposits were found to depend upon the condition
of electrolysis and the composition of the phosphate electrolyte.

Palladium depositing on the cathode together with hydrogen forms an unstable so-
lution phase that decomposes already during the process of electrolysis and, especially, after
suspension.

The appearance of mechanical stresses in palladium deposits is associated with the
formation of embedded phases of the metal and hydrogen.

The internal mechanical stress of palladium deposits may attain a magnitude of
 7000 kg/cm^2 , which often leads to the formation of cracks in the deposit and to its peeling
from the basis metal.

КИНЕТИКА ТЕРМИЧЕСКОЙ АКТИВАЦИИ И ДЕЗАКТИВАЦИИ ПЛАТИНОВЫХ КАТАЛИЗАТОРОВ

А. А. Лопаткин, Ж. В. Стрельникова и В. П. Лебедев

В результате изучения зависимости каталитической активности от температуры предварительного прокаливания платиновой черни [1] и дисорбционных (платина на силикагеле) катализаторов [2] было показано, что активность весьма сложно зависит от температуры прогрева. Конкурирующие процессы активации и дезактивации приводят к возникновению резких максимумов и минимумов активности с изменением температуры. В узком интервале температур ($20-30^\circ$) резко уменьшается или возрастает количество активной фазы. Возникает вопрос, определяются ли эти изменения кинетикой процессов возникновения и исчезновения каталитически активной фазы или при изменении температуры прокаливания система каждый раз переходит в состояние термодинамического равновесия.

Ответ может быть получен при наличии данных по изменению активности со временем прокаливания при постоянной температуре. Если по определенному времени прокаливания достигается постоянное при дальнейшем прокаливании не меняющееся значение активности между каталитически активными и неактивными составными частями системы, наступает состояние равновесия. Наоборот, если при достаточно длительном прогреве постоянного предельного значения активности не достигается, система находится в нестационарном (по отношению к равновесию между активными и неактивными компонентами) состоянии.

Получению экспериментального материала в этом направлении посвящена настоящая работа. В качестве объекта исследования были взяты платиновая чернь и платина на силикагеле. Контрольным для испытания активности процессом являлось разложение перекиси водорода. Приготовление активных образцов, термическая обработка и испытание активности проводились по ранее описанной методике [1, 2].

ПЛАТИНОВАЯ ЧЕРНЬ

Ранее было показано [1], что кривая «спекания» платиновой черни в координатах активность — температура прокаливания (время прокаливания 2 часа) распадается на два различных по характеру участка: первый примерно до 280° состоит из острых максимумов и минимумов, во втором время как на втором участке наблюдается более или менее плавный спад активности с увеличением температуры прокаливания.

Для изучения зависимости «спекания» от времени были выбраны три температуры: 200° — область резкого изменения каталитической активности с температурой и 350 и 450° — область довольно плавного спада активности.

Результаты исследования, приведенные на рис. 1, показывают, что в зависимости от выбранной температуры имеются два отличных типа изотерм активности — время прокаливания. Снятая при 200° изотерм каталитической активности дает ряд максимумов и минимумов, причем при некоторых временах активность, в согласии с предыдущими наблюдениями, превышает активность исходной, непрокаленной черни. Никакой тенденции к достижению постоянного значения активности не обнаружи-

я. По-видимому, мы находимся здесь в области нестационарных активирующих и дезактивирующих процессов, конкуренция между которыми приводит к резкому изменению активности катализатора.

Изотермы, снятые при 350 и 450°, дают резкий спад с достижением предельного постоянного значения, которое уже не меняется при увеличении времени прокаливания. Это постоянное значение достигается меньше чем за час прокаливания и наступает, по-видимому, состояние равновесия между активной и неактивной фазами катализатора: активность не может быть повышена только за счет увеличения времени спекания ниже определенной, постоянной для данной температуры, величины. Заметим, что уровни постоянной активности количественно согласуются со значениями активности на изохроне спекания [1], полученной для другого образца платиновой черни при двухчасовом прокаливании.

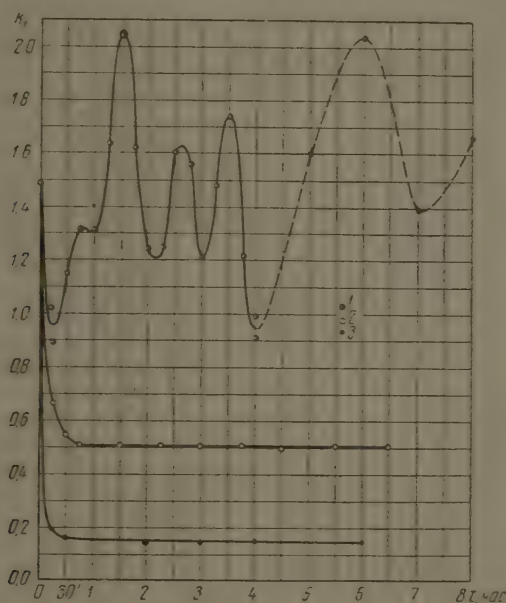


Рис. 1. Зависимость каталитической активности платиновой черни от времени прокаливания.

1—200°, 2—350°, 3—450°

Пока не достигнут стационарный уровень активности, при малых временах прокаливания (до 45—60 мин.), обе изотермы (350 и 450°) плавно спадают, давая кинетическую картину, по-видимому, лучше всего описываемую уравнениями первого порядка. Соответствующие константы дезактивации платиновой черни оказываются равными 12,2 час⁻¹ при 350° и 4,3 час⁻¹ при 450°. Грубый расчет, произведенный по двум точкам, дает ориентировочное значение энергии активации процесса дезактивации платиновой черни, равное 1400 кал/моль активных центров.

Таким образом в случае платиновой черни имеется соответствие между характером изменения активности с температурой и кинетикой процесса спекания. С повышением температуры прокаливания осуществляется переход из области нестационарных состояний в область достижения устойчивых равновесных состояний и вместе с тем процесс спекания приближается к простому плавному спаду активности с температурой. Следо-

вательно, полученные в работе [1] резкие колебания активности в интервале $100-280^\circ$ связаны с нестационарностью процессов перехода платины из каталитически активного состояния в неактивное и обрат.

АДСОРБЦИОННЫЕ КАТАЛИЗАТОРЫ

Зависимость активности от времени прокаливания была изучена для шести адсорбционных — платина на силикагеле — катализаторов с разными заполнениями 0,001; 0,0038, 0,025; 0,040 (500°) и 0,035 (350 и 590°).

На рис. 2 показана зависимость активности от времени прокаливания для катализатора 0,035 при двух температурах. По характеру полученной зависимости, сравнивая с результатами по платиновой черни, можно заметить, что поведение адсорбционного катализатора аналогично поведению платиновой черни в нестационарной (низкотемпературной) области.

Различие в температуре (350 и 590°) существенно сказывается на

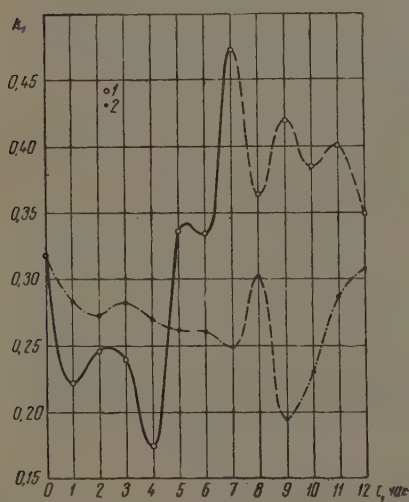
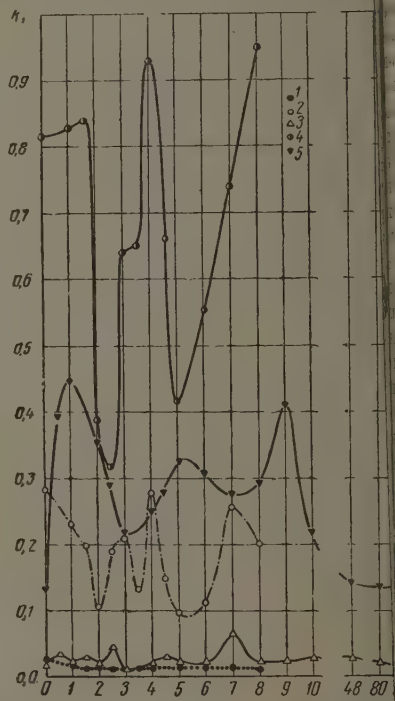


Рис. 2. Зависимость каталитической активности платины на силикагеле (0,035) от времени прокаливания. 1— 350° , 2— 590°

Рис. 3. Зависимость каталитической активности платины на силикагеле от времени прокаливания при 500° при разных степенях заполнения. 1—0,001, 2—0,0038, 3—0,0038, 4—0,025, 5—0,040



ходе зависимости, но какие-либо общие для изотерм закономерности заметить трудно, кроме однотипности характера кривых. Заметно лишь, что при более высокой температуре активность меняется значительно менее резко, не более чем в 1,5 раза, в то время как при 350° общий размах активности больше, например активность при четырехчасовом прокаливании почти в 3 раза меньше активности при семичасовом прокаливании. Таким образом повышение температуры несколько умеряет эффективность чередующихся процессов термической активации и дезактивации, хотя изотермы все же сохраняют явно нестационарный характер.

На рис. 3 приведены изотермы активности при температуре предварительного прокаливания 500° для катализаторов с различным содержа-

м платины. За исключением самого разбавленного катализатора (1), который практически не изменял активности с прокаливанием, в интервале времени прокаливания до 10 час., полученные изотермы явно вытекают на нестационарность явления. Лишь значительные времена непрерывного прокаливания (48 и 80 час.), по-видимому, привели катализаторы 0,0038 и 0,040 в стационарное состояние. Интересно при этом, что для обоих катализаторов установившаяся при многочасовом прокаливании активность весьма близка к исходной. Возможно, как и при «высокотемпературном» (350 и 450°) прокаливании платиноносителя, активность адсорбционного катализатора в концевых (при длительном прокаливании) доходит до значения, соответствующей равновесному состоянию аналогичного образца. Существенно при этом, что в отличие от «стационарной» активности адсорбционного катализатора заметно не снижается по сравнению с исходной. Для катализаторов с разными степенями заполнения можно заметить некоторую однотипность в ходе изотерм. Так, образцы со степенями заполнения 0,0038 и 0,0050, несмотря на разный размах активности, имеют три почти совпадающих максимума во времени прокаливания (2,5—3; 4—4,5; 6—7 час.). Наибольшие изменения активности показывает самый активный катализатор 0,025; тем не менее, по-видимому, чем выше каталитическая активность, тем резче изменения активности при изменении времени прокаливания адсорбционного катализатора.

На рис. 4 в координатах активность — степень заполнения нанесены кривые, полученные при различных временах прокаливания. Как видно, кривые имеют одинаковый характер и проходят через максимум при $\alpha \approx 0,025$. На том же рисунке для сравнения приведена кривая (в основном масштабе), показывающая полученную нами ранее [3] зависимость активности от степени заполнения для катализатора платина на силикагеле. Общий ход кривой лежит в границах размаха полученных кривых, хотя точек на изохронах (по степени заполнения) недостаточно для детального сопоставления.

Полученные данные позволяют еще раз уточнить действие носителя, стабилизирующее каталитическую активную фазу. Носитель, во-первых, препятствует протеканию процесса дезактивации до стационарного при данной температуре состояния — ни один из исследованных при 500° адсорбционных катализаторов не показывает при прогреве столь отчетливого для платины при 350 и 450° спада активности. Их поведение аналогично поведению платины при 200°, т. е. в нестационарной области изменения активности.

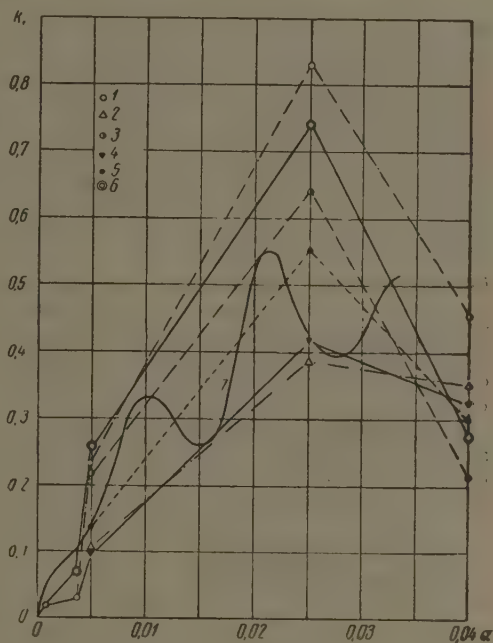


Рис. 4. Изохроны каталитической активности — степень заполнения для платины на силикагеле. Время прокаливания: 1—1 час, 2—2 часа, 3—3 часа, 4—5 час., 5—6 час., 6—7 час. (7— зависимость активности от степени заполнения по [3].

При больших временах прокаливания (48 и 80 час.), по-видимому, все же происходит стабилизация, но не на пониженном (как у черной платины) на практически равном исходному уровне активности. Самый разбавленный катализатор (0,001) вообще не меняет своей активности со временем прогрева, которая неизменно остается на уровне активности исходного катализатора.

ВЫВОДЫ

1. Изучено изменение каталитической активности платиновой черной платины на силикагеле в зависимости от времени предварительного прокаливании при постоянной температуре.

2. Для платиновой черной обнаружены две области, характеризующиеся существенно различной кинетикой спекания катализатора: при температуре 200° изотерма активности имеет несколько максимумов и минимумов, значительно больших или меньших исходной активности; при больших температурах (350 и 450°) активность резко падает (кинетически, видимо, по первому порядку) при прокаливании, после чего не восстанавливается, оставаясь при данной температуре постоянной.

Этот результат согласуется с ранее полученной зависимостью между активностью и температурой прокаливании.

3. Для адсорбционных катализаторов (платина на силикагеле) обнаружены при не слишком больших временах прокаливании (до 12 часов) лишь нестационарный тип изотерм; они, по-видимому, показывают, при малых степенях заполнения (0,001), постоянство исходной активности независимо от времени прокаливании.

4. Носитель препятствует развитию термической дезактивации катализатора; при больших временах прокаливании активность адсорбционных катализаторов, после подъемов и спадов в начале термической обработки, становится близкой к исходной.

Московский государственный
университет
им. М. В. Ломоносова

Поступила
2.VII. 1956

ЛИТЕРАТУРА

1. Ж. В. Стрельникова, А. А. Лопаткин и В. П. Лебедев, Журн. физ. химии, 30, 196, 1956.
2. Ж. В. Стрельникова, А. А. Лопаткин и В. П. Лебедев, Журн. физ. химии, 30, 639, 1956.
3. А. А. Лопаткин, В. И. Шехобалова и В. П. Лебедев, Журн. физ. химии, 28, 2222, 1954.

THE KINETICS OF THE THERMAL ACTIVATION AND DEACTIVATION OF PLATINUM CATALYSTS

A. A. Lopatkin, Zh. V. Strel'nikova and V. P. Lebedev (Moscow)

Summary

The change in catalytic activity in the decomposition of hydrogen peroxide by platinum black and platinum on silicagel was studied in relation to the time of preliminary heat treatment of the catalyst at constant temperatures.

It was shown that depending upon the temperature interval, in the case of platinum black, a stationary type (350—450° C) and a non-stationary type (100—280° C) kinetic activity isotherms are formed. In the case of stationary type of isotherms the system was assumed to attain a state of equilibrium between catalytically active and inactive components.

In the case of adsorption catalysts only non-stationary types of isotherms have been found, showing that the carrier hinders the thermal destruction of active centers and allows them to be kept in «over-equilibrium» amounts.

ВЛИЯНИЕ КИСЛОРОДА НА РАБОТУ ВЫХОДА ЭЛЕКТРОНА
ИЗ ОКСИ МЕДИ

В. И. Ляшенко и И. И. Степко

В предыдущей статье [1] было показано, что вследствие прогрева в атмосфере газа тонких слоев окиси меди изменялись проводимость и работа выхода электрона. Исследование, показавшее некоторые интересные особенности, было проведено также и в условиях каталитической реакции. При прогреве образцов окиси меди после выпуска газов происходил процесс адсорбции, так, возможно, и процесс диффузии. Наблюдаемым изменением работы выхода и проводимости, возможно, было обусловлено обоими процессами. С целью выяснения роли каждого из них предпринималось изучение изменения работы выхода по времени при различных температурах.

ЭКСПЕРИМЕНТАЛЬНАЯ ЧАСТЬ

Образцы окиси меди прогревались несколько часов при температуре около 200°C в высоком вакууме ($\sim 10^{-6}$ мм рт. ст.). Это состояние образцов принималось за начальное*. Образцы подогревались до температуры опыта и производилось измерение электропроводности и контактной разности потенциалов, по которой определялась работа выхода электрона. Потом выпускался испытуемый газ, перегретый выше температуры, назначенной для проведения опыта, настолько, что после расширения температура образцов была равна назначенной. Контактную разность потенциалов и электропроводность измеряли сразу же после выпуска газа и через некоторые промежутки времени. Измерения велись до тех пор, пока не обнаруживалось насыщение.

Для осуществления указанной методики мы воспользовались виброметром с солом, подобным тому, который был описан в предыдущей статье [1]. Кроме того, к нему был припаян змеевик и резервуар с газом, подогреваемый печью до соответствующей температуры. Было выяснено, до какой температуры нужно подогревать газ, чтобы при впуске его в резервуар получить почти неизменившуюся назначенную температуру образцов. Образцы окиси меди, применяемые для этого исследования, были приготовлены следующим образом. На стеклянные пластинки размером 14×10 мм испарением в вакууме наносился слой меди, толщиной около 1μ ; он окислялся в воздухе в печи при температуре $350-400^{\circ}\text{C}$. Полученная толщина слоя окиси меди была около 2μ .

Вначале были произведены измерения по описанной выше методике при комнатной температуре как в вакууме, так и в газе. Затем такие же измерения были проделаны в газах, перегретыми до $70-80^{\circ}$, $110-120^{\circ}$ и $190-200^{\circ}\text{C}$.

В качестве примера на рис. 1 приведены полученные результаты измерений. На рис. 1 изображен ход изменения контактной разности потенциалов со временем пребывания образцов в атмосфере кислорода при 20° , 116 и 190°C . Как видно, при первых трех температурах в начальный момент опыта происходит заметное снижение работы выхода электрона, которое уменьшается со временем и тем скорее, чем выше температура. Со временем пребывания образцов окиси меди в атмосфере газа изменяется и проводимость. В первый момент при адсорбции она уменьшается, а в дальнейшем, с течением времени, она увеличивается, стремясь к определенному значению. Чем выше температура опыта, тем процесс происходит быстрее. Пример изменения тока в одном из образцов окиси меди при адсорбции кислорода приведен на рис. 2. При откачке газа мы всегда наблюдали резкое увеличение тока с дальнейшим спаданием его к начальному (в вакууме) значению.

* При измерении отдельных циклов образцы каждый раз для сравнения возвращались к этому же состоянию.

ОБСУЖДЕНИЕ РЕЗУЛЬТАТОВ

Ход кривых рис. 1 и 2 показывает, что после впуска кислорода изменение во времени работы выхода электрона и проводимости окиси меди обусловлено двумя процессами. Первый процесс происходит быстро и приводит к резкому уменьшению работы выхода и проводимости окиси меди, второй же протекает медленно и вызывает постепенно нарастающее повышение и работы выхода, и проводимости. При повышении температуры возрастание этих величин происходит быстрее.

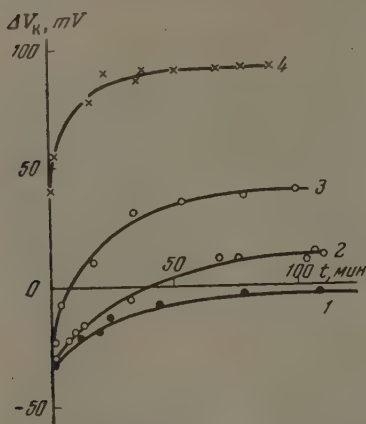


Рис. 1. Изменение контактной разности потенциалов окиси меди со временем в атмосфере кислорода при различных температурах. Кривые: 1—20; 2—90; 3—116 и 4—190°C

Первым процессом является адсорбция молекул, которая, как известно, вызывает понижение работы выхода электрона и проводимости [2]. Действительно, уменьшение работы выхода из окиси меди при адсорбции вполне соответствует ранее установленным нами фактам. Окиси меди является дырочным полупроводником; при адсорбции газа изменяется заполнение поверхностных уровней в сторону уменьшения отрицательного поверхностного заряда, что при комнатной температуре вызывает понижение работы выхода и уменьшение проводимости. При уменьшении работы выхода при адсорбции можно заключить об изменении заполнения поверхностных уровней [3]. Воспользуемся уравнением [4]

предположив, что начальный изгиб зон отсутствует или очень мал:

$$\frac{kT\kappa}{e} (e^{\varphi/2kT} - e^{-\varphi/2kT}) = \frac{4\pi}{\epsilon} \Delta N,$$

где κ — обратная длина экранирования; k — постоянная Больцмана; φ — изменение работы выхода; ϵ — диэлектрическая постоянная; ΔN — изменение заполнения поверхностных уровней.

Сделаем подсчет на основании данных кривой 2 рис. 1. Уменьшение работы выхода вследствие адсорбции $\varphi = 30$ mV. Величину κ подсчитаем таким образом. Проводимость наших образцов при 90°C $\sigma = 1,9 \cdot 10^{-4} \Omega^{-1} \text{ см}^{-1}$. Измеренная по эффекту Холла подвижность $u = 0,28$ см/сек, V/см концентрация $n = 4,5 \cdot 10^{15} \text{ см}^{-3}$, что дает длину экранирования $1/\kappa = 6 \cdot 10^{-6} \text{ см}$. Приняв диэлектрическую постоянную $\epsilon = 10$, получаем из приведенного выше уравнения

$$\Delta N = 1,2 \cdot 10^{10} \text{ см}^{-2}.$$

Полученное значение ΔN вполне разумно и соответствует по порядку величины наблюдаемым в других опытах [3].

Таким образом ясно, что первым процессом является адсорбция. Второй же процесс, вызывающий повышение работы выхода и проводимости окиси меди, не вполне ясен. Исходя из того, что при повышении температуры процесс ускоряется, можно было бы предположить, что этим процессом является диффузия; но кажется очень странным то, что такие значительные изменения и работы выхода и проводимости происходят при комнатной температуре. Поэтому были проведены такие же опыты при комнатной температуре на закиси меди. Результаты представлены на рис. 3

кривая 1). Мы видим, что и в случае закиси меди ход кривой подобен ранее обнаруженному. Совершенно иной ход мы наблюдаем при адсорбции паров этилового спирта. Работа выхода при адсорбции понижается в дальнейшем остается постоянной (кривая 2). Конечно, молекулы спирта закись и окись меди не диффундируют.

Рассмотрим возможные объяснения наших наблюдений. Начнем с предположения, что вторым процессом является диффузия. Кривая 2 рис. 1 оказывается, что с течением времени работа выхода возрастала и увеличивалась на 41 мВ. Можно предполагать, что это связано с перемещением, вследствие диффузии газа, уровня химического потенциала в полупроводнике. Если это так, то можно подсчитать, как изменилась бы вследствие этого проводимость образца.

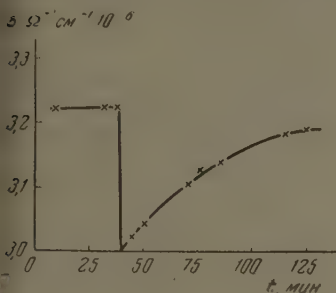


Рис. 2

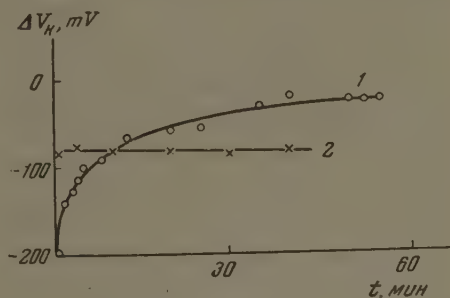


Рис. 3

Рис. 2. Изменение электропроводности образца окиси меди со временем в атмосфере кислорода при комнатной температуре

Рис. 3. Изменение контактной разности потенциалов закиси меди со временем при комнатной температуре. Кривые: 1 — атмосфера кислорода, 2 — пары этилового спирта

Как известно $n = Qe^{-\xi/kT}$ [5], где n — концентрация носителей тока и ξ — положение уровня химического потенциала. Для нашего случая $n_1/n_2 = e^{\Delta\xi/kT}$ и $\Delta\xi = \Delta\varphi = 41$ мВ. Откуда $n_1/n_2 = 3,7$. Поэтому вследствие диффузии должна была бы увеличиться проводимость в 3,7 раза. Как показывают параллельно проведенные на том же образце измерения токов, электропроводность возрастала лишь в 1,5 раза, т. е. в 2,5 раза меньше, чем дает подсчет. Подобный расчет, проведенный для кривой 3 рис. 1, дал расхождение в 3,5 раза. Эти расхождения могут быть вызваны:

1) тем, что диффузия не дошла до конца и концентрация примеси увеличилась лишь в граничащем с газом слое, не затронув слоя прилегающего к подложке. Но это обстоятельство кажется мало вероятным, так как кривые рис. 1 и 2 показали насыщение;

2) тем, что изменение положения уровня химического потенциала вследствие диффузии газа вызвало изменение заряда на поверхностных уровнях, которое привело к некоторому изменению работы выхода, включаемому нами в изменение, вызванное диффузией. Это предположение кажется более вероятным.

Чтобы рассчитать изменение концентрации вследствие диффузии оказалось, что получаемым экспериментально из увеличения проводимости, величение работы выхода должно было бы быть не 41 мВ, а примерно 3 раза меньше. Конечно, такой ошибки в экспериментах быть не могло; поэтому приходится предположить, что наблюдаемое вследствие диффузии величение работы выхода обусловлено как изменением положения уровня химического потенциала, так и изменением увеличения отрицательного поверхностного заряда, вызванного перемещением уровня химического потенциала.

Обсудим и другие возможные объяснения. Так, например, можно предположить, что повышение работы выхода обусловлено замещением молекул, ранее адсорбированных на поверхности полупроводника (например азота), молекулами кислорода. Такой процесс протекает медленно и темп медленней, чем ниже температура. Однако такое предположение не может быть объяснением наблюдаемого явления по двум причинам: во-первых, как это было показано [2], изменение работы выхода из полупроводников обусловлено главным образом изменением количества «макродиполей», т. е. квазидиполей, образованных поверхностными электронами и экранирующими их дырками, а не природой адсорбированного газа; поэтому такое замещение скажется только в том случае, если адсорбционные способности газов сильно различаются. Во-вторых, кривые получались идентичными, независимо от того, снимали ли их, начиная с высокой температуры или с комнатной. Если бы было замещение молекул, то это сказалось бы на ходе кривой при низких температурах; поэтому такая возможность объяснения отпадает.

Обсудим третье возможное объяснение. Мы предполагаем, что кислород на окиси меди может адсорбироваться двояко: на свободных поверхностных уровнях и на поверхностных уровнях, занятых электронами. В первом случае при адсорбции молекулы происходит затягивание электрона [6], и устанавливается одноэлектронная связь адсорбированной молекулы с решеткой [7]. Нейтральность поверхности не нарушается. Число свободных поверхностных уровней вследствие адсорбции становится меньше. Так как распределение заполнения их остается то же, то число электронов на поверхности окиси меди уменьшается, и вследствие этого уменьшается число экранирующих их дырок в приповерхностном слое, а это означает, что уменьшаются работа выхода и проводимость дырочно проводящей окиси меди. Очевидно, этот вид адсорбции соответствует наблюдаемому нами первому процессу.

При адсорбции кислорода на поверхностных уровнях, занятых электронами, создается двухэлектронная связь. Такой вид адсорбции молекул теоретически рассмотрен в работах Ф. Ф. Волькенштейна [7, 8]. В этом случае электрон перестает странствовать в поверхностной зоне проводимости, а локализуется возле адсорбированной молекулы; связь устанавливается тем прочнее, чем глубже (энергетически) под зоной проводимости локализован электрон.

Как указывает Ф. Ф. Волькенштейн [8], по мере такой адсорбции молекул на поверхностных уровнях появляются новые электроны, т. е. растет поверхностный заряд. Адсорбция этого вида при нагревании должна ускоряться.

Нам кажется, что изучаемая нами адсорбция кислорода на окиси и закиси меди (второй процесс) соответствует рассмотренному Ф. Ф. Волькенштейном случаю адсорбции молекул. Действительно, мы наблюдали, что при адсорбции постепенно возрастали работы выхода (поверхностный электронный заряд) и электропроводность образцов (экранирующий объемный заряд), и что при повышении температуры медленно протекающая адсорбция ускорялась.

Таким образом кажется возможным объяснить наблюдаемый нами ход изменения работы выхода во времени двумя типами адсорбции: в первый момент происходит адсорбция на свободных поверхностных уровнях (с одноэлектронной связью), что вызывает резкое уменьшение работы выхода и проводимости; далее постепенно нарастает активированная адсорбция на поверхностных уровнях, занятых электронами, с установлением двухэлектронной связи, что приводит к постепенному возрастанию работы выхода и проводимости. Таким образом первый процесс — адсорбция на свободных поверхностных уровнях; второй процесс — адсорбция на уровнях, занятых электронами.

Чтобы выявить, какому же объяснению (исходя из процесса диф-

зии или процесса активированной адсорбции) следует отдать предпочтение, мы подсчитали теплоту активации наблюдаемого нами установившегося изменения работы выхода (исходя из времени установления) зависимости от температуры. Она оказалась около 3 ккал/моль.

Согласно литературным данным теплота активации адсорбции кислорода на закиси меди около 7 ккал/моль [9]. Для окиси меди данные не были найдены, но можно ожидать, что они будут такого же порядка. Плотность диффузии кислорода в окиси меди нам также неизвестна, но по литературным данным [10] теплота диффузии иона меди или вакантно-иона кислорода в закиси меди составляет 39 ккал/моль. Эти данные свидетельствуют в пользу второго объяснения наших экспериментов. Очевидно, диффузия также имеет место, но влияние ее незначительно.

Нам кажется, что наблюдаемые нами изменения во времени работы выхода электрона и проводимости вследствие адсорбции кислорода следует объяснить в основном двумя видами адсорбции последнего на поверхности образцов окиси и закиси меди, именно таким образом, как это было показано выше. Если это соответствует действительности, то наши результаты указывают методику изучения адсорбции с одно- и двухэлектронной связью.

Авторы выражают благодарность действительному члену АН УССР Е. Лашкареву за дискуссии по этой работе.

ВЫВОДЫ

Установлено, что у тонких слоев окиси и закиси меди, помещенных в атмосферу кислорода, в первый момент резко уменьшаются работа выхода электрона и электропроводность. В последующее время и работа выхода, и проводимость постепенно возрастают и тем скорее, чем выше температура. Показано, что резкое снижение и работы выхода, и проводимости вызвано адсорбцией кислорода. Медленное возрастание этих величин авторы объясняют активированной химической адсорбцией, что соответствует теории Ф. Ф. Волькенштейна.

Академия наук УССР
Институт физики
Киев

Поступила
2.VI.1956

ЛИТЕРАТУРА

- В. И. Ляшенко и И. И. Степко, Журн. физ. химии, 29, 401, 1955.
В. И. Ляшенко и И. И. Степко, Изв. АН СССР, сер. физ., 16, 211, 1952.
В. Е. Лашкарев и В. И. Ляшенко, Сборник, посвященный 70-летию акад. А. Ф. Иоффе, Изд-во АН СССР, М., 1950.
М. Д. Моргунис, Журн. exper. теор. физики, 16, 959, 1946.
Б. И. Давыдов и А. С. Шмушкевич, Усп. физ. наук, 24, 21, 1940.
А. И. Ансельм, Уч. зап. ЛГУ, сер. физ., № 38, 16, 1939.
Ф. Ф. Волькенштейн, Журн. физ. химии, 26, 1462, 1952.
Ф. Ф. Волькенштейн, Журн. физ. химии, 27, 159, 1953.
W. E. Garner, F. S. Stone, P. F. Tiley, Proc. Roy. Soc., 211, 478, 1952.
G. W. Castellan, W. J. Moore, Journ. Chem. Phys., 17, 41, 1949.

THE EFFECT OF OXYGEN ON THE WORK FUNCTION OF COPPER OXIDE

V. I. Lyashenko and I. I. Stepko (Kiev)

Summary

It was established that for thin layers of cupric and cuprous oxide placed in an oxygen atmosphere the work function and electroconductivity at the first moment decrease. Subsequently they increase and the more so the higher the temperature. The abrupt fall in the work function and electroconductivity was shown to be due to the adsorption of oxygen. The slow increase in these quantities was assumed to be caused by activated chemical adsorption, which is in conformity with F. F. Volkenshtein's theory.

О ВОЗМОЖНОСТИ СПЕКТРОСКОПИЧЕСКОГО ОПРЕДЕЛЕНИЯ РАЗНОСТЕЙ ЭНЕРГИЙ ПОВОРОТНЫХ ИЗОМЕРОВ СЛОЖНЫХ МОЛЕКУЛ

Ю. А. Пентин и В. М. Татевский

В тех простейших случаях, когда молекула соединения имеет ли одну ординарную связь, внутреннее вращение вокруг которой может давать эффект поворотной изомерии, разности энергий этих изомеров ΔU определяются как известно [1], по уравнению

$$\ln \left(\frac{I_1}{I_2} \right)_{T_1} - \ln \left(\frac{I_1}{I_2} \right)_{T_2} = \frac{\Delta U}{R} \left(\frac{1}{T_1} - \frac{1}{T_2} \right),$$

где I_1 и I_2 — интенсивности линий (полос), принадлежащих поворотным изомерам 1 и 2. Разработана также методика определения по спектроскопическим данным разностей энтропий изомеров в этих простейших случаях.

Более сложные молекулы, с двумя или более связями, вращение вокруг которых даст эффект поворотной изомерии, имеют, несомненно, и большее число изомерных форм. Если бы в спектрах таких соединений можно было найти хотя бы по одной достаточно интенсивной линии, принадлежащей лишь одному из изомеров, то не возникало бы никакого осложнения в определении значений ΔU отдельных изомеров. Однако так счастливым образом дело никогда, по-видимому, не обстоит.

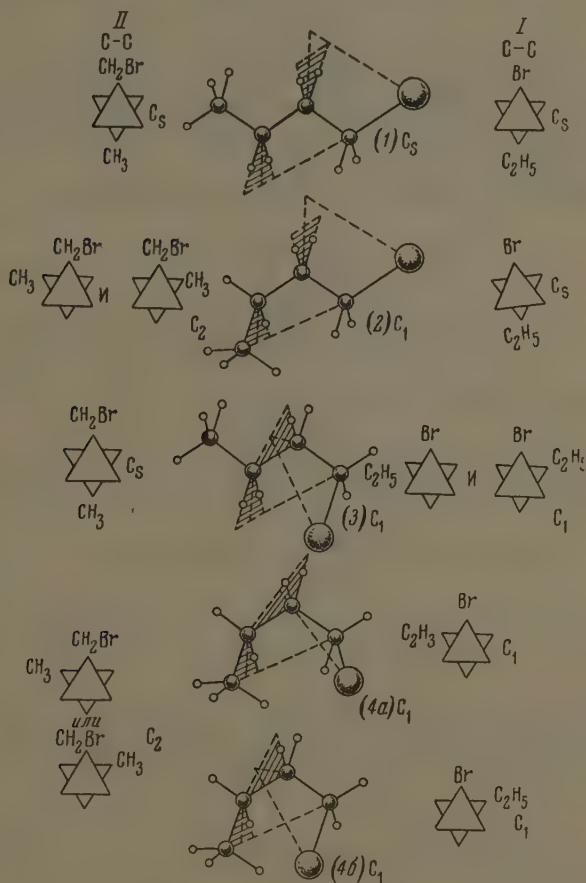
Рассмотрим, например, галоидные алкилы. Первый член ряда — галонидный этил — не имеет поворотных изомеров, и в его колебательном спектре имеется только одна характеристическая частота валентных колебаний С — галонид. В спектрах галоидных пропилов имеется по две таких частоты, так как для них возможны по два поворотных изомера (*транс*- и *пери*-изомеры). Молекула галоидного бутила имеет уже две ординарные связи, внутреннее вращение вокруг которых может давать различные устойчивые изомерные конфигурации. Последние возможно представить следующим рисунком. Из пяти конфигураций только одну (4) есть основание считать неустойчивой, так как расстояние между атомами галонда и С₂ этой конфигурации мало, и возникают пространственные затруднения [2]. Остальные четыре изомерные формы этой молекулы, по-видимому, реально существуют. Молекулы высших членов ряда имеют, очевидно, еще большее число поворотных изомеров. Тем не менее у всех галоидных алкилов в спектрах имеется лишь по две характеристические частоты С — галонид колебаний [3, 4]. Этот факт был объяснен как результат совпадения частот С — галонид для изомеров, отличающихся лишь конфигурацией углеродного скелета*, иными словами, слабым влиянием на эту частоту далеко отстоящих атомов С, начиная с γ -атома [2, 4]. Таким образом при исследованиях температурной зависимости относительных интенсивностей полос С — галонид для высших членов ряда (начиная с галоидного бутила) по уравнению (1) находятся обычно лишь

* Т. е. частоты С — галонид практически совпадают, например, у конфигураций молекулы галоидного бутила, обозначенных на приведенном рисунке номерами (1) и (2), с одной стороны, (3) и (4а) — с другой.

которые эффективные значения $\Delta U_{эфф}$, смысл которых будет выяснен ниже.

Аналогичным образом дело будет, очевидно, обстоять и с другими частотами, и в других соединениях, может быть только за некоторыми исключениями, так как внутримолекулярные силы редко бывают очень дальнедействующими. Поэтому определение разностей энергии ΔU_{nm} отдельных изомеров сложных молекул встречается принципиальные затруднения.

Существенный интерес представляет выяснение вопроса о том, возможно ли по экспериментальным данным о температурной зависимости



иный, когда каждая из них принадлежит сразу нескольким изомерам, определить значения ΔU_{nm} отдельных изомеров.

Для простоты возьмем случай, когда, как у галоидных алкилов, имеется пара удобных для исследования характеристических полос, хотя совершенно аналогичные рассуждения можно провести и для случая, например, трех полос, каждая из которых соответствует нескольким изомерным формам (как, например, у 1,2-дигалоидопроизводных углеводородов, начиная с бутана, полосы C — галоид которых аналогичны полосам 1,2-дигалоидопропанов [5]).

Итак, пусть изомеры молекулы какого-то соединения распадаются на две группы: α и β ; все изомеры первой группы имеют в спектре линию с волновым числом ω , суммарная экспериментальная интенсивность

которой I_α ; все изомеры второй группы имеют линию ω_β с суммарной интенсивностью I_β .

Первая группа — α содержит j изомеров, для которых введем обозначения

$$1. N_1^\alpha, U_1^\alpha, S_1^\alpha, g_1^\alpha, I_1^{0\alpha};$$

$$\dots \dots \dots$$

$$i. N_i^\alpha, U_i^\alpha, S_i^\alpha, g_i^\alpha, I_i^{0\alpha};$$

$$j. N_j^\alpha, U_j^\alpha, S_j^\alpha, g_j^\alpha, I_j^{0\alpha},$$

где N_i^α — число молекул i -го изомера группы α , U_i^α — внутренняя энергия i -го изомера на моль, S_i^α — энтропия i -го изомера на моль, g_i^α — статистический вес i -го изомера, $I_i^{0\alpha}$ — интенсивность линии ω_α на одну молекулу i -го изомера.

Вторая группа β -содержит l изомеров, для которых

$$1. N_1^\beta, U_1^\beta, S_1^\beta, g_1^\beta, I_1^{0\beta};$$

$$\dots \dots \dots$$

$$k. N_k^\beta, U_k^\beta, S_k^\beta, g_k^\beta, I_k^{0\beta};$$

$$l. N_l^\beta, U_l^\beta, S_l^\beta, g_l^\beta, I_l^{0\beta}.$$

Для реакции превращения n -го изомера в m -й



независимо от того, принадлежат ли эти изомеры одной из групп (α или β) или различным группам, можно записать

$$RT \ln \frac{N_m}{N_n} = -\Delta F_{mn} = -\Delta U_{mn} + T\Delta S_{mn}$$

или

$$RT \ln \frac{N_m}{N_n} = -(U_m - U_n) + T(S_m - S_n),$$

где $S_n = S'_n + R \ln g_n$ и $S_m = S'_m + R \ln g_m$, причем S' — энтропии на моль за исключением энтропий смешения, члены же $R \ln g$ — энтропии смешения.

Учитывая последнее, имеем

$$\ln \frac{N_m}{N_n} = -\frac{U_m}{RT} + \frac{U_n}{RT} + \frac{S'_m}{R} + \frac{S'_n}{R} + \lg g_m - \lg g_n$$

или, что то же

$$\frac{N_m}{N_n} = \frac{g_m e^{-\frac{U_m}{RT}} e^{\frac{S'_m}{R}}}{g_n e^{-\frac{U_n}{RT}} e^{\frac{S'_n}{R}}} \quad (2)$$

Основываясь на уравнении (2), можно записать, что

$$N_m = C g_m e^{-\frac{U_m}{RT}} e^{\frac{S'_m}{R}};$$

$$N_n = C g_n e^{-\frac{U_n}{RT}} e^{\frac{S'_n}{R}}. \quad (3)$$

Поскольку индексы n и m могут обозначать изомеры любой из групп α или β , то общее число молекул всех изомеров

$$N = \sum_{i=1}^j N_i^{\alpha} + \sum_{k=1}^l N_k^{\beta} = C \left\{ \sum_{i=1}^j g_i^{\alpha} e^{-\frac{U_i^{\alpha}}{RT}} e^{\frac{S_i^{\alpha}}{R}} + \right. \\ \left. + \sum_{k=1}^l g_k^{\beta} e^{-\frac{U_k^{\beta}}{RT}} e^{\frac{S_k^{\beta}}{R}} \right\}$$

$$C = \frac{N}{\sum_{i=1}^j g_i^{\alpha} e^{-\frac{U_i^{\alpha}}{RT}} e^{\frac{S_i^{\alpha}}{R}} + \sum_{k=1}^l g_k^{\beta} e^{-\frac{U_k^{\beta}}{RT}} e^{\frac{S_k^{\beta}}{R}}},$$

вводя для сумм сокращенные обозначения \sum_{α} и \sum_{β} , имеем

$$C = \frac{N}{\sum_{\alpha} + \sum_{\beta}}.$$

Уравнения (3) можно тогда переписать, например для i -го изомера группы α и k -го изомера группы β , так

$$N_i^{\alpha} = \frac{N g_i^{\alpha} e^{-\frac{U_i^{\alpha}}{RT}} e^{\frac{S_i^{\alpha}}{R}}}{\sum_{\alpha} + \sum_{\beta}}, \quad (4) \\ N_k^{\beta} = \frac{N g_k^{\beta} e^{-\frac{U_k^{\beta}}{RT}} e^{\frac{S_k^{\beta}}{R}}}{\sum_{\alpha} + \sum_{\beta}}.$$

Суммарные экспериментальные интенсивности линий ω_{α} и ω_{β} равны, соответственно

$$I_{\alpha} = \sum_{i=1}^j N_i^{\alpha} I_i^{0\alpha} = \frac{N \sum_{i=1}^j I_i^{0\alpha} g_i^{\alpha} e^{-\frac{U_i^{\alpha}}{RT}} e^{\frac{S_i^{\alpha}}{R}}}{\sum_{\alpha} + \sum_{\beta}}; \\ I_{\beta} = \sum_{k=1}^l N_k^{\beta} I_k^{0\beta} = \frac{N \sum_{k=1}^l I_k^{0\beta} g_k^{\beta} e^{-\frac{U_k^{\beta}}{RT}} e^{\frac{S_k^{\beta}}{R}}}{\sum_{\alpha} + \sum_{\beta}},$$

отношение этих интенсивностей равно

$$\frac{I_{\alpha}}{I_{\beta}} = \frac{\sum_{i=1}^j I_i^{0\alpha} g_i^{\alpha} e^{-\frac{U_i^{\alpha}}{RT}} e^{\frac{S_i^{\alpha}}{R}}}{\sum_{k=1}^l I_k^{0\beta} g_k^{\beta} e^{-\frac{U_k^{\beta}}{RT}} e^{\frac{S_k^{\beta}}{R}}}. \quad (5)$$

Удобно, далее, занумеровать изомеры в каждой из групп (α и β) в порядке увеличения их внутренней энергии*

$$U_1^\alpha < U_2^\alpha < U_3^\alpha < \dots < U_j^\alpha;$$

$$U_1^\beta < U_2^\beta < U_3^\beta < \dots < U_l^\beta,$$

а группы обозначить так, чтобы энергия первого изомера группы α была больше энергии первого изомера группы β : $U_1^\beta < U_1^\alpha$. Это связано с тем, что в числителе правой части уравнения (5) имеет смысл вынести из под знака суммы член $I_1^{0\alpha} e^{-\frac{U_1^\alpha}{RT}} e^{\frac{S_1^\alpha}{R}}$, а в знаменателе член $I_1^{0\beta} e^{-\frac{U_1^\beta}{RT}} e^{\frac{S_1^\beta}{R}}$, и тогда это уравнение запишется так:

$$\frac{I_\alpha}{I_\beta} = \frac{I_1^{0\alpha}}{I_1^{0\beta}} e^{-\frac{(U_1^\alpha - U_1^\beta)}{RT}} e^{\frac{(S_1^\alpha - S_1^\beta)}{R}} \left\{ \frac{g_1^\alpha + \frac{I_2^{0\alpha}}{I_1^{0\alpha}} g_2^\alpha e^{-\frac{(U_2^\alpha - U_1^\alpha)}{RT}} e^{\frac{(S_2^\alpha - S_1^\alpha)}{R}}}{g_1^\beta + \frac{I_2^{0\beta}}{I_1^{0\beta}} g_2^\beta e^{-\frac{(U_2^\beta - U_1^\beta)}{RT}} e^{\frac{(S_2^\beta - S_1^\beta)}{R}}} + \right.$$

$$\left. + \frac{\frac{I_3^{0\alpha}}{I_1^{0\alpha}} g_3^\alpha e^{-\frac{(U_3^\alpha - U_1^\alpha)}{RT}} e^{\frac{(S_3^\alpha - S_1^\alpha)}{R}}}{\frac{I_3^{0\beta}}{I_1^{0\beta}} g_3^\beta e^{-\frac{(U_3^\beta - U_1^\beta)}{RT}} e^{\frac{(S_3^\beta - S_1^\beta)}{R}}} + \dots + \frac{\frac{I_j^{0\alpha}}{I_1^{0\alpha}} g_j^\alpha e^{-\frac{(U_j^\alpha - U_1^\alpha)}{RT}} e^{\frac{(S_j^\alpha - S_1^\alpha)}{R}}}{\frac{I_l^{0\beta}}{I_1^{0\beta}} g_l^\beta e^{-\frac{(U_l^\beta - U_1^\beta)}{RT}} e^{\frac{(S_l^\beta - S_1^\beta)}{R}}} \right\}. \quad (6)$$

Если принять, что $I_i^{0\alpha}$ и $I_k^{0\beta}$, а также $\Delta S_{i1}^{\alpha\beta} = S_1^\alpha - S_1^\beta$, $\Delta S_i^\alpha = S_i^\alpha - S_1^\alpha$ и $\Delta S_{k1}^\beta = S_k^\beta - S_1^\beta$ не зависят от T в данном интервале температур, то обозначая

$$B_{i1}^\alpha = I_i^{0\alpha} / I_1^{0\alpha} e^{\frac{\Delta S_{i1}^\alpha}{R}}; B_{k1}^\beta = I_k^{0\beta} / I_1^{0\beta} e^{\frac{\Delta S_{k1}^\beta}{R}}; B_{i1}^{\alpha\beta} = I_1^{0\alpha} / I_1^{0\beta} e^{\frac{\Delta S_{i1}^{\alpha\beta}}{R}}$$

и

$$\Delta U_{i1}^{\alpha\beta} = U_1^\alpha - U_1^\beta; \Delta U_{i1}^\alpha = U_i^\alpha - U_1^\alpha; \Delta U_{k1}^\beta = U_k^\beta - U_1^\beta,$$

получим

$$\frac{I_\alpha}{I_\beta} = B_{i1}^{\alpha\beta} e^{-\frac{\Delta U_{i1}^{\alpha\beta}}{RT}} \left\{ \frac{g_1^\alpha + g_2^\alpha B_{21}^\alpha e^{-\frac{\Delta U_{21}^\alpha}{RT}} + \dots + g_j^\alpha B_{j1}^\alpha e^{-\frac{\Delta U_{j1}^\alpha}{RT}}}{g_1^\beta + g_2^\beta B_{21}^\beta e^{-\frac{\Delta U_{21}^\beta}{RT}} + \dots + g_l^\beta B_{l1}^\beta e^{-\frac{\Delta U_{l1}^\beta}{RT}}} \right\}. \quad (7)$$

Уравнение (7) содержит минимальное число постоянных, подлежащих определению (если считать, что не только I^0 и ΔS , но и ΔU не зависят от T), а именно: постоянные $B_{i1}^{\alpha\beta}$ и $\Delta U_{i1}^{\alpha\beta}$; $j-1$ постоянных B_{i1}^α и $l-1$ постоянных B_{k1}^β ; $j-1$ постоянных ΔU_{i1}^α и $l-1$ постоянных ΔU_{k1}^β , итого $2(j+l)-2$ постоянных.

* Обратимся, например, к приведенному рисунку конфигураций изомеров бромистого бутана. На основании данных о разностях энергий изомеров бутана можно предполагать, что для изомеров оцифрованных как (1) и (2) (группа β), можно записать $U_1 < U_2$, а для изомеров (3) и (4а) (группа α) — $U_3 < U_{4a}$.

Таким образом, зная температурную зависимость отношения I_α/I_β я двух полос ω_α и ω_β и составив $2(j+l)-2$ уравнений вида (7), принципиально возможно, решив эту систему*, найти значения разностей энергий всех отдельных изомеров, ΔU_{nm} , а кроме того, и постоянные B . Если были бы известны отношения собственных интенсивностей линий изомеров на молекулу I^0 (или, если бы все интенсивности были, например, равны между собой), то из значений B могли бы быть найдены также разности энтропий изомеров, ΔS_{nm} , и наоборот.

Выясним вопрос о физическом смысле определяемых обычно с помощью спектроскопических методов, при использовании уравнения (1), эффективных значений разностей энергий $\Delta U_{\text{эфф}}$ поворотных изомеров в случае, когда все изомеры распадаются на две группы α и β , и следует температурная зависимость отношения I_α/I_β .

Предполагая, что

$$I_1^{0\alpha} = I_2^{0\alpha} = \dots = I_j^{0\alpha} = I^{0\alpha}, \\ I_1^{0\beta} = I_2^{0\beta} = \dots = I_l^{0\beta} = I^{0\beta}$$

(5) получаем

$$\frac{I_\alpha}{I_\beta} = \frac{I^{0\alpha} \sum_{i=1}^j g_i^\alpha e^{-\frac{U_i^\alpha}{RT}} \frac{S_i^\alpha}{R}}{I^{0\beta} \frac{1}{l} \sum_{k=1}^l g_k^\beta e^{-\frac{U_k^\beta}{RT}} \frac{S_k^\beta}{R}}.$$

Разделив числитель и знаменатель в правой части уравнения на $I^{0\alpha}/RT e^{S_1^\alpha/R}$, имеем

$$\frac{I_\alpha}{I_\beta} = \frac{I^{0\alpha}}{I^{0\beta}} \cdot \frac{\sum_{i=1}^j g_i^\alpha e^{-\frac{\Delta U_{i1}^\alpha}{RT}} \frac{\Delta S_{i1}^\alpha}{R}}{\frac{1}{l} \sum_{k=1}^l g_k^\beta e^{-\frac{\Delta U_{k1}^\beta}{RT}} \frac{\Delta S_{k1}^\beta}{R}}.$$

Принимая, что в данном интервале температур $I^{0\alpha}$, $I^{0\beta}$, а также ΔS ΔU с различными индексами не зависят от T , логарифмируем и дифференцируем последнее уравнение по T

$$-\frac{d \left(\ln \frac{I_\alpha}{I_\beta} \right)}{dT} = \frac{d}{dT} \ln \left(\sum_{i=1}^j g_i^\alpha e^{-\frac{\Delta U_{i1}^\alpha}{RT}} \frac{\Delta S_{i1}^\alpha}{R} \right) - \frac{d}{dT} \ln \left(\sum_{k=1}^l g_k^\beta e^{-\frac{\Delta U_{k1}^\beta}{RT}} \frac{\Delta S_{k1}^\beta}{R} \right)$$

* Решение такой системы, конечно, затруднительно, так как уравнения transcendентны. Однако, вводя дополнительные обозначения, например,

$$e^{\frac{\Delta U_{11}^{\alpha\beta}}{RT_1}} = e^{\frac{-\Delta U_{i1}^\alpha}{RT_1}}; D_{i1}^\alpha = e^{\frac{-\Delta U_{k1}^\beta}{RT_1}}; D_{k1}^\beta = e^{\frac{-\Delta U_{k1}^\beta}{RT_1}} \quad \text{и} \quad \theta_1 = T_1/T_1 = 1; \theta_2 = T_1/T_2; \\ \theta_3 = T_1/T_3;$$

т. д. до $\theta_n = T_1/T_n$, где T_1 — высшая из $n = 2(j+l) - 2$ температурных точек, можно свести эти уравнения к алгебраическим, которые могут быть решены относительно новых постоянных B и D несколько легче. Но и в этом случае будет получаться, вообще говоря, довольно сложная система нелинейных уравнений.

или

$$\frac{d \left(\ln \frac{I_\alpha}{I_\beta} \right)}{dt} = \frac{1}{RT^2} \left\{ \frac{\sum_{i=1}^j g_i^\alpha \Delta U_{i1}^\alpha e^{-\frac{\Delta U_{i1}^\alpha}{RT}} e^{\frac{\Delta S_{i1}'^\alpha}{R}}}{\sum_{i=1}^j g_i^\alpha e^{-\frac{\Delta U_{i1}^\alpha}{RT}} e^{\frac{\Delta S_{i1}'^\alpha}{R}}} - \frac{\sum_{k=1}^l g_k^\beta \Delta U_{k1}^\beta e^{-\frac{\Delta U_{k1}^\beta}{RT}} e^{\frac{\Delta S_{k1}'^\beta}{R}}}{\sum_{k=1}^l g_k^\beta e^{-\frac{\Delta U_{k1}^\beta}{RT}} e^{\frac{\Delta S_{k1}'^\beta}{R}}} \right\}.$$

Учитывая, что из (4) N_i^α и N_k^β могут быть записаны в виде

$$N_i^\alpha = \frac{N g_i^\alpha e^{-\frac{\Delta U_{i1}^\alpha}{RT}} e^{\frac{\Delta S_{i1}'^\alpha}{R}}}{\sum_{\alpha} + \sum_{\beta}} e^{-\frac{U_1^\alpha}{RT}} e^{\frac{S_1'^\alpha}{R}};$$

$$N_k^\beta = \frac{N g_k^\beta e^{-\frac{\Delta U_{k1}^\beta}{RT}} e^{\frac{\Delta S_{k1}'^\beta}{R}}}{\sum_{\alpha} + \sum_{\beta}} e^{-\frac{U_1^\alpha}{RT}} e^{\frac{S_1'^\alpha}{R}}.$$

имеем

$$g_i^\alpha e^{-\frac{\Delta U_{i1}^\alpha}{RT}} e^{\frac{\Delta S_{i1}'^\alpha}{R}} = \frac{N_i^\alpha \left(\sum_{\alpha} + \sum_{\beta} \right) e^{\frac{U_1^\alpha}{RT}} e^{\frac{S_1'^\alpha}{R}}}{N}$$

$$g_k^\beta e^{-\frac{\Delta U_{k1}^\beta}{RT}} e^{\frac{\Delta S_{k1}'^\beta}{R}} = \frac{N_k^\beta \left(\sum_{\alpha} + \sum_{\beta} \right) e^{\frac{U_1^\alpha}{RT}} e^{\frac{S_1'^\alpha}{R}}}{N}.$$

Подставляя эти выражения в (8), получаем

$$\frac{d \left(\ln \frac{I_\alpha}{I_\beta} \right)}{dT} = \frac{1}{RT^2} \left\{ \frac{\sum_{i=1}^j N_i^\alpha \Delta U_{i1}^\alpha}{N_\alpha} - \frac{\sum_{k=1}^l N_k^\beta \Delta U_{k1}^\beta}{N_\beta} \right\},$$

где

$$N_\alpha = \sum_{i=1}^j N_i^\alpha = \frac{N \sum_{\alpha}}{\sum_{\alpha} + \sum_{\beta}}; \quad N_\beta = \sum_{k=1}^l N_k^\beta = \frac{N \sum_{\beta}}{\sum_{\alpha} + \sum_{\beta}};$$

$$\Delta U_{i1}^\alpha = U_i^\alpha - U_1^\alpha \quad \text{и} \quad \Delta U_{k1}^\beta = U_k^\beta - U_1^\alpha.$$

Далее

$$\frac{d\left(\ln \frac{I_{\alpha}}{I_{\beta}}\right)}{dT} = \frac{1}{RT^2} \left\{ \frac{\sum_{i=1}^j N_i^{\alpha} U_i^{\alpha} - U_1^{\alpha} \sum_{i=1}^j N_i^{\alpha}}{N_{\alpha}} - \frac{\sum_{k=1}^l N_k^{\beta} U_k^{\beta} - U_1^{\beta} \sum_{k=1}^l N_k^{\beta}}{N_{\beta}} \right\}.$$

тсюда

$$\frac{d\left(\ln \frac{I_{\alpha}}{I_{\beta}}\right)}{dT} = \frac{1}{RT^2} \left\{ \frac{\sum_{i=1}^j N_i^{\alpha} U_i^{\alpha}}{N_{\alpha}} - \frac{\sum_{k=1}^l N_k^{\beta} U_k^{\beta}}{N_{\beta}} \right\},$$

$$\frac{\sum_{i=1}^j N_i^{\alpha} U_i^{\alpha}}{N_{\alpha}} = (U_i^{\alpha})_{\text{ср}} - \text{средняя энергия поворотных изомеров группы } \alpha$$

обладающих линией ω_{α} с учетом их концентраций, а $\frac{\sum_{k=1}^l N_k^{\beta} U_k^{\beta}}{N_{\beta}} = (U_k^{\beta})_{\text{ср}}$ — средняя энергия изомеров группы β (обладающих линией ω_{β}) с учетом концентраций.

Итак

$$\frac{d\left(\ln \frac{I_{\alpha}}{I_{\beta}}\right)}{dT} = \frac{(U_i^{\alpha})_{\text{ср}} - (U_k^{\beta})_{\text{ср}}}{RT^2}, \quad (9)$$

е. находящая по уравнению (1) эффективная разность энергий, $\Delta U_{\text{эфф}}$, является разностью средних энергий групп изомеров, в их указанном же смысле. Необходимо подчеркнуть, что средняя энергия изомеров i или k группы есть функция от T , а поэтому и $\Delta U_{\text{эфф}} = (U_i^{\alpha})_{\text{ср}} - (U_k^{\beta})_{\text{ср}}$ зависит от температуры в гораздо большей степени, чем разность энергий двух отдельных изомеров, $\Delta U_{\text{нм}}$. Для точного определения $\Delta U_{\text{эфф}}$ как функций T следует на основании экспериментальных данных строить кривую зависимости $\ln \frac{I_{\alpha}}{I_{\beta}}$ от $\frac{1}{T}$, т. е. использовать непосредственно дифференциальное уравнение (9) (а не (1), когда получается некоторое усредненное в рассматриваемом интервале T значение $\Delta U_{\text{эфф}}$). Тангенс угла наклона касательной в какой-либо точке кривой и будет давать значение $\Delta U_{\text{эфф}}$ для соответствующей температуры.

ВЫВОДЫ

1. Рассмотрен вопрос о возможности определения разностей энергий реальных поворотных изомеров сложных молекул по данным о температурной зависимости отношения интенсивностей двух спектральных линий в тех случаях, когда каждая из этих линий относится сразу к нескольким изомерам данной молекулы.
2. Выяснен физический смысл определяемых обычно в таких случаях эффективных значений разностей энергий поворотных изомеров.

Московский государственный
университет
им. М. В. Ломоносова

Поступила
3.VII.1956

ЛИТЕРАТУРА

1. S. Mizushima, «Internal Rotation», Acad. Press. Inc., New. York, 1954.
2. Ю. А. Пентин и В. М. Татевский, Вестник МГУ, № 3, 73, 1955.
3. К. Кольрауш, Спектры комбинационного рассеяния, ИИЛ, 1952.
4. J. Brown, N. Sheppard, Trans. Farad. Soc., 50, 535, 1954.
5. Ю. А. Пентин и В. М. Татевский, ДАН, 108, 290, 1956.

ON THE POSSIBILITY OF THE SPECTROSCOPIC DETERMINATION OF THE
DIFFERENCE IN ENERGIES OF ROTATION ISOMERS OF COMPLEX MOLECULES

Yu. A. Pentin and V. M. Tatevskii (Moscow)

Summary

The possibility has been examined of determining energy differences between individual rotation isomers of complex molecules from data on the temperature dependence of the ratio of the intensities of two spectral lines when each of these lines refers simultaneously to a number of isomers of each molecule.

The physical meaning has been elucidated of the effective differences in energy of rotation isomers, usually determined in such cases.

ИЗМЕРЕНИЕ ТЕМПЕРАТУРЫ ПЛАВЛЕНИЯ АЛЮМИНИЯ И МЕДИ ПРИ ДАВЛЕНИЯХ ДО 18 000 $\text{кг}/\text{см}^2$

М. Г. Гоникберг, Г. П. Шаховской и В. П. Бутузов

До недавнего времени наши сведения о влиянии сверхвысокого давления на температуру плавления металлов ограничивались данными Бриджана [1, 2], изучавшего плавление некоторых легкоплавких металлов (натрия, лития, рубидия и цезия, ртути и галлия) при давлениях 12 000 $\text{кг}/\text{см}^2$ и висмута до 17 000 $\text{кг}/\text{см}^2$.

С 1953 г. в Институте кристаллографии Академии наук СССР проводятся исследования фазовых превращений металлов в условиях сверхвысокого давления. Разработанная методика получения и измерения высокой температуры внутри канала сосуда сверхвысокого давления позволила расширить температурный интервал при исследованиях плавления металлов под сверхвысоким давлением [3]. Были измерены температуры плавления олова и свинца до давления 34 000 $\text{кг}/\text{см}^2$ [4] сурьмы, кадмия, цинка и таллия при давлениях до 30 000 $\text{кг}/\text{см}^2$ [5] и висмута до давления 30 000 $\text{кг}/\text{см}^2$ [6]. Указанные измерения производились с образцами металлов, помещенными в нагреваемый тигель, в среде изопентана в канале мультипликатора сверхвысокого давления. Температура плавления перечисленных выше металлов, за исключением висмута, галлия и сурьмы, повышается с увеличением давления. В случае висмута и галлия температура плавления понижается лишь до достижения тройной точки: α -фаза— β -фаза—расплав. В случае же сурьмы понижение температуры плавления наблюдалось во всем исследованном интервале давлений.

В 1955 г. были опубликованы измерения температуры плавления германия при давлениях до 180 000 $\text{кг}/\text{см}^2$, выполненные, по-видимому, в аппаратуре для синтеза азота [7]. Образец германия помещался в графитовый цилиндр, являвшийся одновременно и нагревательным элементом. Давление определялось с помощью графированной кривой, построенной по точкам полиморфных превращений висмута, галлия, цезия и бария. Температура измерялась платино-платинородисовой термопарой. Было найдено, что во всем интервале давлений температура плавления германия повышается.

ЭКСПЕРИМЕНТАЛЬНАЯ ЧАСТЬ

В настоящей работе излагаются результаты измерения температуры плавления алюминия и меди при давлениях до 18 000 $\text{кг}/\text{см}^2$. Получение канала мультипликатора в среде изопентана температур выше 600° затруднительно, так как происходит крекинг изопентана, и выделяющийся при этом кокс замыкает витки нагревательной спирали. Поэтому при проведении опытов, сочетающих сверхвысокое давление с высокой температурой, в качестве среды, передающей давление, целесообразно применять изопентан.

В развитие описанной ранее конструкции мультипликатора [8] в институте кристаллографии было разработано два типа аппаратуры, позволяющей создавать сверхвысокие газовые давления в сочетании с высокой температурой. В первом из них средой, передающей давление, являлась углекислота. В ней было проведено исследование зависимости полиморфного превращения черного фосфора от давления и температуры [9]. Во втором типе аппаратуры передающей давление средой является азот или аргон. Конический сосуд сверхвысокого давления в этой аппаратуре снабжается устройством, позволяющим подавать в него сжатый до 2000 $\text{кг}/\text{см}^2$ газ и затем отсекать объем канала конуса от газовой коммуникации.

Определение зависимости температуры плавления алюминия и меди от давления производилось в аппаратуре второго типа. Для исследований были применялись чистые алюминий (99,99%) и медь (99,995%).

Схема монтажа в канале мультипликатора показана на рис. 1.

Плавнение образца алюминия производилось в графитовом тигле 1 диаметром 10 мм и высотой 14 мм, помещенном внутри нагревательного элемента 2 из нихромовой проволоки. Для того чтобы графит не замыкал витков нихромовой спирали, тигель был отделен от нее тонким слоем слюды. Температура плавления алюминия под давлением измерялась дифференциальной платино-платинородиевой термопарой 3. Для предохранения «горячего» спая термопары от растворения в расплавленном алюминии он помещался в тонкий кварцевый чехол 4, укрепленный в графитовой крышке тигля. «Холодный» спай термопары помещался глубоко в тело электроввода 5. Его температура измерялась другой термопарой 6, введенной в корпус электроввода снаружи, при-

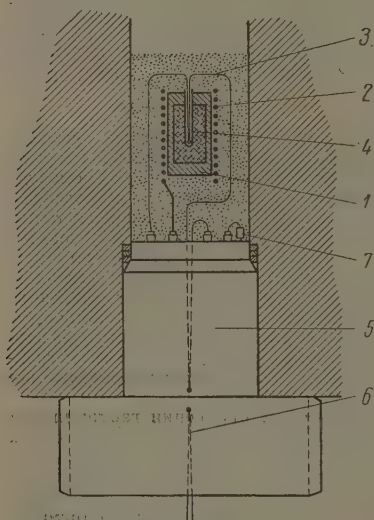


Рис. 1. Схематический разрез измерительного устройства в канале сосуда сверхвысокого давления

расстояние от спая этой термопары до «холодного» спая термопары 3 не превышало 6 мм. Для теплоизоляции печи от стенок канала конуса все свободное пространство в канале мультипликатора заполнялось мелким порошком окиси алюминия за исключением верхней части, в которой перемещается поршень. Э.д.с. обеих термопар измерялся двумя потенциометрами типа ПП-1. Для определения давления в канале мульти-

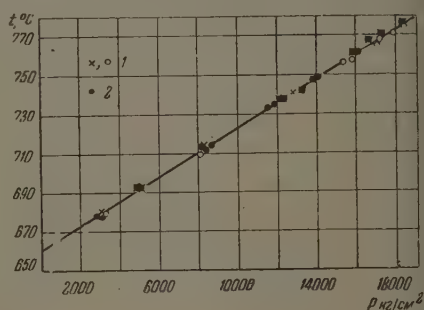


Рис. 2. Зависимость температуры плавления алюминия от давления: 1 — в среде аргона, 2 — в среде азота

пликатора на электровводе была смонтирована катушка манганинового манометра 7. Измерение сопротивления манганиновой катушки производилось мостом сопротивления МВЛ-47. Точность измерения давления и температуры составляла соответственно $\pm 100 \text{ кг/см}^2$ и $\pm 2^\circ$.

Опыты по плавлению алюминия под давлением были проведены в среде азота и аргона (в связи с возможностью взаимодействия алюминия с азотом с образованием нитрида). Результаты измерений приведены на рис. 2. Как видно из рис. 2, температура плавления алюминия в одинаковой степени возрастает при увеличении давления в среде аргона и азота.

При определении зависимости температуры плавления меди от давления для получения более высокой температуры нихромовая спираль была заменена вольфрамовой, а кварцевый чехол для предохранения «горячего» спая термопары заменен стальным «карманом» со стенкой толщиной 0,4 мм. Весь монтаж и методика измерений оставались прежними. Передающей давление средой в этих опытах служил азот. Результаты измерений представлены на рис. 3. Точность измерения температуры в интервале $1050-1250^\circ$ мы оцениваем в $\pm 5^\circ$.

В пределах точности измерений температура плавления алюминия и меди повышается с давлением линейно. Для алюминия величина dT/dP оставляет $6,3 \cdot 10^{-3} \text{ град} \cdot \text{см}^2/\text{кг}$ и для меди $4,6 \cdot 10^{-3} \text{ град} \cdot \text{см}^2/\text{кг}$.

ОБСУЖДЕНИЕ РЕЗУЛЬТАТОВ

Симон с сотрудниками [10] предложили следующее уравнение, выражающее зависимость температуры плавления веществ от давления:

$$\frac{P}{\alpha} = \left(\frac{T}{T_0}\right)^c - 1, \quad (1)$$

где P — давление, T и T_0 — температура плавления в °К соответственно при давлении P и атмосферном давлении, α и c — константы. Для неполярных веществ величина α оказалась близкой по значению к так называемому внутреннему давлению, определенному по энергии испарения вещества (λ)

$$\alpha = \frac{\lambda - RT}{V}, \quad (2)$$

где V — объем жидкости. Величина c для этих веществ оказалась лежащей между 1 и 2. Так c для аргона равно 1,16 [11], для гелия 1,554 [12] и для

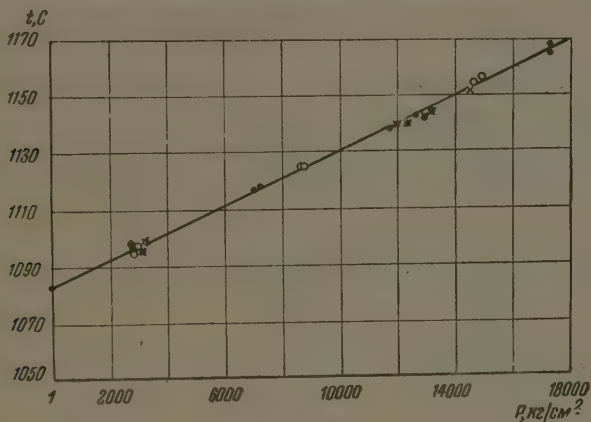


Рис. 3. Зависимость температуры плавления меди от давления. Точки — результаты отдельных опытов

азота—1,775 [11]. При $c=1$ температура плавления должна линейно возрастать с давлением. По мере увеличения c кривые плавления $T—P$ все более отклоняются от прямой в сторону оси давлений. Симон [13] сделал попытку применить уравнение (1) к плавлению щелочных металлов, пользуясь данными Бриджмена [1]. Оказалось, что для них величина c составляет от 3,8 до 4,8. Между тем, все попытки предвычислить величину c на основе различных уравнений состояния жидкостей и твердых тел (см. [14—16]) привели к значению $1 < c < 1,5$. По-видимому, уравнение Симона в случае плавления металлов может рассматриваться лишь как эмпирическое.

Расчет показывает, что в случае плавления свинца и олова [4] значения c равны соответственно приблизительно 2,5 и 4,0; следует, однако, отметить, что величины α и c чрезвычайно чувствительны к малейшим изменениям кривой плавления, поэтому точность определения их по кривым плавления весьма невелика. Кривая плавления таллия также вогнута к оси давлений [5]. В случае меди и алюминия, а также кадмия и цинка [5] зависимость температуры плавления от давления в пределах точности определений может быть выражена прямой линией.

Можно надеяться, что дальнейшее накопление экспериментального материала по плавлению металлов под давлением позволит дать теоретическое объяснение наблюдаемых при этом закономерностей и связать их с особенностями строения металлов.

ВЫВОДЫ

1. Определена температура плавления алюминия и меди в среде инертного газа при давлениях до $18\,000\text{ кг/см}^2$. Найдено, что в пределах точности измерений температура плавления этих металлов возрастает линейно с повышением давления.

2. Рассмотрен вопрос о применимости уравнения Симона к плавлению металлов при высоких давлениях.

Институт кристаллографии
Академии наук СССР

Поступила
3.VII.1956

ЛИТЕРАТУРА

1. P. W. Bridgman, The Physics of high pressure, London, 1949.
2. P. W. Bridgman, Phys. Rev., 48, 893, 1935.
3. В. П. Бутузов и М. Г. Гоникберг, С. П. Смирнов, ДАН СССР 89, 651, 1953.
4. В. П. Бутузов и М. Г. Гоникберг, ДАН СССР 91, 1083, 1953.
5. В. П. Бутузов, Е. Г. Понятовский, Г. П. Шаховский, ДАН СССР 109, 519, 1956.
6. В. П. Бутузов, Е. Г. Понятовский, «Кристаллография», т. 1, вып. 5, 572, 1956.
7. Н. Трасу Hall, J. Phys. Chem., 59, 1144, 1955.
8. В. П. Бутузов, Г. П. Шаховский, М. Г. Гоникберг, Труды Института кристаллографии Академии наук СССР, вып. 11, стр. 233, 1955.
9. В. П. Бутузов, С. С. Бокша, Сборник «Рост кристаллов». Изд. АН СССР 1957.
10. F. E. Simon, M. Ruhemann, W. A. M. Edwards, Z. phys. Chem., B2, 340, 1929; B6, 62, 1929.
11. D. W. Robinson, Proc. Roy. Soc., A225, 393, 1954.
12. I. S. Dugdale, F. E. Simon, Proc. Roy. Soc. A218, 291, 1953.
13. F. E. Simon, Nature, 172, 746, 1953.
14. C. Domb, Phil. Mag., 42, 1316, 1951.
15. De Boer, Proc Roy. Soc., A215, 4, 1952.
16. L. Salter, Phil. Mag., 45, 369, 1954.

MEASUREMENT OF THE MELTING POINTS OF ALUMINA AND COPPER AT PRESSURES UP TO $18\,000\text{ kg/cm}^2$

M. G. Gonikberg, G. P. Shakhovskoi and V. P. Butuzov (Moscow)

Summary

The melting points of alumina and copper have been determined in an inert gas atmosphere at pressures up to 18000 kg/cm^2 . It was found that within the limits of experimental error the melting points of these metals rise linearly with the pressure.

The applicability of Simon's equation to the melting points of metals at high pressures is discussed.

ФИЗИКО-ХИМИЯ КОНЦЕНТРИРОВАННОГО ОЗОНА

ИССЛЕДОВАНИЕ СИНТЕЗА ВЫСШЕЙ ПЕРЕКИСИ ВОДОРОДА H_2O_4 ПРИ
ВЗАИМОДЕЙСТВИИ КОНЦЕНТРИРОВАННОГО ОЗОНА С АТОМАРНЫМ
ВОДОРОДОМ

*Н. И. Кобозев, И. И. Скороходов, Л. И. Некрасов
и Е. И. Макарова*

Проблема высших перекисей водорода, т. е. перекисных соединений ее богатых кислородом, чем нормальная перекись H_2O_2 , была поставлена в науке три четверти века назад.

Пионерами в этом вопросе были Бертло [1], Брюль [2], Танатар [3] и А. П. Бах. Эти исследователи при выдвижении гипотезы о существовании высших перекисей водорода по существу исходили из единственного экспериментального факта: несоответствия перманганатометрического и волюмометрического методов анализа перекиси водорода различного происхождения. Во многих случаях наблюдалось повышенное сечение кислорода. Для объяснения этого факта предполагалось, что в перекиси водорода содержатся соединения типа H_2O_3 и H_2O_4 , титрующиеся подобно обычной перекиси.

Однако тщательная проверка этих результатов показала, что в каждом случае выделение кислорода вызывалось причинами, не связанными с существованием высших перекисей водорода [5–7]. Одновременно с опровержением экспериментальных данных сторонников гипотезы существования высших перекисей водорода была опровергнута и сама гипотеза.

В последнее время вопрос о существовании высшей перекиси водорода H_2O_4 был затронут в ряде работ советских ученых. При изучении самых разнообразных явлений — взаимодействия разбавленных кислот с CaO_2 [8], окисления водорода в диффузионном пламени [9], кинетики разложения чистой перекиси водорода [10], фотолитических процессов H_2O_2 [11] — были обнаружены факты (главным образом аналитического характера), говорившие о существовании соединения H_2O_4 . Хотя работа П. М. Стадникова [9] была опровергнута [12], но последовавшая за тем дискуссия [13, 14] не привела к однозначному ответу на поставленный вопрос.

Изучение низкотемпературного взаимодействия диссоциированных в электрическом разряде паров воды и атомарного водорода с кислородом, начатое Родебушем, Гейбом и Гартеком [16], позволило поставить вопрос о существовании высшей перекиси водорода на совсем иной экспериментальной базе. Упомянутые авторы, а также Охара [17], тщательно проверивший их опыты, обнаружили, что при этих взаимодействиях в охлаждаемой ловушке вымораживается стекловидное вещество, обладающее весьма интересными свойствами. Приблизительно при -115° оно начинает разлагаться с выделением газа. При -61° вещество плавится и скорость разложения возрастает. Анализ выделяющегося при разложении газа, показал, что он состоит из кислорода. После разложения стекловидного вещества остается концентрированный раствор перекиси водорода. Охара установил, что молярное отношение выделяющегося кислорода к перекиси водорода в растворе оставалось постоянным в каждой серии опытов и не зависело от скорости поступления исходных веществ. Взаимодействию атомарного водорода с кислородом это отношение было равно приблизительно 0,1, при взаимодействии продуктов диссоциации паров воды — в два раза больше. В контрольных опытах по охлаждению концентрированных растворов перекиси водорода с последующим их нагреванием разложение при -115° не наблюдалось. Все эти факты позволили Охаре предположить в стекловидном веществе, кроме перекиси водорода и воды, наличие третьего компонента — HO_2 — радикалов, которые могут рекомбинировать, давая соединение H_2O_4 — высшую перекись водорода*. При нагревании выше -115° соединение H_2O_4 разлагается на кислород и перекись водорода. Однако отсутствие простой стехиометрии между H_2O_2 и выделяющимся кис-

* Мы не останавливаемся на разборе «адсорбционной» точки зрения Виллея [18] о «мерной гипотезе» Гейба и Гартека [16], так как в настоящее время они не только не позволяют объяснить накопленный экспериментальный материал, но противоречат другим данным (см. [19, 25, 26]).

породом ясно говорит о том, что Охара не получил высшей перекиси в индивидуальном состоянии и о том, что предположение об образовании высшей перекиси соединения H_2O_4 является по существу произвольным.

Интерес к рассматриваемым здесь низкотемпературным взаимодействиям сильно повысился за последние 5—8 лет, о чем свидетельствуют многочисленные работы опубликованные в печати [20—27]. К сожалению, большинство этих работ является повторением ранее проведенных исследований и вносят мало нового в разбираемый вопрос. Исключение составляют, пожалуй, работа Фонера и Гудсона [21], посвященная масс-спектрометрическому исследованию взаимодействия продуктов диссоциации водяных паров, и работы Джигера [20, 26] по инфракрасному спектру стекловидного вещества, в которых доказывается, что в стекловидном веществе содержится радикал HO_2 . Тем самым точка зрения Охара получает некоторое подтверждение.

В заключение приведенного краткого обзора необходимо еще раз указать, что один исследователь не получал соединения H_2O_4 в концентрированном или индивидуальном виде. Более того, все исследователи вели работу со сложным как по составу, так по строению, стекловидным веществом, в котором содержание соединения H_2O_4 в лучших случаях, достигало лишь 14—18 вес. %. В силу этого все изученные свойства соединения H_2O_4 носят недостоверный характер.

Отыскание метода синтеза стекловидного вещества, более богатого соединением H_2O_4 , могло бы способствовать решению проблемы существования высшей перекиси водорода.

При выборе метода синтеза важно было знать, по какому механизму идут указанные взаимодействия. Это было необходимо для того, чтобы подобрать соответствующие условия. Анализ литературных данных, а также результатов, изложенных в диссертации Л. И. Некрасова [28], указал, что высшая перекись водорода образуется из продуктов диссоциации воды (соответственно из атомарного водорода и кислорода) через радикал H на стенках, охлажденных ниже -120° . Этот процесс может мыслиться как результат взаимодействия H -атома с молекулой кислорода, адсорбированной на холодных стенках, причем образующийся HO_2 -радикал здесь же конденсируется.

Такой механизм привел нас к мысли взять вместо трудно сжижаемого в вакууме кислорода его легко конденсируемую аллотропическую форму — озон (температура кипения -112°) и провести синтез перекиси путем бомбардировки жидкой пленки 100% озона атомами водорода. Самый факт получения при этом больших количеств высшей перекиси H_2O_4 уже описан в [29]. В данной работе приводится подробное описание методики эксперимента и влияния некоторых факторов на выход соединения H_2O_4 (силы тока в разрядной трубке, поставляющей атомарный водород, длительности бомбардировки и др.), а также вероятный механизм образования H_2O_4 .

МЕТОДИКА ЭКСПЕРИМЕНТА И ПОЛУЧЕННЫЕ РЕЗУЛЬТАТЫ ОПЫТОВ И ИХ ОБСУЖДЕНИЙ

Опыты по взаимодействию жидкого озона с атомарным водородом проводились в вакуумной установке, главная часть которой изображена на рис. 1. Озон получался в этой же установке при пропускании через тлеющий разряд кислорода и вымывался в ловушке 1. Так как озон конденсировался при облучении в установке, равном 0,5 мм рт. ст., то это обеспечивало присутствие в нем кислорода. После накопления нужного для работы количества озона установка откачивалась до 10^{-6} мм рт. ст., а затем озон испарялся в баллоны 2 с тем же объемом около 7 л. Необходимый для опыта озон вновь конденсировался в ловушке 1 в виде темно-синего кольца при -196° . Его количество определялось по увеличению давления в баллонах 2. Во всех опытах исходное для бомбардировки количество озона равнялось 2,5 мМ (120 мг).

Атомарный водород получался в разрядной трубке 3 при давлении 0,5 мм рт. ст. и скорости потока 53 мМ/час. Продолжительность бомбардировки жидкого озона атомарным водородом менялась от 5 до 200 мин. Было проведено три серии опытов при силе разрядного тока 150, 200 и 300 мА.

Предварительные опыты, в которых жидкий озон подвергался бомбардировке молекулярным водородом, показали полное отсутствие взаимодействия между этими веществами при температуре жидкого азота.

При взаимодействии с атомарным водородом, темно-синяя пленка жидкого озона превращалась в прозрачное стекловидное вещество, окрашенное следами неотреагировавшего озона в слабо-голубой цвет. При повышении температуры полученное стекловидное вещество начинало разлагаться, а затем плавилось, причем скорость разложения резко возрастала. При разложении выделялся кислород, а в ловушке оставался примерно 40% раствор перекиси водорода. Таким образом, при взаимодействии жидкого озона с атомарным водородом получалось стекловидное вещество, по внешним признакам аналогичное ранее описанному. Однако по составу это вещество сильно отличалось от последнего. Более подробно этот вопрос будет обсужден ниже.

В табл. 1 дана сводка экспериментальных результатов для всех трех опытов. Из табл. 1 и рис. 2, на которых представлены зависимости выходов конечных продуктов от продолжительности бомбардировки для одной силы тока (150 мА), следует, что выхода конечных продуктов с увеличением

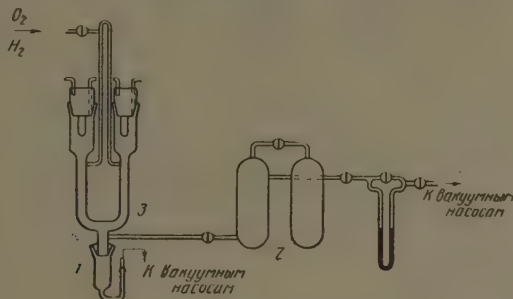


Рис. 1. Схема установки

времени реакции растут и стремятся к определенному пределу. После достижения этого предела взаимодействие практически прекращается. Существование предела нетрудно объяснить тем, что, во-первых, уменьшается количество озона; а во-вторых, образующееся стекловидное

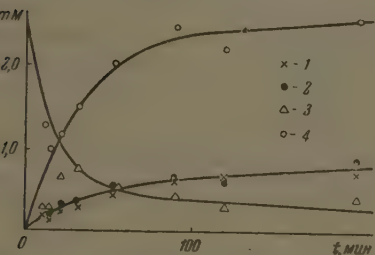


Рис. 2. Зависимость выходов конечных продуктов от продолжительности бомбардировки для силы тока 150 мА: 1, 2 — H_2O_4 3 — O_3 ; 4 — H_2O

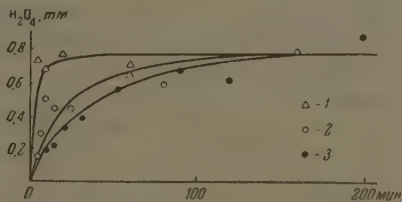


Рис. 3. Зависимость выхода соединения H_2O_4 от силы тока (концентрации атомарного водорода): 1—300; 2—200; 3—150 мА

вещество, экранирует озон. Именно вследствие этого экранирующего действия стекловидного вещества даже при длительной бомбардировке озон не реагировал с атомарным водородом нацело. Самое стекловидное вещество, очевидно, не подвергается действию атомарного водорода, так как предельные выходы для разных сил разрядного тока одни и те же, как это видно из рис. 3. Из этого же рисунка следует, что с увеличением силы разрядного тока (а это пропорционально увеличению концентрации атомарного

Таблица 1

Сила разрядного тока, мА	Продолжительность бомбардировки, мин.	Образовалось		H_2O_2 , мМ	Не прореагирова- ло O_3 , мМ	Конц. H_2O_2 (пос- ле разложения H_2O_2), вес. %	Конц. H_2O (по разложению), вес. %	O_2 (выд.) H_2O_2 (ост.) мМ мМ
		H_2O_2 (после разложения H_2O_2), мМ	O_2 после раз- ложения H_2O_2 , мМ					
150	41	0,19	0,19	1,28	0,31	21,8	35,5	1,00
150	15	0,21	0,13	1,00	0,29	28,2	43,4	0,62
150	22	0,32	0,22	1,17	0,67	52,0	50,0	0,69
150	32	0,38	0,29	1,50	0,79	32,4	48,0	0,76
150	53	0,56	0,43	2,05	0,54	34,0	50,0	0,77
150	90	0,68	0,60	2,50	0,46	34,0	49,0	0,88
150	120	0,62	0,66	2,23	0,33	52,5	54,0	1,06
150	200	0,88	0,72	2,60	0,44	39,0	55,0	0,82
		Среднее				48,1		0,83
200	8	0,29	0,38	0,61	0,81	48,0	63,5	1,31
200	10	0,50	0,56	0,50	0,90	65,5	78,5	1,12
200	15	0,44	0,47	1,06	0,60	44,0	60,0	1,07
200	25	0,44	0,47	1,17	0,46	44,0	58,0	1,07
200	80	0,59	0,63	2,21	—	33,0	49,5	1,07
200	160	0,79	0,86	2,40	0,25	26,0	55,0	1,09
		Среднее				60,8		1,12
300	5	0,74	0,69	1,56	1,02	48,0	63,6	0,93
300	10	0,68	0,59	0,95	0,52	58,0	72,0	0,87
300	20	0,77	0,66	1,89	0,50	43,0	59,7	0,86
300	60	0,65	0,78	1,78	0,46	41,0	57,3	1,20
300	60	0,71	0,84	2,28	0,54	37,0	71,5	1,18
		Среднее				64,8		1,01

водорода) приблизительно линейно возрастает скорость достижения предельного выхода соединения H_2O_2 — основного компонента стекловидного вещества. Выход воды (рис. 4) не зависит от силы разрядного тока и определяется только временем бомбардировки.

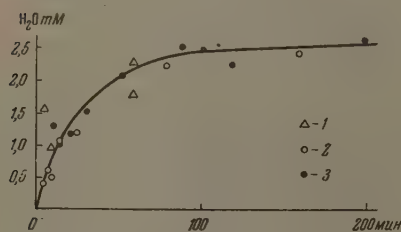


Рис. 4. Зависимость выхода H_2O от силы тока (концентрации атомарного водорода): 1—300; 2—200; 3—150 мА

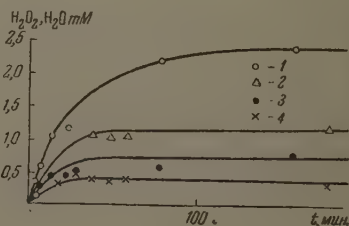


Рис. 5. Зависимость предельных выходов H_2O_2 и H_2O от размера пленки жидкого озона: 1 — выход H_2O (широкая пленка); 2 — H_2O (узкая пленка); 3 — H_2O_2 (широкая пленка); 4 — H_2O_2 (узкая пленка)

Предположение об экранирующем действии стекловидного вещества было проверено прямым экспериментом. Когда условия конденсации озона

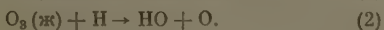
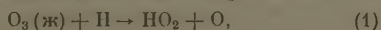
ти изменены таким образом, что получилась более узкая, но более толстая стенка озона (при том же исходном количестве озона), предельные выходы же уменьшились (рис. 5). Толщина экранирующего слоя оставалась, evidently, той же самой, но ширина его сокращалась, а следовательно, уменьшалось количество прореагировавшего озона и пропорционально ему выхода продуктов реакции.

Наиболее важным показателем, полученным в ходе исследования, является отношение выделяющегося при разложении кислорода к остающейся перекиси водорода. Во всех опытах это отношение было постоянным и равным единице. Оно не зависело ни от силы разрядного тока, ни от продолжительности взаимодействия. Аналогичное отношение для кислорода и воды не превышает подобного постоянства (см. гл. 1, рис. 6).

ОБСУЖДЕНИЕ РЕЗУЛЬТАТОВ ОПЫТОВ

Рассмотрение полученных экспериментальных данных позволяет сделать некоторые заключения о механизме взаимодействия атомарного озона с атомарным водородом и о составе получающегося стекловидного вещества.

В качестве первичных реакций могут рассматриваться следующие два процесса:



Исключая наличие в молекуле озона двух равноценных связей $\text{O} - \text{O}$, нам кажется вполне правдоподобным допустить существование обоих процессов. Из четырех полученных по уравнениям (1) и (2) продуктов лишь радикал HO_2 способен конденсироваться на холодных стенках ловушки I (рис. 1). Остальные три продукта — HO -радикалы, O -атомы и O_2 -молекулы — должны покидать ловушку жидкого озона. Активные частицы HO -радикала, O -атомы вступают в газовой фазе в цепную реакцию с молекулярным водородом:



Видимому вследствие этого обстоятельства выход воды не зависит от концентрации атомарного водорода (силы разрядного тока).

Для молекул кислорода в газовой фазе, вообще говоря, мыслимы следующие два процесса:



Первая реакция ведет к образованию HO_2 -радикала, вторая реакция в отсутствие реакции (3) может привести к образованию воды. Однако вероятности обоих этих взаимодействий много меньше, чем для реакции (3). Поэтому кислород, образующийся по уравнению (2), в основном, не заываясь, покидает ловушку.

Чтобы проследить судьбы HO_2 -радикалов, обратимся к молярным отношениям конечных продуктов. Выше указывалось, что отношение $\text{O}_2/\text{H}_2\text{O}_2$ (ост.), мМ постоянно и близко к единице. Найденная связь кислорода и перекиси водорода заставляет предположить, что оба эти продукта возникают при разложении первичного вещества, которым, по всей вероятности, можно считать высшую перекись водорода H_2O_4 . В самом деле, радикалы HO_2 , получающиеся по уравнению

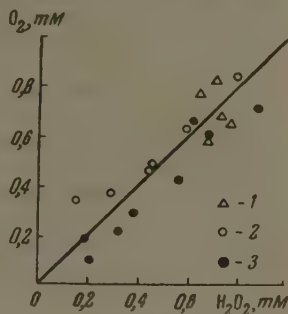
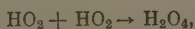
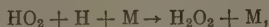


Рис. 6. Отношение количества выделяющегося при разложении O_2 к остающейся H_2O_2 при силе тока: 1—300; 2—200; 3—150 мА

(1), накапливаются в пленке жидкого озона и рекомбинируют



давая соединение H_2O_4 , которое в смеси с вымораживающейся из газовой фазы водой образует стекловидное вещество. При образовании достаточно толстого слоя последнего взаимодействие прекращается. Если наряду с процессами (1), (2) и (3) имел место процесс образования перекиси водорода по уравнению



где М — холодная стенка, то отношение O_2 (выд), $m\text{M}/\text{H}_2\text{O}_2(\text{ост})$, m было бы меньше единицы. Только предположение, что при повышении температуры соединение H_2O_4 разлагается на кислород и перекись водорода по уравнению $\text{H}_2\text{O}_4 \rightarrow \text{H}_2\text{O}_2 + \text{O}_2$, может объяснить найденную связь между количествами выделяющегося кислорода и перекиси водорода. Следовательно, первичными продуктами взаимодействия жидкого озона с атомарным водородом являются H_2O_4 и H_2O . Перекись водорода не образуется вовсе, она получается лишь при разложении соединения H_2O_4 . Таким образом, вместо трехкомпонентного стекловидного вещества было получено двухкомпонентное, в котором содержание соединения H_2O_4 при увеличении силы разрядного тока достигало 48—67 вес. %, что, очевидно, должно значительно облегчить дальнейшее изучение свойств этого соединения. Возможно, однако, что полученное нами вещество общего состава H_2O_4 отчасти является смесью вымороженных радикалов HO_2 . Сейчас пока трудно решить альтернативу, содержит ли стекловидное вещество только соединение H_2O_4 или же имеется примесь HO_2 -радикалов.

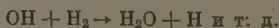
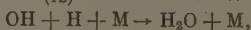
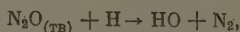
Кислородный баланс типичного опыта, представленный в табл. 1, не только согласуется с предложенным механизмом, но позволяет также оценить относительную вероятность реакций (1) и (2).

Таблица 2

Исходный кислород, г/ат	Кислород не про- реакт. O_2 , г/ат	Кислород в H_2O_4 , г/ат	Кислород в H_2O_2 , г/ат	Потеря кислорода в виде O_2 , г/ат
7,5	4,0	3,3	2,5	0,8

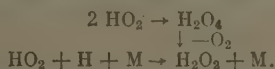
Если предположить, как это было сделано, что O_2 , получающийся по уравнению (2), теряется, то реакция (1) в 4 раза вероятней реакции (2). ОН-радикалы и О-атомы не теряются, так как в воду переходит третья часть исходного кислорода. Следовательно, ОН-радикалы и О-атомы участвуют только в реакциях (3), ведущих к образованию воды.

Нами были также поставлены опыты по бомбардировке атомарным водородом конденсированных пленок кислородных соединений азота — закиси азота N_2O и двуокиси азота NO_2 , которые должны были выяснить, необходима ли для образования радикала HO_2 и перекиси H_2O_4 связь двух атомов кислорода $\text{O} - \text{O}$ или этот процесс может идти и при наличии связи $\text{O} - \text{X}$ (где X — другой элемент). Опыты ставились так же, как и с жидким озоном, с той лишь разницей, что в ловушке I вымораживалась твердая пленка N_2O или N_2O_4 , которые затем бомбардировались Н-атомами. Анализ продуктов такого воздействия показал, что ни в одном случае не образовывались ни HO_2 -радикалы, ни H_2O_4 , ни H_2O_2 . В случае N_2O получалась только вода и удалялся азот, т. е. реакция шла по следующей схеме:



В случае бомбардировки, четырехокиси азота в конечном счете получается кислый раствор, который по соотношению данных титрования и веса раствора нельзя полностью отождествить ни с раствором азотной кислоты, ни с раствором азотистой кислоты.

Данные опыты ясно показывают, что для образования перекиси через атомарный водород и кислород необходима связь $O-O$, т. е. необходимо образование радикала HO_2 , который дальше может давать и H_2O_4 и H_2O_2 :



радикал же OH , очевидно, не способен образовывать перекись водорода рекомбинационным механизмом:



даст лишь воду по изображенным выше уравнениям (3).

В заключение отметим, что хотя мы считаем предложенный механизм образования HO_2 , H_2O_4 и H_2O_2 довольно надеемо обоснованным совокупностью полученных данных, но окончательное решение может быть дано лишь в результате дальнейшего исследования процесса взаимодействия $(ж) + H$ и свойств получающегося продукта. Проводимые калориметрические и магнитные измерения полученного продукта, а также изучение кинетики его разложения должны дать для этого существенный материал.

ВЫВОДЫ

1. Исследовано взаимодействие жидкого озона с атомарным водородом при -196° . В результате этого взаимодействия вымораживается стекловидное вещество, содержащее высшую перекись H_2O_4 в смеси с водой и, возможно, радикалами HO_2 . Концентрация соединения H_2O_4 доходит до вес. %.
2. Изучено влияние продолжительности бомбардировки и концентрации атомарного водорода на выход соединения. Показано, что накопление высшей перекиси водорода происходит до определенного предела, зависящего от геометрических размеров пленки жидкого озона. Увеличение концентрации атомарного водорода вызывает повышение скорости достижения предельного выхода H_2O_4 , но не изменяет его значения.
3. Предложен механизм взаимодействия. Первичными процессами являются реакции (1) и (2). Образующиеся HO_2 -радикалы дают затем H_2O_4 , атомы и OH -радикалы дают только воду. Получающийся по уравнению кислород теряется для реакции.
4. Предполагается, что перекись водорода образуется только при разложении соединения H_2O_4 .
5. Проведено взаимодействие атомарного водорода с закисью и четырехокисью азота. Образование перекиси водорода в обоих случаях не обнаружено. В случае N_2O образуется только H_2O , в случае N_2O_4 — кислый продукт. Тем самым показано, что процесс образования H_2O_4 и H_2O участвием H -атомов идет лишь при наличии связи $O-O$.

Московский государственный
университет им. М. В. Ломоносова

Поступила
2. VII. 1956

ЛИТЕРАТУРА

- C. L. Berthelot, Ann. Chem. Phys., 21, 176, 1880.
J.W.Brühe, Ber., 28, 2847, 1895.
C. H. Tanatar, Ber., 33, 1709, 1899.
A. H. Бах, ЖРФХО, 29, 373, 1897.
N. D. Zelinsky, V. V. Borissow, Ber., 56, 396, 1923.
A. Bayer, V. Villiger, Ber., 33, 1569, 1900.
A. M. Clover, Journ. Amer. Chem., 29, 463, 1903.
К. В. Астахов, А. Г. Гецов, ДАН, 81, 43, 1951.
П. М. Стадник, ДАН, 87, 445, 1952.

10. К. Е. Круглякова, Н. М. Эмануэль, ДАН, **83**, 593, 1952.
11. А. П. Пурмаль, Журн. физ. химии, **29**, 846, 1955.
12. J. D. McKinley, Journ. Chem. Phys., **22**, 1258, 1954.
13. К. Е. Миронов, Журн. физ. химии, **28**, 2253, 1954.
14. А. П. Пурмаль, Журн. физ. химии, **29**, 744, 1955.
15. W. H. Rodebush, M. H. Wahl, Journ. Chem. Phys., **1**, 696, 1931.
16. K. M. Geib, P. Hartek, Ber., **65**, 1550, 1932.
17. E. Ohara, Journ. Chem. Soc. of Japan, **60**, 1170, 1939.
18. E. J. B. Willey, Trans. Farad. Soc. **30**, 230, 1934.
19. Discussion of the Faraday Society, **14**, обл. дискус., 1953.
20. P. A. Giguere, Journ. Chem. Phys., **22**, 2085, 1954.
21. S. W. Foner, B. R. Hudson, Journ. Chem. Phys., **23**, 1970, 1959.
22. E. J. Badin, Journ. Amer. Chem. Soc., **10**, 3651, 1948.
23. R. A. Jones, C. A. Winkler, Can. Journ. Chem., **29**, 1010, 1951.
24. J. S. Batzold, C. Luner, C. A. Winkler, Can. Journ. Chem., **31**, 262, 1953.
25. P. A. Giguere, E. A. Secco, Eaton. Dis. Farad. Soc., **14**, 104, 1953.
26. P. A. Giguere, E. A. Secco, Journ. Phys. Rad., **15**, 508, 1954.
27. J. D. McKinley, D. Garvin, Journ. Chem. Soc., **77**, 5802, 1955.
28. Л. И. Некрасов, Диссертация МГУ, 1951.
29. Н. И. Кобозев, Л. И. Некрасов, Е. Н. Еремин, Журн. физ. химии, **30**, 2580, 1956.

THE PHYSICAL CHEMISTRY OF CONCENTRATED OZONE

II. A STUDY OF THE SYNTHESIS OF THE HIGHER PEROXIDE OF HYDROGEN H_2O_4 BY THE REACTION BETWEEN CONCENTRATION OZONE ATOMIC HYDROGEN

N. I. Kobozev, I. I. Skorokhodov, L. I. Nekrasov and E. I. Makarova

(Moscow)

Summary

The reaction between liquid ozone and atomic hydrogen has been studied at $-196^\circ C$. As a result of this reaction a glassy substance is frozen out, containing a higher peroxide of hydrogen H_2O_4 in a mixture with water and perhaps with HO_2 radicals. The concentration of H_2O_4 may reach 67% by weight. The effect has been studied of the duration of bombardment and of the hydrogen atom concentration on the yield. It was shown that the accumulation of the peroxide takes place up to a certain limit that depends upon the geometrical size of the liquid ozone film. Increase in the atomic hydrogen concentration increases the rate of attaining the limiting H_2O_4 yield but does not affect its value.

A mechanism for the reaction has been proposed. The primary reactions are (1) and (2). The HO_2 radicals formed then yield the H_2O_4 . Oxygen atoms and OH radicals yield only water. The oxygen produced according to Eq. (2) is lost to the reaction. Hydrogen peroxide has been assumed to form above $-115^\circ C$ by decomposition of the H_2O_4 with the evolution of oxygen.

Atomic hydrogen has been reacted with nitrogen tetroxide and nitrous oxide. In neither case was hydrogen peroxide observed to be formed. With N_2O only H_2O was formed with N_2O_4 , an acid product. Hence it was demonstrated that the process of formation of H_2O_4 and H_2O_2 with the participation of H atoms takes place only in the presence of the O—O bond.

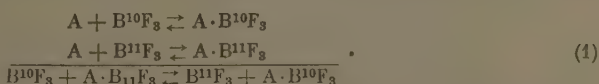
ХИМИЧЕСКИЙ МЕТОД РАЗДЕЛЕНИЯ ИЗОТОПОВ БОРА

Г. М. Панченков, В. Д. Моисеев и А. В. Макаров

Описанные в литературе методы разделения изотопов бора с помощью масс-спектрометра высокой интенсивности [1—3], термодиффузии фтористого бора [4—7] и перегонки хлористого бора [8] оказались малоэффективными. Уже после выполнения стоящей работы [9] были опубликованы материалы [10] о весьма успешном разделении изотопов бора с помощью перегонки фтористого бора. Однако и этот последний метод обладает довольно существенными недостатками, связанными со сравнительно малой разницей в упругостях паров компонентов $B^{10}F_3$ и $B^{11}F_3$ и с необходимостью вести перегонку при глубоком охлаждении.

Для разделения изотопов легких элементов едва ли не самым лучшим методом является разделение с помощью реакций изотопного обмена. Поэтому было интересно применить этот метод для разделения изотопов бора. Однако сведений об обмене изотопов бора в литературе нет.

Нами для этой цели был использован фтористый бор и его комплексные соединения, которые он образует в большом числе [11, 12]. Среди них имеются жидкие или растворимые в органических жидкостях; это позволяет легко создать противоток такого соединения и фтористого бора. Некоторые из комплексов заметно диссоциированы уже при комнатной температуре, что дает основание ожидать достаточно быстрого изотопного обмена по схеме:



Здесь через A обозначено вещество, с которым фтористый бор дает комплексное соединение $A \cdot BF_3$. Существуют комплексные соединения фтористого бора с ароматическими эфирами, например анизолом и фенолом, с некоторыми производными жирных эфиров и аминами, которые при нагревании количественно разлагаются на исходные вещества; такой способ обращения фаз экономически много выгоднее и практически удобнее, чем обращение фаз с помощью добавления каких-либо реагентов. В литературе нет сведений о константах равновесия реакций изотопного обмена, основанных на комплекссообразовании; но, поскольку бор является одним из самых легких элементов, можно ожидать, что константа равновесия реакции (1) будет достаточно отличаться от единицы.

Нам казалось возможным осуществить пригодную для разделения изотопов бора реакцию изотопного обмена между фтористым бором и каким-либо его комплексным соединением, разлагающимся при нагревании. Из последних мы выбрали жидкое комплексное соединение фтористого бора с анизолом, которое сильно дымит на воздухе из-за заметной диссоциации на анизол и фтористый бор и количественно разлагается по реакции [11]:



ЭКСПЕРИМЕНТАЛЬНАЯ ЧАСТЬ

Реагенты. Анизол марки «чистый» перед употреблением два дня высушивали над металлическим натрием и затем перегоняли; отбиралась фракция, кипящая в интервале $154-156^\circ C$ при атмосферном давлении.

Употреблявшийся фтороборат аммония был марки «чистый».

Борный ангидрид — марки «технический».

Фтористый бор получался по реакции [12]



Комплекс анизол—фтористый бор. Для последующей работы необходимо было знать, хотя бы приблизительно, какое количество фтористого бора поглощает анизол, и в каких условиях идет количественное разложение комплекса анизол—фтористый бор. Поглощение фтористого бора анизолом изучалось в приборе, изображенном на рис. 1. Газовый счетчик 2 по устройству напоминает большой ртутный затвор. Колокол счетчика опущен в ртуть, и объем его прокалиброван. Сосуды 8 и 9, объемом каждый по 10 мл, впаяны стеклянные фильтры 6 и 7; в каждый сосуд было налито по 4 мл анизола. Фтористый бор получался в колбе по реакции (3) и при открытом кране 3 и закрытом 4 поступал под колокол счетчика. Когда под колоколом собиралось достаточное количество газа, нагревание колбы прекращалось и край 3 закрывался. Затем вертикальным движением колокола давление газа в нем приводилось к атмосферному и отсчитывался объем. После этого открывался край 4 и фтористый бор медленно пропусклся в анизол, находившийся в сосуде 8. Давление снова приводилось к атмосферному, и отсчитывался объем. Разность объемов

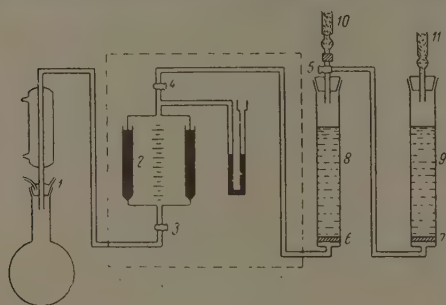


Рис. 1. Прибор для изучения состава комплекса анизол—фтористый бор

представляет собою объем газа, поглощенного анизолом. Эта процедура повторялась несколько раз, пока из трубки 10 не начал идти удрушливый белый дым. Суммарный объем газа, пропущенного в анизол, за вычетом объема воздуха, первоначально находившегося в колбе и счетчике, оказался равным 850 мл. Затем к сосуду 8 был последовательно подключен сосуд 9 с 4 мл анизола, сквозь оба сосуда снова пропущен фтористый бор до появления дыма из трубки 11.

Общее количество поглощенного анизолом фтористого бора оказалось равным 1760 мл.

Полученный в разных опытах комплекс $A \cdot BF_3$ был окрашен

в цвет от соломенно-желтого до вишнево-красного. На воздухе комплекс сильно дымит при попадании на кожу вызывает жжение. Прибавление к комплексу капли спиртового раствора метилоранжа вызывает окрашивание, как в сильно кислой среде.

При стоянии комплекса иногда замечалось медленное осаждение очень небольшого количества сильно преломляющих кристаллов в виде тонких чешуек или пленок. Природа их не выяснилась. Было замечено также, что после перегонки анизола, полученного как термическим разложением комплекса $A \cdot BF_3$, так и разложением с помощью аммиака, в колбе остается немного красновато-коричневого вещества, растворимого в ацетоне, вероятно, продукта частичного осмоления анизола. Это вещество нами также не исследовалось. Относительное количество его в анизоле было тем большим, чем больше проходило времени с момента приготовления комплекса.

Поглощение фтористого бора анизолом вызывает заметное увеличение объема последнего. В одном опыте из 6 л анизола после насыщения его фтористым бором образовалось примерно 7 л комплекса.

Выделение фтористого бора из комплекса $A \cdot BF_3$ изучалось путем нагревания комплекса в колбе с обратным холодильником и с помощью обработки аммиаком образцов жидкости, отобранных из колбы. Образцы, отобранные сразу после начала кипения, содержали заметные количества фтористого бора. Однако в образцах после 10-минутного кипячения было обнаружено лишь незначительное количество фтористого бора, а в отобранных после часового кипячения, BF_3 обнаружен не был. Как будет показано ниже, в соответствующим образом сконструированных печах можно добиться количественного разложения комплекса.

«С т у п е н ч а т ы й» о п ы т. Идея опыта заключается в следующем. Представим себе, что некоторое количество комплекса $A \cdot BF_3$ разделено пополам и фтористый бор, выделенный нацело из одной половины комплекса, приведен в контакт с другой его половиной. Если имеет место реакция (1) с константой равновесия α , то изотопный состав газа и жидкого комплекса изменится так, что будет иметь место соотношение $(B^{10}/B^{11})_{ж} / (B^{10}/B^{11})_{г} = \alpha$.

* Вначале поглощение фтористого бора анизола идет быстро, затем замедляется. После появления дыма анизол способен поглотить еще некоторое, но очень небольшое, количество BF_3 .

Обозначим $\alpha = 1 + \xi$, и пусть $|\xi| \leq 0,01$. Тогда с большой точностью действует справедливое равенство

$$(B^{10}/B^{11})_{\text{ж}} / (B^{10}/B^{11})_r = 1 + \xi/2.$$

Далее удалим газ, а комплекс снова поделим пополам и приведем одну половину его в контакт с фтористым бором, выделенным из другой половины, и т. д. Повторив эту операцию n раз, получим коэффициент разделения

$$(B^{10}/B^{11})_{\text{п. к.}} / (B^{10}/B^{11})_{\text{и. к.}} = s = (1 + \xi/2)^n \approx 1 + \frac{n\xi}{2} \approx \alpha^{n/2},$$

где индекс п. к. означает полученный комплекс, а и. к. — исходный комплекс.

Если $\alpha = 1,01$ (ожидался именно такой порядок для величины α) и $n = 9$, $s = (1,01)^{4,5} = 1,045$. При достигнутой нами точности анализа (не менее 5% для одиночной серии из $r = 20$ отношений B^{11}/B^{10}) [5, 13], эффект такой величины мы обязательно должны были обнаружить.

«Ступенчатый» опыт был осуществлен в приборе, изображенном на рис. 1, с вычетом части прибора, заключенной пунктирную рамку. В колбу и сосуд 8 заливался свежеприготовленный комплекс $A \cdot BF_3$, и колба осторожно нагревалась. Фтористый бор медленным потоком проходил сквозь комплекс, находящийся в сосуде 8, и поглощался свежим анизолом, находившимся в сосуде 9. Затем анизол из колбы удалялся, в нее помещалась часть (немного более половины) комплекса из сосуда 8, и процесс повторялся. По мере уменьшения количества комплекса использовались во все меньшающихся размерах колба и сосуды 8 и 9.

Схема операций, проведенных в «ступенчатом» опыте, изображена на рис. 2. Здесь сплошными стрелками изображено движение жидкости, пунктирными — движение газа. Знаком Δ изображен исходный комплекс; знаками \square — порции комплекса, сквозь которые пропускался фтористый бор; знаками \circ — порции комплекса, из которых выделялся фтористый бор; знаками \odot — порции комплекса, выделенный из которых газ предназначался для масс-спектрометрического анализа; знаками \blacksquare — порции анизолов, поглощающие прошедший сквозь комплекс газ; знаками \boxtimes — порции, совмещающие обе последние функции. Число около знаков указывает объем жидких порций. Значки, лежащие на одной вертикали, соответствуют порциям с одинаковым изотопным составом бора.

Выделение фтористого бора из образцов комплекса $A \cdot BF_3$, полученных в «ступенчатом» опыте (а также и в опытах с противоточной установкой — см. ниже), и отбор этого газа в ампулы для последующего масс-спектрометрического изотопного анализа, производились в приборе, изображенном на рис. 3. Краны и шлифы прибора смазывались смазкой из церезина и авиационного масла [5, 6].

Прибор работал следующим образом: образец комплекса помещался в колбу и медленно кинутся при быстром токе воды сквозь охлаждаемый шлиф и холодильник. Выделившийся фтористый бор, пройдя ловушки 9 — 11, замораживался в ампулах 12, которые затем откачивались и оттаивались. Изотопный состав газа из ампул определялся на масс-спектрометре по описанной ранее методике [5, 13].

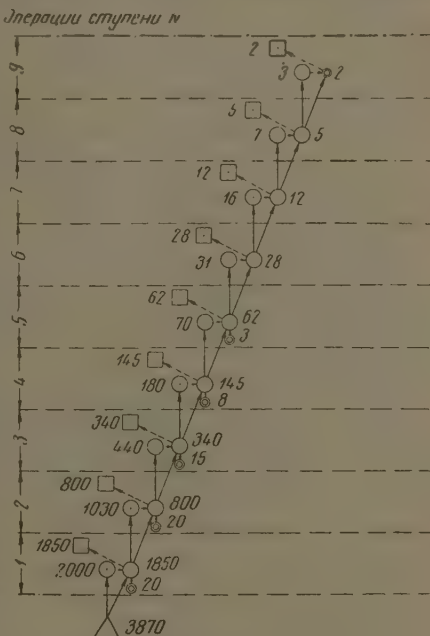


Рис. 2. Схема «ступенчатого» опыта

Фактически были проанализированы только образцы газа из порций содержащих наиболее разделенный продукт. Состав их соответствовал $n/2=3,5$ и $n/2=4,5$. Эталонем служил фтористый бор, полученный в реакции (3).

Результаты анализов приведены в табл. 1

Таблица 1

Результаты «ступенчатого» опыта

$n/2$	q измер.	q средн. $\pm \Delta q$ средн.	$s \pm \Delta s$	$\alpha \pm \Delta \alpha$
$n/2 = 0$ («эталон»)	4,51 4,43 4,46	$4,47 \pm 0,03$	—	—
$n/2 = 3,5$	4,25 4,28 4,21 4,17 4,43 4,43	$4,29 \pm 0,09$	$1,042 \pm 0,029$	$1,012 \pm 0,008$
$n/2 = 4,5$	4,17 4,09 4,27 4,27 4,37 4,27	$4,24 \pm 0,07$	$1,056 \pm 0,024$	$1,013 \pm 0,005$

Рассмотрение табл. 1 показывает, что реакция изотопного обмена (1) действительно имеет место и что константа равновесия этой реакции равна $1,013 \pm 0,005$, причем изотоп B^{10} концентрируется в комплексе $A \cdot BF_3$, т. е. в жидкой фазе.

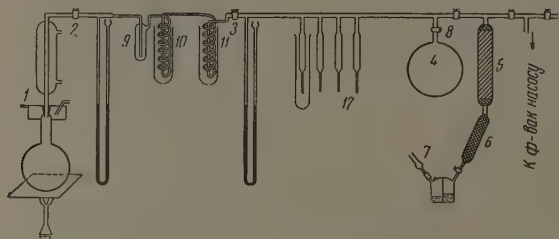


Рис. 3. Вакуумная установка для получения образцов фтористого бора

Установка для разделения изотопов бора в противотоке. Принципиальная схема установки изображена на рис. 4. Сплошными стрелками обозначено движение жидкости, пунктирными — движение газа. Комплекс $A \cdot BF_3$ из резервуара 1 течет вниз по колонне с насадкой 3 и разлагается частично в печи 4 и полностью — в печи 5. Выделившийся фтористый бор поднимается в колонне 3 навстречу потоку комплекса и поглощается анизолом в резервуаре 2. Оработанный анизол из печи 5 поступает в резервуар 6.

Процесс был осуществлен в смонтированной целиком под специальной тягой стеклянной установке, изображенной на рис. 5.

Баки 1 и 2, объемом по 15 л, обмотаны снаружи резиновым плантом, сквозь который пропускается холодная вода. Баки имеют прилифованные пробки с мешалкой гутным затвором. Пробки соединены с атмосферой через осушительную систему. Две воронки 3 и 4, служащие для наполнения баков 1 и 2 анизолом, в анизол пускается фтористый бор из генератора (см. рис. 6) или из хвостовой части колонны 5.

Через шлифы 6 и 7 в баки введены сифоны, по которым плекс подается в колонну 5. Чтобы цельность столба жидкости не нарушалась, вследствие накопления газа в верхних изгибах сифонов, от этих изгибов отведены вертикальные трубки аспираторами, в которые с помощью резиновых груш 8 и 9 плекс может быть засосан до высокого уровня. Это обеспечивает гладкую работу сифона.

Пробка дозирующего крана 10 изображена на рис. 5 в правый нижний угол. От пробки обычного крана она отличается тем, что по бокам отверстия в ней сделаны два надреза, более обтекание около отверстия и сходящие на нет с удалением от о. Такой кран позволяет плавно регулировать скорость подачи жидкого комплекса в колонну.

Колонна 5 представляет вертикальную стеклянную трубку длиной 205 см и внутренним диаметром 2,1 см. Она окружена извнутри рубашкой, по которой может пропускаться вода из водостата 11. В нижней части колонны сделана кольцевая насадка, на которой лежит слой насадки высотой в 2 см, состоящий из коротких кусочков тонкой стеклянной трубки. Остальная часть колонны 5 заполнена насадкой типа Фенске. Диаметр кольца насадки 2,5 мм, толщина кольца 0,7 мм. Поверхность 1 см² насадки составляет 19,4 см², а поверхность всей насадки, заполняющей колонну, равна 8 м².

Жидкий комплекс поступает в колонну и выходит из нее сквозь две капельницы, что позволяет удобно следить за скоростью потока жидкости.

Печи 12 и 13, снабженные обратными холодильниками (для конденсации паров анизола и охлаждения фтористого бора, выделяющегося из комплекса), представляют

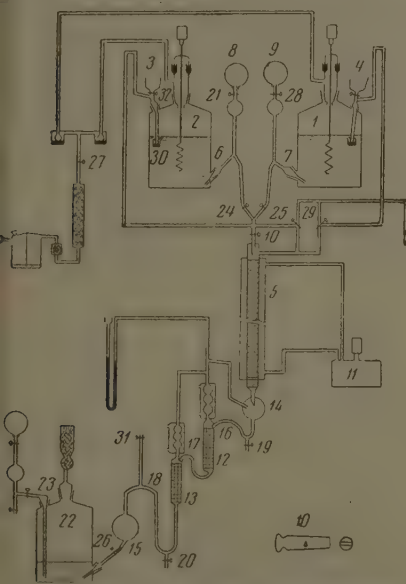


Рис. 5. Установка для противоточного разделения изотопов бора

позволяет выпускать воздух, вытесненный анизолом из приемника 15. Устройство, длинное с баком 22 с помощью шлифа 23, позволяет выкачивать анизол из бака 22.

Краны 10, 24, 25, 19, 20 и 26 должны быть смазаны смазкой, которая не разрушается фтористым бором, не растворяется в анизоле и не вымывается им из крана.

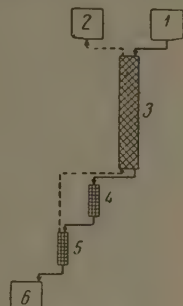


Рис. 4. Принципиальная схема установки

собой стеклянные трубки длиной 25 см и внутренним диаметром 2 см. Печи заполнены насадкой из кусочков стеклянной трубки и обогреваются снаружи нихромовой спиралью.

Между шариком 14 и печью 12, между печами 12 и 13, а также между печью 13 и приемником анизола 15 имеются коленообразные трубки 16, 17 и 18. В трубке 16 собирается обогащенный изотопом В¹⁰ комплекс, образцы которого (для последующего масс-спектрометрического анализа) могут быть отобраны через кран 19. Верхние изгибы трубок 17 и 18 находятся на высоте 7 см над дном печей 12 и 13; в результате во время работы установки нижняя часть печей заполнена анизолом. Нагрев печей регулируется с помощью автотрансформаторов так, чтобы анизол в печах кипел не слишком бурно. В трубке 18, кроме того, создается жидкостный затвор, который заставляет выделившийся в печах фтористый бор направляться в колонну. Так как давление в шарике 14 во время работы колонны не превосходит атмосферного более чем на 3—4 мм рт. ст., достаточно глубина колена трубки 18, равная 10 см.

Кран 20 позволяет отбирать образцы жидкости для проверки полноты разложения комплекса. Кран 13

После ряда неудачных попыток мы остановились на смазке, приготовленной из 7 частей растворимого крахмала, 3,5 вес. частей маннита и 25 вес. частей глицерина [14]. Смесь при тщательном перемешивании и нагревании постепенно принимала однородное состояние и после охлаждения приобретала вид густого вазелина. Крайне смазанные такой смазкой, выдерживали комплекс $A \cdot BF_3$ в течение нескольких часов.

Генератор и система очистки фтористого бора, поступающего в бак 1 или 2 для получения комплекса, изображена на рис. 6.

Комплекс $A \cdot BF_3$ получался следующим образом: в баки 1 и 2 (рис. 5) наливали по 6 л анизола, в колбу (рис. 6) помещалась порция смеси $NH_4BF_4 + B_2O_3$. Под втушки 4-9 (рис. 6) подводились дюжеры со смесью ацетон-сухой лед; в пилфит в холодильник 2 (рис. 6) в холодильники, связанные с печами 12 и 13 и в резиновую шланг, обматывающий баки 1 и 2 (рис. 5), пропускаться ток холодной воды. Затем слегка открывался кран 3, олеум

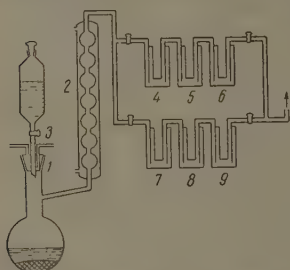


Рис. 6. Генератор фтористого бора

начинал поступать в колбу (рис. 6) и выделяющийся фтористый бор, пройдя ловушки, поступал в бак 1 (рис. 5). При этом периодически включался мотор, вращавший мешалку в баке.

Было замечено, что реакция (3) начинается

идет примерно на 30% на холоду; в дальнейшем необходимо нагревание.

Противоточная установка (рис. 5) работала следующим образом. В начале работы все краны, с исключением крана 27, закрыты. Затем открывает кран 28, с помощью резиновой группы 9 в сиф засасывается комплекс почти до крана, после чего кран закрывается. Далее открывается кран 25 и помощью крана 10 устанавливается нужная скорость поступления комплекса в колонну. Когда комплекс, смачивая насадку, достигает дна колонны, включается нагрев печей 12 и 13. Комплекс в печах разлагается, и фтористый бор, пройдя холодильник, поступает в шарик 14, поднимается в

встречу потоку комплекса вверх по колонне и через кран 29 и затвор 30 поступает в бак 2, где поглощается анизолом (при этом время от времени включается мотор, вращающий мешалку). После того как колено 18 заполнится жидкостью и последняя станет поступать в приемник 15, открывается кран 31. Во время работы периодически контролируется и поддерживается постоянная скорость поступления комплекса в колонну.

К тому моменту, когда сквозь печи 12 и 13 пройдет весь комплекс из бака 1, анизол в баке 2 почти целиком превращается в комплекс, и после некоторого донасыщения его фтористым бором из генератора и заливки анизола в бак 1 баки меняются ролями.

Когда колонна работает в стационарном режиме, жидкость, отбираемая из крана 20, практически не содержит фтористого бора.

Образцы комплекса для масс-спектрометрического изотопного анализа (2-3 мл) отбирались в склянки с притертой пробкой с помощью крана 19. После отбора образцов комплекс в течение некоторого времени не поступает в печи. В результате фтористый бор перестает поступать в колонну, давление в ней падает, и во избежание засасывания анизола в колонну из бака 2 (через затвор 30 и кран 29), необходимо перед отбором образца открывать кран 32. Когда режим работы колонны восстанавливается, кран 32 снова закрывают.

Результаты работы противоточной установки и. С установкой, изображенной на рис. 5, всего было проведено 4 опыта. Два при скорости v подачи комплекса в колонну, равной 2 мл/мин и два при $v = 1$ мл/мин. При масс-спектрометрическом анализе в качестве эталонов (время $t = 0$) использовались образцы, отобранные из колонны до начала опытов.

Результаты опытов приведены в табл. 2. В этой таблице числа графы «номер образца по порядку» указывают последовательность отбора образцов из колонны. В графе « t » указано время, прошедшее от начала опыта до момента отбора соответствующего образца. Графа «номер измерения по порядку» указывает порядок анализа образцов на масс-спектрометре. Видно, что образцы анализировались не в том порядке, в каком они отбирались из колонны, и что порядок анализа в каждом опыте свой. Хотя это, несомненно, должно было несколько ухудшить форму полученных кривых (поскольку условия проведения анализов всегда несколько меняются во времени), но зато позволяло исключить всякую возможность объяснения систематического изменения величины q иными причинами, чем

Таблица 2

Р- 33- ю д- 7	час.	Номер из- мерения по порядку	q измер. $\pm \Delta q$ измер.	γ	δ	q исправл. \pm Δq исправл.	s	% В ¹⁰
0	1		$4,22 \pm 0,03$	0,00	0,000	$4,22 \pm 0,03$	—	19,16
1	5		$3,92 \pm 0,03$	0,13	0,017	$3,94 \pm 0,03$	1,070	20,24
2	4		$3,79 \pm 0,03$	0,08	0,010	$3,80 \pm 0,03$	1,110	20,83
4,25		7	$3,72 \pm 0,04$	0,08	0,010	$3,74 \pm 0,04$	1,128	21,10
		3	$3,71 \pm 0,05$	0,15	0,020	$3,73 \pm 0,05$	1,130	21,12
6,25		6	$3,64 \pm 0,03$	-0,28	-0,036	$3,60 \pm 0,03$	1,171	21,74
		2	$3,56 \pm 0,06$	-0,66	-0,086	$3,47 \pm 0,06$	1,215	22,37
8,2		8	$3,48 \pm 0,02$	-0,24	-0,031	$3,45 \pm 0,02$	1,223	22,47

Результаты опыта 1 ($v = 2$ мл/мин)

Р- 33- ю д- 7	час.	Номер из- мерения по порядку	q измер. $\pm \Delta q$ измер.	γ	δ	q исправл. \pm Δq исправл.	s	% В ¹⁰
0	1		$4,27 \pm 0,02$	0,00	0,000	$4,27 \pm 0,02$	—	18,98
1	8		$3,80 \pm 0,05$	0,03	0,004	$3,80 \pm 0,05$	1,123	20,83
2	7		$3,77 \pm 0,04$	0,22	0,029	$3,80 \pm 0,04$	1,123	20,96
4	6		$3,55 \pm 0,04$	0,05	0,007	$3,56 \pm 0,04$	1,199	21,93
6,65	5		$3,50 \pm 0,03$	-0,01	0,000	$3,50 \pm 0,03$	1,220	22,22
9,75	4		$3,51 \pm 0,01$	-0,01	0,000	$3,51 \pm 0,01$	1,216	22,17
12	3		$3,52 \pm 0,04$	-0,07	-0,009	$3,51 \pm 0,04$	1,216	22,17
27	2		$3,59 \pm 0,03$	-0,68	-0,090	$3,50 \pm 0,03$	1,220	22,22

Результаты опыта 3 ($v = 1$ мл/мин)

Р- 33- ю д- 7	час.	Номер из- мерения по порядку	q измер. $\pm \Delta q$ измер.	γ	δ	q исправл. \pm Δq исправл.	s	% В ¹⁰
0	6		$4,18 \pm 0,05$	0,18	0,023	$4,20 \pm 0,05$	—	19,23
1	5		$4,00 \pm 0,05$	0,08	0,010	$4,01 \pm 0,05$	1,048	19,96
2	4		$3,92 \pm 0,03$	0,06	0,008	$3,93 \pm 0,03$	1,068	20,28
4	3		$3,86 \pm 0,03$	0,05	0,007	$3,87 \pm 0,03$	1,085	20,53
11	2		$3,81 \pm 0,04$	0,02	0,003	$3,81 \pm 0,04$	1,102	20,79
22	1		$3,79 \pm 0,03$	0,00	0,000	$3,79 \pm 0,03$	1,108	20,88

Результаты опыта 4 ($v = 1$ мл/мин)

Р- 33- ю д- 7	час.	Номер из- мерения по порядку	q измер. $\pm \Delta q$ измер.	γ	δ	q исправл. \pm Δq исправл.	s	% В ¹⁰
0	—*		$4,18 \pm 0,05$	0,00	0,000	$4,20 \pm 0,05$	—	19,23
1	2		$4,06 \pm 0,03$	0,45	0,059	$4,12 \pm 0,03$	1,020	19,55
2	3		$4,04 \pm 0,05$	-0,02	-0,003	$4,04 \pm 0,05$	1,040	19,84
4		4	$4,01 \pm 0,03$	-0,01	0,000	$4,01 \pm 0,03$	1,048	19,96
		5	$3,95 \pm 0,03$	-0,05	-0,007	$3,94 \pm 0,03$	1,066	20,24
6,5		6	$3,98 \pm 0,03$	0,03	0,004	$3,98 \pm 0,03$	1,055	20,08
8		7	$3,81 \pm 0,04$	-0,17	-0,022	$3,79 \pm 0,04$	1,109	20,88
12		8	$3,87 \pm 0,02$	0,06	0,008	$3,88 \pm 0,02$	1,082	20,49
15,5		9	$3,85 \pm 0,03$	-0,02	-0,003	$3,85 \pm 0,03$	1,091	20,62
21,5		1	$3,61 \pm 0,03$	0,00	0,000	$3,61 \pm 0,03$	1,164	21,69
		10	$3,50 \pm 0,05$	-0,35	-0,046	$3,45 \pm 0,05$	1,218	22,47

* В опыте 4 q «эталопа» не было измерено. Его значение взято из опыта 3.

Разделением изотопов в колонне, например, изотопным эффектом десорбции при масс-спектрометрическом анализе фтористого бора [5, 13]. Введением в значение q поправок на наложение предыдущего образца последующий [5, 13] получили числа графы « q исправл.», которым приписана та же ошибка, что и соответствующим значениям q . Оценим грубо поправку на наложение. Рассмотрим результаты опыта 2. Первым анализировался эталон, вторым — образец № 8, взятый в конце процесса разделения, и т. д. По смыслу очевидно, что наименьшее значение q достигнуто через 6,25 часа; последующие (по времени их отбора) образцы № 6, и 8 обнаружили завышенное значение q не потому, что процесс разделе-

ния пошел в обратную сторону, а потому, что они измерялись вследствие «эталоном».

То же имело место и в других опытах (см., например, дублика образца № 6 в опыте 1).

Будем грубо считать, что «поправка на наложение» δ пропорциональна разности γ между величинами предыдущего и вслед за ним измеренного образца, т. е., что

$$\delta = q_{\text{исправл.}} - q_{\text{измер.}} = r\gamma = r(q_{\text{послед.}} - q_{\text{пред.}}).$$

В уравнении (4) $q_{\text{измер.}} = q_{\text{послед.}}$. Будем, далее, считать, что для образца № 8 (опыт 2) $q_{\text{исправл.}} = 3,50$; $q_{\text{измер.}} = q_{\text{послед.}} = 3,59$; $q_{\text{пред.}} = 4,27$: Следовательно, $\delta = -0,09$; $\gamma \approx -0,7$; $r = 0,13$. Считая уравнение

$$\delta = 0,13(q_{\text{послед.}} - q_{\text{пред.}}).$$

Справедливым для всех анализов при наших интервалах концентраций изотона B^{10} во фтористом боре, мы нашли значения δ и $q_{\text{исправл.}} = q_{\text{измер.}} + \delta$ для всех образцов.

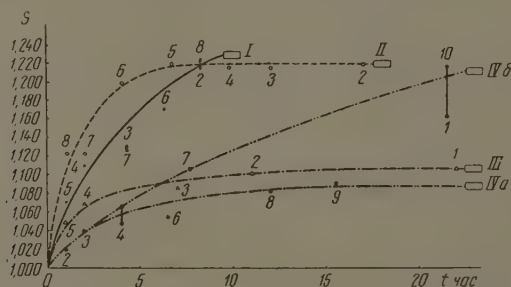


Рис. 7. Зависимость коэффициента разделения от времени работы установки. I — опыт 1; II — опыт 2; III — опыт 3, IVa и IVб — опыт 4

В табл. 2 ошибка $\Delta q_{\text{измер.}}$ есть средняя арифметическая. Из значений $q_{\text{исправл.}}$ вычислены коэффициенты разделения s . Графически результаты соответствующих опытов изображены на рис. 7. Рассмотрение этих результатов показывает следующее. Действительно имеет место разделение изотопов бора по реакции (1); изотоп B^{10} концентрируется в жидкой фазе.

Наибольший полученный нами коэффициент разделения изотопов бора равен 1,223; это значит, что при $\alpha = 1,013$ наша колонна имеет 15 теоретических тарелок.

Кривая опыта 2 ($v = 2$ мл/мин) показывает, что равновесное разделение достигается за 6—8 часов; в опыте 1 ($v = 2$ мл/мин) достигнутое же разделение, как и в опыте 2, но из хода кривой видно, что равновесное (оно же максимальное) разделение далеко не достигнуто. По-видимому, различие в характере кривых опытов 1 и 2 можно объяснить тем, что ряд образцов в опыте 1 показал уменьшенное разделение, вследствие засасывания в колонну комплекса из бака 2. Опыты 3 и 4 ($v = 1$ мл/мин) в сравнении с опытом 2 показывают, что время достижения равновесного разделения с уменьшением v увеличивается.

В опыте 3 равновесное разделение, сильно уменьшенное по сравнению с разделением в опытах 1 и 2, почти достигнуто за 22 часа. Точки опыта 4 не ложатся на одну кривую; если исключить из рассмотрения те или иные точки, результаты опыта 4 можно представить или кривой IVa, или кривой IVб (рис. 7).

Различие в характере кривых опытов 3 и 4 трудно объяснить. Возможно следующее объяснение: в опыте 3 в насадке образовался «ход» газа (т. е. ток газа, находящийся в малом контакте с жидкостью), что привело к уменьшению разделения. К опыту 4 этот «ход» исчез, но ряд образцов казал уменьшенное разделение из-за засасывания комплекса в колонну. Опыт 3 ($v = 1$ мл/мин) в сравнении с опытами 1 и 2 показывает, что величина $s_{\text{равновесн.}} - 1$ приблизительно пропорциональна v . Об этом же говорит и опыт 4, если считать, что он представлен кривой IVa; если же считать, что он представлен кривой IVб, то нужно сделать вывод об обратной зависимости величины $s_{\text{равновесн.}} - 1$ от v и о том, что уменьшение v сказывается, главным образом, на увеличении времени достижения равновесия.

Разброс точек в опытах можно объяснить некоторой нестабильностью боты нашей установки.

Полученные данные указывают на пригодность предложенного нами метода для разделения изотопов бора в промышленных масштабах.

Для разделения изотопов бора по нашему методу пригодны и некоторые другие комплексные соединения фтористого бора (комплексы с β , — дихлордиэтиловым эфиром, фенетолом и др.).

ВЫВОДЫ

1. Доказано существование реакций изотопного обмена, пригодных для разделения изотопов бора в противотоке. Найдено, что однократный коэффициент разделения по реакции обмена фтористого бора с комплексом бористого бора с анизолом равен 1,013.
2. Создана оригинальная установка для разделения изотопов бора на основе реакции обмена фтористого бора с комплексом анизол и фтористого бора и проверена ее работа.
3. Изучены некоторые свойства комплекса анизол с фтористым бором.

Московский государственный
университет им М. В. Ломоносова

Поступило
10. VII. 1956

ЛИТЕРАТУРА

1. Nuclear Science Abstracts № 4, реф. 1745, 1950.
2. J. Koch, Bendt, Nielsen, Kgl. Danske videnskab Selskab, Math. — phys. Medd. 21, № 8, 28, 1944.
3. E. L. Jate, Proc. Roy. Soc., A168, 148, 1938.
4. W. W. Watson, J. O. Buchman a. F. K. Elder, Phys. Rev., 74, 991, 1948.
5. В. Д. Моисеев, Диссертация, Московский гос. университет, химический факультет, Москва, 1955.
6. Г. М. Панченко, В. Д. Моисеев и Ю. А. Лебедев, Журн. физ. химии, 30, 2348, 1956.
7. B. A. Cooke, J. Hawes a. H. A. E. Mackenzie, Journ. of the South African Chem. Inst. New. Ser. 7, 11, 1954.
8. M. Green, a. G. R. Martin, Trans. Farad Soc., 48, 416, 1952.
9. Г. М. Панченко, В. Д. Моисеев и А. В. Макаров, Авторское свидетельство на изобретение № 14754 приоритетом от 16/VII 1954 г.
10. Межд. Конф. по мирному использованию атомной энергии. СССР. Научно-технич. выставка, 1955, стр. 30—34.
11. А. В. Тончилов и Я. М. Паушкин, Соединения фтористого бора в реакциях алкилирования, полимеризации и конденсации, М.—Л., 1949.
12. H. S. Booth a. D. R. Martin, Boron trifluoride and its derivatives, New — York, London 1949.
13. Г. М. Панченко и В. Д. Моисеев, Журн. физ. химии, 30, 1662, 1956.
14. М. А. Шполинский и А. С. Дихачев, Заводская лаборатория, 16, 1500, 1950.

A CHEMICAL METHOD FOR THE SEPARATION OF BORON ISOTOPES.

G. M. Panchenkov, V. D. Moiseev and A. V. Makarov (Moscow)

Summary

A chemical exchange method has been proposed for separating boron isotopes, using boron trifluoride and a liquid complex compound of the boron trifluoride decomposing at not high temperatures. As such a complex use was made of the system boron trifluoride and anisole. A number of properties of this complex have been investigated. A noncountercurrent arrangement was tested for separating boron isotopes based on the chemical exchange between boron trifluoride and its anisole complex. The method was found to be applicable for the production on an industrial scale of large amounts of enriched boron up to the highest concentrations of the isotope.

РЕНТГЕНОГРАФИЧЕСКОЕ ИССЛЕДОВАНИЕ РЕАКЦИЙ МЕЖДУ ТВЕРДЫМИ ОКИСЛАМИ ЖЕЛЕЗА И ОКИСЛАМИ ВОЛЬФРАМА И МОЛИБДЕНА*

Ю. Д. Козманов

Известно [1], что в интервале температур 260—300° идет реакция между FeO и WO_3 и продуктом этой реакции является вольфрамат железа FeWO_4 . Аналогично для продукта реакции между FeO и MoO_3 дается формула FeMoO_4 . Были проделаны также опыты с целью выяснения возможности реакции между Fe_2O_3 и WO_3 (MoO_3). Эти опыты дали отрицательный результат.

Довольно широко распространен ферберит FeWO_4 . Обычно он содержит некоторое количество марганца. Легированный марганцем ферберит вытесняется вольфрамитом. Имеется непрерывный ряд минералов от феррита до гюбнерита MnWO_4 [2]. Очень редко встречаются минералы с формулами $\text{FeO}_3 \cdot \text{WO}_3 \cdot 6\text{H}_2\text{O}$ (ферритунгстит) и $\text{Fe}_2\text{O}_3 \cdot \text{MoO}_3 \cdot 7\frac{1}{2}\text{H}_2\text{O}$ (мо-дидит) [3]. Безводных разновидностей этих минералов неизвестно.

Бреннер [4] установил, что при окислении сплавов железа с молибдом (до 20% Mo) внутренний слой окалин состоит из MoO_2 и фазы Mo_nO , которую мы будем называть фазой Бреннера.

В настоящей работе произведено рентгенографическое исследование реакций между твердыми окислами железа и окислами вольфрама и молибдена, а также изучено поведение железо-вольфрамовых и железо-молибденовых окислов при высокой температуре в воздухе и вакууме.

ЭКСПЕРИМЕНТАЛЬНАЯ ЧАСТЬ

Материалы и методика исследования. Трехокись вольфрама WO_3 получалась путем окисления вольфрама в воздухе при 800°. MoO_3 приготавлилась путем окисления металлического молибдена в воздухе при 1000°. Вюстит FeO получался путем восстановления окалин железа в железных контейнерах. Использовались как природный магнетит и синтетический гематит. Исходные продукты анализировались рентгенографически.

Из растертых в агатовой ступке окислов приготавливались смеси соответствующего состава (чаще всего в молярном отношении 1 : 1). Исходная смесь помещалась в железный контейнер, имеющий вид цилиндра (толщина стенок и дна 3 мм, высота 40 мм). Твердое тело контейнера забивалась цилиндрической пробкой, при этом помещенная в контейнер смесь плотно утрамбовывалась. После диффузионного отжига дно контейнера вскрывалось, и продукты анализировались путем рентгенографического и химического анализа. Некоторая часть опытов (для сравнения) была проделана в железных контейнерах.

Кроме диффузионного отжига в контейнерах производились отжиги без контейнеров. В этих случаях из смеси порошков спрессовывались таблетки или же порошок смеси без прессования помещался в фарфоровую или кварцевую лодочку. Отжиг производился в атмосфере воздуха или в вакууме ($\sim 10^{-2}$ мм рт. ст.) в условиях непрерывной откачки.

Для изучения возможности образования двойных железо-вольфрамовых и железо-молибденовых окислов при окислении железа в условиях контакта с MoO_3 и WO_3 делались следующие опыты. Проволока из железа армко помещалась в фарфоровую лодку, наполненную WO_3 , таким образом, что она покрывалась слоем трехоксида вольфрама. Окисление происходило при 900°.

При окислении в контакте с MoO_3 цилиндрический стальной образец помещался в лодочку, наполненную окисью молибдена и металлическим молибденом (для обеспечения непрерывного поступления MoO_3). Окисление производилось при температуре 1000° в узкой трубчатой печи с уменьшенной циркуляцией атмосферы.

* В проведении экспериментов принимали участие студентки Т. А. Угольникова и С. Субботина.

Реакция между FeO и WO_3 . Было установлено, что продукт реакции между FeO и WO_3 (в вакууме, в железных и медных контейнерах) является FeWO_4 . Это следует из сравнения рентгенограмм продукта реакции с рентгенограммой ферберита [5]. При температуре диффузионного отжига 300° и времени отжига в 8 час. обнаруживается только изменение цвета исходной смеси; первые линии ферберита на рентгенограмме продукта реакции при 500° появляются после 5—6-часового отжига. При 900° реакция заканчивается за промежуток времени, меньший 10 мин. Ферберит является продуктом реакции (в железном и медном контейнерах и в том случае, если вместо вюститита брать магнетит или гематит. Ферберит получается и при отжиге в вакууме смеси Fe_2O_3 (Fe_3O_4) и WO_3 . При соответствующем соотношении между компонентами исходной смеси на рентгенограмме продукта реакции в вакууме видны только линии ферберита.

Устойчивость ферберита при нагревании на воздухе. Было установлено, что если ферберит (природный или синтетический) прокалить на воздухе, то, начиная приблизительно с 600° , происходит окисление ферберита.

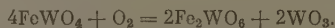
На рентгенограмме продукта окисления ферберита, кроме самых интенсивных линий WO_3 , присутствуют линии новой фазы, рентгенограмм которой несколько напоминает рентгенограмму ферберита (табл. 1).

Таблица 1

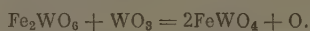
Межплоскостные расстояния и относительная интенсивность линий на рентгенограмме Fe_2WO_6

$d, \text{\AA}$	I	$d, \text{\AA}$	I	$d, \text{\AA}$	I
4,31	Слаб. (разм.)	1,720	Средн.	1,206	Слаб.
3,54	Средн.	1,675	Сильн.	1,177	Оч. слаб.
2,88	Оч. сильн.	1,668	Сильн.	1,158	Слаб.
2,80	Слаб.	1,497	Средн.	1,142	Оч. слаб.
2,48	Слаб.	1,437	Оч. слаб.	1,098	Слаб.
2,42	Слаб.	1,410	Сильн.	1,087	Слаб.
2,28	Оч. слаб.	1,337	Слаб.	1,070	Оч. слаб.
2,14	Оч. слаб.	1,264	Слаб.	1,064	Средн.
1,766	Слаб.	1,237	Оч. слаб.		

Химический анализ этой фазы показывает, что ее можно описать формулой Fe_2WO_6 (или $\text{FeO}_3 \cdot \text{WO}_3$). Это позволяет предположить, что окисление ферберита происходит по схеме.



Если вместо ферберита брать вольфрамит, т. е. легированный марганцем ферберит, то реакция окисления не происходит даже в том случае, если вольфрамит отжигать в течение 8 час. при 900° , тогда как для окисления синтетического ферберита при этих условиях надо несколько минут. Если продукт прокалывания ферберита на воздухе прокалывать при 800 — 900° в вакууме, то на рентгенограмме продукта реакции видны только линии ферберита, т. е. реакция идет в обратном порядке, с образованием кислорода в момент выделения.



Реакция между Fe_2O_3 и WO_3 . Фаза Fe_2WO_6 получается при реакции между Fe_2O_3 (Fe_3O_4 , FeO) и WO_3 на воздухе, начиная приблизительно с 600° (при выдержке в несколько часов). Опыты по окислению сплава железа с вольфрамом (60% W) показали, что верхний слой окислины при окислении в воздухе (950° , 7 час.) состоит из фазы Fe_2WO_6 . Фаза Fe_2WO_6 наблюдалась нами при окислении железной проволоки.

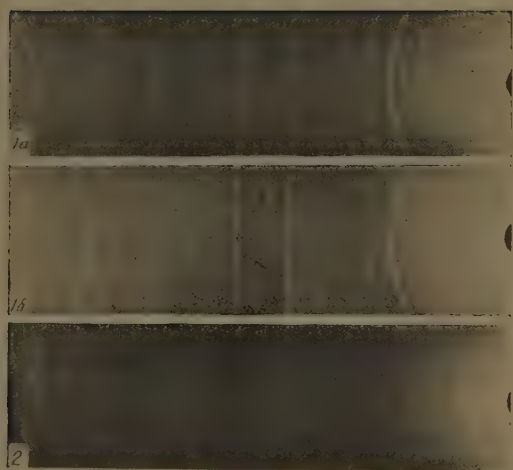


Рис. 1. *а* — рентгенограмма FeWO_4 , *б* — рентгенограмма Fe_2WO_6

Рис. 2. Рентгенограмма продукта реакции между FeO и MoO_3 (600° , 38 час.)

порошке окиси вольфрама. Окалина на железе в этом случае имеет следующий состав. Наружный слой состоит из Fe_2WO_6 . Далее следует ой, состоящий из смеси Fe_3O_4 и FeWO_4 , и, наконец, слой FeO .

Р е а к ц и я между FeO и MoO_3 . Оказалось, что, начиная приблизительно с 400° , между FeO и MoO_3 идет реакция, продуктом которой является фаза Бреннера и MoO_2 (или, может быть, двойной железомолибденовый окисел со структурой MoO_2). Относительное содержание MoO_2 , обнаруживаемое рентгенографически, тем меньше, чем выше температура диффузионного отжига и чем больше его продолжительность. Присутствие MoO_2 в продукте реакции обнаруживалось даже в том случае, когда продолжительность диффузионного отжига при 600° достигала 38 час.

Поскольку мы не могли получить вполне однофазного продукта реакции, состоящего из фазы Бреннера, мы использовали следующий способ установления химического состава этой фазы. Были синтезированы молибдаты никеля и кобальта. Для молибдата никеля в работе Бреннера [4] приведены межплоскостные расстояния и относительная интенсивность линий на дебаевской рентгенограмме. Сравнивая рентгенограммы молибдатов никеля, кобальта и фазы Бреннера, мы пришли к выводу, что фаза Бреннера — это молибдат железа FeMoO_4 . Поскольку у Бреннера приведены межплоскостные расстояния лишь для нескольких линий FeMoO_4 и не указана интенсивность линий, мы приводим соответствующие данные для рентгенограммы FeMoO_4 (табл. 2). Для сравнения приведены данные по NiMoO_4 и CoMoO_4 .

Таблица 2

Межплоскостные расстояния и относительная интенсивность линий на рентгенограммах FeMoO_4 , CoMoO_4 и NiMoO_4 *

FeMoO_4	CoMoO_4	NiMoO_4	I	FeMoO_4	CoMoO_4	NiMoO_4	I
6,58	6,50	6,43	Средн.	2,11	2,09	2,06	Сильн.
6,27	6,18	6,11	Сильн.	1,910	1,900	1,890	Слаб.
4,75	4,65	4,59	Слаб.	1,870	1,865	1,830	Слаб.
3,75	3,74	3,72	Слаб.	1,830	1,820	1,800	Слаб.
3,53	3,52	3,50	Сильн.	1,788	1,771	1,761	Слаб.
3,15	3,14	3,08	Оч. сильн.	1,740	1,734	1,716	Средн.
2,79	2,75	2,74	Сильн.	1,671	1,665	1,650	Слаб.
2,36	2,34	2,32	Средн.	1,612	1,601	1,598	Средн.
2,32	2,30	2,27	Средн.	1,516	1,507	1,498	Средн.
2,23	2,22	2,19	Средн.				

* Указаны только наиболее интенсивные линии.

Таблица 3

Межплоскостные расстояния и относительная интенсивность на рентгенограмме Y-фазы *

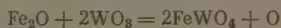
d, Å	I	d, Å	I	d, Å	I
5,86	Оч. слаб.	2,38	Слаб.	1,364	Оч. слаб.
4,39	Средн.	2,16	Слаб.	1,361	Оч. слаб.
4,06	Средн.	1,871	Слаб.	1,334	Оч. слаб.
3,91	Оч. сильн.	1,557	Слаб.	1,283	Оч. слаб.
3,55	Средн.	1,521	Оч. слаб.	1,258	Оч. слаб.
3,34	Оч. слаб.	1,500	Оч. слаб.	1,212	Оч. слаб.
2,89	Слаб.	1,409	Средн.	1,182	Оч. слаб.
2,84	Слаб.	1,395	Оч. слаб.		

* Приведены наиболее характерные линии.

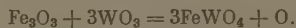
Реакция между Fe_2O_3 (Fe_3O_4) и MoO_3 . Если прокалив смесь Fe_2O_3 (Fe_3O_4) и MoO_3 в воздухе, то при выдержке в несколько часов при 700° заметно изменение цвета исходной смеси, а на рентгенограмме появляются линии новой фазы. Эту фазу мы назвали Υ -фазой. Формулу этой фазы установить не удалось. Υ -Фаза обнаруживается наряду с Fe_2O_3 и MoO_3 в продукте прокалывания на воздухе молибдата железа. Она обнаружена нами в окалине сплава железа с молибденом (54% Mo), а также в окалине железа при окислении в парах MoO_3 . Межплоскостные расстояния и интенсивность линий Υ -фазы приведены в табл. 3.

ОБСУЖДЕНИЕ РЕЗУЛЬТАТОВ

Проведенные опыты показывают, что в результате реакции между твердыми окислами железа и вольфрама возможно образование двойных окислов вольфрама: FeWO_4 и Fe_2WO_6 . Второй из этих окислов Fe_2WO_6 при $800\text{--}900^\circ$ имеет высокое давление диссоциации, чем объясняется обратимость реакции окисления ферберита при замене воздушной атмосферы на вакуум. Этим обстоятельством объясняется и образование ферберита из смеси гематита (магнетита) и WO_3 при диффузионном отжиге в вакууме. В этом случае реакция идет по схеме



или



Высокое давление диссоциации Fe_2WO_6 и тот факт, что эта фаза образуется при окислении железа в контакте с WO_3 , как нам кажется, позволяет объяснить ускоряющее действие трехоксида вольфрама на процесс окисления железа [6]. Известно, что ускоряющее действие некоторых окислов на процесс окисления металлов и сплавов может быть объяснено или возможностью образования легкоплавких эвтектик или высоким давлением диссоциации этих окислов. Трехокись вольфрама имеет высокую температуру плавления (выше 1400°) и до 1400° заметно не диссоциирует. Приведенные выше опыты позволяют, как нам кажется, объяснить ускоряющее действие окиси вольфрама образованием фазы Fe_2WO_6 . Фаза Fe_2WO_6 , присутствующая в наружном слое окарины, является своеобразным катализатором, поставляющим атомарный кислород для окисления и уменьшающим тем самым энергию активации процесса окисления железа.

Проведенные опыты показывают, что при реакции между твердыми окислами железа и окислами молибдена возможно образование следующих фаз: FeMoO_4 , MoO_2 и Υ -фазы. По своему составу Υ -фаза является, по видимому, двойным железо-молибденовым окислом, аналогичным Fe_2WO_6 , но мы не могли установить формулу этой фазы. Присутствие MoO_2 (или железо-молибденового окисла со структурой MoO_2) можно объяснить предположением, что эта фаза является промежуточным продуктом. В пользу этого предположения говорит и то, что относительное количество этой фазы уменьшается с повышением температуры и увеличением продолжительности отжига.

Интересным является факт обнаружения Υ -фазы в окалине железа при окислении в контакте с MoO_3 . Ранее было показано, что при окислении железа в этих условиях наблюдается ускорение процесса окисления. Это объясняется высокой степенью диссоциации MoO_3 . Наши опыты показывают, что окисление железа в этих условиях сопровождается изменением фазового состава окарины — появлением в верхнем слое окарины железа Υ -фазы. Таким образом, действие MoO_3 сводится не только к действию кислорода в момент выделения, но и к изменению фазового состава окарины на железе.

ВЫВОДЫ

1. Установлено, что при реакции между твердыми окислами железа и вольфрама возможно образование двойных железо-вольфрамовых оксидов WO_4 и Fe_2WO_6 .
2. Сделано предположение, что наблюдавшееся ранее ускорение процесса окисления железа при наличии контакта с WO_3 связано с образованием в наружном слое окалина железа фазы Fe_2WO_6 .
3. Установлено, что при реакции между окислами железа и молибдена возможно образование железо-молибденовых оксидов Fe_2MoO_4 и фазы.
4. Y-Фаза наблюдается также при окислении железа в контакте с MoO_3 в окалине сплава железа с молибденом (54% Mo).

Уральский гос. университет
Свердловск

Поступила
6.VI.1956

ЛИТЕРАТУРА

- G. Tamman, F. Westerhold, Zs. anorg. u. allg. Chem., 49, 21—45, 1926.
 А. Г. Бетехтин, Минералогия, Госгеолгиздат, М., 595, 1950.
 С. С. Смирнов, Зона окисления рудных месторождений, Изд. во АН СССР, М., 1955.
 S. S. Brenner, Journ. Electrochem. Soc., 102, 7, 1955.
 А. К. Болдырев, В. П. Михеев, В. И. Дубинина и Г. А. Ковалев, Рентгенометрический определитель минералов, ч. 1, Записки Лен. горн. инст., 11, вып. 2, 1938.
 W. C. Leslie, M. C. Fontana, Trans. Amer. Soc. Metals, 41, 1213, 1949.

AN X-RAY STUDY OF THE REACTION BETWEEN SOLID IRON OXIDES AND THE OXIDES OF TUNGSTEN AND MOLYBDENUM.

Yu. D. Kozmanov (Sverdlovsk)

Summary

It was established that in the reaction between solid iron and tungsten oxides binary iron-tungsten oxides $FeWO_4$ and Fe_2WO_6 may be formed. It was suggested that the previously observed acceleration of iron oxidation on contact with WO_3 was connected with the formation of the phase Fe_2WO_6 in the exterior layer of the iron scale. In the reaction between iron and molybdenum oxides it was found that iron-molybdenum oxides $FeMoO_4$ and the Y-phase may be formed. The Y-phase was also observed on oxidation of iron in contact with MoO_3 and in the scale of an iron-molybdenum alloy (54% Mo).

ИССЛЕДОВАНИЕ РАВНОВЕСИЯ В РЕАКЦИИ ВОССТАНОВЛЕНИЯ TiO_2 УГЛЕРОДОМ ПРИ ВЫСОКИХ ТЕМПЕРАТУРАХ. II

В. С. Куцев и Б. Ф. Ормонт

По исследованию равновесий реакций образования карбидов восстановлением соответствующих окислов углеродом имеется ограниченное число работ [1—7]. Основным их недостатком является необоснованное написание уравнений реакций. Состав фаз и фазы, представленные в уравнениях, как участвующие в равновесии, либо не подтверждались совсем методами химического и рентгеновского анализа, либо мало проверялись [1—7].

Так, Брантли и Бэкман [6] при исследовании равновесия относили свои данные к фиктивному уравнению



Г. А. Меерсон и Я. М. Липкес показали [8—10], что это уравнение ошибочно и карбид титана имеет переменный состав, а не стехиометрический, включая в свою кристаллическую решетку не только углерод, но и кислород.

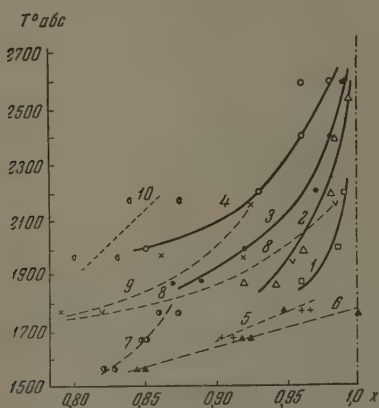


Рис. 1. Зависимость содержания углерода от температуры и давления. 1 — $P = 20$ мм; 2 — $P = 50$ мм; 3 — $P = 200$ мм; 4 — $P = 750$ мм рт. ст. (наши данные); 5 — $P = 1$ мм; 6 — $P = 10$ мм; 7 — $P = 100$ мм рт. ст. (данные [7]); 8 — $P = 10$ мм; 9 — $P = 100$ мм; 10 — $P = 300$ мм рт. ст. (данные [12])

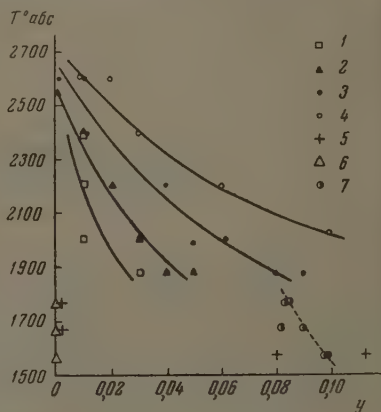


Рис. 2. Зависимость содержания кислорода от температуры и давления. 1 — $P = 20$ мм; 2 — $P = 50$ мм; 3 — $P = 200$ мм; 4 — $P = 750$ мм рт. ст. (наши данные); 5 — $P = 1$ мм; 6 — $P = 10$ мм; 7 — $P = 100$ мм рт. ст. (данные [7])

Я. С. Уманский и С. С. Хидекель доказали это также исследованием интенсивностей линий на рентгенограммах [11]. Г. А. Меерсон и О. Е. Крэйн [7], а в более ранних исследованиях Г. А. Меерсон и Я. М. Липкес [12] изучали равновесие в системе $\text{Ti}-\text{C}-\text{O}$. Равновесные содержания Ti , C и O из [7] и [12] пересчитаны нами на формулы TiC_xO_y и нанесены на рис. 1 и 2 в виде зависимости x и y от T и P (пунктирные кривые). Как видно из рисунков, данные [7] не согласуются с результатами [12]. Эт

* Точки $P = 1$, $T = 1573^\circ \text{K}$, $x = 0,71$ не попадает в рассматриваемый на рис. интервал составов $x =$ от 0,75 до 1,0.

де охватывают область температур от 1573 до 1773° К для зависимости x от T и область температур от 1573 до 1773° К для зависимости y от T и P .

Результаты работы [12] (кривые 8, 9 и 10, рис. 1), к сожалению, не имеют данных о содержании кислорода; опыты проводились в печи Таммана без достаточной прочности достижения состояния термодинамического равновесия. Для давлений 10 и 1 мм рт. ст. ход кривых 6 и 7 (рис. 1), по данным [7], не совпадает на 200—300° с кривых по данным [12].

Кривые 5, 6 и 7 (рис. 1), построенные по данным [7], лежат незакономерно. Поэтому, кривая $P = 1$ должна лежать ниже кривой $P = 10$ мм рт. ст.

В работе [7] данные по содержанию кислорода имеются; точки закономерно лежат $P = 100$ мм рт. ст. Для давлений же $P = 1$ и $P = 10$ мм рт. ст. точки разбросаны, а в основном ложатся на ось ординат (рис. 2).

В первой части работы [13] нами было показано, что восстановление TiO_2 углеродом при 1650—1800° К и давлении CO 100—800 мм рт. ст. идет через окисел состава $\text{Ti}_x\text{O}_{1,7}$ с образованием оксикарида титана TiC_xO_y , где $x \sim 0,6—0,75$, $y \sim 0,1—0,4$. При 2000° К восстановление идет через окисел Ti_2O_3 . Окислы $\text{TiO}_{1,7}$ и Ti_2O_3 в течение исследования не являлись устойчивыми и полностью восстанавливались в O_2 при избытке углерода.

В равновесии находятся фазы TiC_xO_y — C — CO . Это равновесие не является моновариантным: при постоянной температуре имеются различные равновесные упругости и соответствующие им равновесные составы TiC_xO_y .

Вероятно, существование области более низких температур и высоких давлений, Ti_2O_3 или $\text{TiO}_{1,7}$ будут находиться в равновесии с оксикаридом, C и CO . Равновесие в этом случае сосуществования окисла будет моновариантным, как в случае исследования равновесия в системе ZrO_2 — C в области 1700—2000° К и давлений 1—1000 мм рт. ст. [1,14]. Здесь следует указать, что в литературе сюда это не учитывается и сравниваются результаты работ, проведенных в различных условиях [15]. В работе [1] исследуются условия равновесного сосуществования фаз в системе ZrO_2 — C в интервале температур 1800—2015° К и давлений 0,522—2,32 атм.

В работе [15] приводятся данные для совершенно другой области давлений 0—0,3 мм рт. ст. и 1000—1900° К, причем в условиях, когда равновесие достигнуто было. В то же время в [15] делается неоправданный, на наш взгляд, вывод о неправомерности принятого в [1] фазового состава.

В данном исследовании нами устанавливалась зависимость x и y от T и P в интервале температур 1880—2600° К.

ЭКСПЕРИМЕНТАЛЬНАЯ ЧАСТЬ

Исходными материалами служила двуокись титана с содержанием TiO_2 не менее 99% и графит (100% С). При комнатной температуре двуокись титана по рентгеновскому анализу представляла смесь рутила и анатаза. Для проведения реакции смесь окиси титана и графита, измельченных в 320 меш, прессовалась при давлении 10 кг/см² в штабики весом ~ 5 г.

Определение периодов решетки карбида проводилось на K_α -излучении железа, камерами диаметром 86 и 114 мм. Между собой образцом помещалась алюминиевая фольга толщиной 0,1 мм во избежание излучения от вторичного излучения. Химический анализ производился на содержание углерода общего и свободного [13]; углерод определялся по разности. Непосредственно перед анализом проконтролировалось содержание кислорода**.

Таблица 1

№ препарата	% кислорода по разности	% кислорода методом вакуумной плавки
166	0,8	0,642
165	0,3	0,472
152	1,3	1,05
153	1,2	1,07
175	0,2	0,496

Результаты анализа сравниваются в табл. 1 с данными, вычисленными по разности. Анализы расходятся в пределах точности химического анализа (0,2—0,3%).

Кроме этого, нами была проведена экспериментальная проверка возможности определения кислорода на позитивном рентгеновском спектрометре УРС-50 и по методу, описанному Я. С. Уманским и С. С. Хидекемом. В работе [11] по отношению

* Формулы окислов мы ставим в кавычки, так как они, по видимому, не должны быть постоянной составу и являются фазами переменного состава.

** Анализ проводится в лаборатории Ю. А. Клячко в ЦНИИЧЕРМЕТе Е. М. Чинковой, которой авторы, пользуясь случаем, выражают благодарность.

интенсивности линий с четными и нечетными индексами на одной и той же деграмме и известному содержанию связанного углерода (по данным химического анализа находилось содержание кислорода; интенсивности линий определялись в [11] методом фотометрированием с точностью 3—4%. Это отвечало точности в определении количества 0,7% (по отношению к весу карбида). В связи с тем, что точность регистрации интенсивностей на УРС-50 и не превышает 6—10%, нам не удалось достигнуть точности 0,7% в определении кислорода.

Часть препаратов оксикарбида подвергалась контрольным анализам на содержание азота: растворением в смеси хромовой и серной кислот с последующей отгонкой NH_3 при избытке $NaOH$ по окраске реактива Несслера по сравнению с эталоном; лориметрически установлено содержание азота менее 0,1%.

Равновесие исследовалось манометрическим методом, который был нами усовершенствован [16]*. Равновесие изучалось в интервале 1880—2600° К и давлениях 20—750 рт.ст. Устанавливалась постоянная температура и постоянное давление оксид углерода, что достигалось откачкой CO насосом, пока давление более не повышалось в течение 1—2 часа.

Чтобы проверить, является ли давление CO равновесным, мы давление несколько увеличивали (на 25—30 мм), после этого наблюдался спад давления в течение 15—30 мин., а затем давление поднимали (на 25—30 мм) — наблюдался подъем давления (в течение CO). Чисто динамический метод [1] или чисто статический метод [7] давали худшие воспроизводимости равновесных составов и требовали гораздо больше времени.

Результаты исследования. В табл. 2 приводятся равновесные составы полученных оксикарбидов при температурах от 1880

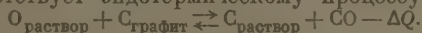
Таблица

Т° К	Р мм рт. ст.			
	20	50	200	750
2600		№ 164 $TiC_{0,99}O_{0,00}$ $a = 4,317_5kX$	№ 197 $TiC_{0,99}O_{0,00}$ $a = 4,317_5kX$	№ 191 $TiC_{0,98}O_{0,00}$
			№ 161 $TiC_{0,99}O_{0,01}$ $a = 4,316kX$	№ 167 $TiC_{0,98}O_{0,02}$ $a = 4,317kX$
2400	№ 192 $TiC_{0,97}O_{0,01}$ $a = 4,318kX$	№ 162 $TiC_{0,97}O_{0,01}$ $a = 4,317kX$	№ 165 $TiC_{0,98}O_{0,01}$ $a = 4,316kX$	№ 166 $TiC_{0,96}O_{0,03}$ $a = 1,317kX$
2200	№ 187 $TiC_{0,99}O_{0,01}$ $a = 4,315kX$	№ 157 $TiC_{0,97}O_{0,02}$ $a = 4,318kX$	№ 185 $TiC_{0,97}O_{0,04}$ $a = 4,317kX$	№ 155 $TiC_{0,94}O_{0,06}$ $a = 4,312kX$
2000	№ 204 $TiC_{0,98}O_{0,01}$ $a = 4,318kX$	№ 158 $TiC_{0,96}O_{0,03}$ $a = 4,316_5kX$	№ 153 $TiC_{0,94}O_{0,05}$ $a = 4,315_7kX$	№ 151 $TiC_{0,85}O_{0,10}$ $a = 4,313_3kX$
1880	№ 188 $TiC_{0,96}O_{0,03}$ $a = 4,317_5kX$	№ 179 $TiC_{0,92}O_{0,05}$ $a = 4,315_3kX$	№ 142 $TiC_{0,87}O_{0,08}$ $a = 4,315_5kX$	
		№ 183 $TiC_{0,94}O_{0,04}$ $a = 4,313kX$	№ 141 $TiC_{0,89}O_{0,09}$	

* Имеется ряд сообщений Г. А. Меерсона и сотрудников по использованию манометрического метода для исследования механизма восстановления окислов углерода [15, 17] построением кривых давление CO — время при равномерно повышающейся температуре, что является целесообразным, если проводить рентгеновский анализ твердых фаз. Значения давлений и температур в этом методе не являются равновесными и не могут быть использованы для вычислений по уравнению $\Delta G = \Delta H - T\Delta S$, что в работе [15, 17] и не делалось. Однако в [18] такие вычисления приводятся, что нельзя считать правильным.

$^{\circ}\text{K}$ и давлениях от 20 до 750 мм рт. ст. Там же даны периоды решетки X. Точность в определении индексов в формулах TiC_xO_y оценена в 0,01 для x и $\pm 0,01$ для y ; точность в определении периода решетки 0,001 кX. Как видно из таблицы, в основном $x+y=0,98\pm 0,02$. В результате изменений давления окиси углерода и температуры реакции происходит замена углерода на кислород или кислорода на углерод. Наибольшие изменения состава и периода решетки происходят по диагоналям табл. 2) слева — направо.

Данные табл. 2 нанесены на рис. 1 и 2 в виде зависимости содержания кислорода от температуры и давления; там же приведены пересчитанные нами на формулы TiC_xO_y и нанесенные для сравнения результаты работ [7] и [12]. Ход наших кривых (сплошные линии) показывает, что с повышением температуры происходит замещение кислорода углеродом, что соответствует эндотермическому процессу



с повышением температуры кривые равных давлений приближаются к T (рис. 2), прямой $x=1$ и также друг к другу.

Каждый определенный состав TiC_xO_y можно получить при разных давлениях, определив по графику температуру, соответствующую данным x и y и выбранному давлению.

Например, состав $\text{TiC}_{0,99}\text{O}_{0,01}$ (0,3% кислорода и 19,7% углерода) можно получить при $P=50$ мм и $T=2320^{\circ}$ или $P=200$ мм и $T=2550^{\circ}$ и $P=750$ мм рт. ст. и $T=2600^{\circ}\text{K}$ и т. д. Влияние давления на состав сказывается при высоких температурах в гораздо меньшей мере, чем при более низких температурах. Из хода кривых работы [7] (5, 6 и 7 рис. 1) и наших работы [12] (8, 9, 10, рис. 1) следуют совершенно обратные выводы, так как кривые [7] сходятся с понижением температуры так же, как и кривые [12], т. е. чем выше температура, тем больше сказывается на составе разница в давлениях.

Несмотря на то, что кислород определялся нами по разности, а углерод прямым путем, воспроизводимость точек для зависимости содержания кислорода от T и P соблюдается лучше, чем для зависимости содержания кислорода от T и P . Это объясняется тем, что парциальные молярные теплота и свободная энергия реакции присоединения (растворения) кислорода в решетке оксикарида отвечают величинам, в несколько раз большим, чем для углерода, при данном T и P . Свободная энергия образования оксикарида в большей степени зависит от содержания кислорода, несмотря на его сравнительно небольшое количество по сравнению с углеродом. Период решетки во всем интервале изменения составов от $\text{TiC}_{0,95}\text{O}_{0,10}$ до $\text{TiC}_{0,99}\text{O}_{0,00}$ меняется всего на 0,004 кX, при изменении x от 0,85 до 0,99. Для относительно бескислородного карбида при изменении x на 0,1 изменение периода решетки в 2—3 раза больше (по данным [11, 19]). Следует отметить, что при введении кислорода в незаэтичные углеродомы происходит расширение решетки: период решетки a для TiC_x меньше, чем для TiC_xO_y . При введении кислорода вместо углерода происходит расширение решетки: a для TiC_{x+y} больше, чем для TiC_xO_y .

ВЫВОДЫ

1. Исследовано равновесие в системе $\text{TiC}_x\text{O}_y-\text{C}-\text{CO}$ в интервалах температур от 1880 до 2600°K и давлений от 20 до 750 мм рт. ст. Установлена зависимость x и y от T и P : повышение температуры или понижение давления сдвигает равновесие в сторону замещения кислорода углеродом. Чем выше температура, тем меньше влияние давления на состав. Карбид практически стехиометрического состава TiC может быть получен при $P=750$ мм рт. ст. при температуре около 2700°K .

2. Исследованы периоды идентичности оксикаридов.

Физико-химический институт
им. Л. Я. Карпова
Москва

Поступила
7.VII.1956

ЛИТЕРАТУРА

1. C. H. Prescott, Journ. Amer. Chem. Soc., 48, 2534, 1926
2. O. Heusler, Zs. f. anorg. u. allg. Chem., 154, 353, 1926.
3. R. Lorenz, J. Woolcock, Zs. f. anorg. u. allg. chem., 176, 289, 1926.
4. C. H. Prescott, W. B. Hinckle, Journ. Amer. Chem. Soc. 49, 2744, 1927, 2753, 1927.
5. R. Brunner, Zs. Electrochem., 38, 55, 1932.
6. L. R. Brantley, A. O. Beckman, Journ. Amer. Chem. Soc., 52, 3966, 1930.
7. Г. А. Меерсон и О. Е. Крейн, Журн. прикл. химии, 25, 134, 1952.
8. Г. А. Меерсон, Редкие металлы, № 4, 1935.
9. Г. А. Меерсон и Я. М. Липкес, Журн. прикл. химии, 22, 1579, 1933.
10. Г. А. Меерсон и Я. М. Липкес, Журн. прикл. химии, 24, 291, 1941.
11. Я. С. Уманский и С. С. Хидекель, Журн. физ. химии, 983, 1941.
12. Г. А. Меерсон и Я. М. Липкес, 28, 251, 1945.
13. В. С. Кудев и Б. Ф. Ормонт, Журн. физ. химии, 29, 597, 1955.
14. В. С. Кудев, Б. Ф. Ормонт и В. А. Эпельбаум, ДАН, 104, 567, 1955.
15. Г. А. Меерсон и Г. В. Самсонов, Журн. прикл. химии, 25, 744, 1952.
16. В. С. Кудев, Б. Ф. Ормонт и В. А. Эпельбаум, Журн. физ. химии, 29, 630, 1955.
17. Г. А. Меерсон и Я. М. Липкес, Журн. прикл. химии, 28, 24, 1945.
18. Г. В. Самсонов, Журн. прикл. химии, 28, 1018, 1955.
19. А. Е. Ковальский и Т. Г. Макаренко, Журн. теор. физики, 23, 1953.

EQUILIBRIUM STUDIES ON THE HIGH TEMPERATURE REDUCTION OF TiO_2 CARBON

V. S. Kutsev and B. F. Ormont (Moscow)

Summary

The reduction of titanium oxides, in particular TiO_2 , by carbon, being the prototype of processes for carbide production from the oxides, is of considerable theoretical and practical interest (both from the aspect of carbide technology and of the metals themselves).

Equilibria in the system $\text{TiC}_x\text{O}_y - \text{C} - \text{CO}$ have been studied over the temperature range 1880 to 2600°K and of pressures from 20 to 750 mm Hg. The x 's and y 's have been correlated with T and P : an increase in temperature or decrease in pressure was found to shift the equilibrium towards the substitution of oxygen by carbon. The higher the temperature the less the effect of pressure on the composition. A carbide close to the stoichiometric TiC may be obtained at $P_{\text{CO}} = 750$ mm Hg at a temperature of about 2700°K. The length of the unit cell edge of the oxycarbides investigated.

ЭЛЕКТРОННО-ГРАФИЧЕСКОЕ ИССЛЕДОВАНИЕ СТРОЕНИЯ МОЛЕКУЛ

VII. ГАЛОГЕНИДЫ СТРОНЦИЯ

**П. А. Акишин, В. П. Спиридонов, Г. А. Соболев
и В. А. Наумов**

Настоящая статья посвящена электронографическому определению метрических параметров и строения молекул галогенидов стронция — фторида, хлорида, бромида и йодида, для которых в литературе до сих пор не имелось данных.

ЭКСПЕРИМЕНТАЛЬНАЯ ЧАСТЬ

В работе использовались хорошо высушенные безводные соли SrF_2 , SrCl_2 , SrBr_2 и SrI_2 , получаемые перед проведением опыта обезвоживанием продажных препаратов (после лифтикации) нагреванием в вакуумном сушильном шкафу.

Прибор и методики, применявшиеся для получения и обработки электронограмм, аналогичны описанным ранее в работах [1—5]. Съемки электронограмм паров SrF_2 , SrBr_2 и SrI_2 производились на фотопластинках НИКФИ типа МК без защиты пленки от действия светового излучения испарителя. При получении электронограмм в SrF_2 (температура ампулы 1500—2000 °C) световая засветка от раскаленных час-испарителя становится соизмеримой с почернением, вызываемым рассеянными электронами, поэтому применялись фотопластинки, эмульсия которых покрывалась защитным слоем черной туши, смываемой перед проявлением.

Для всех парообразных галогенидов стронция получено по 7—10 серий электронограмм (по 3 снимка в серии) при длинах волн электронов от 0,0401 до 0,0597 Å. На электронограммах паров SrF_2 наблюдалось по 5 интерференционных колец с резко выраженной интенсивностью, из которых 4 были промерены. Электронограммы паров SrCl_2 , SrBr_2 и SrI_2 и соответственно 5, 6 и 6 асимметричных интерференционных колец с равномерно спадающей интенсивностью.

Как и в предыдущих статьях, цифровка электронограмм производилась по методу радиального распределения (по уравнению Уолте-Бича) и по методу последовательных приближений.

Расчеты, выполненные по методу радиального распределения, дали следующие межъядерные расстояния (Å):

$r_{\text{F-F}} = 2,20$; $r_{\text{F-F}} = 4,40$;
 $r_{\text{Cl-Cl}} = 2,68$; $r_{\text{Cl-Cl}} = 5,30$;
 $r_{\text{Br-Br}} = 2,82$; $r_{\text{Br-Br}} = 5,61$;
 $r_{\text{I-I}} = 3,03$; $r_{\text{I-I}} = 6,08$.

Соответствующие кривые приведены на рис. 1.

Таким образом обработка экспериментальных данных по методу радиального распределения однозначно указывает на линейную конфигурацию молекул всех галогенидов стронция. Экспериментально наблюдаемое рас-

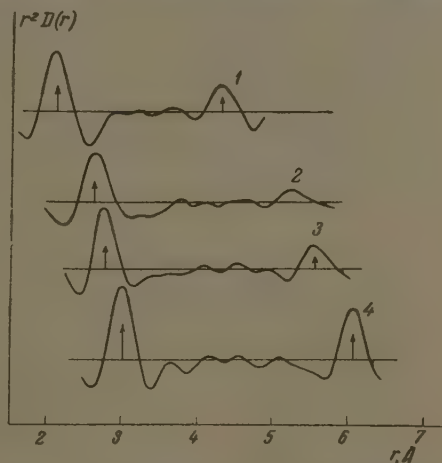


Рис. 1. Кривые радиального распределения $r^2 D(r)$ для молекул галогенидов стронция: 1 — SrF_2 ; 2 — SrCl_2 ; 3 — SrBr_2 ; 4 — SrI_2 .

пределение интенсивности рассеянных электронов на электронограммах паров SrF_2 , SrCl_2 , SrBr_2 и SrJ_2 хорошо воспроизводится теоретическими кривыми интенсивности, рассчитанными для линейных молекул (рис. 2). При этом для молекулы SrF_2 (рис. 3) в теоретическую кривую интенсивности вводился температурный множитель e^{-as^2} , для которого константа a была вычислена из частоты $\omega_e = 500,1 \text{ см}^{-1}$ в спектре двухатомной молекулы.

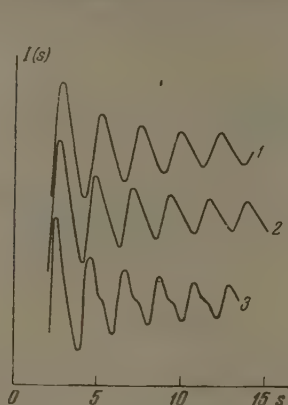


Рис. 2

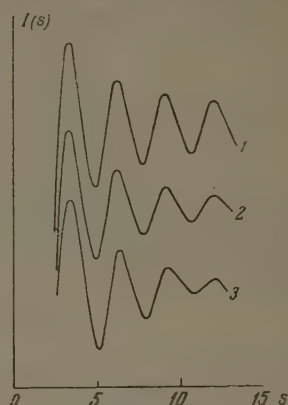


Рис. 3

Рис. 2. Теоретические кривые интенсивности для молекул: 1 — SrCl_2 ; 2 — SrBr_2 и 3 — SrJ_2 . Валентный угол 180°

Рис. 3. Теоретические кривые интенсивности для линейной молекулы SrF_2 : 1 — без учета температурного множителя, 2 — с учетом температурного множителя и 3 — экспериментальная кривая

кулы SrF [6]. Как видно из теоретических кривых рис. 2 и 3, асимметрия интерференционных колец возрастает при переходе от фторида к йодида стронция, что наблюдается у галогенидов многих металлов второй группы периодической системы [4—5].

Результаты расчета экспериментальных данных по методу последовательных приближений для всех исследуемых молекул приведены в табл. 1—4.

Из построения и рассмотрения ряда теоретических кривых интенсивности $I(s)$ для моделей с различным углом $\text{X} - \text{Sr} - \text{X}$ вытекает, что точность в определении валентного угла по методу последовательных приближений

Таблица 1

Молекула SrF_2 $a = 0,006$, $r_{\text{теор}} = 2,21 \text{ \AA}$

Макс.	Миним.	$I(s)$	$s_{\text{теор}}$	$s_{\text{эксп}}$	$\frac{s_{\text{теор}}}{s_{\text{эксп}}}$	$r_{\text{эксп}}$
1	2	+20	3,44	3,44	1,000	2,21
		-15	4,97	5,14	(0,967)	(2,14)
2	3	+8	6,30	6,38	0,987	2,18
		-8	7,82	7,93	0,986	2,18
3	4	+4	9,14	9,18	0,996	2,20
		-2	10,66	10,82	0,985	2,18
4		+1	11,99	11,96	1,003	2,22
			Среднее значение		0,993	2,20
			Среднее отклонение		$\pm 0,008$	$\pm 0,02$

Таблица 2

Молекула SrCl_2 ; $r_{\text{теор}} = 2,67\text{\AA}$

ис.	Миним.	I (s)	$s_{\text{теор}}$	$s_{\text{эксп}}$	$\frac{s_{\text{теор}}}{s_{\text{эксп}}}$	$r_{\text{эксп}}$
1	2	+15	2,82	2,82	1,000	2,67
		-10	4,17	4,10	(1,017)	(2,72)
2	3	+8	5,20	5,19	1,002	2,68
		-6	6,53	6,46	1,011	2,70
3	4	+4	7,56	7,55	1,001	2,67
		-2	8,89	8,88	1,001	2,67
4	5	+2	9,91	9,98	0,993	2,65
		-1	11,24	11,26	0,998	2,66
5		+1	12,27	12,36	0,993	2,65
Среднее значение					1,000	2,67
Среднее отклонение					$\pm 0,004$	$\pm 0,01$

Таблица 3

Молекула SrBr_2 ; $r_{\text{теор}} = 2,82\text{\AA}$

ис.	Миним.	I (s)	$s_{\text{теор}}$	$s_{\text{эксп}}$	$\frac{s_{\text{теор}}}{s_{\text{эксп}}}$	$r_{\text{эксп}}$
1	2	+15	2,62	2,64	0,992	2,80
		-10	4,00	3,99	1,003	2,83
2	3	+8	4,87	4,87	1,000	2,82
		-6	6,24	6,24	1,000	2,82
3	4	+5	7,11	7,10	1,002	2,83
		-4	8,47	8,44	1,004	2,83
4	5	+3	9,33	9,42	0,990	2,79
		-2	10,70	10,62	1,008	2,84
5	6	+2	11,56	11,65	0,992	2,80
		-1	12,94	13,03	0,993	2,80
6		+1	13,79	14,07	(0,980)	(2,76)
Среднее значение					0,998	2,82
Среднее отклонение					$\pm 0,004$	$\pm 0,01$

Таблица 4

Молекула SrJ_2 ; $r_{\text{теор}} = 3,03\text{\AA}$

ис.	Миним.	I (s)	$s_{\text{теор}}$	$s_{\text{эксп}}$	$\frac{s_{\text{теор}}}{s_{\text{эксп}}}$	$r_{\text{эксп}}$
1	2	+20	2,42	2,40	1,008	3,05
		-15	3,77	3,74	1,008	3,05
2	3	+10	4,51	4,54	0,993	3,01
		-10	5,83	5,81	1,003	3,04
3	4	+6	6,59	6,62	0,995	3,01
		-6	7,92	7,94	0,997	3,02
4	5	+4	8,65	8,71	0,993	3,01
		-4	9,99	9,96	1,003	3,04
5	6	+2	10,74	10,78	0,996	3,02
		-2	12,08	12,00	1,007	3,05
6		+1	12,80	12,68	1,009	3,06
Среднее значение					1,001	3,03
Среднее отклонение					$\pm 0,006$	$\pm 0,02$

ближений может быть оценена: для молекулы $\text{SrCl}_2 \pm 30^\circ$, $\text{SrBr}_2 \pm 10^\circ$, $\text{SrJ}_2 \pm 10^\circ$, однако, если учесть данные радиального распределения,

Таблица 5

Геометрические параметры молекул галогенидов стронция

Соединение	Расстояние Sr—X, Å	Валентный угол
SrF_2	$2,20 \pm 0,03$	180°
SrCl_2	$2,67 \pm 0,03$	$180^\circ \pm 30^\circ$
SrBr_2	$2,82 \pm 0,03$	$180^\circ \pm 10^\circ$
SrJ_2	$3,03 \pm 0,03$	$180^\circ \pm 10^\circ$

Примечание. Оценка погрешности в определении $r(\text{Sr—X})$ сделана исходя из предельной относительной ошибки $\pm 1 - 1,5\%$. Точность в определении угла получена по методу последовательных приближений.

Выполненное нами электронографическое исследование молекул SrF_2 , SrCl_2 , SrBr_2 и SrJ_2 показывает, что все они обладают линейным строением со следующими геометрическими параметрами (табл. 5).

ВЫВОДЫ

Выполнено электронографическое исследование строения молекул галогенидов стронция — фторида, хлорида, бромида и йодида. Установлена линейная конфигурация у всех изученных молекул и получены значения межатомных расстояний стронций — галоген, отсутствовавшие ранее в литературе.

Московский государственный университет им. М. В. Ломоносова

Поступила 13.VII.1956

ЛИТЕРАТУРА

1. П. А. Акишин, Л. В. Вилков и В. П. Спиридонов, ДАН, 101, 7 1955.
2. П. А. Акишин, В. П. Спиридонов, В. А. Наумов и Н. Г. Рамбид, Журн. физ. химии, 30, 155, 1956.
3. П. А. Акишин, В. П. Спиридонов и В. А. Наумов, Журн. физ. химии, 30, 951, 1956.
4. П. А. Акишин, В. П. Спиридонов, Г. А. Соболев и В. А. Наумов, Журн. физ. химии, 30, 461, 1957.
5. П. А. Акишин, В. П. Спиридонов и Г. А. Соболев, Журн. физ. химии, 31, 648, 1957.
6. C. A. Fowler, Phys. Rev., 59, 645, 1941.

ELECTRON DIFFRACTION STUDIES OF MOLECULAR STRUCTURE

VII. STRONTIUM HALIDES.

P. A. Akishin, V. P. Spiridonov, G. A. Sobolev and V. A. Naumov (Moscow)

Summary

An electron diffraction study has been made of the molecular structure of the halides (fluoride, chloride, bromide and iodide) of strontium. A linear configuration was established for all the molecules studied and values of the interatomic distances strontium-halogen, previously not reported in the literature, have been obtained.

ОБ ИССЛЕДОВАНИИ МЕХАНИЗМА ЭЛЕКТРОЛИТИЧЕСКОГО ВЫДЕЛЕНИЯ ВОДОРОДА МЕТОДОМ ВВЕДЕНИЯ ДОПОЛНИТЕЛЬНЫХ КОЛИЧЕСТВ АТОМАРНОГО ВОДОРОДА НА ПОВЕРХНОСТЬ ЭЛЕКТРОДА

А. Н. Фрунжин

В работах, выполненных в последнее время в отделе электрохимии института физической химии Академии наук, был применен новый метод исследования механизма выделения водорода на различных катодах. Этот метод основан на измерении изменения потенциала катода, поляризованного током постоянной плотности, при введении на его поверхность дополнительных количеств промежуточного продукта реакции — атомарного водорода — и использован в двух вариантах.

В первом варианте, осуществленном С. Д. Левиной и Т. В. Калининой, атомарный водород генерируется электрическим разрядом в газовой фазе и достигает поверхности электрода благодаря диффузии через тонкий слой раствора электролита.

Во втором варианте, разработанном И. А. Багоцкой [2,3], атомарный водород попадает на поверхность катода благодаря диффузии через мембрану. В качестве катода в этом случае применяется тонкая металлическая мембрана. Для того чтобы создать диффузионный поток атомарного водорода в металл, например железе, направленный к рабочей поверхности катода, другая сторона мембраны также подвергается поляризации с таким выбором условий поляризации и состава растворов по обе стороны мембраны, который обеспечивал бы движение атомарного водорода из металла в сторону рабочей поверхности катода.

Более подробные сведения об обоих вариантах метода и полученных результатах содержатся в цитированных статьях. Целью настоящей статьи является рассмотрение количественной теории эффектов, которые возникают при попадании на поверхность электрода дополнительных количеств атомарного водорода. Расчеты были выполнены при следующих допущениях; наиболее существенные заключаются в следующем: 1) не учитывается, если обратное не оговорено, неоднородность поверхности твердых электродов; 2) не учитываются действующие на большие расстояния силы между адсорбированными атомами H или между атомами H и переходным комплексом; 3) принимается, что атомы водорода, попавшие на поверхность катода извне, равноценны атомам, выходящим благодаря разряду ионов водорода или молекул воды из раствора. Последнее предположение не может быть строго выполнено ни в первом, ни во втором вариантах метода. Действительно, в случае приближения к поверхности электрода свободных атомов водорода перенос электрона от атома к металлу, т. е. элементарный акт реакции ионизации и присоединение электрона металлу к атому водорода при элементарном акте электрохимической десорбции, могут произойти до перехода атома водорода в состояние, соответствующее минимуму потенциальной энергии на поверхности металла. Таким образом, свободный атомарный водород может проявлять повышенную электрохимическую активность на поверхности электрода по сравнению с атомарным водородом, возникающим в обычных условиях электролиза. При втором варианте метода дви-

жение атомарного водорода в металле к поверхности электрода происходит преимущественно (а может быть, и целиком) по микротрещинам и дефектам решетки металла. Энергетические условия в местах выхода атомарного водорода на поверхность должны отличаться от средних энергетических условий на рабочей поверхности*. В местах выхода должна усиливаться относительно более высокая концентрация адсорбированного атомарного водорода, что приводит к ускорению рекомбинации. Возможно, что часть диффундирующих атомов водорода рекомбинирует в молекулы раньше, чем они успеют полностью обменяться с атомами, возникающими на других участках поверхности нормальным путем. Поэтому они не принимают участия в стадиях ионизации и электрохимической десорбции. Таким образом, в отличие от свободного атомарного водорода, который может обладать повышенной электрохимической активностью, электрохимическая активность диффундирующего водорода может быть значительно понижена при достаточной скорости рекомбинации в местах выхода по сравнению с активностью атомов, возникающих непосредственно на электроде из ионов водорода или молекул воды. Указанные ограничения не позволяют использовать выведенные ниже соотношения для абсолютной оценки действия дополнительно введенного атомарного водорода на потенциал электрода (см. ниже); соотношения эти оказываются тем не менее полезными для определения знака ожидаемых эффектов и нахождения их зависимости от условий электролиза и характеристик электрода.

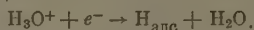
Мы ограничим наше рассмотрение случаями, когда удаление атомарного водорода с поверхности электрода происходит по одному из двух возможных путей: либо по механизму электрохимической десорбции, либо по механизму рекомбинации, но не по обоим одновременно.

ЭЛЕКТРОХИМИЧЕСКАЯ ДЕСОРБЦИЯ АДсорбированного ВОДОРОДА

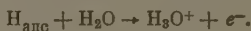
Рассмотрим сначала случай электрода с однородной поверхностью, на котором удаление атомарного водорода идет целиком по механизму электрохимической десорбции. При рассмотрении кинетики процесса на таком электроде мы будем следовать трактовке, данной ранее [5], введенной в нее, однако, некоторые дополнения.

На таком электроде в кислом растворе возможны следующие процессы:

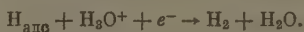
1. Разряд иона водорода



2. Ионизация адсорбированного атома водорода



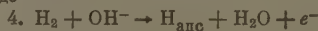
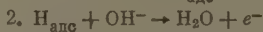
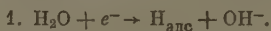
3. Электрохимическая десорбция атома водорода



4. Реакция, обратная электрохимической десорбции



В щелочном растворе вместо иона H_3O^+ в реакциях участвует молекула воды. В этом случае написанные выше схемы должны быть заменены следующими:



* До некоторой степени сходные соображения были высказаны Штакельбергом [4] в связи с рассмотрением условий выделения диффундирующего водорода на палладиевом электроде.

Обозначим через i плотность катодного тока, поляризующего рабочую поверхность электрода, и через v_1, v_2, v_3 и v_4 соответственно скорости стадий 1, 2, 3 и 4, выраженные в электрических единицах. Тогда из счета зарядов, которые возникают или исчезают на каждой стадии, следует, что в стационарных условиях

$$i = v_1 - v_2 + v_3 - v_4. \quad (1)$$

Уравнение (1) остается в силе и при введении дополнительных количеств атомарного водорода на поверхность электрода. Обозначим через θ степень заполнения поверхности электрода адсорбированным атомарным водородом и через η — перенапряжение. При сделанном допущении об однородности поверхности электрода и предполагая, что можно пренебречь изменениями концентрации, вызванными прохождением тока, имеют место соотношения*

$$v_1 = k_1(1 - \theta) = k_1^0 e^{+\alpha_1 F \eta / RT} (1 - \theta), \quad (2a)$$

$$v_2 = k_2 \theta = k_2^0 e^{-\beta_1 F \eta / RT} \theta, \quad (2b)$$

$$v_3 = k_3 \theta = k_3^0 e^{\alpha_2 F \eta / RT} \theta, \quad (2c)$$

$$v_4 = k_4(1 - \theta) = k_4^0 e^{-\beta_2 F \eta / RT} (1 - \theta), \quad (2d)$$

где k_1 и k_4 — значения констант скоростей реакций v_1 и v_4 при $\theta = 0$, k_2 и k_3 — значения констант скоростей реакций v_2 и v_3 при $\theta = 1$, k_1^0, k_2^0, k_3^0 и k_4^0 — постоянные, $\alpha_1 + \beta_1 = \alpha_2 + \beta_2 = 1$. В дальнейшем мы примем $\alpha_1 = \alpha_2 = \alpha$ и $\beta_1 = \beta_2 = \beta$. Это допущение позволит существенно упростить расчеты и, насколько можно судить по имеющимся немногочисленным данным [6], не слишком отклоняется от действительности.

При $\eta = 0$ в условиях равновесия скорости прямых процессов делаются равными скоростям обратных, т. е. $v_1 = v_2$ и $v_3 = v_4$. Отсюда для равновесного заполнения θ_0 следует

$$\theta_0 = \frac{k_1^0}{k_1^0 + k_2^0} = \frac{k_4^0}{k_3^0 + k_4^0}. \quad (3)$$

Из (3) вытекает, что

$$k_4^0 = k_1^0 k_3^0 (k_2^0)^{-1}. \quad (4)$$

Подставляя значение θ в уравнения (2a) или (2b), получаем значение тока обмена для первой стадии (разряда — ионизации)

$$(i_0)_I = \frac{k_1^0 k_2^0}{k_1^0 + k_2^0}. \quad (5)$$

Подобным же образом из (3), (2c) (2d) и (4) получаем значение тока обмена второй стадии (электрохимической десорбции)

$$(i_0)_{II} = \frac{k_3^0 k_4^0}{k_3^0 + k_4^0} = \frac{k_1^0 k_3^0}{k_1^0 + k_2^0}. \quad (6)$$

Из (5) и (6) следует, что

$$(i_0)_I : (i_0)_{II} = \frac{k_2^0}{k_3^0}. \quad (7)$$

В отличие от уравнений (5) и (6), выражающих токи обмена в условиях равновесия, согласно (2) величины k_1^0 и k_4^0 можно рассматривать как зна-

* Все приводимые соотношения относятся к раствору определенного состава. Вопрос о зависимости от состава раствора в настоящей работе не рассматривается. Величины k^0 , естественно, зависят от состава раствора.

чения токов обмена соответственно первой и второй стадий в предположении $\theta=0$, а величины k_2^0 и k_3^0 как значения токов обмена в предположении $\theta=1$, поскольку величины k^0 дают значения скоростей реакции при $\eta=0$.

В стационарных условиях количество атомов на поверхности электрода должно оставаться постоянным. Отсюда следует, что

$$v_1 - v_2 - v_3 + v_4 + i' = k_1(1 - \theta) - k_2\theta - k_3\theta + k_4(1 - \theta) + i' = 0, \quad (8)$$

где i' — выраженное в электрических единицах количество атомов водорода, попадающих извне на 1 см^2 поверхности катода. Как было разъяснено выше, в случае диффузии водорода через металл с другой стороны мембранного электрода, под i' следует понимать не полный поток атомарного водорода, а некоторую его эффективную часть, включающуюся в электрохимический процесс.

Из уравнения (8) следует при $i' = 0$ для стационарного значения заполнения θ_s

$$\theta_s = \frac{k_1 + k_4}{k_1 + k_2 + k_3 + k_4}. \quad (9)$$

Согласно уравнению (2), при достаточно больших η (более точное определение дано ниже) можно пренебречь значениями k_2 и k_4 по сравнению с k_1 и k_3 , откуда для предельного значения θ , которое мы обозначим через θ_l , следует, учитывая, что $\alpha_1 = \alpha_2$,

$$\theta_l = \frac{k_1}{k_1 + k_3} = \frac{k_1^0}{k_1^0 + k_3^0}, \quad (10)$$

как это было найдено уже в [5]. Соответствующее значение i равно

$$i = k_1(1 - \theta_l) + k_3\theta_l = \frac{2k_1^0k_3^0}{k_1^0 + k_3^0} e^{\alpha\eta F/RT}. \quad (10a)$$

Для нахождения интересующей нас величины $(\partial\eta/\partial i')_i$ необходимо иметь в виду, что в общем случае (т. е. при $i' \neq 0$) величину i можно рассматривать как функцию η и θ . Поэтому

$$\left(\frac{\partial\eta}{\partial\theta}\right)_i = -\left(\frac{\partial i}{\partial\theta}\right)_\eta \left(\frac{\partial i}{\partial\eta}\right)_\theta^{-1}$$

и

$$\left(\frac{\partial\eta}{\partial i'}\right)_i = \left(\frac{\partial\eta}{\partial\theta}\right)_i \left(\frac{\partial\theta}{\partial i'}\right)_i = -\left(\frac{\partial i}{\partial\theta}\right)_\eta \left(\frac{\partial\theta}{\partial i'}\right)_i \left(\frac{\partial i}{\partial\eta}\right)_\theta^{-1}. \quad (11)$$

Из уравнения (11) можно сделать вывод, существенный для дальнейшего. Так как дополнительный приток атомарного водорода, соответствующий условию $i' > 0$, может привести (при всяком устойчивом состоянии электрода) только к увеличению степени заполнения θ , то всегда $(\partial\theta/\partial i')_i > 0$; с другой стороны, все предложенные механизмы выделения водорода приводят к выводу, что $(\partial i/\partial\eta)_\theta > 0$. Таким образом, величина $(\partial\eta/\partial i')_i$ имеет знак, обратный величине $((\partial i/\partial\eta)_\eta)$.

Производные $(\partial i/\partial\theta)_\eta$ и $(\partial i/\partial\eta)_i$ можно без труда найти из уравнений (1) и (2); для нахождения $(\partial\theta/\partial i')_i$ необходимо использовать уравнение (8), из которого в общем случае можно непосредственно определить лишь $(\partial\theta/\partial i')_\eta$. Для того чтобы найти соотношение между последними величинами, воспользуемся выражениями для полных дифференциалов

$$d\theta = \left(\frac{\partial \theta}{\partial i'} \right)_\eta di' + \left(\frac{\partial \theta}{\partial \eta} \right)_{i'} d\eta, \quad (12)$$

$$di = \left(\frac{\partial i}{\partial \theta} \right)_\eta d\theta + \left(\frac{\partial i}{\partial \eta} \right)_\theta d\eta. \quad (13)$$

исключая из (12) и (13) $d\eta$, находим

$$d\theta = \left[\left(\frac{\partial \theta}{\partial \eta} \right)_{i'} di + \left(\frac{\partial \theta}{\partial i'} \right)_\eta \left(\frac{\partial i}{\partial \eta} \right)_\theta di' \right] \left[\left(\frac{\partial i}{\partial \eta} \right)_\theta + \left(\frac{\partial i}{\partial \theta} \right)_\eta \left(\frac{\partial \theta}{\partial \eta} \right)_{i'} \right]^{-1},$$

куда

$$\left(\frac{\partial \theta}{\partial i'} \right)_i = \left(\frac{\partial \theta}{\partial i'} \right)_\eta \left(\frac{\partial i}{\partial \eta} \right)_\theta \left[\left(\frac{\partial i}{\partial \eta} \right)_\theta + \left(\frac{\partial i}{\partial \theta} \right)_\eta \left(\frac{\partial \theta}{\partial \eta} \right)_{i'} \right]^{-1} \quad (14)$$

согласно (11),

$$\begin{aligned} \left(\frac{\partial \eta}{\partial i'} \right)_i &= - \left(\frac{\partial \theta}{\partial i'} \right)_\eta \left(\frac{\partial i}{\partial \theta} \right)_\eta \left[\left(\frac{\partial i}{\partial \eta} \right)_\theta + \left(\frac{\partial i}{\partial \theta} \right)_\eta \left(\frac{\partial \theta}{\partial \eta} \right)_{i'} \right]^{-1} = \\ &= - \left(\frac{\partial \theta}{\partial i'} \right)_\eta \left(\frac{\partial i}{\partial \theta} \right)_\eta \left[\left(\frac{\partial i}{\partial \eta} \right)_\theta - \left(\frac{\partial i}{\partial \theta} \right)_\eta \left(\frac{\partial \theta}{\partial \eta} \right)_0 \right]^{-1}. \end{aligned} \quad (15)$$

Уравнения (11) — (15) применимы, очевидно, независимо от механизма выделения адсорбированного водорода с поверхности электрода. В случае рассматриваемого здесь механизма электрохимической десорбции производные, входящие в (15), могут быть найдены из уравнений (1), (2) и (8)

$$\left(\frac{\partial i}{\partial \theta} \right)_\eta = -k_1 - k_2 + k_3 + k_4, \quad (16)$$

$$\left(\frac{\partial i}{\partial \eta} \right)_\theta = \frac{F}{RT} [\alpha k_1 (1 - \theta) + \beta k_2 \theta + \alpha k_3 \theta + \beta k_4 (1 - \theta)], \quad (17)$$

$$\left(\frac{\partial i'}{\partial \eta} \right)_\theta = \frac{F_1}{RT} [-\alpha k_1 (1 - \theta) - \beta k_2 \theta + \alpha k_3 \theta + \beta k_4 (1 - \theta)], \quad (18)$$

$$\left(\frac{\partial \theta}{\partial i'} \right)_\eta = [k_1 + k_2 + k_3 + k_4]^{-1}. \quad (19)$$

Подставляя выражения (16) — (19) в (15) и учитывая, что $\alpha + \beta = 1$, находим после элементарных преобразований

$$\left(\frac{\partial \eta}{\partial i'} \right)_i = \frac{RT}{2F} (k_1 + k_2 - k_3 - k_4) [\alpha k_1 k_3 + \beta k_2 k_4 + k_1 k_4 (1 - \theta) + k_2 k_3 \theta]^{-1}. \quad (20)$$

Подставляя в (20) значение θ из (8), можно выразить $(\partial \eta / \partial i')_i$ через величины k и i' , а следовательно, учитывая уравнение (2), через η и i' , и получить таким образом полное решение задачи. Полученные выражения, однако, слишком громоздки, и мы ограничимся рассмотрением некоторых частных случаев.

1. Предположим, что $\eta \ll RT/F$, т. е. что мы находимся достаточно близко к равновесному потенциалу. Тогда все k можно заменить на k^0 , а θ на θ_0 . Согласно (20), (3), (4), (5) и (6), получаем в этом случае

$$\left(\frac{\partial \eta}{\partial i'} \right)_i = \frac{RT}{4F} \frac{(k_1^0 + k_3^0)(k_2^0 - k_3^0)}{k_1^0 k_2^0 k_3^0} = \frac{RT}{4F} \left(\frac{1}{i_{0II}} - \frac{1}{i_{0I}} \right). \quad (21)$$

Из уравнения (21) следует, что знак величины $(\partial \eta / \partial i')_i$ зависит от знака $k_2^0 - k_3^0$. Если $k_2^0 > k_3^0$ и, следовательно, $i_{0I} > i_{0II}$, т. е. по обычной терминологии замедлена вторая стадия процесса, то при введении до-

полнительных количеств атомарного водорода перенапряжение растёт, потенциал электрода сдвигается в отрицательную сторону. При $k_2^0 < k_3^0$ и $i_{0I} < i_{0II}$, т. е. замедленной первой стадии, потенциал электрода в тех же условиях сдвигается в положительную сторону. При очень большой разнице в скоростях обеих стадий по абсолютной величине сдвиги потенциала обратно пропорциональны скорости более медленной стадии.

Рассмотрим физический смысл условия $k_2^0 \geq k_3^0$. Для этого определим зависимость степени заполнения θ_s от перенапряжения.

Из (9), (2) и (4) находим

$$\begin{aligned} \theta_s = & [k_1^0 e^{\gamma \eta F / RT} + k_1^0 k_3^0 (k_2^0)^{-1} e^{-\beta \eta F / RT}] [k_1^0 e^{\gamma \eta F / RT} + k_2^0 e^{-\beta \eta F / RT} + \\ & + k_3^0 e^{\alpha \eta F / RT} + k_1^0 k_3^0 (k_2^0)^{-1} e^{-\beta \eta F / RT}]^{-1} = \frac{k_1^0 k_3^0}{(k_2^0)^2 + k_1^0 k_3^0} \times \\ & \times \left[1 + \frac{k_2^0}{k_3^0} e^{\eta F / RT} \right] \left[1 + \frac{k_2^0 (k_1^0 + k_3^0)}{(k_2^0)^2 + k_1^0 k_3^0} e^{\eta F / RT} \right]^{-1}. \end{aligned} \quad (22)$$

Из (22) следует, что характер зависимости θ_s от η определяется знаком выражения

$$\frac{k_2^0}{k_3^0} - \frac{k_2^0 (k_1^0 + k_3^0)}{(k_2^0)^2 + k_1^0 k_3^0} = \frac{k_2^0 [(k_2^0)^2 - (k_3^0)^2]}{k_3^0 (k_2^0)^2 + k_1^0 (k_3^0)^2}, \quad (23)$$

т. е. знаком разности $k_2^0 - k_3^0$. Если $k_2^0 > k_3^0$, θ_s растёт с η ; при $k_2^0 < k_3^0$, θ_s должно монотонно убывать при увеличении η . Имеющиеся в литературе данные говорят в пользу того, что заполнение поверхности растёт при переходе от равновесного потенциала к катодной поляризации [7]. Отсюда, однако, нельзя сделать однозначного вывода о том, что k_2^0 всегда больше k_3^0 , так как в реальных условиях удаление адсорбированных атомов идет не только благодаря электрохимической десорбции, но и благодаря рекомбинации; при рекомбинационном же механизме удаления θ_s всегда должно расти с η . При больших значениях η , когда удаление по механизму десорбции делается относительно более вероятным, в некоторых случаях, возможно, происходит уменьшение θ_s с ростом η . По крайней мере, неоднократно наблюдавшееся перекрещивание кривых спада перенапряжения поляризованного катода после выключения тока [8] может быть интерпретировано таким образом, хотя это объяснение и не является единственно возможным. Таким образом, вопрос о возможности реализации случая $k_2^0 < k_3^0$ пока остается открытым. При $k_2^0 > k_3^0$ как уже было указано выше, $(\partial \eta / \partial i')_i > 0$, т. е. вблизи равновесного потенциала дополнительно вводимый атомарный водород ведет себя как восстановитель, сдвигая потенциал в сторону более отрицательных значений.

2. Рассмотрим теперь случай больших перенапряжений η . Под «большими» значениями η мы будем понимать такие, при которых в уравнении (20) можно пренебречь членами, относящимися к процессам 2 и 4 сопровождающимися освобождением электронов, по сравнению с членами, относящимися к процессам 1 и 3, сопровождающимися тратой электронов. Так как в этом случае $\theta \approx \theta_i$, где θ_i определяется уравнением (10) то для выполнения указанного условия необходимо, согласно (20), (2) и (4), чтобы

$$\eta \gg \frac{RT}{F} \left\{ \left| \lg \frac{k_2^0}{k_3^0} \right| + 1 \right\} \quad \text{и} \quad \eta \gg \frac{RT}{F} \left\{ \left| \lg \frac{k_2^0}{k_1^0} \right| + 1 \right\}. \quad (24)$$

трудно показать, что выполнение этих условий не только необходимо, но и достаточно, для того чтобы можно было пренебречь скоростями реакций 2 и 4 по сравнению с 1 и 3, т. е. чтобы было применимо уравнение (10).

Если отношения k_2^0/k_3^0 и k_2^0/k_1^0 в ту или другую сторону сильно отличаются от единицы, то критерий, выражаемый неравенством (24), может существенно отличаться от условия $\gamma_i = RT/F$, выполнение которого обычно считается достаточным для того, чтобы можно было пренебречь скоростью обратных процессов по сравнению со скоростью прямых. Если условие (24) выполнено, то в уравнении (20) можно опустить все члены, содержащие k_2 и k_4 . Из (20) и (2) в этом случае получается

$$\left(\frac{\partial \eta}{\partial i'}\right)_i = \frac{RT}{2F} \frac{k_1^0 - k_3^0}{ak_1^0 k_3^0} e^{-a\gamma F/RT}. \quad (25)$$

Если i' мало по сравнению с i , то $\theta \approx \theta_i$ и величина i определяется уравнением (10а). В этом случае из (25) следует

$$\left(\frac{\partial \eta}{\partial i'}\right)_i = \frac{RT}{aFi} \frac{k_1^0 - k_3^0}{k_1^0 + k_3^0}. \quad (26)$$

Согласно уравнению (25) при больших перенапряжениях знак $(\partial \eta, \partial i')_i$ определяется знаком разности $k_1^0 - k_3^0$. При $k_1^0 < k_3^0$ атомный водород должен понижать η , а при $k_1^0 > k_3^0$ повышать его. Условие $k_1^0 < k_3^0$ при больших перенапряжениях определяет замедленность первой стадии процесса, условие $k_1^0 > k_3^0$ — замедленность его второй стадии. При $k_1^0 < k_3^0$, как это следует из уравнения (10), $\theta_i < 1/2$; однако численному значению верхнего предела θ_i , при котором возможно еще положительное значение η , $(\partial \eta)_i$, ввиду сделанных многочисленных упрощающих предположений, вероятно, нельзя придавать особого значения.

Из (26) следует, что величина рассматриваемого эффекта при $i' = \text{const}$ обратно пропорциональна i . В предельных случаях, когда $k_1^0 \gg k_3^0$ или, наоборот, $k_1^0 \ll k_3^0$, уравнение (26) приобретает особенно простой вид

$$\left(\frac{\partial \eta}{\partial i'}\right)_i = \pm \frac{RT}{aFi}. \quad (26a)$$

Изменение характера критерия, определяющего знак величины η , $(\partial \eta)_i$ при переходе от малых к большим η , на первый взгляд представляется непонятным. Объяснение его заключается в следующем. Знак η , $(\partial \eta)_i$ согласно (20) всегда определяется знаком $k_1 + k_2 - k_3 - k_4$. При малых η знак этой величины определяется знаком разности $k_2^0 - k_3^0$, так как разность $k_1^0 - k_4^0$ из-за соотношения (4) имеет тот же знак, что $k_2^0 - k_3^0$. При больших η величинами k_2 и k_4 можно пренебречь, так как $k_1 + k_2 - k_3 - k_4$ совпадает со знаком $k_1 - k_3$, а следовательно, $k_1^0 - k_3^0$.

Из вышеизложенного следует, что, рассматривая величину $(\partial \eta, \partial i')_i$ в всем интервале значений η , следует различать четыре случая, которые составлены в таблице.

Уравнение (25) можно проинтегрировать, что позволит найти зависимость η от i' . Зависимость эта, очевидно, будет справедлива только до тех пор, пока изменение η не нарушает выполнение условия (24). При интегрировании нельзя пользоваться выведенным с помощью уравнений (20) и (10а) уравнением (26), так как при значениях i' , которые не малы по сравнению с i , величина θ уже отличается от значения θ_i , соответст-

Таблица 1

Условие	Изменение θ с ростом η	θ при боль- ших η	Знак $(\partial\eta/\partial i')_i$ при малых η	Знак $(\partial\eta/\partial i')_i$ при больших η
1 $\begin{cases} k_2^0 > k_3^0 \\ k_1^0 > k_3^0 \end{cases}$	Возрастает	$>1/2$	+	+
2 $\begin{cases} k_2^0 > k_3^0 \\ k_1^0 < k_3^0 \end{cases}$	Возрастает	$<1/2$	+	—
3 $\begin{cases} k_2^0 < k_3^0 \\ k_1^0 > k_3^0 \end{cases}$	Падает	$>1/2$	—	+
4 $\begin{cases} k_2^0 < k_3^0 \\ k_1^0 < k_3^0 \end{cases}$	Падает	$<1/2$	—	—

вующего $i'=0$, и уравнение (10), а следовательно, и (26) делаются неприменимыми.

Интегрирование уравнения (25) дает

$$e^{\alpha\eta F/RT} - e^{\alpha\eta_0 F/RT} = \frac{k_1^0 - k_3^0}{2k_1^0 k_3^0} i', \quad (27)$$

где η_0 значение η при заданном i , соответствующее $i'=0$. Выражение для η_0 может быть взято из (10а); из уравнений (27) и (10а) следует

$$\eta = \frac{RT}{\alpha F} \ln \left(i + \frac{k_1^0 - k_3^0}{k_1^0 + k_3^0} i' \right) - \frac{RT}{\alpha F} \ln \frac{2k_1^0 k_3^0}{k_1^0 + k_3^0} = \frac{RT}{\alpha F} \ln i + \frac{RT}{\alpha F} \ln \left(1 + \frac{k_1^0 - k_3^0}{k_1^0 + k_3^0} \frac{i'}{i} \right) - \frac{RT}{\alpha F} \ln \frac{2k_1^0 k_3^0}{k_1^0 + k_3^0} = \eta_0 + \frac{RT}{\alpha F} \ln \left(1 + \frac{k_1^0 - k_3^0}{k_1^0 + k_3^0} \frac{i'}{i} \right). \quad (28)$$

При $k_3^0 \gg k_1^0$, т. е. $\theta_1 \approx 0$, из уравнения (28) вытекает соотношение

$$\eta = \frac{RT}{\alpha F} \ln \frac{i + i'}{2} - \frac{RT}{\alpha F} \ln k_1^0. \quad (29)$$

Уравнение (29) означает, что перенапряжение целиком определяется теми актами разряда, в которых не используются дополнительно введенные атомы водорода; разряд же, при котором атомы эти используются (электрохимическая десорбция), протекает беспрепятственно. Учитывая, что при $v_2, v_4 \ll v_1, v_3$ из (1) и (8) следует $i = 2v + i'$ и что $\theta_1 \approx 0$, уравнение (29) можно непосредственно вывести из (2а). При $k_3^0 \ll k_1^0$ и $\theta_1 \approx 1$ из (28) получаем

$$\eta = \frac{RT}{\alpha F} \ln \frac{i + i'}{2} - \frac{RT}{\alpha F} \ln k_3^0. \quad (29a)$$

Уравнение (29а) легко получить непосредственно из (2с), если учесть соотношение $i = 2v_3 - i'$, также вытекающее из условия $v_2, v_4 \ll v_1, v_3$. Величина η в (29а) целиком определяется процессом электрохимической десорбции, так как условие $k_3^0 \ll k_1^0$ означает беспрепятственное протекание реакции разряда.

УДАЛЕНИЕ АДСОРБИРОВАННОГО ВОДОРОДА ПО РЕКОМБИНАЦИОННОМУ МЕХАНИЗМУ

Рассмотрим теперь случай, когда удаление происходит целиком по рекомбинационному механизму, причем мы будем предполагать, что атомы водорода на поверхности электрода вполне подвижны и не будем учитывать

пожнений, связанных с замедленностью поверхностной диффузии. Кроме того, сохраняются допущения 2 и 3, указанные выше (стр. 1875), а также, пока обратное не будет оговорено, допущение об однородности поверхности. Вместо реакций 3 и 4 теперь необходимо учесть реакции:

5. Рекомбинация адсорбированных атомов водорода $2\text{H}_{\text{адс}} \rightarrow \text{H}_2$

6. Адсорбция молекул водорода с переходом их в адсорбированные атомы $\text{H}_2 \rightarrow 2\text{H}_{\text{адс}}$.

Уравнение (1) следует заменить на

$$i = v_1 - v_2, \quad (30)$$

и как при реакциях 5 и 6 электроны не расходуются и не возникают; уравнения (2а) и (2б) сохраняют свою силу.

Далее

$$v_5 = k_5 \theta^2, \quad (31)$$

$$v_6 = k_6 (1 - \theta)^2, \quad (32)$$

где величины k_5 и k_6 не зависят от η . Величины v_5 и v_6 мы предположим выраженными в электрических единицах по числу атомов водорода, исчезающих или образующихся в единицу времени на 1 см^2 .

При равновесии $v_1 = v_2$ и $v_5 = v_6$, откуда

$$\theta_0 = \frac{k_1^0}{k_1^0 + k_2^0} = \frac{(k_6)^{1/2}}{(k_5)^{1/2} + (k_6)^{1/2}}, \quad (33)$$

$$\frac{\theta_0}{1 - \theta_0} = \frac{k_1^0}{k_2^0} = \left(\frac{k_6}{k_5} \right)^{1/2}. \quad (34)$$

Из (34) следует

$$k_6 = \frac{k_5 (k_1^0)^2}{(k_2^0)^2}. \quad (35)$$

Величина $i_{0 \text{ II}}$ равна

$$i_{0 \text{ II}} = k_5 \theta_0^2 = k_5 \left(\frac{k_1^0}{k_1^0 + k_2^0} \right)^2. \quad (36)$$

Уравнение (8), выражающее условие постоянства количества адсорбированных атомов Н в стационарных условиях, следует заменить на $-v_2 - v_5 + v_6 + i' = k_1 (1 - \theta) - k_2 \theta - k_5 \theta^2 + k_6 (1 - \theta)^2 + i' = 0$. (37)

Уравнения (11) и (15), выведенные независимо от каких-либо предположений о механизме процесса, сохраняют свою силу. Для вычисления $\partial \eta / \partial i'$ находим из (30), (2а), (2) и (37)

$$\left(\frac{\partial i}{\partial \theta} \right)_\eta = k_1 - k_2, \quad (38)$$

$$\left(\frac{\partial i}{\partial \eta} \right)_\theta = \frac{F}{RT} [\alpha k_1 (1 - \theta) + \beta k_2 \theta], \quad (39)$$

$$\left(\frac{\partial i'}{\partial \eta} \right)_\theta = -\frac{F}{RT} [\alpha k_1 (1 - \theta) + \beta k_2 \theta], \quad (40)$$

$$\left(\frac{\partial \theta}{\partial i'} \right)_\eta = [k_1 + k_2 + 2k_5 \theta + 2k_6 (1 - \theta)]^{-1}. \quad (41)$$

Подставляя (38) — (41) в уравнение (15), находим

$$\left(\frac{\partial \eta}{\partial i'} \right)_i = \frac{RT}{2F} \frac{k_1 + k_2}{[\alpha k_1 (1 - \theta) + \beta k_2 \theta] [k_5 \theta + k_6 (1 - \theta)]}. \quad (42)$$

Уравнение (42) вместе с (37), (2а) и (2б) дает полное решение поставленного вопроса, которое, однако, слишком сложно. Мы ограничимся рассмотрением частных случаев.

1. Предположим, что $\eta \ll RT/F$ и, следовательно, $k_1 \approx k_1^0$, $k_2 \approx k_2^0$, $\theta \approx \theta_0$. Тогда, согласно (42), (2а), (2б), (33), (35) и (36)

$$\left(\frac{\partial \eta}{\partial i'}\right)_i = \frac{RT}{2F} \frac{(k_1^0 + k_2^0)^2}{k_5 (k_1^0)^2} = \frac{RT}{2Fi_{0II}}.$$

2. Предположим, что η велико. В этом случае следует рассмотреть вариант.

2а. Если исходить из предположений, которые делаются для случая рекомбинационного удаления в рамках теории замедленного разряда, следует пренебречь членами, относящимися к реакции 2, по сравнению с членами, относящимися к реакции 1. Для этого необходимо, чтобы осуществлялись неравенства $k_2 \ll k_1$ и $k_2\theta \ll k_1(1-\theta)$. Если принять в то же время, что скорость реакций 5 и 6 велика по сравнению со скоростью реакции 1 и, следовательно, θ сохраняет равновесное значение θ_0 , то согласно (2а), (2б), (31) и (34) должны выполняться условия

$$\eta \gg \frac{RT}{F}, \quad \eta \gg \frac{RT}{F} \left(\lg \frac{k_2^0}{k_1^0} + 1 \right) \text{ и } \eta \ll \frac{RT}{\alpha F} \lg \frac{k_5\theta_0}{k_2^0}.$$

В этом случае из (42) и (34) находим

$$\left(\frac{\partial \eta}{\partial i'}\right)_i = \frac{RT}{2\alpha F} \frac{1}{k_5(1-\theta)\theta} = \frac{RT}{2\alpha F} \frac{k_1^0}{k_2^0 i_{0II}}.$$

2б. В рамках классической рекомбинационной теории Тафеля предполагается, что $v_1 \approx v_2$, а v_5 мало по сравнению с v_1 и v_2 . Одновременное выполнение этих условий согласно (2а), (2б) и (31) возможно, если

$$k_5 \ll \left[\frac{1}{k_2^0} e^{\beta \eta F / RT} + \frac{1}{k_1^0} e^{-\alpha \eta F / RT} \right]^{-1}.$$

Из (32), (31), (35), (2а) и (2б) следует, кроме того, что при $v_1 \approx v_2$ $\eta \gg \frac{RT}{2F}$ можно пренебречь v_6 по сравнению с v_5 .

В этом случае, согласно (42), (30), (31) и (37)

$$\left(\frac{\partial \eta}{\partial i'}\right)_i = \frac{RT}{2F} \frac{1}{k_5(1-\theta)\theta^2} = \frac{RT}{2F(1-\theta)(i+i')}.$$

2в. Как видно из неравенств (44) и (46), условия, лежащие в основе предположений, рассмотренных в 2а и 2б, выполнимы лишь при не слишком больших η . При достаточно больших η при чисто рекомбинационном удалении и однородной поверхности электрода θ приближается к единице, i к предельному значению k_5 . В этих условиях $v_6 \ll v_5$, согласно (2б) и (31) $v_2/v_5 \approx k_2/k_5 \ll 1$ и, следовательно, $v_1 \approx v_5$. Отсюда получается по (2а) и (31)

$$k_1(1-\theta) \approx k_5$$

и согласно (42)

$$\left(\frac{\partial \eta}{\partial i'}\right)_i = \frac{RT}{2\alpha F} \frac{1}{k_5(1-\theta)} = \frac{RT}{2\alpha F} \frac{k_1}{k_5^2} = \frac{RT}{2\alpha F} \frac{k_1^0 e^{\alpha \eta F / RT}}{k_5^2}.$$

Рассмотрим, наконец, рекомбинационное удаление на неоднородной поверхности, ограничиваясь случаем достаточно больших перенапряжений, когда можно пренебречь реакцией 2 по сравнению с 1, и 6 по сравнению с 5. Для теории водородного перенапряжения особый интерес представляет случай неоднородности, характеризующийся линейным соотношением между равновесным потенциалом адсорбированного водорода и потенциалом θ при средних заполнениях. Кинетика выделения водорода на поверхности с такими свойствами была рассмотрена М. И. Темкиным, А. Н. Фрумкиным и Н. А. Аладжаловой [10]. Приведем относящиеся к этому случаю уравнения в форме, удобной для интересующих нас расчетов, принимая во внимание сделанные нами упрощающие допущения *

$$v_1 = k' e^{\alpha F \eta / RT} e^{-\alpha f \theta}, \quad (49)$$

$$v_5 = k'' e^{2\beta' f \theta}, \quad (50)$$

$$v_2, v_6 \ll v_1, v_5,$$

где k' , k'' , f и β' — постоянные, причем $\beta' < 1$. Отсюда следует, согласно (49) и (50),

$$i = v_1 - v_2 = k' e^{\alpha F \eta / RT} e^{-\alpha f \theta}, \quad (51)$$

$$v_1 - v_2 - v_5 + v_6 + i' = k' e^{\alpha F \eta / RT} e^{-\alpha f \theta} - k'' e^{2\beta' f \theta} + i' = 0, \quad (52)$$

$$\left(\frac{\partial i}{\partial \theta} \right)_{\eta} = -\alpha f i, \quad (53)$$

$$\left(\frac{\partial i}{\partial \eta} \right)_{\theta} = \frac{\alpha F}{RT} i, \quad (54)$$

$$\left(\frac{\partial i'}{\partial \eta} \right)_{\theta} = -\frac{\alpha F}{RT} i, \quad (55)$$

$$\left(\frac{\partial \theta}{\partial i'} \right)_{\eta} = [(\alpha + 2\beta') f i + 2\beta' f i']^{-1}. \quad (56)$$

Нами была также вычислена величина $(\partial \eta / \partial i')_i$ для неоднородной поверхности, обладающей указанными свойствами, в предположении удаления водорода электрохимической десорбцией. При этом были использованы выражения для кинетики отдельных стадий согласно [1] и [9], а именно:

$$e^{\alpha F \eta / RT} e^{-\alpha f \theta}, \quad (a)$$

$$e^{-\beta F \eta / RT} e^{\beta f \theta}, \quad (b)$$

$$e^{\alpha F \eta / RT} e^{\beta f \theta}, \quad (c)$$

$$e^{-\beta F \eta / RT} e^{-\alpha f \theta}, \quad (d)$$

— постоянная.

При условии $\eta \ll RT/F$ этот расчет приводит к соотношению, совпадающему с уравнением (21),

$$\left(\frac{\partial \eta}{\partial i'} \right)_i = \frac{RT}{4F} \left(\frac{1}{i_{0II}} - \frac{1}{i_{0I}} \right). \quad (e)$$

$\gg RT/F$

$$\left(\frac{\partial \eta}{\partial i'} \right)_i = -\frac{RT}{\alpha F} \frac{i' + (\beta - \alpha) i}{i^2 - i'^2}. \quad (f)$$

Согласно уравнению (f), если $i' \ll i$, знак $(\partial \eta / \partial i')_i$ определяется знаком $\alpha - \beta$. При $i' \gg (\beta - \alpha) i$, $(\partial \eta / \partial i')_i$ всегда отрицательно, но убывает с ростом i при постоянном отношении i'/i . Последний вывод, по-видимому, не согласуется с опытными данными. Возможно, что в то время как уравнения (a) и (b) правильно передают влияние заполнения на кинетику разряда и ионизации, уравнения (c) и (d) неправильно учитывают его влияние на процесс электрохимической десорбции.

Подставляя выражения (53) — (56) в уравнение (15), получаем

$$\left(\frac{\partial \eta}{\partial i'}\right)_i = \frac{RT}{2\beta'F} \frac{1}{i+i'} \quad (5)$$

и, если $i' \ll i$,

$$\left(\frac{\partial \eta}{\partial i'}\right)_i = \frac{RT}{2\beta'F} \frac{1}{i}. \quad (57)$$

Интегрируя уравнение (57), получаем

$$\eta = \eta_0 + \frac{RT}{2\beta'F} \ln(i+i') - \frac{RT}{2\beta'F} \ln i = \eta_0 + \frac{RT}{2\beta'F} \ln\left(1 + \frac{i'}{i}\right), \quad (58)$$

где η_0 — значение η при заданном i и $i' = 0$. Из (51) и (52) при $i' = 0$ следует

$$\eta_0 = \frac{RT}{\alpha F} \ln i + \frac{RT}{2\beta'F} \ln i + \text{const.} \quad (59)$$

Из (58) и (59) получаем

$$\eta = \frac{RT}{\alpha F} \ln i + \frac{RT}{2\beta'F} \ln(i+i') + \text{const.} \quad (60)$$

Физический смысл уравнения (60) ясен. Как это следует из теории электролитического выделения водорода на неоднородной поверхности, второй член правой части уравнения (59) определяет повышение η , вызванное увеличением заполнения поверхности, соответствующим росту скорости реакции рекомбинации v_5 . Если $i' = 0$, то $v_5 = i$; при $i' \neq 0$ $v_5 = i + i'$ чем и объясняется замена величины i на $(i+i')$ во втором члене правой части при переходе от уравнения (59) к (60). Уравнение (60) можно было бы вывести и более простым путем, чем тот, который был использован здесь, а именно: выразив на основании (51) и (52) $e^{2\phi'/\phi_0}$ в виде функции $i+i'$ и подставив полученное выражение в (51). Мы предпочли, однако, получить это соотношение тем же способом, который применялся и в других случаях.

На основании (43), (45), (47), (48) и (57) можно сделать некоторые выводы об интересующей нас величине $(\partial \eta / \partial i')_i$ при рекомбинационном механизме удаления. Во всех случаях величина эта положительна; иначе говоря, при рекомбинационном механизме введение дополнительных количеств атомарного водорода всегда повышает перенапряжение или сдвигает потенциал электрода в отрицательную сторону. Величина этого сдвига при определенном i' в тех случаях, когда существует полное или приближенное равновесие между водородом, адсорбированным на электроде, и газообразным водородом, т. е. при равновесном потенциале и в случае замедленности стадии разряда по сравнению со стадией рекомбинации, обратно пропорциональна току обмена второй стадии [уравнения (43) и (45)]. При необратимости стадии удаления в рассмотренном здесь случае неоднородной поверхности изменение перенапряжения обратно пропорционально току [уравнение (57a)], а при заданном отношении i'/i независимо от исходного значения η_0 [уравнение (58)]. Обратная пропорциональность $(\partial \eta / \partial i')_i$ величине $i+i'$ приблизительно выполняется и в случае замедленной рекомбинации и в случае однородной поверхности [уравнения (47)], если заполнение θ не слишком близко к единице. При $\theta \approx 1$ как это следует из (47) и (48), величина $(\partial \eta / \partial i')_i$ должна резко возрастать, однако такое явление может наблюдаться только при приближении величины i к значениям предельного тока рекомбинации. Если этот случай реализуется на опыте [2], то только при очень больших величинах i , т. е. в условиях, когда рассматриваемый метод изучения механизма процесса уже не может быть использован.

СРАВНЕНИЕ С ОПЫТНЫМИ ДАННЫМИ

В исследованных до сих пор системах (Ni, Fe в NaOH и HCl, Fe в NaOH и в присутствии сурьмы с помощью Pb и Hg) вблизи равновесного потенциала при введении дополнительных количеств атомарного водорода наблюдается сдвиг потенциала в отрицательную сторону (рост η), независимо от способа введения атомарного водорода [1—3]. При переходе к более высоким значениям η величина сдвига при сохранении постоянства отношения i'/i падает, доходит до нуля и меняет свой знак на обратный [2]. Особенно ясно выражен переход к сдвигу потенциала в положительную сторону в случае железа, отравленного Pb и Hg в щелочной среде; положительный знак эффекта наблюдается и в случае железных электродов, которые нанесены тонкие слои Sn и Zn [3]. В этих опытах атомарный водород доставлялся на поверхность электрода диффузией через металл. Предварительным данным С. Д. Левиной и Т. В. Калиш, сдвиг в положительную сторону наблюдался и в случае действия свободного атомарного водорода на поверхность Hg в HCl [1].

Как это явствует из вышеизложенного, наличие повышения η при введении атомарного водорода не может дать однозначных указаний о механизме процесса, так как такой знак эффекта можно ожидать как при рекомбинационном механизме удаления, так и при удалении электрохимической десорбцией в случае медленности второй стадии. Напротив, понижение η , которое наблюдалось на всех до сих пор изученных электродах при достаточно высоких исходных значениях η , однозначно указывает на электрохимическую десорбцию с замедленной первой стадией процесса. Переход от повышения η при действии атомарного водорода к понижению его по мере роста η можно объяснить изменением отношения между скоростью первой и второй стадий электрохимической десорбции по мере роста η , которое возможно при определенных соотношениях между константами k_1^0 , k_2^0 и k_3^0 (случай 2 в таблице). Объяснение это, однако, неоднозначно; такое же изменение знака можно ожидать в том случае, если удаление атомарного водорода с поверхности электрода происходит параллельно по механизму электрохимической десорбции и рекомбинационному механизму в связи с возрастанием удельного веса первого механизма по мере роста перенапряжения. В случае кислых растворов, по данным, полученным в Институте физической химии АН СССР И. А. Багодной и А. И. Оше, диффундирующий через металл атомарный водород вызывает относительно небольшие изменения потенциала железного электрода и после отравления его ртутью. Такой результат можно ожидать при рекомбинационном механизме удаления, если ток обмена второй стадией достаточно велик по сравнению с током обмена первой. Однако причины такого различия механизма удаления в кислом и щелочном растворе для того же электрода неясны. Возможно, что, как это было предложено И. А. Багодной [3], наблюдаемое различие объясняется иначе, а именно, здесь сказывается худшая смачиваемость поверхности электрода в тех же значениях η кислыми растворами по сравнению со щелочными. Плохой смачиваемости способствуют выходы из микротрещин, по которым происходит движение атомарного водорода к поверхности электрода, молекулы, оказавшиеся блокированными пузырьками газа, вследствие чего атомарный водород рекомбинирует раньше, чем он успеет перейти на поверхность, на которой происходит электрохимический процесс.

Критерием правильности того или другого механизма может служить не только знак эффекта, но и зависимость его величины от плотности протекающего тока; имеющийся опытный материал еще недостаточен для окончательных выводов. В последнее время в Институте физической химии АН СССР И. А. Багодной и А. И. Оше удалось показать, что при

росте i и сохранении постоянства величины i/i' смещение потенциала железного, отравленного ртутью электрода, в положительную сторону под действием диффундирующего атомарного водорода в щелочном растворе приближается к некоторому пределу, что находится в согласии с уравнением (28). При этом было, однако, обнаружено, что в некоторых случаях при малых значениях отношения i/i' $(\partial\eta/\partial i')_i$ по своей абсолютной величине заметно превышает максимально возможное значение, которое получается из (28) в предположении, что $k_3^0 \gg k_1^0$. Объяснение такого превышения, по-видимому, невозможно без введения дополнительных предположений о механизме процесса выделения водорода; обсуждение этого вопроса целесообразно, однако, отложить, впредь до накопления большего опытного материала. Вместо того чтобы измерять зависимость η от i' при постоянном i , можно было бы определять изменение i при постоянном η , т. е. величину $(\partial i/\partial i')_\eta$. Так как

$$\left(\frac{\partial i}{\partial i'}\right)_\eta = \left(\frac{\partial i}{\partial \theta}\right)_\eta \left(\frac{\partial \theta}{\partial i'}\right)_\eta, \quad (6)$$

то величину $(\partial i/\partial i')_\eta$ легко найти для различных предложенных механизмов из соответствующих значений $(\partial i/\partial \theta)_\eta$ и $(\partial \theta/\partial i')_\eta$. Как явствует из сопоставления уравнений (61) и (15), расчет величины $(\partial i/\partial i')_\eta$ проще, чем расчет величины $(\partial\eta/\partial i')_i$; с экспериментальной стороны, однако, определение изменений η при постоянном i удобнее, так как сохранение постоянства i достигается более простыми средствами, чем сохранение постоянства η , требующего применения специальных «потенциостатических» схем.

В недавно появившейся работе Геришера и Меля [6] такая потенциостатическая схема была использована для определения величины $(\partial i/\partial \theta)_\eta$ для случая электродов из Hg, Ag и Cu. Изменение θ достигалось при этом не введением дополнительных количеств атомарного водорода, а происходило во времени. А именно, на электрод накладывалось постоянное перенапряжение η и измерялась зависимость тока от времени, протекшего после начала опыта. При истолковании полученных результатов предполагалось, что в начальный момент поверхность электрода свободна от адсорбированного водорода и с течением времени заполняется им до степени покрытия, соответствующей стационарному состоянию при прохождении тока. Определение зависимости i от времени t , протекшего после наложения поляризации, с помощью осциллографа, позволяет найти величину $(\partial i/\partial \theta)_\eta$ и сделать выводы о механизме реакции. Для случая Hg опыты немецких авторов подтвердили результаты, ранее полученные А. Н. Фрумкиным и Бокрисом; в случае Ag и Cu они приходят к выводу, что удаление водорода происходит по механизму электрохимической десорбции, причем на серебре стадия десорбции протекает быстрее стадии разряда, а на меди медленнее. Сопоставление скоростей первой и второй стадий у Геришера и Меля соответствует в трактовке, изложенной в данной работе, сопоставлению постоянных k_1^0 и k_3^0 в табл. 1. Выводы Геришера и Меля, вероятно, в основном правильны; мы бы хотели здесь сделать, однако, несколько критических замечаний по поводу как экспериментальной, так и теоретической сторон их работы. Правильность выводов Геришера и Меля зависит в первую очередь от правильности их основного допущения о состоянии поверхности электрода до включения поляризующего тока. Геришер и Мель не останавливаются подробно на этом вопросе, но из приведенных ими данных (рис. 6) вытекает, что начальное состояние электрода соответствовало потенциалу, равному обратимому водородному в данном растворе (или несколько более отрицательному, чем последний). При таком потенциале покрытие поверхности электрода водородом в случае, например, меди, могло уже значительно отличаться от нуля, что долж-

было бы сказаться на результатах вычисления величины $(\partial i/\partial \theta)_\eta$ *. Из этого обстоятельства повлиял бы на количественную, но не на качественную сторону выводов. Как показали, однако, расчеты, приведенные во втором разделе настоящей работы, возможны и такие случаи, когда диффузионное заполнение поверхности электрода при увеличении перепада напряжения не растет, а падает. В этом случае метод, используемый авторами, мог бы привести к значениям $(\partial i/\partial \theta)_\eta$, ошибочным (не по знаку). Мы отнюдь не утверждаем, что это действительно имело место в опытах Геришера и Меля, но принципиально возможность такого рода зависимости θ от η не исключена. При теоретической трактовке процесса Геришер и Мель в случае электрохимической десорбции примут те же соотношения, которые были использованы в [5], но с самого начала пренебрегают реакциями 2 и 4 по нашему обозначению (подобным же образом реакциями 2 и 6 для случая рекомбинационного явления), считая, что такое пренебрежение допустимо при $\eta > 150$ mV. Действительно, значение η , при превышении которого можно пренебречь v_2 , v_4 по сравнению с v_1 , v_3 , как это следует из уравнения (24), исходит от отношений k_2^0/k_3^0 и k_2^0/k_1^0 и не может быть определено а priori. Мы хотели бы сделать еще следующее замечание в связи с рассматриваемой работой Геришера и Меля. Эти авторы предлагают называть реакцию, которую мы называем «электрохимической десорбцией» (реакция 3), «реакцией Гориучи». Полностью признавая заслуги Гориучи, впервые введшего на значение определения величины токов обмена для выяснения механизма выделения водорода в развитии теории водородного перенапряжения, мы все же считаем введение такого термина неправильным. Сама удализация адсорбированного водорода, аналогичная реакции 3, была впервые предложена Я. Гейровским **. Она была далее рассмотрена Эйдилом и Боуденом [45]. Значение реакции 3 для удаления водорода с катодов при больших заполнениях подробно обсуждалось Н. И. Кобозем и Л. И. Некрасовым [46]. Указанные три работы появились до первой затрагивающей этот вопрос статьи Гориучи и Окамото [47], в которой и предложили для реакции название «электрохимический механизм». Исследователи Геришер и Мель справедливо считают слишком общим термин «электрохимическая десорбция», примененный впервые, по-видимому, в работе П. Д. Луковцева и С. Д. Левиной [48], не имеет этого недостатка.

Введение термина «реакция Гориучи» нам кажется, кроме того, возможным источником недоразумений, так как Гориучи и его сотрудники в действительности принимают для выделения водорода на поверхности ртути целый механизм, существенно отличный от механизма, который считается правильным в настоящее время большинством исследователей, занимавшихся этим вопросом, и который, в частности, подтверждается работой Геришера и Меля. Согласно теории японских авторов, на поверхности водородного катода реализуется равновесие между ионами H^+ (или молекулами H_2O) и ионами H_2^+ в двойном слое, скорость же процесса определяется скоростью разряда последних. По этому представлению емкость двойного слоя в растворах кислот в области водородного перенапряжения при отрица-

* При не слишком отрицательных исходных значениях потенциала имеется также опасность присутствия на электроде окисных пленок (хемосорбированного кислорода), постепенное удаление которых при переходе к более отрицательным потенциалам также может привести к изменению i во времени при постоянном η .

** Гейровский [13] принимал, что сначала происходит присоединение электрона адсорбированному атому H с образованием отрицательно заряженного H^- , который затем уже реагирует с H_3O^+ , образуя молекулы H_2 . В более поздних работах Гориучи (его соотр. [14]) также разбивают реакцию 3 на две стадии, однако в иной последовательности; предполагается, что сначала происходит образование молекулярного H_2 из H^+ и $H_{\text{адс}}$, затем уже присоединяющего электрон. Нам кажется, что в настоящее время еще нет достаточных оснований для той или другой детализации реакции 3.

тельном заряде поверхности должна была бы в два раза превышать емкость в растворах нейтральных солей, что противоречит опытным данным.

ВЫВОДЫ

Выведены соотношения, определяющие изменение потенциала поляризованного катода, на котором происходит выделение водорода в условиях стационарного электролиза, при введении на его поверхность дополнительных количеств атомарного водорода.

Показано, что при удалении водорода с однородной поверхности электрода по механизму электрохимической десорбции при малых перенапряжениях η следует ожидать повышения перенапряжения при введении атомарного водорода, если заполнение поверхности адсорбированным водородом в условиях стационарного электролиза θ_s растет при увеличении η . При больших η атомарный водород должен снижать η , если величина остается ниже определенного предела. При рекомбинационном механизме удаления атомарный водород всегда повышает η , при малых η это повышение обратно пропорционально току обмена второй стадии.

Полученные соотношения были сопоставлены с опытными данными.

Академия наук СССР
Институт физической химии

Поступила
18.VII.1956

ЛИТЕРАТУРА

1. С. Д. Левина и Т. В. Калиш, ДАН, 109, 971, 1956.
2. И. А. Багоцкая, ДАН, 107, 843, 1956.
3. И. А. Багоцкая, ДАН, 110, 397, 1956.
4. M. Stackelberg, H. Bischoff, Zs. Elektrochem., 59, 467, 1955.
5. А. Н. Фрумкин, Журн. физ. химии, 10, 568, 1937; Acta Phys. Chim. URSS, 7, 475, 1937.
6. H. Gerischer, N. Mehl, Zs. Elektrochem., 59, 1049, 1955.
7. В. Э. Паст и З. А. Иофа, ДАН, 106, 1050, 1956.
8. A. Hickling, F. Salt, Trans. Farad. Soc., 37, 450, 1941;
Я. М. Колотыркин, Журн. физ. химии, 20, 667, 1946.
9. М. И. Темкин, Журн. физ. химии, 15, 296, 1941; 14, 1153, 1940.
10. А. Н. Фрумкин и Н. А. Аладжалова, Журн. физ. химии, 18, 493, 1944; Acta Phys. chim. URSS, 19, 1, 1944.
11. И. И. Долин, Б. В. Эршлер и А. Н. Фрумкин, Журн. физ. химии, 1, 907, 1940; Acta Phys. Chim., 13, 779, 1940.
12. J. O. M. Bockris, A. Azzam, Trans. Farad. Soc., 48, 145, 1952.
13. J. Neurgovskiy, Rec. Trav. Chim. P. B. 46, 582, 1927; 44, 499, 1925.
14. G. Okamoto, Journ. Fac. Sci. Hokkaido Univ. 2, 116, 1938; I. Horuti, T. Keii, K. Hirota, Journ. Res. Inst. Catal. Hokkaido Univ., 2, 1, 1951; J. Horuti, там же 3, 52, 1954.
15. F. Bowden, E. K. Rideal, Proc. Roy. Soc., (A) 120, 78, 1928.
16. Н. И. Кобозов, Л. И. Некрасов Zs. Elektrochem., 36, 529, 1930.
17. J. Horuti, G. Okamoto, Sc. Pap. Inst. Phys. Chem. Res. Tokyo. 29, 223, 1936.
18. П. Д. Луковцев, С. Д. Левина, Журн. физ. химии, 21, 599, 1947.

STUDY OF THE MECHANISM OF ELECTROLYTIC HYDROGEN EVOLUTION BY THE METHOD OF INTRODUCING SUPPLEMENTARY AMOUNTS OF ATOMIC HYDROGEN ON THE ELECTRODE SURFACE

A. N. Frumkin (Moscow)

Summary

The experiments of Bagozkaya and of Levina and Kalish show that the hydrogen overvoltage η on a polarized cathode under conditions of stationary electrolysis at constant current density changes on the introduction of supplementary amounts of atomic hydrogen on the electrode surface. A quantitative theory of this phenomenon is given using different assumptions concerning the mechanism of hydrogen evolution.

If the removal of adsorbed hydrogen atoms from a homogeneous electrode surface is accomplished through electrochemical desorption and the initial overvoltage is small a rise in the overvoltage on introduction of excess amounts of atomic hydrogen is to be expected, provided the stationary coverage of the electrode surface with adsorbed hydrogen θ_s increases with increasing η . At large initial values of η a lowering of η by excess amounts of atomic hydrogen must occur if under these conditions θ_s is less than $1/2$.

If the second stage of the hydrogen evolution consists in a recombination of H atoms a rise in η must always occur. At small initial η_s values this rise is inversely proportional to the exchange current of the recombination stage.

These conclusions were compared with the experimental results quoted above.

О ПРИМЕНИМОСТИ МЕТОДА МИКРОТВЕРДОСТИ К ИССЛЕДОВАНИЮ ДВОЙНЫХ И ТРОЙНЫХ ДИАГРАММ СОСТОЯНИЯ МЕТАЛЛИЧЕСКИХ СИСТЕМ

В. М. Глазов, В. Н. Вигдорович и Г. А. Корольков

Исследование микротвердости является весьма чувствительным методом физико-химического анализа. Использование этого метода для изучения явления внутрикристаллической ликвации [1—3] показало высокую чувствительность его к незначительным изменениям состава по зерну твердого раствора. Метод микротвердости реагирует также и на образование мельчайших частичек второй фазы в зернах твердого раствора двух- и трехкомпонентных сплавов (явление микрогетерогенизации) [4—11].

Особенно ценным этот метод может оказаться для изучения превращений в твердом состоянии (определение растворимости, эвтектидные, перитектидные и другие превращения), так как он представляет собой благоприятное сочетание исследования микроструктуры с определением механического свойства (твердости) отдельных структурных составляющих сплава.

Построение линий эвтектидных или перитектичных превращений, также линий ограниченной растворимости методом микротвердости основывается на строго определенном законе изменения состава данной фазы с изменением состава сплава и соответствующего изменения ее микротвердости [12].

В случае изучения растворимости метод микротвердости может с успехом конкурировать с микроскопическим методом, а также с методом рентгеноструктурного анализа, так как микроскопический анализ всегда требует известной интерполяции, а рентгеноструктурный анализ в тех случаях, когда растворимость мала, дает ненадежные результаты; в случае же отсутствия изменения параметра решетки с изменением концентрации раствора, рентгеноструктурный анализ вообще не может дать ответа на вопрос, образуются или не образуются граничные твердые растворы в данной системе. Примером такого случая может служить система кадмий — висмут, которая до последнего времени на основании данных рентгеноструктурного анализа считалась классической эвтектической системой с отсутствием ограниченной растворимости [13]. Однако с помощью метода твердости [14] и микротвердости [9] удалось показать, что в этой системе при температуре эвтектики в кадмии растворяется до 5% висмута. Аналогичная картина наблюдается также в системе кадмий — олово [14].

Применение метода рентгеноструктурного анализа не оправдывает себя также в том случае, когда твердый раствор образуется в трехкомпонентной системе, и каждый из двух добавляемых компонентов изменяет состав решетки в противоположных направлениях.

Впервые метод микротвердости был успешно использован для изучения растворимости титана в алюминии [15]. Позднее в работе [16] были выведены основные типы диаграмм «состав — микротвердость» для простейшего случая взаимодействия двух компонентов, позволяющие определить растворимость в твердом состоянии (рис. 1, а). Однако выведенные типы диаграмм «состав — микротвердость» не были экспериментально подтверждены авторами этой работы.

При исследовании микротвердости кристаллов твердого раствора в двухфазных сплавах, мы столкнулись с явлением микрогетерогенизации [4—11], которая приводит к увеличению микротвердости зерна твердого раствора с увеличением содержания второго компонента в сплаве, если вторая фаза тверже кристаллов твердого раствора, или уменьшению, если вторая фаза мягче кристаллов твердого раствора [8,9]. Для уничтожения влияния микрогетерогенности на микротвердость кристаллов твердого

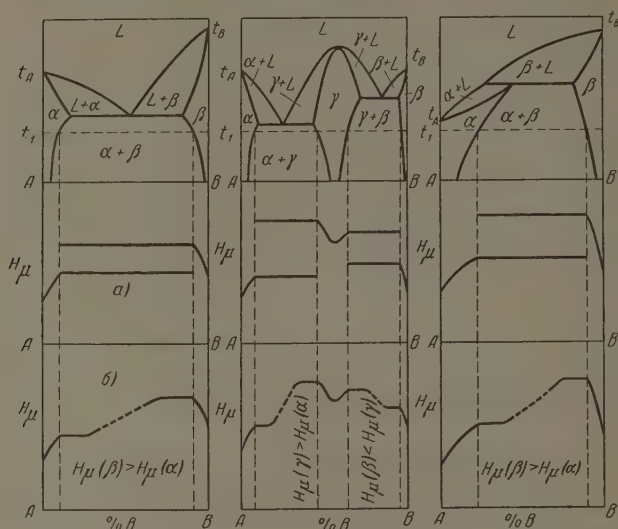


Рис. 1. Теоретические и реальные диаграммы «состав — микротвердость» для некоторых случаев взаимодействия компонентов.

дого раствора двухфазных сплавов, как показали наши опыты, потребовалось бы очень много времени. Например, в системе алюминий — медь для уничтожения влияния микрогетерогенности при 400°C потребовалось около 650 часов. В связи с уменьшением скорости диффузии при более низких температурах требуется еще большее время. Подробное изучение момента перехода из однофазной в двухфазную область диаграммы состояния показало, что на некотором участке концентраций микрогетерогенность не оказывает влияния на микротвердость твердого раствора, и на этом участке концентраций образуется еще сравнительно мало частиц второй фазы, гетерогенизирующих зерно твердого раствора. На рис. 2 в сопоставлении с равновесной диаграммой состояния алюминий — медь приводятся зависимости микротвердости кристаллов твердого раствора от состава сплава, полученные на одной и той же серии образцов, но с различным временем гомогенизации при 400°C.

Как видно из рис. 2, в системе алюминий — медь после 50 часов гомогенизации при 400°C и после 650 часов характер зависимости микротвердости твердого раствора от состава в двухфазной области диаграммы существенно различен. Однако горизонтальный участок на кривой состав — микротвердость α (рис. 2, а) после перехода из однофазной области в двухфазную достаточно велик (в системе алюминий — медь ~2%) и позволяет отметить четкий излом, отвечающий границе насыщения сплава при данной температуре. Результат определения растворимости на серии образцов, отогомогенизированных при 400°C в течение 50 часов такой же, как

на серии образцов, подвергавшихся гомогенизации в течение 650 часов и той же температуре (точки a_1 и a_2 на рис. 2, а и 2, б).

Величина участка с одинаковой микротвердостью после сравнительно долгой гомогенизации для данной системы остается приблизительно одинаковой при различных температурах и определяется величиной критического объема второй фазы (чем больше удельный объем второй фазы, тем этот участок короче) и степенью дисперсности (чем больше степень дисперсности, тем он длиннее). Опыты, проведенные на ряде различных систем, показывают, что интервал концентрации с постоянной микротвердостью после перехода из однофазной области диаграммы состояния в двухфазную достаточно велик, чтобы определить с большой точностью границу насыщения. В табл. 1 приводятся интервалы концентраций с постоянной микротвердостью для различных бинарных систем после сравнительно кратковременной гомогенизации (недостаточной для уничтожения влияния микрогетерогенности на микротвердость).

На основании этого предложены «реальные» диаграммы «состав — микротвердость», учитывающие явление микрогетерогенизации твердого раствора в двухфазных сплавах (рис. 1, б).

Учитывая эти диаграммы, нет необходимости проводить отжиг в течение больших промежутков времени с целью получения теоретических зависимостей, выведенных в работе [16]. Достаточно вести исследование вблизи линии ограниченной растворимости, в двухфазной области, так как приблизительное положение этой линии намечается уже при микроскопическом исследовании этих же шлифов.

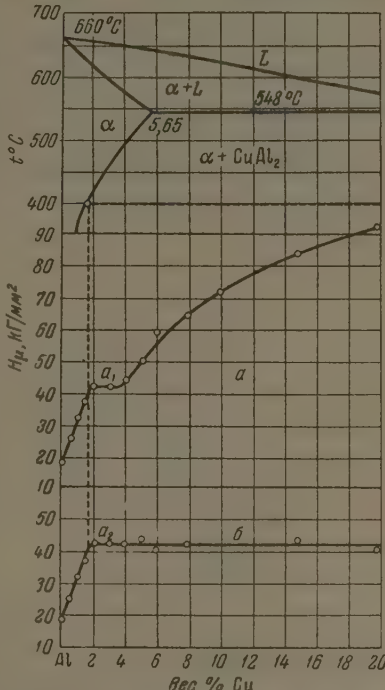


Рис. 2. Зависимость микротвердости кристаллов твердого раствора от состава сплава в системе алюминий — медь: а — после 50 часов гомогенизации, б — после 650 часов гомогенизации.

Таблица 1

Система	Интервал концентраций, вес. %	Температура*, °С	Работа
Al—Cu	2,1	20, 350, 400, 450, 500	[8]
Al—Si	2,2	20, 500	[9]
Al—Zn	4,1	20, 200	[9]
Cd—Sn	2,1	20, 100, 130, 170	[9]
Cd—Bi	2,4	20, 100, 130	[9]
Al—Sn	2,2	20	[7]
Sn—Sb	5,3	20	[7]

* Имеются в виду температуры, для которых были построены изотермы состав — микротвердость α.

Применение указанных схем вполне оправдано с точки зрения равновесия, ибо сплавы двухфазной области диаграммы состояния, после сравнительно небольшого отжига находятся в равновесном состоянии по составу, а необычный ход кривых микротвердости в этом случае объясняется особым структурным распределением второй фазы.

Поясним эту мысль. Зерно твердого раствора с субмикроскопическими частичками второй фазы, распределенными внутри него, представляет собой неравновесную в структурном отношении и, следовательно, термодинамически неустойчивую систему. Однако состав твердого раствора в этих субмикроскопических частичках второй фазы является равновесным, т. е. концентрация его отвечает концентрации сплава, предельно насыщенного при данной температуре, и общее количество второй фазы соответствует правилу рычага для данного сплава согласно диаграмме состояния, в чем можно легко убедиться, анализируя данные, представленные в табл. 2.

Таблица 2

Система	Температура, °C	Метод микротвердости	Метод рентгеноструктурного анализа
Al—Cu [8]	450	2,85	2,80 [17]
	50	4,0	4,0 [17]
Al—Zn [5]	20	2,0	2,0 [17]
	200	12,0	12,6 [17]
Al—Si [9]	20	0,05	0,02 [17]
	500	0,8	0,8 [17]
Al—Ti [15]	500	0,8	0,05 [17]
Al—Ta [11]	20	0,16	0,15 [11]

Поэтому наличие микрогетерогенности несколько не мешает нам построить равновесную кривую ограниченной растворимости, измеряя микротвердость кристаллов твердого раствора сплавов, у которых микрогетерогенность не влияет на нее. При использовании метода микротвердости для построения равновесных линий ограниченной растворимости при подготовке сплавов важно только, чтобы они были равновесными с точки зрения диаграммы состояния и неважно достижение равновесия с точки зрения структуры. Для иллюстрации пригодности указанных схем в табл. 2 приводятся результаты определения растворимости методом микротвердости для различных систем ([8], [9], [15] [11]) в сопоставлении с данными рентгеноструктурного анализа ([17], [11]).

Описанные закономерности могут быть использованы также для построения поверхностей ограниченной растворимости в трехкомпонентных системах. Впервые метод микротвердости был успешно использован в трехкомпонентной системе для изучения растворимости хрома и циркония в меди при различных температурах [40].

Для построения поверхностей ограниченной растворимости в тройной системе могут служить изотермы состав — микротвердость кристаллов твердого раствора α для нескольких политермических разрезов, пересекающих область твердого раствора. При этом вертикальные разрезы могут быть практически любые, лишь бы они проходили через границу растворимости. В случае реальных квазибинарных сечений получается картина аналогичная таковой в обычной бинарной системе. Изотермы состав — микротвердость имеют такой же вид и в случае использования разрезов, проходящих через конноды, характеризующие равновесие исследуемой фазы с другой фазой двухфазной области, так как в этом случае состав исследуемой фазы при переходе из однофазной области в двухфазную остается постоянным и равен концентрации сплава, предельно насыщенного при данной температуре.

В тех случаях, когда разрез не проходит через соответствующую конноту, также удастся наметить точку перегиба и, тем самым, сделать заключение о предельной растворимости. Однако на кривой зависимости микротвердости кристаллов твердого раствора от состава не будет горизонтального участка кривой при переходе из однофазной области в двухфазную, так как состав кристаллов α в этом случае будет переменным.

В этом случае с изменением состава сплава по разрезу концентрация равновесного твердого раствора будет расти или падать (в зависимости от кривизны поверхности растворимости и соответствующего отклонения вертикального разреза от конноты в ту или другую сторону); в соответствии с этим будет меняться и микротвердость кристаллов твердого раствора.

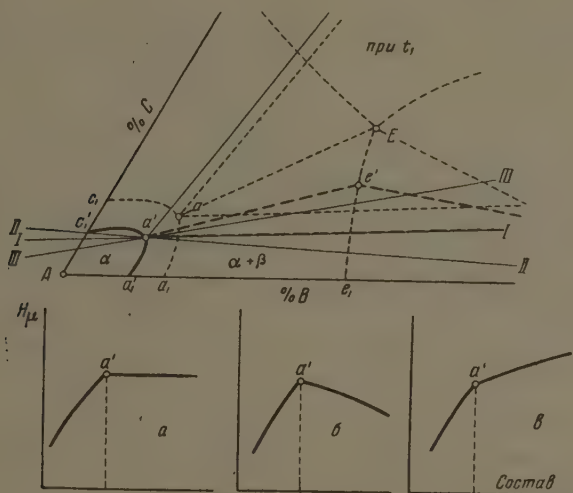


Рис. 3. Типовые зависимости микротвердости от состава при отклонении политермического разреза от конноты в ту или иную сторону. а — для разреза I—I (коннотного), б — для разреза II—II, в — для разреза III—III

Типовые зависимости микротвердости, получающиеся при соответствующих отклонениях от коннот, приведены в виде схемы на рис. 3. Эти зависимости относятся к тем участкам концентраций, после перехода из однофазной области диаграммы состояния в двухфазную, на которых микротвердость не сказывается на микротвердости кристаллов твердого раствора. Очевидно, при дальнейшем изменении состава сплава по соответствующему разрезу после сравнительно кратковременной гомогенизации на результаты измерения микротвердости зерен твердого раствора будет влиять микротвердость и характер зависимости ее от состава будет сложнее. В тех случаях, когда отклонение от конноты ведет к уменьшению концентрации твердого раствора, как показано на рис. 3, б для разреза II—II, на кривой состав — микротвердость получается очень резкий излом, так как в данном случае с удалением от точки предельного насыщения по разрезу при данной температуре концентрация равновесного твердого раствора уменьшается и в соответствии с этим микротвердость падает.

Последнее обстоятельство раскрывает перед нами возможность по разным микротвердотам характеризовать разрезы с точки зрения их

ориентации относительно соответствующих коннод, что является превосходным дополнением к данным термического анализа при исследовании трехкомпонентной системы.

По мере приближения разрезов к соответствующим двойным системам интервал кристаллизации двойных эвтектик или перитектик сужается, и коннодные треугольники вырождаются в прямые [18]. В соответствии с этим отклонение положения разрезов от коннод по мере приближения

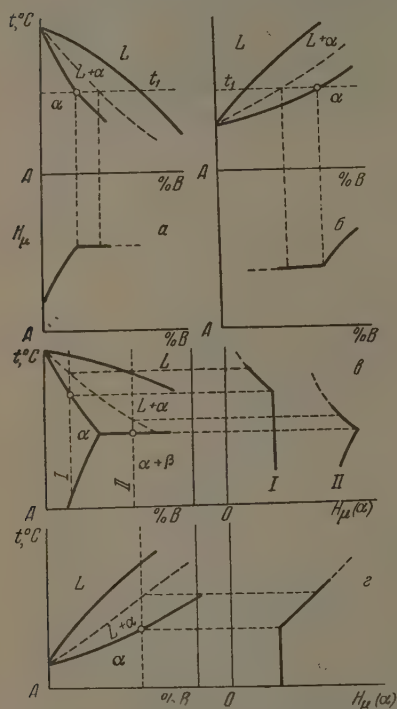


Рис. 4. Возможные зависимости микротвердости от состава и микротвердости от температуры при переходе через линию солидус.

микротвердости сплавов, лежащих в двухфазной области диаграммы, характер зависимости микротвердости от температуры (имеется в виду температура закалки) в твердом состоянии определяется линией ограниченной растворимости, и в твердо-жидком состоянии — линией солидус, что позволяет на политерме микротвердости наметить точку перелома, отвечающую линии солидус*. Типовые схемы зависимостей микротвердости при построении солидуса, выведенные, исходя из принципов непрерывности и соответствия Н. С. Курнакова [12], представлены на рис. 4. Эти же самые схемы справедливы для квазибинарных и коннодных, а также близких к ним разрезов в тройных системах.

Изложенные положения нашли свое экспериментальное подтверждение при исследовании двойных диаграмм состояния систем, указанных в табл. 1 и 2, и тройных диаграмм состояния Cu — Cr — Zr [10], Al — Mn — Ti, Al — Fe — Ti, Cu — Al — Ti, Cu — Zn — Sn, Al — Mg — Si и др.

* В этом случае точка лежит на линии невариантного равновесия (эвтектического или перитектического)

к двойным системам в меньшей степени сказывается на характере кри-
вых «состав — микротвердость α».

Метод микротвердости можно также с успехом использовать для построения солидуса двойных и тройных систем. При этом следует учитывать, что при переходе через солидус на некотором участке концентраций (или температур), определяемом линией начала линейной усадки, сплавы остаются в твердо-жидком состоянии [14, 19, 20]. Исследование можно вести как с помощью изотерм, так и с помощью политерм микротвердости. Построение солидуса с помощью изотерм микротвердости основано на том же принципе, что и определение растворимости в твердом состоянии (рис. 4, а, б). Построение солидуса с помощью политерм микротвердости основано на том, что: 1) при исследовании закаленных сплавов, лежащих в пределах однофазной области, микротвердость кристаллов твердого раствора с увеличением температуры закалки остается постоянной вплоть до линии солидус, а при переходе сплава в твердо-жидкое состояние микротвердость уменьшается или увеличивается в зависимости от характера взаимодействия компонентов сплава (рис. 4, в, г); 2) при построении политерм микротвердости

В заключение авторы считают своим долгом с благодарностью вспомнить академика Георгия Григорьевича Уразова за то внимание и интерес, которые были им проявлены к настоящей работе.

ВЫВОДЫ

1. На основании анализа экспериментального материала по зависимостям микротвердости кристаллов твердого раствора от состава сплава (двойных и тройных системах) сделано физико-химическое обоснование возможности использования метода микротвердости для определения границ фазовых областей при структурном неравновесии исследуемой фазы, которое отличается наличием субмикроскопических частиц второй фазы.
2. Предложены и экспериментально подтверждены реальные диаграммы «состав — микротвердость» для различных случаев взаимодействия компонентов.

Академия наук СССР
Институт металлургии им. А. А. Байкова
Институт цветных металлов и золота
им. М. И. Калинина
Москва

Поступила
6.VIII.1956

ЛИТЕРАТУРА

- А. А. Бочвар и О. С. Жадаева, Изв. АН СССР, ОТН, № 4, 419, 1947.
Д. А. Петров и Л. А. Райковская, Труды Московского Авиационного технологического института, вып. 7, М., 1949.
Д. А. Петров, Вопросы теории сплавов алюминия, Металлургиздат, 1951.
А. А. Бочвар и О. С. Жадаева, Изв. АН СССР, ОТН, № 10—11, 108, 1945.
А. А. Бочвар, Технология металлов, Сборник научных трудов Минцветметзолото, Металлургиздат, 1947.
А. М. Корольков и Э. С. Каданер, ДАН, 24, 120, 1950.
А. М. Корольков и Э. С. Каданер, Сборник трудов конференции по микротвердости, 1949.
В. М. Глазов, Г. А. Корольков и Ю. Д. Чистяков, Изв. АН СССР, ОТН, № 10, 143, 1955.
В. М. Глазов, Г. А. Корольков и Ю. Д. Чистяков, Изв. АН СССР, ОТН, № 12, 131, 1955.
В. М. Глазов, М. В. Захаров и М. В. Степанова, Изв. АН СССР, ОТН, № 1, 162, 1956.
В. М. Глазов, М. В. Мальцев и Ю. Д. Чистяков, Изв. АН СССР, ОТН, № 4, 131, 1956.
Н. С. Курнаков, Введение в физико-химический анализ, изд. 4, АН СССР, 1940.
М. Хансен, Структуры бинарных сплавов, 1, Металлургиздат, 1940.
И. И. Новиков, Технология цветных металлов, Сборник трудов Минцветметзолото и ВНИТОМ, № 23, 16, Металлургиздат, 1952.
H. Bückle, Metallforschung, № 1, 437, 1946.
С. А. Погодин, Л. М. Кефели, и Е. С. Беркович, Изв. СОХА, XVII, 868, 1949.
L. Mondolfo, Metallography of aluminium alloys, London, 1943.
Д. А. Петров, Тройные системы, АН СССР, М., 1953.
И. И. Новиков, Научные работы студентов горно-металлургических институтов Москвы, 113, М., 1949.
А. А. Бочвар и И. И. Новиков, Технология цветных металлов, Сборник трудов Минцветметзолото и ВНИТОМ, № 23, 5, Металлургиздат, 1952.

APPLICABILITY OF THE METHOD OF MICROHARDNESS TESTING TO INVESTIGATION OF BINARY AND TERNARY EQUILIBRIUM DIAGRAMS OF METALLIC SYSTEMS

V. M. Glasov, V. N. Vigdorovitch and G. A. Korol'kov (Moscow)

Summary

In this work the problem of the applicability of the method of microhardness, testing investigating phase changes in metallic alloys in solid state as well as when converging from the solid into liquid state, is considered.

A physical-chemical foundation of the possibility of using this method for the purposes mentioned above is given, when there is no structural equilibrium in alloys of two-phase field of diagram.

Based on the analyses of experimental data actual diagrams of consistence-microhardness or the crystals of solid solution are offered, the mentioned structural non-equilibrium being taken into consideration.

МЕТОДЫ И ТЕХНИКА ФИЗИКО-ХИМИЧЕСКОГО ИССЛЕДОВАНИЯ

ИНТЕГРИРУЮЩИЕ УСТРОЙСТВА ДЛЯ ДОЗИРОВКИ ЛУЧИСТОЙ ЭНЕРГИИ

К. В. Чмутов, В. А. Прохоров и Н. Г. Алексеев

Для введения в реагирующую систему определенного количества лучистой энергии в области видимого спектра, инфракрасной его части или рентгеновского излучения обычно пользуются каким-либо стандартным источником и дозировку производят по времени.

Во многих случаях, например при проведении фотохимических процессов, исследования свойств фотоматериалов, в радиационной химии, рентгенодиагностике и т. п., удобнее использовать приборы, позволяющие автоматически ограничивать дозу энергии, получаемую от источника.

Датчиками в подобных интегрирующих устройствах могут служить вакуумные и вентильные фотоэлементы [1,2] фотосопротивления, счетчики ионизирующих излучений и другие приборы, меняющие свои электрические свойства под действием радиации.

В настоящей статье описана схема прибора для дозировки светового излучения с фотосопротивлением как наиболее простая и компактная (рис. 1).

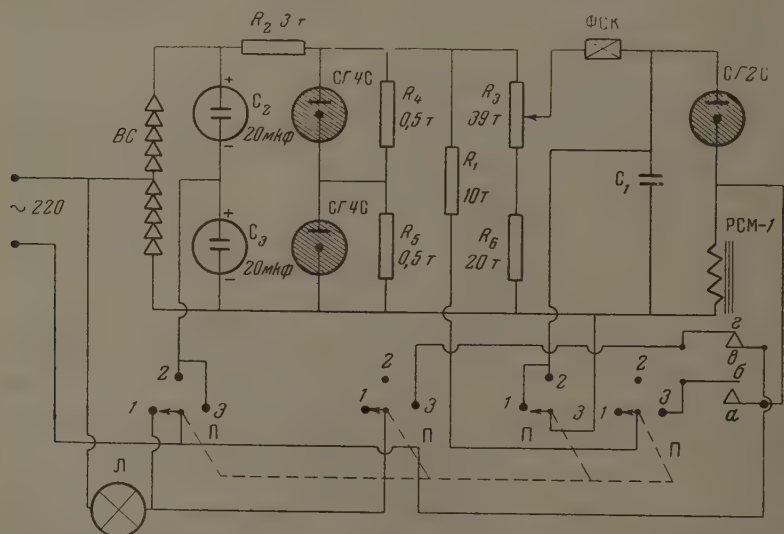


Рис. 1. Схема интегрирующего устройства. BC — выпрямительный селеновый столбик; SG4C и SG2C — стабиловольты; C₁ — конденсатор, C₂, C₃ — электролитические конденсаторы; ФСК-1 — фотосопротивление; РСМ-1 — реле; П — переключатель; R₃ — потенциометр; R₁, R₂, R₄, R₅, R₆ — сопротивления

Напряжение сети 220 В выпрямляется селеновым столбиком BC, включенным по схеме удвоения напряжения, и стабилизируется при помощи двух стабиловольтов SG4C. Включение источника света Л или механизма затвора осуществляется посредством переключателя П (счетверенный переключатель) в положение 3. Одновременно

им замыкается цепь зарядки конденсатора C_1 выпрямленным напряжением через сопротивление $ФСК-1$.

Проводимость фотосопротивления, а следовательно, и скорость зарядки конденсатора C_1 зависят от силы света. Когда напряжение на конденсаторе достигнет потенциала зажигания стабилитрона $СТ2С(105\text{ В})$, конденсатор разрядится через него.

При этом через обмотку реле $РСМ-1$ пройдет ток и реле притянет якорь. Контакты реле $a-b$ замкнутся цепь блокировки и реле будет удерживать якорь, получая питание через сопротивление R_1 . Kontakтами реле $c-d$ будет включена цепь источника тока.

При переключении $И$ в положение 2 обрывается цепь блокировки реле и оно устает якорь. Источник света при этом не будет включен, так как цепь будет разорвана контактами переключателя. При переключении $И$ в положение 1 источник будет включен, а схема реле отсоединена от сети.

Последнее удобно в том случае, если устройство используется, например, для экспонирования.

Подбор чувствительности схемы применительно к плотности исследуемой среды и типу фотоматериала производится изменением зарядного напряжения при помощи потенциометра R_2 в пределах от 110 до 300 В. Время экспозиции при этом же потоке лучистой энергии изменяется в 5—6 раз. Если этот диапазон изменения недостаточен, можно увеличить, изменяя емкость конденсатора C_1 ; экспозиция уменьшается уменьшением емкости. Для увеличения чувствительности и сокращения экспозиции можно применить несколько параллельно соединенных фотосопротивлений, при условии, что их темновые токи малы. Конденсатор C_1 должен быть хорошего качества, бумажной изоляцией.

Схема будет работать при замене фотосопротивления $ФСК-1$ на сопротивление $ГМ$ чувствительное к рентгеновским лучам, или на таллофидное сопротивление, для исследования ведется в инфракрасной части спектра.

Для интегрирования потока энергии в течение длительного времени, в схему без контактов реле $c-d$ включается электромеханический счетчик, а контакты $a-b$ замыкаются от цепи блокировки и подключаются к конденсатору C_1 для полной его зарядки после срабатывания реле. В этом случае электромеханический счетчик будет отсчитывать порции получаемой энергии произвольно длительное время.

Академия наук СССР
Институт физической химии
Москва

Поступила
22.III.1957

ЛИТЕРАТУРА

Д. Маркус и В. Цолюф, Технические применения электронноламповых схем. ИИЛ, 1954.
С. В. Свечников, Журн. техн. физики, 23, 1953.

AN INTEGRATING DEVICE FOR DOSING RADIATION ENERGY

K. V. Chmutov, V. A. Prokhorov and N. G. Alekseev (Moscow)

Summary

An integrating device has been described for dosing radiant (light, infrared and γ -quantum) energy. Current passing through a photoresistance under the action of light charges a condenser. When the voltage reaches the ignition potential of a voltage stabilizer the condenser discharges and the discharging current through a relay turns on the radiation source. The sensitivity of the device is regulated with the aid of a potentiometer and by varying the capacity of the condenser. The device may be used for dosing radiation over long time periods.

ДИСКУССИЯ

О СТАТЬЕ А. В. СТОРОНКИНА «КРИТИКА НЕКОТОРЫХ ПРИНЦИПОВ И ПОНЯТИЙ ФИЗИКО-ХИМИЧЕСКОГО АНАЛИЗА» [1]

В. Я. Аносов

В статье [1] А. В. Сторонкин дает критику основных принципов и понятий физико-химического анализа, а именно: принципов непрерывности и соответствия понятия о сингулярной точке, а также о фазе. Вся критика его основана на новом вводимом им понятии фазы, и если отбросить это понятие, то падет и вся его критика.

О ФАЗАХ

Прежде всего в своей работе А. В. Сторонкин останавливается на уточнении понятия фазы, так как, по его мнению, это понятие в настоящее время употребляется не вполне правильно. Он возражает против установившегося в последнее время отождествления понятий раствора и фазы переменного состава. Для правильного, с его точки зрения, определения термина фазы, он вводит понятия частного и общего уравнения фазы. Под частным уравнением фазы подразумевается уравнение, дающее зависимость между термодинамическими свойствами и параметрами состояния фазы при условии ее сосуществования с какой-либо другой фазой. Под общим уравнением фазы подразумевается уравнение, дающее зависимость между термодинамическими свойствами и параметрами состояния фазы как при условиях, при которых данная фаза сосуществует с другими фазами, так и при условиях, когда из данной фазы не могут образоваться другие фазы*. Из общего уравнения фазы могут быть получены частные уравнения: последние выводятся из системы уравнений, в состав которой входят общее уравнение фазы и уравнений, выражающих условия ее сосуществования с другими фазами. Исходя из этих определений, после некоторых рассуждений дается следующее определение понятия фазы:

а) «фазой при условиях, отличных от условий ее сосуществования с другими фазами, называется индивидуальное вещество или раствор, термодинамические свойства которого описываются одним общим уравнением фазы;

б) фазой при условии ее сосуществования с одной или несколькими фазами называется индивидуальное вещество или раствор, термодинамические свойства которого описываются одним частным уравнением фазы».

Далее он приводит еще одно определение, которое мы также приводим дословно: «Фазой, сосуществующей с одной или несколькими фазами, называется совокупность телесных комплексов, имеющих одинаковый химический состав и описываемых одним и тем же частным уравнением фазы».

Как видно из этих определений, они не просто являются новыми определениями, но А. В. Сторонкин термином «фаза» обозначает новое понятие, не совпадающее с тем понятием фазы, которым оперируем мы.

Полагаем, что А. В. Сторонкин считает необходимым, чтобы понятия вводились не произвольно, а выводились из существа дела. Не будем оспаривать это положение, но в дополнение к нему выдвинем другое: определение понятий в данной отрасли знаний должны образовывать стройную логическую систему. Вот как раз этому требованию определения, данные А. В. Сторонкиным, понятиям фазы и уравнениям фазы ни в коей мере не удовлетворяют. В самом деле, уравнение фазы определяется через фазу, а фаза через уравнение фазы. Таким образом система определений, предложенная А. В. Сторонкиным, образует то, что в логике известно под именем порочного круга, а потому ничего не определяет**.

Не надо думать, что этот ложный круг может быть устранен заменой термина «уравнение фазы» каким-либо другим словесным сочетанием; дело обстоит здесь значительно

* Мы здесь даем определение частного и общего уравнения фазы почти дословно, стараясь быть возможно ближе к определениям, данным А. В. Сторонкиным.

** Что бы мы сказали, если бы, например, в учебнике аналитической геометрии нашли такое определение эллипса: эллипс — кривая, определяемая уравнением эллипса. Причем это уравнение даже не было приведено.

Я здесь говорю о понятиях, а не о терминах: замена термина «уравнение фазы» другим вряд ли поможет.

те. Всякий, кто читал более или менее внимательно курс термостатики Ван-дер-Ля и Константа [2], не мог не заметить, как авторы постепенно подходят к понятию фазы, к которому они возвращаются несколько раз, и к понятию уравнения. Это зависит от того, что авторы хотели ввести в определение понятие «фазы» — понятие «уравнение фазы», а определить последнее понятие без первого невозможно. Видимо, определяя понятие фазы с помощью указания фазы, А. В. Сторонкин был в виду легкость обобщения понятия фазы, которое приводит к понятию фазы переменного состава. Действительно, исходя из определения А. В. Сторонкина, это дается очень легко. Но посмотрим, к какому выводу приводит это определение.

Итак, фазой переменного состава, по А. В. Сторонкину, называется раствор, термодинамические свойства которого описываются одним уравнением фазы (общим или частным в зависимости от обстоятельств). Еще Вегштейн указал на то, что, перемножив уравнения фаз*, мы получаем уравнение, описывающее обе фазы, т. е. получаем при этом уравнение, описывающее термодинамические свойства обеих фаз. На это указывал Ван-дер-Ваальс и Констант [2], стр. 165), добавляя, что они вполне согласны с Вегштейном в том, что подобные расширения приносят мало пользы. Приносят ли пользы, или нет, это другое дело: но если мы приняли определение фазы переменного состава, данное А. В. Сторонкиным, мы должны неминуемо признать, что указанные две фазы на самом деле лишь одна фаза, так как термодинамические свойства описываются лишь одним уравнением (произведением обоих уравнений фаз). Можно сказать, что при подобном перемножении мы получаем уравнение, представляющее собой некоторое произведение, равное нулю, что означает лишь то, что множители отдельно могут равняться нулю. Это не совсем так: с чисто математической точки зрения такое перемножение уравнений следует рассматривать как образование из двух новых одной, представляющей собой совокупность двух взятых. На такой общей лирике есть особенность, которых не было на взятых кривых — это точка пересечения. Мало того, это точка пересечения является узловой точкой. В самом деле, если имеем две кривые, описываемые уравнениями

$$\begin{aligned} f(x, y) &= 0, \\ \varphi(x, y) &= 0; \end{aligned}$$

то их точка пересечения. Перемножением их получаем уравнение общей кривой

$$F(x, y) = f(x, y) \varphi(x, y) = 0$$

и производные этого выражения

$$\begin{aligned} \frac{\partial F}{\partial x} &= \frac{\partial f}{\partial x} \varphi + \frac{\partial \varphi}{\partial x} f \\ \frac{\partial F}{\partial y} &= \frac{\partial f}{\partial y} \varphi + \frac{\partial \varphi}{\partial y} f. \end{aligned}$$

Если подставим в эти выражения вместо x и y соответственно x_0 , y_0 , то увидим, что они обратятся в нули (так как $f(x_0, y_0) = \varphi(x_0, y_0) = 0$), а это является критерием того, что точка (x_0, y_0) является двойной точкой кривой $F(x, y) = 0$; если точка (x_0, y_0) является точкой пересечения кривых $f(x, y) = 0$ и $\varphi(x, y) = 0$, то она не может быть изолированной точкой кривой.

$F(x, y) = 0$, поэтому будет узловой точкой этой кривой**.

Таким образом мы можем прийти к странному выводу о том, что две любые фазы, например две полиморфные модификации, являются лишь одной фазой и, чтобы доказать это, достаточно перемножить их уравнения.

Могут сказать, что произведение двух уравнений, как выражение сложной кривой, разовой из двух первоначальных кривых, применимо в области физико-химического анализа. Но там это не может привести к таким неправильным выводам, так как и этом руководствуются столь мощным сдерживающим критерием, каким является принцип соответствия.

Итак, приходится прийти к следующему выводу: определение понятия фазы и уравнения фазы, данное А. В. Сторонкиным, заключают в себе порочный круг и в применении к понятию фазы переменного состава может привести к явно неправильным выводам.

* При таком перемножении надо, чтобы оба уравнения были взяты в нецелой форме.

** Если кривые $f(x, y) = 0$ и $\varphi(x, y) = 0$ имеют в точке (x_0, y_0) общую касательную, эта точка будет или точкой возврата (если эти кривые не продолжают за нее, но тогда она должна быть точкой прекращения на этих кривых) или точкой самоприкосновения.

Определения понятия фазы переменного состава, данные в «Сборнике термины физико-химического анализа» [3] (термин № 3): фаза переменного состава — непрерывно меняющая свой состав при непрерывном изменении параметров системы, тоже надо признать неудовлетворительным. Более удовлетворительно, с нашей точки зрения, следующее определение: фаза переменного состава — совокупность всех возможных быть образованными из данной фазы путем прибавления к ней одного или нескольких компонентов данной системы при постоянной температуре и давлении, если же при этом не происходит распада фазы. Если же температура или давление при этом не оставались постоянными, то после приведения к начальным условиям полученная фаза должна быть смешиваема с исходной. Мы не утверждаем, что это совершенное определение, но, кажется, в настоящее время мы не имеем ничего лучшего. А для фазы в обычном смысле этого слова приходится вернуться к тому же сборнику (термин № 2): фаза — совокупность однородных частей термодинамической системы, одинаковых по всем термодинамическим** свойствам, не зависящим от массы вся термодинамическая система, если она однородна).

О ПРИНЦИПЕ НЕПРЕРЫВНОСТИ

Принцип непрерывности был сформулирован Н. С. Курнаковым ([5] стр. 41 и во многих других местах книги). Но, как вполне правильно заметил А. В. Раскин ([6], стр. 361), он обычно молчаливо применяется вообще при физико-химических исследованиях. Как указывает Н. С. Курнаков ([5], стр. 24, 23), многие исследователи руководствовались идеей непрерывности, а Д. П. Ковалов уже говорил о законе непрерывности. Однако лишь Н. С. Курнаков сформулировал его в четкой форме. В настоящее время этот принцип следует формулировать так: при непрерывном изменении параметров, определяющих состояние системы, свойства отдельных фаз изменяются непрерывно.

А. В. Сторонкин указывает на то, что утверждение об отсутствии исключений этого принципа приводится бездоказательно. По этому поводу считаем нужным указать, что нам неизвестно ни одно исключение из этого принципа, если только он применяется правильно. Возражения А. В. Сторонкина сводятся к двум пунктам (стр. 210):

1) физико-химический принцип непрерывности нельзя рассматривать как следствие геометрического принципа непрерывности;

2) распространение принципа непрерывности на особые точки диаграмм «состав-свойство», отвечающие неидеосопирующим определенным соединениям, является незаконным. Вывод о том, что указанные особые точки принадлежат двум ветвям одной той же кривой, является неправильным и противоречит физико-химическому смыслу.

Первый пункт, с нашей точки зрения, совершенно тривиален, но это не меняет положения: то, что физико-химический принцип непрерывности не является следствием какого бы то ни было геометрического принципа, еще не делает первый ошибочным.

Со вторым же пунктом мы никак не можем согласиться. В самом деле, А. В. Сторонкин приводит такой пример: пусть вещества A и B образуют неидеосопируемые в данных условиях соединения AB ; тогда растворы $A+AB$ и $AB+B$ имеют качественно различные химические составы, хотя все эти растворы могут быть получены смешением веществ A и B . Все это, конечно, правильно; но это, как мы сейчас покажем, не противоречит принципу непрерывности. Однако сначала выясним самое понятие непрерывности. Под непрерывной функцией понимаем такую функцию, которая принимает бесконечно малое приращение, когда независимая переменная принимает бесконечно малое приращение. При применении этого понятия к явлениям природы следствием «бесконечно малое» заменить термином «очень малое», чтобы не впасть в противоречие с атомно-молекулярной теорией. Мы, работавшие в области физико-химического анализа, понимаем непрерывность только в указанном выше смысле. Представим себе два сосуда, каждый из которых вмещает по 1 m вещества AB , но в первом сосуде, кроме того, имеется 1 mg вещества A , а во втором 1 mg вещества B . Перемешивая содержимое первого сосуда к содержимому второго можно путем прибавления к первому очень небольшого количества вещества B ; но при этом все свойства нашего раствора*** изменяются тоже на очень малую величину. Таким образом, мы, так сказать, проходим через химическое соединение AB , не нарушая непрерывности. Правильно производные величины свойства по концентрации претерпевают при этом разрыв, но этот разрыв и есть признак особых в математическом смысле точек (кратных и угловых). Таким образом критика принципа непрерывности А. В. Сторонкиным не достигла цели. Если же он под непрерывностью понимает что-либо отличное от указанного нами, то мы должны сказать, что он критикует неправильно приписанные нам воззрения.

* См. еще сборник терминологии термодинамики [4], термин № 12.

** Мы позволили себе прибавить слово «термодинамическим», которое в указанных сборниках отсутствует, что является серьезным недосмотром.

*** В том числе и его молекулярное строение.

О ПРИНЦИПЕ СООТВЕТСТВИЯ

Принцип соответствия в настоящее время формулируется в общем виде следующим образом ([7], стр. 517): каждому комплексу фаз, находящихся в данной системе в равновесии, соответствует на диаграмме определенный геометрический образ. С такой формулировкой принципа соответствия А. В. Сторонкин согласен, но он не согласен некоторыми выводами из частной формулировки этого принципа при его применении к диаграмме плавкости ([7], стр. 349); эта формулировка сводится к тому, «число кривых», из которых состоит ликвидус диаграммы состояния, равно числу степеней свободы фаз, кристаллизующихся из жидкости, т. е. на диаграмме состояния каждой двойной фазе отвечает своя кривая температур начала кристаллизации. А. В. Сторонкин правильно указывает, что истолкование частной формулировки принципа соответствия зависит от смысла понятия фазы. Если фазу понимать в смысле А. В. Сторонкина, т. е. в системе $A-B$, в которой образуется недиссоциированное химическое соединение AB , растворы от компонента A до соединения AB и от этого соединения компонента B считать разными фазами, то принцип в такой формулировке и неправилен. Но мы, как это было показано ранее, не можем согласиться с таким пониманием фазы переменного состава. Отсюда следует, что мы не можем согласиться и с утверждением А. В. Сторонкина о неправомерности частной формулировки принципа соответствия. Мы считаем и продолжаем считать, что растворы вещества AB в веществах A и B одной и той же фазой, и следовательно, согласно принципу соответствия, совокупность точек на диаграмме, отвечающих началу кристаллизации AB , должны называть две части одной и той же кривой. Так как в настоящее время сингулярной точкой в физико-химическом анализе называется точка, которая является особой с геометрической точки зрения* и, кроме того, удовлетворяющей требованию, что состав, отвечающий этой точке не изменится при изменении факторов равновесия (если, конечно, не переходить границу, за которой начинается диссоциация соединения), то принадлежность AB соответствует сингулярная точка. Будет ли она с точки зрения геометрии узлов или угловой точкой не так важно.

Однако указанная выше формулировка частного принципа соответствия действительно неправомерна, что следует из рассмотрения диаграммы состояния двойной системы с рассматриваемой жидкостью. Поэтому ее следует заменить следующей: каждому комплексу из жидких и твердых фаз, находящихся в равновесии, отвечает на диаграмме особая кривая ликвидуса.

О ТОЛКОВАНИИ ОСОБЫХ ТОЧЕК И ЗАКЛЮЧЕНИЕ

А. В. Сторонкин указывает на то, что существуют два толкования «особых», как называется, или «сингулярных», как сказали бы мы, точек. Одно из этих толкований принадлежит Д. И. Менделееву, а другое — Н. С. Курнакову и С. Ф. Жемчужному. Мы приводим данное еще давно двумя последними авторами определение сингулярных точек, согласно которому сингулярная точка есть особая в геометрическом смысле точка на химической диаграмме. В настоящее время мы определим сингулярную точку несколько иначе. В сборнике «Терминология физико-химического анализа» [8], термин № 98) читаем: сингулярная точка — точка на физико-химической диаграмме, соответствующая отношению количеств компонентов в образующемся в системе недиссоциированном химическом соединении**. В книге В. Я. Аносова и С. А. Погодина ([7], стр. 88) дано следующее определение: сингулярные или дальтоновские точки — точки физико-химической диаграммы, особые в том смысле, как это понимается в дифференциальной геометрии, и, кроме того, обладающие тем свойством, что при изменении условий равновесия отвечающий им состав не изменяется.

В настоящее время мы считаем наиболее совершенным определение, данное в сборнике [3], так как из него может быть выведено то определение, которое дано в книге В. Я. Аносова и С. А. Погодина. Мы находим, что определение, данное Н. С. Курнаковым и С. Ф. Жемчужным, несколько односторонне, так как оно подчеркивает лишь геометрическую сущность этих точек. Но оно отнюдь не может считаться неправильным, как утверждает А. В. Сторонкин. Оно было бы неправильным, если бы фазу переменного состава мы понимали в том смысле, в каком понимает А. В. Сторонкин***. Как было показано выше, нам кажутся неубедительными его соображения по это-

* Отметим, кстати, что то, что мы называем сингулярными точками, А. В. Сторонкин называет особыми точками, а термин «сингулярный» он оставляет для соответствующих точек, изучаемых в дифференциальной геометрии. Должны указать, что в этих точках в русской математической литературе термин «сингулярный» никогда не применяется.

** Определение, приведенное здесь, слегка изменено по сравнению с оригиналом.

*** Тут надо оговориться, что по существу определения фазы А. В. Сторонкин оно не было, так как нельзя считать за определение выражение, содержащее порочный круг.

му поводу и поэтому мы не можем в этом вопросе стоять на его позиции. Кстати сказать, сам А. В. Сторонкин считает сингулярные точки точками прекращения, т. е. те особыми (в геометрическом смысле слова) точками.

Совершенно не понятно, о каком скачке говорит А. В. Сторонкин. Мы уже показали, что при переходе через состав, отвечающий составу недиссоциированного соединения свойство данной системы не претерпевает разрыва. Такой разрыв претерпевает производная свойства по концентрации. Это признает и Д. И. Менделеев, который как раз разрыв производных искал свои «особые» точки, и мы полагаем, что определение сингулярной точки, приведенное в указанном выше сборнике [3], во всяком случае очень близко к определению, данному Д. И. Менделеевым. Заметим еще, что раз производной соответствует особой точке на кривой первообразной функции и, наоборот, особые точки Д. И. Менделеева тождественны сингулярным точкам Н. С. Курнакова и противопоставление их друг другу А. В. Сторонкиным непонятно.

Далее мы хотим указать еще на одну сторону этого дела. Абсолютно недиссоциированных соединений нет, а значит, понятие сингулярной точки — понятие предельное в том же смысле, в каком предельным понятием является, например, идеальный газ. То, что понятие «сингулярная точка» является предельным понятием, не уменьшает его ценности, так же как не уменьшается по той же причине ценность понятия идеального газа.

Относительно рассуждения А. В. Сторонкина о системах с диссоциацией образующего соединения можно сделать следующее замечание: как нам кажется, даже с собственной точки зрения, все растворы, могущие быть образованными компонентами данной системы, следует считать за одну фазу переменного состава, так как во всех этих растворах имеются и оба компонента и соединение.

Кроме того, закон действующих масс, выраженный если не концентрациями (активностями), то активностями, дает зависимость между концентрациями (активностями) этих веществ. Если даже и имеются отдельные уравнения для зависимости между концентрациями (активностями) и каким-либо термодинамическим свойством, то с помощью закона действующих масс их можно совершенно естественно соединить в одно уравнение.

Замечание А. В. Сторонкина о необходимости уточнения некоторых терминов и определений физико-химического анализа является правильным.

Комиссией, организованной Институтом общей и неорганической химии и Комитетом технической терминологии Академии наук СССР, была проделана работа в этой области и часть полученного материала была опубликована [3]. Однако теперь ясно, что некоторые определения следует пересмотреть и довести до конца работу комиссии над всем материалом, что предполагается начать в 1957 г.

Считаем еще нужным указать, что хотя мы и не разделяем воззрения А. В. Сторонкина, что растворы от A до AB и от AB до B в системе $A-B$ с образованием недиссоциированного соединения AB представляют собой различные фазы, но для некоторых целей эти растворы следует отличать друг от друга. В этом мы видим рациональное зерно работы А. В. Сторонкина.

ВЫВОДЫ

1. Предложенное А. В. Сторонкиным определение фазы содержит порочный круг, так как оно определяется с помощью уравнения фазы, а последняя определяется первой.

Вследствие этого утверждение Сторонкиным о неправильности отождествления понятий фазы переменного состава и раствора — не обосновано.

2. Утверждение А. В. Сторонкина о неправильности распространения принципа непрерывности на особые точки физико-химических диаграмм является несостоятельным с точки зрения математического определения непрерывной функции.

3. Толкование Н. С. Курнаковым сингулярных точек диаграмм состав — свойства как точек, принадлежащих двум ветвям одной и той же кривой, является вполне правильным согласно принципу соответствия и общепринятому определению понятий фазы.

Сингулярные точки тождественны особым точкам Д. И. Менделеева, поэтому понятие противопоставление А. В. Сторонкиным взглядов Д. И. Менделеева и Н. С. Курнакова по этому вопросу.

4. Утверждение А. В. Сторонкина о неприменимости частного принципа соответствия в случае образования недиссоциированных соединений является неправильным. Вместе с тем следует признать, что общепринятая формулировка частного принципа соответствия, гласящая, что «каждой твердой фазе отвечает одна кривая ликвидуса», является неточной. Этот принцип следует формулировать так: «каждому комплексу из жидких и твердых фаз, находящихся в равновесии, отвечает на диаграмме одна кривая ликвидуса».

5. Необходимо возобновить работу по уточнению терминов и понятий физико-химического анализа.

ЛИТЕРАТУРА

- В. Сторонкин, Журн. физ. химии, 30, 206, 1956.
 Д. ВандерВаальс и Ф. Констам, Курс термостатики, часть 1. Перевод под ред. А. В. Раковского, ОНТИ, М., 1936.
 Терминология физико-химического анализа, часть 1, АН СССР, Комитет технической терминологии. Сборники рекомендуемых терминов, Изд-во АН СССР, М., 1951.
 Терминология термодинамики. АН СССР. Комитет технический терминологии. Сборники рекомендуемых терминов, Изд-во АН СССР, М., 1952.
 С. Курнаков, Введение в физико-химический анализ. Издание четвертое, Изд-во АН СССР, М.—Л., 1940.
 В. Раковский, Введение в физическую химию, ОНТИ, М., 1938.
 Я. Аносов, и С. А. Погонин, Основные начала физико-химического анализа, Изд-во АН СССР, М.—Л., 1947.
-

ПИСЬМА В РЕДАКЦИЮ

ОТВЕТ НА ПИСЬМО В. М. НОВАКОВСКОГО

Н. П. Жук

В. М. Новаковский положил в основу поднятой им дискуссии [1] материал неопубликованных коротких выступлений по докладам на Совещании по коррозии и защите металлов. Между тем из стенограммы утреннего заседания Совещания от 24 июня 1954 г. следует, что утверждение В. М. Новаковского о том, что «... выступая на Всесоюзном совещании по коррозии, Н. П. Жук согласился с тем, что для коррозионных процессов, сопровождаемых выделением водородных пузырьков, равновесный потенциал водородного электрода следует определять, считая давление водорода равным суммарному внешнему давлению» ([1], стр. 691), не соответствует действительности. Поэтому вводящая часть письма В. М. Новаковского, связанная с обсуждением утверждений, которые в каком-то сочетании «...вносят в вопрос недопустимую путаницу....» ([1], стр. 691), представляет дискуссию с самим собою.

Теория электрохимической коррозии металлов [2–5] формулирует основное условие возможности коррозии металлов в электролитах с водородной деполяризацией следующим образом:

$$V_a < V_H, \quad (1)$$

где V_a — начальный потенциал анодного процесса, т. е. обратимый потенциал анодной составляющей в данных условиях; V_H — обратимый потенциал водородного электрода в данных условиях, т. е. при данной активности (или, что менее строго, концентрации) водородных ионов, давлении водорода, температуре и т. д. ([4], стр. 193). Теорией сформулировано и условие прохождения данного процесса с определенной скоростью ([4], стр. 195)

$$V_a < V_H + \eta_{i_k} + \Delta\eta, \quad (2)$$

где η_{i_k} — перенапряжение при плотности тока на катодных участках i_k ; $\Delta\eta$ — поправка к перенапряжению на реальные условия.

Таким образом в обоих приведенных уравнениях фигурирует один и тот же обратимый потенциал водородного электрода в данных условиях, т. е. при данной активности водородных ионов, давлении водорода, температуре и т. д. В [6] я обратил внимание на то, что при определении значения обратимого потенциала водородного электрода в обычных коррозионных средах допускается существенная неточность (в отличие от обратимого потенциала кислородного электрода, при расчете значения которого аналогичную неточность допускают не все авторы). Вопреки приведенным выше уравнениям (1) и (2) и самому смыслу термодинамического уравнения Пернста для обратимого потенциала водородного электрода, при расчете последнего в электролитах, соприкасающихся с атмосферным воздухом, учитывается не реальное парциальное давление водорода в воздухе (если нет основания предполагать повышенное содержание водорода в атмосфере, следует воспользоваться данными по содержанию водорода в земной атмосфере — $5 \cdot 10^{-5}$ объемных % [7,8]), а произвольно принимается $P_{H_2} = 1 \text{ атм.}$ Ошибка в значении обратимого потенциала водородного электрода вследствие этой неточности в расчетах составляет 0,186 В, т. е. весьма существенна.

В [6] и в высказывании на Совещании я указал и на практическое значение подобного рода расчетов: термодинамическое определение возможности протекания коррозионного процесса с данной деполяризацией и определение значения его катодной поляризации, так как

$$\Delta V_K = V_K - V_H, \quad (3)$$

где ΔV_K — катодная поляризация коррозионного процесса; V_K — эффективный потенциал катодного процесса. Конкретным выводом из [6] явилось доказательство значительной большей возможности коррозии металлов за счет водородной деполяризации, чем это обычно принято полагать.

[6] я не ставил перед собой задачи рассчитать возможность протекания коррозии металлов с водородной деполяризацией с заданной скоростью, хотя само принципиальное условие возможности протекания подобного процесса теоретически сформулировано [уравнение (2)]. Я не ставил также и задачи рассчитать обратимый потенциал одного электрода в электролите, в котором уже идет с определенной скоростью процесс деполяризации металла за счет водородной деполяризации. Таким образом мной решалась о термодинамическая сторона вопроса.

Из приведенного выше следует, что при расчете обратимого потенциала водородного электрода в электролитах, соприкасающихся с атмосферным воздухом, независимо от целей расчета (определение возможности коррозии металлов в этих электролитах с водородной деполяризацией или определение возможности протекания этого процесса в тех же электролитах с заданной скоростью), следует учитывать реальное парциальное давление водорода в атмосфере, так как речь идет об одном и том же электролите, соприкасающемся с одной и той же воздушной атмосферой, и что практически скорости процессов коррозии металлов с водородной деполяризацией никак не зависят от рассчитываемому значению обратимого потенциала водородного электрода. Это и дало мне основание в выступлении на Совещании отвергнуть возражения П. Поваковского, вопреки его утверждению ([1], стр. 691) о моем частичном соизмерении с ним, и указать на то, что вопросы термодинамики он подменяет вопросами кинетики.

Я не могу также согласиться с В. М. Поваковским, отметившим в заключительной части письма ([1], стр. 695) якобы некоторую ошибку в одной из моих работ [9]. Упомянутый В. М. Поваковским теоретический расчет защитного потенциала стали при анодной защите от почвенной коррозии относится не к электролиту, свободному от ионов железа, и не к условиям вымывания продуктов коррозии железа, в том числе ионов железа. Расчет справедлив (см. [9]) для почвы, являющейся непроницаемой, относительно стабильным электролитом, в которой труднорастворимый продукт коррозии — гидрат закиси железа — устанавливает в приэлектродном слое постоянное значение $pH=8,3-9,6$, т. е. постоянное значение активности ферро-ионов. Этим катодная поляризация стальной конструкции до соответствующего защитного потенциала отвечает созданию условий, при которых дальнейшее выделение свободной энергии в результате протекания коррозионного процесса исключено, т. е. достигается полная защита. Рассчитанные теоретически значения защитного потенциала стали, как я уже указывал [9], находятся в хорошем соответствии с опубликованными многими авторами опытными данными. Это подтверждается также практикой, вопреки предположениям В. М. Поваковского, часто наблюдаются случаи, очень близкие к тем, для которых рассчитано теоретическое значение защитного потенциала стали. Кстати, понятие равновесного потенциала, вопреки высказанию В. М. Поваковского ([1], стр. 693), никогда не теряет реальный физический смысл ([10], стр. 12—13).

Основная часть письма В. М. Поваковского посвящена его собственному исследованию вопроса о равновесном и стационарном потенциале водородного катода в смеси с неводородной атмосферой. Я рассматривал и рассчитывал систему до появления металла в электролите для решения вопроса о возможности протекания коррозионного процесса за счет водородной деполяризации и правильной оценки величины анодной поляризации реально протекающего процесса [6]; В. М. Поваковский рассматривает и рассчитывает систему во время протекания коррозионного процесса с весьма значительной скоростью [1]. Нетрудно заметить, что это вопросы различного характера, поэтому публикация этого материала В. М. Поваковского в разделе «Дискуссия», а также, посвященном критике моих работ, не вполне оправдана.

Московский институт стали
им. И. В. Сталина

Поступила
8.VIII.1956

ЛИТЕРАТУРА

- В. М. Новаковский, Журн. физ. химии, 30, 691, 1956.
- С. В. Акимов, Труды второй конференции по коррозии металлов, т. 1, Изд-во АН СССР, 1940.
- С. В. Акимов, Теории и методы исследования коррозии металлов, Изд-во АН СССР, 1945.
- С. В. Акимов, Основы учения о коррозии и защите металлов, Металлургиздат, 1946.
- И. Д. Томилов, Коррозия металлов с кислородной деполяризацией, Изд-во АН СССР, 1947.
- Н. П. Жук, Журн. физ. химии, 28, 188, 1954.
- В. И. Перельман, Краткий справочник химика, Госхимиздат, 1948.
- А. Х. Хргиан, Физика атмосферы, ГИТТЛ, 1953.
- Н. П. Жук, Журн. физ. химии, 28, 1869, 1954.
- А. Н. Фрумкин, Труды второй конференции по коррозии металлов, т. 1, Изд-во АН СССР, 1940.

ХРОНИКА

II ВСЕСОЮЗНАЯ КОНФЕРЕНЦИЯ ПО ФОТОСИНТЕЗУ

С 21 по 26 января 1956 года в Москве проходила II Всесоюзная конференция по фотосинтезу.

129 докладов, представленных на конференцию, заслушивались и обсуждались на девяти секциях: фотохимии, хлоропластов, физиологии фотосинтеза, состояния пигментов, фотосинтеза водных растений и микроорганизмов, продуктов фотосинтеза, секции свето-культуры и методов исследования. Мы остановимся только на наиболее интересных с точки зрения физической химии проблемах: фотохимии, химизма фотосинтеза и исследованиях с применением меченых атомов.

Основные вопросы, связанные с фотохимией фотосинтетических пигментов, были рассмотрены в докладе акад. А. Н. Теренина. В первой части доклада был сделан подробный анализ различных путей первичного превращения энергии кванта красного света, поглощенного молекулой хлорофилла.

Докладчик подробно остановился на вопросе о времени «жизни» активированной молекулы хлорофилла, так как именно продолжительность существования возбужденной молекулы обуславливает возможность дальнейшего использования ее энергии. Было установлено, что время жизни хлорофилла мало зависит от растворителя, резко сокращается при наличии связи хлорофилла с белком и в живых листьях и значительно увеличивается при понижении температуры до -180°C . Признаком метастабильного состояния молекулы является флуоресценция, которую удалось наблюдать у хлорофилла В. С целью сравнения реакционной способности возбужденного и метастабильного состояния молекулы проводились опыты по тушению флуоресценции и флуоресценции хлорофилла аскорбиновой кислотой и фенилгидразином, вызывающих обратимое фотовосстановление. Иным способом выявления времени жизни и реакционной способности метастабильной молекулы хлорофилла являются эксперименты мощным импульсным освещением, проведенные в лаборатории А. Н. Теренина. Как было сообщено в докладе А. Н. Теренина, А. В. Карякина и Е. Б. Любомудрова, в результате перехода значительной части молекул в метастабильное состояние (под действием вспышки света) происходит ослабление или исчезновение нормальной красной полосы поглощения пигмента. Продолжительность существования обесцвеченной формы фталоцианинов Mg и Zn равнялась $0,8 \cdot 10^{-3}$ — 10^{-3} сек. при комнатной температуре и $4 \cdot 10^{-3}$ — $7 \cdot 10^{-3}$ сек. при температуре жидкого воздуха. Выцветания не наблюдались в присутствии кислорода и для фталоцианинов Cu, Fe, и Co. По времени пребывания молекул в метастабильном состоянии можно судить о их реакционной способности в этом состоянии. Заключительный раздел доклада А. Н. Теренина был посвящен вопросам миграции энергии и электрона в пигментах, находящихся в конденсированном состоянии. Докладчиком приводились эксперименты, подтверждающие возможность переноса энергии не между возбужденными, а между триплетными уровнями соседних молекул пигмента (бирадикальный экситон). Возможны два типа реакции: миграция кванта энергии по бирадикальным уровням и миграция электронной дырки по нижним уровням. Миграция энергии внутри коллоидной частицы хлорофилла экспериментально подтверждается работами лаборатории докладчика на примере сенсibilизации пигментами процесса возбуждения электронов в полупроводниках. Докладчик, что рассматриваемый процесс состоит в переносе кванта энергии от молекулы хлорофилла к электронам полупроводника. Докладчик связывает полученные результаты с гипотезой фотосинтетической «единицы» как агрегата молекул пигмента, связанного в единое целое миграцией кванта энергии. К этому предположению докладчик добавляет предположения о миграции энергии по метастабильным уровням, а также о миграции электронной дырки.

В докладе А. А. Красновского освещается вопрос о фотобиохимическом пути участия пигментов в реакциях фотосинтеза. Докладчик подробно останавливается на роли хлорофилла в системе окислительно-восстановительных реакций фотосинтеза, при которых транспортируется электрон (протон) от воды к углекислоте (против темновое равновесия) от более низкого к более высокому термодинамическому уровню. А. А. Красновский обосновывает непосредственное участие хлорофилла в фотохимических превращениях, идущих с «запасанием» энергии света в продуктах реакции. В основе этих реакций лежит обратимое фотохимическое восстановление пигментов, к которому

е самого хлорофилла, способны пигменты со структурой порфина, хлорина, баптохлорина и азопорфина. Докладчик указал, что вслед за поглощением кванта происходит следующее чередование элементарных процессов фотовосстановления хлорофилла:

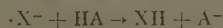
1) переход в триплетное, бирадикальное состояние



2) восприятие электрона от донора с образованием ион-радикалов



3) восприятие протонов с образованием фотовосстановительной формы хлорофилла



Докладчик отметил, что спектроскопией живых фотосинтезирующих организмов в последние годы выявлены изменения спектра поглощения пигментов в живых клетках, связанные с изменениями спектров поглощения фотовосстановленной формы хлорофилла. Реакции фотовосстановления хлорофилла сопряжены, с одной стороны, с системой реакций, ведущих к окислению воды и выделению кислорода (хлорофилл при фотовосстановлении воспринимает от участников этих реакций электрон), а с другой, с системой реакций восстановления углекислоты (восстановленный хлорофилл передает участникам реакции электрон, переходя при этом в исходное состояние). В случае изолированных систем была показана возможность восприятия хлорофиллом протонов от аскорбиновой кислоты, дистенина, железо-порфиринов, полифенолов и т. д. и возможность сенсibilизированной их передачи при освещении на рибофлавин, цинк-нуклеотид и т. д. Образующиеся в результате фотореакций богатые энергией восстановленные соединения (пиридин-нуклеотиды) и фосфорные эфиры (Ф) могут быть использованы в цикле реакций восстановления углекислоты. Переход к вопросу о состоянии пигментов в гранулах хлоропластов докладчик отмечает, подавляющее большинство молекул хлорофилла находится в агрегированном, дисимметрично-фотохимически неактивном состоянии, некоторая часть хлорофилла находится в мономерном, фотохимически активном состоянии. Обе эти формы хлорофилла связаны с белками и липоидами и находятся в подвижном равновесии, зависящем от биологических условий и возраста растений.

А. Тумерманом была исследована длительность возбужденного состояния молекул хлорофилла в спиртовом растворе и листе, измеренная прямым способом на фазофлуориметре. Они оказались практически равными (порядка 10^{-8} сек.). В соответствии с литературными данными о том, что квантовый выход флуоресценции в листе порядка ниже, чем в растворе, докладчик сделал важный вывод о тушении флуоресценции в листе по механизму не второго, а первого рода, осуществляющемуся в течение времени ($1 \cdot 10^{-12}$ — $1 \cdot 10^{-14}$ сек.), значительно более короткое, чем длительность возбужденного состояния молекулы ($1 \cdot 10^{-8}$ сек.). Докладчик отметил, что этот факт является физическим подтверждением существования хлорофилла в листе в двух формах — флуоресцирующей и нефлуоресцирующей. В то же время эти данные говорят в пользу существования фотосинтетической единицы и мигрирующей энергии в ее пределах.

В. Б. Евстигнеев в своем докладе остановился на механизме фотовосстановления хлорофилла. Им было показано спектрофотометрическими и электрометрическими методами исследования, что фотовосстановление хлорофилла и его аналогов в растворах проходит через стадию образования весьма лабильной, реакционноспособной, электродонной восстановленной формы пигмента, обладающего свойствами свободного катона — ионизированного семихлорина. В докладе Г. П. Брин приведены данные, свидетельствующие о том, что аскорбиновая кислота, дистенин, полифенолы, цинк и ряд других соединений в присутствии хлорофилла способны к фотоокислению.

В докладе К. К. Войновской и А. А. Красновского было сообщено, что бактериохлорофилл также способен к обратимому фотохимическому окислению и восстановлению с образованием активных, нестойких, обратимореагирующих фотопродуктов. Спектры поглощения бактериохлорофилла в живых фотосинтезирующих бактериях соответствуют спектрам поглощения агрегированных форм бактериохлорофилла. Факт, что агрегация, адсорбция действительно вызывает красное смещение максимумов поглощения хлорофилла, подтверждается также данными Е. К. Пуцкейко, которая показала, что хлорофилл и его производные, адсорбированные на полупроводниках — германии и оксиде ртути, — вызывают сильную сенсibilизацию фотоэффекта этих полупроводников. Механизмом этой сенсibilизации докладчик считает перенос энергии от пигмента к электронам полупроводника, находящимся в ловушках вблизи поверхности, с последующим высвобождением электронов из этих ловушек. Интересно отметить, что спектр действия эффекта сенсibilизированной фотопроводимости полупроводника совпадает при этом со спектром поглощения хлорофилла в разбавленном растворе, но смещен в красную сторону на 5—10 мμ.

В докладе Н. И. Кобозева, Г. П. Некрасова и Н. М. Подгорного было показано, диамагнитный в кристаллическом состоянии хлорофилл после адсорбции приобретает парамагнитные свойства. Кривая магнитной восприимчивости в зависимости от

концентрации хлорофилла на алюмогеле имела резкий излом при переходе из бимолекулярного в мономолекулярный слой. В докладе Б. Я. Дайна и М. С. Апкинази рассмотрен вопрос о возможности внутрикомплексного транспорта электрона при фотосинтезе. Исследованию были подвергнуты окисленные комплексы железосодержащих производных и аналогов хлорофилла с водой, гидроксильными и другими комплексами. При освещении этих комплексов наблюдается исчезновение полос поглощения, характерных для гидрокоокомплексов и аквакомплексов, и появление полос комплексов восстановленной формы. Докладчики полагают, что при этом происходят следующие процессы: перенос электрона от хлорофильного ядра к центральному атому железа, которое при этом переходит из Fe^{3+} в Fe^{2+} ; перенос электрона от координированных групп (воды, гидроксильных и др. ионов) к липенному электрону ядру хлорофилла. Авторы полагают, что внутрикомплексный механизм активации при участии солей железа хлоропластов может играть роль фактора, обеспечивающего активацию воды уже в первой, фотохимической фазе фотосинтеза. В докладе А. Н. Сидорова «Исследование влияния центрального атома металла на молекулу хлорофилла по инфракрасным спектрам поглощения» приводятся инфракрасные спектры поглощения хлорофилла и феофитинов динка, меди и трехвалентного железа. Анализ этих спектров показывает, что центральный атом металла оказывает существенное влияние на молекулу пигмента, включая и периферические группы атомов. В случае хлорофилла, атом магния, по мнению докладчика, оказывает также влияние на способность молекулы хлорофилла к взаимодействию с молекулой воды. Доклад Г. П. Гуринович, И. Н. Ермоленко, А. Н. Севченко и К. Н. Соловьева был посвящен изучению абсорбционных спектров и люминесценции хлорофилла и металлопроизводных феофитина. Было установлено различное по сравнению с феофитином смещение фиолетового максимума поглощения в длинноволновую и красного — в коротковолновую область. Основываясь на данных по поляризации люминесценции, авторы высчитали углы осцилляторов и показали дипольный характер процессов поглощения и излучения хлорофилла.

Методом поляризации флуоресценции и определения относительного квантового выхода при возбуждении светом разных длин волн (доклад С. В. Конева) было показано, что в фотосинтетическом пигменте красных водорослей фикзоритрине происходит внутримолекулярная миграция энергии. Докладчиком было отмечено, что в фикзоритрине—хромопротеиде, у которого белковый носитель соединен с 10—12 хромоформными группами, осуществляются пути миграции энергии: между хромофорами в пределах хромопротеида и между белковой частью — тирозином и фенилаланином — и хромофором. В докладе Ю. А. Владимирова, посвященном той же проблеме, особое внимание было уделено изучению механизма миграции энергии в белковой системе. Для подтверждения гипотезы о резонансном механизме миграции в модельных опытах, описанных в литературе, были использованы в качестве донаторов энергии вместо ароматических групп белка искусственные присоединенные красители. По данным докладчика в системе краситель — карбогемоглобин миграция энергии происходит по резонансному типу, что приводит к сенсibilизации фотохимического отщепления окиси углерода от гемоглобина красителем.

Г. А. Корсуновским приводятся некоторые модельные эксперименты по окислению воды на поверхности проводника сенсibilизатора. Автору удалось обнаружить радикал гидроксина на спектрах вторичных продуктов его реализации. В докладе Л. М. Воробьевой изложены наблюдения над фотореакциями активной формы хлорофилла в водноглицериновых коллоидных вытяжках из листьев. Было обнаружено наличие быстро выцветающей активной формы хлорофилла наряду с устойчивыми агрегированными формами, и удалось наблюдать обратимое фотовосстановление и фотоокисление хлорофилла в таких «растворах» при естественном состоянии связи. Эти вещества по наблюдениям автора относительно стойки в анаэробных условиях и, вероятно, представляют собой продукты превращения пигментного светочувствительного комплекса. Вопросу о механизме окислительно-восстановительного превращения хлорофилла в процессе фотосинтеза был посвящен доклад В. М. Кутюрина. При фотосинтезе наблюдались лишь весьма незначительный обмен атомов водорода хлорофилла. Результаты исследования указывают, по мнению автора, на отсутствие обратимого дегидрирования хлорофилла в процессе сенсibilизации. В. В. Евстигнеев показал, что при освещении водных суспензий, полученных из листьев, светом поглощаемым только хлорофиллом, их окислительно-восстановительный потенциал резко изменяется в отрицательную сторону, что говорит о быстром образовании электроно-активных восстановленных веществ, о наличии у них лабильного электрона и большой реакционной способности.

Л. П. Белл, применяя метод двухлучевой дифференциальной фотометрии, наблюдал обратимые спектральные изменения в листьях растений, вызываемые светом. Исследование кинетики спектральных изменений указывает, по мнению автора, на наличие двух процессов, различающихся как скоростью, так и характером материальных изменений.

Л. М. Воробьевой спектрофотометрически было показано, что в водноглицериновых коллоидных вытяжках из листьев растений наряду с фотохимически-устойчивой агрегированной формой содержится быстро выцветающая, мономерная, активная форма хлорофилла, заметно преобладающая в вытяжках из этиолированных листьев.

Широкое применение при изучении различных вопросов фотосинтеза нашел метод изотопов. Радиоактивные изотопы использовались для изучения продуктов фотосинтеза и восстановления CO_2 (C^{14}O_2), химизма образования хлорофилла (Т. Н. Година, А. А. Шлык), для изучения интенсивности фотосинтеза в различных условиях, активности фотосинтеза и т. д.

Изучению первичных продуктов фотосинтеза посвящен доклад Е. А. Бойченко, в котором полагает, что такими продуктами являются оксикислоты $(\text{CPOH})_m(\text{COOH})_n$, содержащие фосфор и железо. Н. Г. Доман, применяя изотопный метод, получил новые данные, говорящие в пользу наличия стадии лабильного связывания CO_2 , возможно, шестую очередь образования фосфоглицериновой кислоты.

Вопрос о первых углеводах, образующихся в процессе фотосинтеза, рассматривается в докладе М. В. Туркиной. В растениях, накапливающих в конечном итоге самые простые углеводы, при небольших (5 мин.) экспозициях главная масса C^{14} оказывается в сахарозе. При помещении растений в атмосферу «немеченой» углекислоты (C^{14} заал из сахарозы и накапливался в других углеводах. Это позволяет автору предположить схему образования сахаров. Т. Ф. Андреевой изучался вопрос о синтезе белка фотосинтезирующем листе. Применяя изотоп N^{15} , удалось показать, что уже при ранних экспозициях неорганический азот внедряется в аминокислоты и белки. Не только углеводы, но и продукты фотосинтеза, содержащие азот, передвигаются из хлоропластов в плазму клеток и далее в другие органы растений. А. М. Кузнецов и Г. Н. Саенко было показано, что акцепторами C^{14}O_2 в листе являются низкомолекулярные соединения. Используя различие в растворимостях и на бумажной хроматограмме, удалось обнаружить семь первичных «меченых» продуктов фотосинтеза. А. Чесноков, А. А. Васкакова, Л. С. Белозерова и П. С. Мамушина в своем докладе дали другое объяснение действия света на синтез белка: свет стимулирует синтез углеводов, а их накопление обеспечивает условия для синтеза белка. В опытах однокормкой глюкоза давала более мощную стимуляцию синтеза белка, чем интенсивный фотосинтез. В докладе Н. П. Воскресенской рассматривался вопрос о роли спектрального состава света в превращениях углерода. При фотосинтезе растений в разных участках спектра удалось обнаружить значительные различия в активностях (C^{14}) органических кислот, аминокислот, углеводов. Применение меченой углекислоты, как показала конференция, оказалось весьма плодотворным не только при изучении фотосинтеза высших растений, но и при изучении водорослей. Добавляя к морской воде меченый карбонат, С. И. Лебедев изучал распределение активности в пятках хроматограммы, которые относятся к различным пигментам. Оказалось, что наибольшая активность сосредоточивалась в стартовом пятне хроматограммы, меньшая — в пятне желтого пигмента, и наименьшая — в зеленых пигментах. Изучение изотопного состава кислорода клеток водорослей при фотосинтезе проводилось М. В. Угловой с применением изотопов O^{18} и C^{14} . Полученные при этом факты, по мнению автора, позволяют обнаружить единство механизма восстановления углекислоты в обычных и анаэробных условиях. Имеющая большое практическое значение проблема продуктивности фотосинтеза фитопланктона в водохранилищах может также, как показал доклад Ю. И. Сорокина, решаться с применением меченого углерода.

Проведенная конференция показала значительные успехи в изучении проблемы фотосинтеза и плодотворность решения научных проблем совместными усилиями ученых различных специальностей: биологов, химиков, физиков и физико-химиков.

Ю. А. Владимиров, С. В. Конев и Ф. Ф. Литвин

РЕЦЕНЗИИ

M. Haissinsky «La chimie nucléaire at ses applications», Masson et cie, Paris, 1957. s. 651

Только что изданная в Париже книгоиздательством Массон книга профессора М. Гайсинского «Ядерная химия и ее применения» является ценным вкладом в науку о веществе и его превращениях. За сравнительно короткий промежуток времени, немногим превосходящий полстолетия, физико-химия атомных ядер, возникла, прошла первый, все еще медленный период своего развития в трудах немногих адептов нового направления и, наконец, перешла к периоду бурного развития в трудах уже целых научных школ, работающих в первоклассных специализированных современных институтах, трудах, обогативших теорию химии новыми важнейшими теориями и обобщениями и сразу нашедших мощный выход в практику биологии, медицины, геологии, металлургического и химического производств. Возникла необходимость подытоживания и систематизации достигнутых результатов — задача тем более неутраченная, что химия ядра вошла как важная составная часть в дело подготовки химиков новой формации в Высших учебных заведениях и аспирантуре. После того как были сделаны первые опыты в этом важном направлении, появился тот замечательный труд, рецензированию которого и посвящена настоящая заметка.

Автор этого труда, руководитель исследований в Институте радия в Париже, являющийся главой школы радиохимических исследований и одним из крупнейших современных физико-химиков, профессор М. Гайсинский, отнесся к выполнению поставленной им перед собою трудной и ответственной задачи чрезвычайно внимательно. Огромное количество выполненных в области ядерной химии исследований были подвергнуты им критическому анализу и получили освещение в его книге в плане основных проблем развития этой отрасли науки. Отдельные части рукописи, по его просьбе, рассматривались специалистами (Бенуа, А. Бертло, Брода, Маддок, Панет и др.), замечания которых были приняты во внимание при дальнейшем совершенствовании работы. С разрешения ряда известных исследователей — А. П. Виноградова, А. И. Бродского, Кальвина, Ф. Даниельса, Ф. Жолио, Гленденина, Сиборга, Окклиани и др. — чертежи их установок и полученные ими результаты были воспроизведены в книге Гайсинского.

На 651 странице книги дано изложение более чем трех тысяч оригинальных исследований, описанных прекрасным литературным языком и снабженных хорошо выполненными иллюстрациями — чертежами и сводными таблицами. Чтобы оценить, насколько трудна задача написания такой книги, как эта, посвященной быстро растущему разделу знания, достаточно привести статистические сведения Комиссариата Атомной Энергии Франции (относящиеся только к Франции, Англии и США), по утилизации радиоэлементов медициной за последние четыре года: 1952 г. — 130; 1953 г. — 162; 1954 г. — 457; 1955 г. — 1280.

Эти относительно новые данные свидетельствуют о том, что автор соответствующего обзора должен исключительно быстро и чутко реагировать на рост наших сведений в описываемой им области.

Книга разделена на 25 глав. Первая посвящена великим историческим этапам возникновения химии ядра. Глубокий интерес вызывают тщательно воспроизведенные первые «радиофотографии» полученные Беккерелем для урана, лабораторная запись Пьера и Марии Кюри от 13 июля 1898 г., впервые упоминающая о полонии, наброски Резерфорда модели атома, общий вид космотрона в Брукхавене.

Хотя автор имел возможность только сжато остановиться на исторической части, все внимание уделяя главным образом современности, этими иллюстрациями он так оживил и оконкретизировал свое изложение, что невольно хотелось бы пожелать в следующих изданиях видеть иллюстрации более расширенными — например фотографиями П. и М. Кюри, Лауренса и его первого циклотрона, первых набросков (более ранних чем Резерфорда) строения атомов по Льюису, синхрофазотрона Векслера в СССР.

Характеристике фундаментальных (входящих в состав материи в широком смысле слова) частиц посвящена следующая глава. Тут же введены представления о спине, нуклонах и антинуклонах, о взаимопревращениях частиц. Вопросы, связанные со стабильностью атомных ядер, освещены в следующей, 3-й главе, где, как нам кажется, было бы неплохо дать более обширное описание различных моделей строения ядер, предложенных за последние три года; автор ограничивает здесь изложение 1954 годом.

Количественная интерпретация радиоактивных превращений начинается в главе 4-й. Особенно рассмотрена кинетика радиораспадов различного типа, туннельные эффекты, соотношение Гейгера и Нуттола. К сожалению, говоря о ядерной изомерии, автор забывает об исследованиях, выполненных в СССР, хотя, как правило, советские обследования описываются им широко и обстоятельно.

После рассмотрения различных типов превращений вызываемых бомбардирующими частицами (гл. 5), автор дает весьма подробное и интересное обозрение той проб-

мы, которая отчасти сыграла в истории человеческой культуры довольно печальную роль и до сих пор еще не стала, несмотря на усилия всех миролюбивых стран, проблемой, однозначно связанной с мирным развитием народов, — проблемы ядерного деления. В этом детальном изложении даны и такие интересные подробности, как схема «олики» управления атомным реактором. По говоря о ценном механизме деления, проф. Гайсинский не упоминает, что этот механизм в своих основных чертах тот же, что и механизм ценных превращений вообще, теория которых была развита последними лауреатами Нобелевской премии — Н. И. Семеновым (Москва) и Гиннелвудом (Оксфорд).

Начиная с гл. 7, мы встречаем описание естественных радиоэлементов, начинаемое автором, в порядке расположения в системе Менделеева, с трития; свойства элементов трансуранидов рассматриваются в гл. 8. Сюда введено описание свойств последнего из открытых ко времени выпуска книги элементов, менделевия. Оригинальность подхода автора к пониманию этого класса индивидов сказывается в его неогласии с Сибгором и его последователями по вопросу о представлении трансуранидов как актинидов и в обосновании вводимого им (Гайсинским) класса кюридов. Надо признать, что многие факты действительно говорят в пользу такого подхода, хотя в целом рецензент и воздерживается от высказывания определенного мнения по этому поводу.

Очень хорошо написана и гл. 9, содержащая изложение вопроса о разделении изотопов. Может быть в дальнейших изданиях здесь следовало бы, хотя бы и вкратце, хотя бы так, как это было сделано А. И. Бродским в его «Химии изотопов», изданной еще в 1952 г., остановиться на термодинамике изотопов, поскольку вопросы деления изотопов относятся (в их обосновании) не только к кинетике, но и к термодинамике.

Великоценное изложение геологических, геохимических и астрофизических приложений радиохимии дается в гл. 10. Оно охватывает вопросы встречаемости элементов, вариаций изотопного состава элементов, радиоактивности минералов, проблемы возраста Земли и ее литосферы, условия возникновения химических элементов в природе. Но эта глава, вероятно, еще более выиграла в широте охвата, если бы автор коснулся в ней тех современных теорий зонального строения Земли, в которых учитывается роль радиоактивных превращений в тепловом балансе земного шара, в частности воззрений, развиваемых автором рецензии; но, разумеется, не исключено, что это замечание не вполне объективно.

После важных вопросов, связанных с проблемой рассеивания энергии в процессах радиации (гл. 11), автор переходит к действию радиации в газовой фазе (гл. 12), а затем (гл. 13) к радиолизу в водных растворах. Последнее является тем более интересным, что в этой области самым автором и его школой были произведены важные исследования и что читатель получает здесь, так сказать, «из первых рук», т. е. от самого творца данного раздела науки, все сведения. Автор пишет обо всем самокритично и строго и даже в изложении параграфов (например § 4, гл. 13) подчеркивает наряду с развитием, и трудности, встречаемые теорией, благодаря чему только выигрывают строгость, а значит и научная ценность изложения. Как в этой главе, так и в последующих, радиолизе органическом, биологических эффектах, действии на твердые тела, флюоресценции и окрашиванию радиацией автор не только дает полный обзор современного состояния проблемы по зарубежной литературе, но и не упускает из внимания многочисленные труды советских исследователей. Это касается и последующих глав.

В этих главах дано, так много ценного материала, что его рассмотрение вышло бы за рамки, допустимые для журнальной рецензии. В них нет серьезных недочетов, и все то положительное, что было сказано о предыдущих разделах, применимо и здесь. Добавим только, что заключительные главы труда проф. Гайсинского, посвященные приложениям ядерной химии в биологии, биохимии, физиологии и технической химии, открывают перед читателем величественную перспективу новой эры человечества, когда теория и практика новой химии (химии атомного ядра) обогатят человеческую культуру новыми ценностями и в еще большей степени поставят науку на службу человеку. Эта эра уже наступила и в числе ее передовых деятелей М. Гайсинский, написавший рецензируемую здесь превосходную книгу о ядерной химии и ее приложениях.

Все сказанное выше не оставляет сомнений в том, что книга в целом заслуживает самой наилучшей оценки. Те отдельные критические замечания, которые были высказаны рецензентом, ни в какой мере их не колеблют. В тех случаях, когда автор книги с ними согласится, он мог бы учесть их при переизданиях или же при переводах.

Следовало бы выслать эту книгу, посвященную столь актуальному в настоящее время вопросу и так хорошо написанную, рекомендовать к скорейшему переводу на русский язык. Это могло бы быть сделано и Издательством иностранной литературы и Госхимиздатом. Но так как ядерная химия представляет собою как раз такой раздел науки, быстрое развитие которого успевает изменить многое даже уже в процессе печатания, то, по мнению рецензента, следовало бы просить проф. Гайсинского принять участие в авторизованном переводе, в котором он мог бы учесть и те критические замечания на его труд, которые частично содержатся в настоящей рецензии, частично же могли поступить к нему от читателей французского издания и, что самое главное, — могло бы быть им несколько дополнено в соответствии с появившимися новыми исследованиями, опубликованными за краткий период времени, прошедший со дня издания его книги.

СОДЕРЖАНИЕ

А. Д. Степухович и Е. Е. Никитин. Теория торможения и ускорения крекинга парафиновых углеводородов добавками тетраметилэтилена	167
К. М. Горбунова и А. А. Никифорова. Исследование механизма включения фосфора в никелевые покрытия с помощью радиоактивного изотопа P^{32}	168
А. Е. Лудкий и Е. М. Обухова. Молекулярные постоянные и макрофизические свойства смесей. I. Вязкость жидких бинарных смесей	169
А. Г. Стромберг. Определение состава разряжающихся аммиачных и оксалатных комплексов цинка по разнице анодного и катодного потенциалов полуволн на цинковом амальгамном капельном электроде	170
Д. А. Вяхирев и А. И. Брук. Влияние параметров опыта на хроматографическое разделение веществ в газовой или паровой фазе. I. Влияние температуры на разделение смеси метана, этана и пропана элюентным способом на силикагеле	171
И. А. Мясников. Исследование связи между электропроводностью, адсорбционными и сенсibiliзирующими свойствами окиси цинка. I. Электронные явления в ZnO при адсорбции кислорода	172
К. И. Розенталь и В. И. Веселовский. Изучение механизма и кинетики электрохимического окисления водорода методом анодной полярографии на Pt-электроде	173
Н. Н. Грацианский и И. А. Гудев. Исследование коррозионной стойкости твердых растворов металлов. V. Система $Cu - Ni$	174
Ю. Н. Шейнкер, И. Я. Постовский, Н. М. Воронина и В. В. Кушкин. О таутомерии некоторых производных гетероциклических соединений. IV. Спектры и строение бензолсульфонамидов и сульфаниламидов ряда тиазола и тиадиазола	174
О. А. Осипов и И. К. Шеломов. О связи между дипольным моментом и поверхностным натяжением	175
С. И. Кричмар и В. П. Галушко. Экспериментальные исследования процессов сглаживания при электрохимической полировке	176
Б. Ф. Марков и Л. А. Шумина. О концентрационной зависимости электропроводности бинарных солевых расплавов	176
Б. И. Броунштейн. Оценка точности приближенного метода расчета термодинамических функций идеальных газов Гордона и Барнес. II	177
С. Ю. Елович и В. Н. Прусаков. Изучение хроматографии многовалентных ионов с помощью меченых атомов. II. Вытеснительная хроматография Sr^{2+} и Ce^{3+} при значительных заполнениях адсорбента	178
А. Т. Вартамян. Влияние газов на электропроводность метиленового голубого в твердом состоянии	179
В. М. Кравченко и И. С. Пастухова. Кристаллизация аценафтена с одно-, двух- и трехкольчатыми углеводородами	180
В. В. Остроумов. Механические напряжения в электролитических осадках палладия	181
А. А. Лопаткин, Ж. В. Стрельникова и В. П. Лебедев. Кинетика термической активации и дезактивации платиновых катализаторов	182
В. И. Ляшенко и И. И. Степко. Влияние кислорода на работу выхода электрона из окиси меди	182
Ю. А. Пентип и В. М. Татевский. О возможности спектроскопического определения разностей энергий поворотных изомеров сложных молекул	183
М. Г. Гоникберг, Г. П. Шаховской и В. П. Бутузов. Измерение температуры плавления алюминия и меди при давлениях до $18\,000\text{ кг/см}^2$	183
Н. И. Кобозев, И. И. Скороходов, Л. И. Некрасов, и Е. И. Макарова. Физико-химия концентрированного озона. II. Исследование синтезавышей перекиси водорода H_2O_2 при взаимодействии концентрированного озона с атомарным водородом	184
Г. М. Панчиков, В. Д. Моисеев и А. В. Макаров. Химический метод разделения изотопов бора	185
Ю. Д. Козманов. Рентгенографическое исследование реакций между твердыми окислами железа и окислами вольфрама и молибдена	186

С. Кудев и Б. Ф. Ормонт. Исследование равновесия в реакции восстановления TiO_2 углеродом при высоких температурах. II.	1866
А. Акишин, В. П. Спиридонов, Г. А. Соболев и В. А. Наумов. Электронно-графическое исследование строения молекул. VII. Галогениды стронция	1871
Н. Фрумкин. Об исследовании механизма электролитического выделения водорода методом введения дополнительных количеств атомарного водорода на поверхность электрода	1875
М. Глазов, В. Н. Вигдоровичи Г. А. Корольков. О применимости метода микротвердости к исследованию двойных и тройных диаграмм состояния металлических систем	1891
Методы и техника физико-химического исследования	
В. Чмутов, В. А. Прохоров и Н. Г. Алексеев. Интегрирующие устройства для дозирования лучистой энергии	1898
Дискуссия	
Я. Аносов. О статье А. В. Сторонкина «Критика некоторых принципов и понятий физико-химического анализа»	1900
Письма в редакцию	
Н. П. Жук. Ответ на письмо В. М. Новаковского	1906
Хроника	
Ю. А. Владимиров, С. В. Конев и Ф. Ф. Литвин. II Всесоюзная конференция по фотосинтезу	1908
Рецензии	
А. Ф. Капустинский. Рецензия на книгу М. Haissinsky «La chimie nucléaire et ses applications»	1912

CONTENTS

A. D. Stepukhovich and E. E. Nikitin. The Retardation and Acceleration by Tetramethylethylene Additions of the Cracking of Paraffin Hydrocarbons	1677
R. M. Gorbunova and A. A. Nikiphorova. A Study on the Mechanism of Phosphorus Indusion in Nickel loadings with the Aid of the Radioactiol Istope P^{32}	1687
A. E. Lutskii and E. M. Obukhova. Molecular Constants and the Macro-Physical Properties of Mixtures. I. The Viscosity of Liquid Binary Mixtures	1693
A. G. Stromberg. Determination of the Composition of Discharging Ammonium and Oxalate Complexes of Zinc from the Anodic and Cathodic Half-Wave Potential Differences at the Dropping Zinc Amalgam Electrode	1704
D. A. Vyakhirev and A. I. Bruk. The Effect of the Experimental Conditions on the Chromatographic Separation of Substances in the Gaseous or Vapor Phases	1713
I. A. Myasnikov. A Study of the Relationship between the Electroconductivity and the Adsorption and Sensibilizing Properties of Zinc Oxide. I. Electronic Phenomena in ZnO on Adsorption of Oxygen	1721
K. I. Rosental and V. I. Veselovskii. A Study of the Mechanism and Kinetics of the Electrochemical Oxidation of Hydrogen by the Methods of Anodic Polarography on the Platinum Electrode	1732
N. N. Gratsianskii and I. A. Gutsev. Studies on the Resistance of Solid Metallic Solutions to Corrosion. V. The System Cu — Ni.	1740
Yu. H. Sheinker, I. Ya. Postovskii, N. M. Voronina and V. V. Kushkin. On the Tautomerism of Some Heterocyclic Derivatives. IV. The Spectra and Structure of Benzenesulfonamides and Sulfanilamides of the Thiazole and Thiodiazole Series	1745
O. A. Osipov and I. K. Shelomov. On the Relation between the Dipole Moment and Surface Tension	1756
S. I. Krichmar and V. P. Galushko. Experimental Investigation of the Smoothing Process in Electrochemical Polishing	1762

- B. F. Markov and L. A. Shumina. The Concentration Dependence of the Electroconductivity of Binary Salt Solutions. 1
- B. I. Brounshtein. Evaluation of the Accuracy of Gordon and Barnes Approximate Method of Calculating the Thermodynamic Functions of Ideal Gases. 17
- S. Yu. Elovich and V. N. Prusakov. Studies on the Chromatography of Polyvalent Ions by Means of Labelled Atoms. II. Displacement Chromatography of Sr^{2+} and Ce^{3+} Ions on Highly Covered Adsorbents. 13
- A. T. Vartanyan. The Effect of Gases on the Electroconductivity in the Solid State of Methylene Blue. 1
- V. M. Kravchenko and I. S. Pastukhova. A Study of the Crystallization of Acenaphthene in One-, Two and Three Ring Hydrocarbon Systems. Review of Acenaphthene Systems. 1
- V. V. Ostroumov. Mechanical Stresses in Electrolytic Palladium Deposits. 1
- A. A. Lopatkin, Zh. V. Strelnikova and V. P. Lebedev. The Kinetics of the Thermal Activation and Deactivation of Platinum Catalysts. 1
- V. I. Lyashenko and I. I. Stepko. The Effect of Oxygen on the Work Function of Copper Oxide. 1
- Yu. A. Pentin and V. M. Tatevskii. On the Possibility of the Spectroscopic Determination of the Difference in Energies of Rotation Isomers of Complex Molecules. 1
- M. G. Gonikberg, G. P. Shakhovskoi and V. P. Butuzov. Measurement of the Melting Points of Alumina and Copper at Pressures up to 18 000 kg/cm^2 18
- N. I. Kobozev, I. I. Skorokhodov, L. I. Nekrasov, E. I. and Makarova. The Physical Chemistry of Concentrated Ozone. II. A Study of the Synthesis of the Higher Peroxide of Hydrogen H_2O_4 by the Reaction between Concentrated Ozone and Atomic Hydrogen. 1
- G. M. Panchenkov, V. D. Moiseev and A. V. Makarov. A Chemical Method for the Separation of Boron Isotopes. 1
- Yu. D. Kozmanov. An X-Ray Study of the Reaction between Solid Iron Oxides and the Oxides of Tungsten and Molybdenum. 18
- V. S. Kutsev and B. F. Ormont. Equilibrium Studies on the High Temperature Reduction of TiO_2 by Carbon. 18
- P. A. Akishin, V. P. Spiridonov, G. A. Sobolev and V. A. Naumov. Electron Diffraction Studies of Molecular Structure. VII. Strontium Halides. 1
- A. N. Frumkin. A Study of the Mechanism of electrolytic hydrogen evolution by the method of introducing supplementary amounts of atomic hydrogen on the Electrode Surface. 18
- V. M. Glasov, V. N. Vigdorovitch and G. A. Korolkov. Applicability of the Method of Microhardness Testing to Investigation of Binary and Ternary Equilibrium Diagrams of Metallic Systems. 1

Experimental Methods and Techniques

- K. V. Chmutov, V. A. Prokhorov and N. G. Alekseev. An Integrating Device for Dosing Radiation Energy. 1

Discussion

- V. Ya. Anosov. On the Paper by A. V. Storonkin: «A Criticism of Some Principles and Conceptions in Physico-Chemical Analysis. 1

Letters to the Editor

- N. P. Zhuk. Reply to V. M. Novakovskii's Letter. 1

Chronicle

- Yu. A. Vladimirov, S. V. Konev and F. F. Litvin. The Second All-Union Conference on Photosynthesis. 1

Reviews

- M. Haissinsky. «La Chimie nucléaire at ses applications». Reviewed by A. F. Kapustinsky. 1

К СВЕДЕНИЮ АВТОРОВ

Статьи, направляемые в Журнал физической химии, должны удовлетворять следующим требованиям:

1. Статьи должны быть изложены в наиболее сжатой форме, совместимой с ясностью изложения, и тщательно отредактированы в рукописи.

2. Статьи, излагающие результаты работ, проведенных в учреждениях, должны обязательно иметь направление учреждения.

В конце статьи автором должно быть указано название научного учреждения, в котором произведена работа.

3. Статья обязательно должна быть подписана автором, причем инициалы и фамилия автора должны быть четко повторены на машинке. К статье должны быть приложены адрес автора, место его работы, № телефонов для переговоров.

4. Статьи присылаются в редакцию в двух экземплярах, четко переписанные на машинке без помарок и вставок, на одной стороне листа, через два интервала, с оставлением с левой стороны листа поля в 4 см. Страницы рукописи должны быть пронумерованы по порядку, без литерных наращений (т. е. 7, 8, 9, и т. д. а не 7а, 8, 9, 9а, 9б и т. д.).

5. Формулы и буквенные обозначения величин должны быть вписаны четко и ясно от руки. Особенное внимание следует обращать на тщательное изображение индексов и показателей степеней. Показатели и другие надстрочные значки отмечаются скобкой \sim , а подстрочные — скобкой \sim .

Необходимо делать ясное различие между заглавными и строчными буквами, для чего заглавные буквы подчеркнуть снизу двумя черточками (например, \underline{O}), а строчные двумя черточками сверху (например, \underline{o}), 0 (ноль) оставить без подчеркивания. Это особенно относится к таким буквам, как с и \underline{C} , k и \underline{K} , p и \underline{P} , и \underline{u} и \underline{S} , z и \underline{Z} , v и \underline{W} . Греческие буквы нужно обводить красным карандашом.

6. Рисунки должны быть выполнены на белой бумаге или на кальке тушью. Подписи и обозначения на рисунках должны быть сделаны карандашом. В тексте обязательно указать место для рисунков, вынося номер рисунка на поле. На обороте каждого рисунка должны быть поставлены фамилия автора, заглавие статьи, страница, к которой относится рисунок. Подписи к рисункам и фотографиям должны быть собраны на отдельном листе, прилагаемом к рукописи.

7. Следует избегать повторения одних и тех же данных в таблицах, графиках и тексте статьи.

8. Места, предназначенные к набору петитом, должны быть отмечены вертикальной чертой на полях.

9. Ссылки на литературу должны быть собраны в конце статьи в виде списка и заключать инициалы и фамилию автора в подлиннике, название журнала, том (подчеркнуть снизу), страницу и год, а для книг: инициалы и фамилию автора, точное название книги, наименование издательства, место и год издания.

В тексте ссылки на литературу обозначаются порядковой цифрой в квадратных скобках. Категорически не допускаются ссылки на не опубликованные работы (кроме диссертаций). Иностранные фамилии и термины даются в тексте в русской транскрипции, а в перечне литературы — в оригинальной транскрипции.

10. Не следует употреблять сокращенных слов, кроме общепринятых (т. е., в т. п., и т. д.).

Надлежит придерживаться следующих сокращений: килограмм — кг; грамм — г; грамм-молекула — г-моль; миллиграмм-молекула — мг-моль; метр — м; дециметр — дм; сантиметр — см; миллиметр — мм; литр — л; миллилитр — мл; квадратный сантиметр — см²; кубический сантиметр — см³; орто-, мета-, пара- — о-, м- и п-; нормальный — N, децинормальный — 0,1 N; молярный — M; температура кипения — т. кип.; температура плавления — т. пл.

11. Статью обязательно заканчивать формулировкой выводов. Выводы должны содержать не оглавление разделов работы, а краткое изложение ее итогов; кроме выводов представлять резюме на английском языке, можно писать по-русски; в этом случае перевод будет выполнен редакцией.

12. В случае представления двух или более статей одновременно необходимо указать желательный порядок их помещения.

13. Статьи, не отвечающие перечисленным требованиям, возвращаются автором для переделки.

14. В присылаемой корректуре исправляются только типографские ошибки, никакие изменения и добавления не допускаются.

15. В случае направления автору статьи для согласования внесенных редакцией изменений сохраняется первоначальная дата поступления статьи в редакцию, но при возвращении статьи автору для серьезной переработки и исправления датой представления считается дата принятия редакцией к публикации.

16. Редакция высылает автору бесплатно 50 отдельных оттисков статьи.

Несоблюдение перечисленных условий задерживает печатание статьи.

Непринятые рукописи авторам не возвращаются.

T-08910 Подписано к печати 19/IX 1957 г. Печ. л. 20,5+4 вкл. Уч.-изд. л. 22,2
Формат бумаги 70×108¹/₁₆. Бум. л. 7¹/₂ Заказ 1781. Тираж 4075 экз.

2-я типография Издательства Академии наук СССР. Москва, Шубинский пер., 10

ОТКРЫТА ПОДПИСКА

на журналы

АКАДЕМИИ НАУК СССР НА 1958 год

Название журнала	Количество номеров в год	Головая подписная цена (в рублях)	Название журнала	Количество номеров в год	Головая подписная цена (в рублях)
Автоматика и телемеханика	12	108	Природа	12	84
Акустический журнал	4	36	Радиотехника и электроника	12	144
Астрономический журнал	6	90	Русская литература	4	40
Биофизика	6	72	Советская археология	4	100
Биохимия	6	90	Советская этнография	6	108
Ботанический журнал	12	180	Советское востоковедение	6	72
Вестник Академии наук СССР	12	96	Советское государство и право	12	144
Вестник древней истории	4	96	Современный Восток	12	36
Вопросы языкознания	6	72	Теория вероятностей и ее применения	4	45
Геохимия	8	72	Успехи математических наук	6	96
Доклады Академии наук СССР (без папок)	36	360	Успехи современной биологии	6	48
Доклады Академии наук СССР (с 6 коленкоровыми папками с тиснением)	36	384	Успехи физических наук	12	144
Журнал аналитической химии	6	72	Успехи химии	12	96
Журнал высшей нервной деятельности им. И. П. Павлова	6	90	Физика металлов и металловедение	6	90
Журнал научной и прикладной фотографии и кинематографии	6	45	Физиологический журнал СССР им. И. М. Сеченова	12	108
Журнал неорганической химии	12	270	Физиология растений	6	54
Журнал общей биологии	6	45	Энтомологическое обозрение	4	90
Журнал общей химии	12	270	Известия Академии наук СССР:		
Журнал прикладной химии	12	180			
Журнал технической физики	12	225	Отделение литературы и языка	6	54
Журнал физической химии	12	270	Отделение технических наук	12	180
Журнал экспериментальной и теоретической физики	12	288	Отделение химических наук	12	126
Записки Всесоюзного минералогического общества	6	72	Серия биологическая	6	72
Зоологический журнал	12	180	Серия географическая	6	90
Известия Всесоюзного географического общества	6	54	Серия геологическая	12	144
Исторический архив	6	90	Серия геофизическая	12	144
Исторический архив в переплете	6	99	Серия математическая	6	81
История СССР	6	72	Серия физическая	12	144
Коллоидный журнал	6	72	Реферативный журнал, серии:		
Кристаллография	6	72			
Математический сборник	12	144	Астрономия и геодезия	12	115.20
Микробиология	6	72	Биология (сводный том) *	24	691.20
Новая и новейшая история	6	60	География (сводный том) *	12	288
Оптика и спектроскопия	12	144	Геология (сводный том) *	12	288
Почвоведение	12	144	Математика	12	172.80
Приборы и техника эксперимента	6	72	Машиностроение (сводный том) *	24	734.40
Прикладная математика и механика	6	81	Металлургия (сводный том) *	12	504
			Механика	12	172.80
			Физика	12	360
			Геофизика	12	115.20
			Химия (сводный том) *	24	756
			Биологическая химия	24	216
			Электротехника	24	480

Примечание. Серии Реферативного журнала, помеченные звездочкой, издаются одновременно как отдельными выпусками, так и в виде сводного тома. Условия подписки на отдельные выпуски Реферативного журнала имеются в проспектах «Союзпечати».

ГОЛОВАЯ И ПОЛУГОДОВАЯ ПОДПИСКА

ПРИНИМАЕТСЯ В ГОРОДСКИХ ОТДЕЛАХ «СОЮЗПЕЧАТЬ», КОНТОРАХ И ОТДЕЛАХ СВЯЗИ, В ПУНКТАХ ПОДПИСКИ И ОБЩЕСТВЕННЫМИ УПОМОЩЕННЫМИ НА ЗАВОДАХ И ФАБРИКАХ, В НАУЧНО-ИССЛЕДОВАТЕЛЬСКИХ ИНСТИТУТАХ, УЧЕБНЫХ ЗАВЕДЕНИЯХ, УЧРЕЖДЕНИЯХ И ОРГАНИЗАЦИЯХ.

ПОДПИСКА ПРИНИМАЕТСЯ ТАКЖЕ В МАГАЗИНАХ «АКАДЕМКНИГА», А ТАКЖЕ КОНТОРОЙ «АКАДЕМКНИГА» — МОСКВА, ПУШКИНСКАЯ УЛ., Д. 23